

Contractor : INCDFizica Materialelor  
Cod fiscal: RO9068280

**RAPORT ANUAL DE ACTIVITATE**  
**privind desfășurarea programului nucleu**  
**Cercetari teoretice si experimentale in domeniul materialelor multifunctionale avansate**  
**pentru competitivitate economica si dezvoltare durabila (TEXMAV); PN19-03010**  
**(denumire, acronim, cod)**  
***anul 2019***

Durata programului: 4 ani

Data începerii: 2019

Data finalizării: 2020

**1. Scopul programului:**

Obiectivul principal:

**Desfasurarea de cercetari teoretice si experimentale in domeniul fizicii starii condensate, al materialelor multifunctionale avansate, si al altor domenii conexe din fizica, cu accent pe sisteme nano-dimensionale, suprafete si interfete, cu potential de aplicatii in domenii de inalta tehnologie, pentru cresterea competitivitatii economice si dezvoltare durabila.**

Programul propus pentru perioada 2019-2022 continua directiile de cercetare deschise prin programul desfasurat in anul 2018, incercand o apropiere si mai mare de specializarile inteligente si domeniile de interes national prevazute in Strategia Nationala CDI 2014-2020. In plus fata de programul Nucleu precedent, noul program isi propune sa aduca o crestere si mai accentuata a gradului de multidisciplinaritate a cercetarilor desfasurate in institut, precum si o crestere a sinergiei tematice cu noile directii de cercetare in domeniu asa cum sunt ele enuntate in strategiile si programele nationale sau la nivel de Comunitate Europeana. Activitatatile prevazute in cadrul programului vor implica practic toate grupurile de cercetare din institut intr-un efort unit de crestere a performantei institutionale si de transformare a INCDFM intr-un actor important la nivel global in ceea ce priveste dezvoltarile fundamentale si aplicative in domeniile abordate in program.

In definirea principalelor directii tematice din aceasta strategie s-a tinut cont de:

- Strategia Nationala CDI 2014-2020, care focalizeaza cercetarile pe 4 domenii de specializare inteligenta si pe 4 domenii de interes national (Bio-economie; TIC, spatiu si securitate; Eco-nano tehnologii si materiale avansate; Energie, mediu si schimbari climatice; Sanatate; Patrimoniu cultural; Tehnologii noi si emrgente; Cercetare fundamentala si de frontiera). INCDFM poate contribui la toate acestea prin dezvoltarea de materiale avansate si de metode specifice de investigare si analiza.
- Tendintele tematice din ultimii 5 ani, care au reliefat un interes din ce in ce mai accentuat catre directii noi de cercetare, legate in special de sanatate, calitatea vietii si a mediului, resurse energetice regenerabile, tehnologii pentru dezvoltare durabila, materiale pentru aplicatii in conditii extreme de lucru

*Structurarea directiilor strategice de cercetare ia in considerare faptul ca cercetarea fundamentala este cea care sta la baza progresului, indiferente daca este vorba de cunoastere sau de tehnologie.* Nu se poate imagina progres economic si social fara o componenta puternica de cercetare fundamentala care sa ofere solutii noi la provocarile prezentului si viitorului apropiat. Cercetarea fundamentala imbina modelari si simulari teoretice cu cercetare experimentală pentru verificarea teoriilor si demonstrarea viabilitatii noilor solutii, in cazul de fata in

domeniul materialelor avansate functionale si a metodelor specifice de investigare. Rezultatele vor fi apoi valorificate in cercetari aplicative si dezvoltari experimentale, mergand pana la producerea de modele experimentale, prototipuri si chiar transfer tehnologic catre mediul privat. Ca urmare, au fost propuse urmatoarele directii tematice/obiective specifice de cercetare pentru perioada 2018-2020:

**Tematica 1- Cercetari fundamentale la frontiera cunoasterii in fizica starii condensate si a materialelor avansate (in relatie cu domeniul Cercetare Fundamentală din SN-CDI), corelat si cu formare profesionala avansata in fizica si domenii conexe**

Cuprinde partea de cercetare fundamentală, modelare, simulare teoretică, validare de concepte și idei prin experimente dedicate (fenomene la scala nano în materiale feroice, materiale 2D, fenomene optice neliniare, fizica suprafetelor și interfetelor, defecte structurale și simularea impactului lor asupra fenomenelor fizice, etc.). Rezultatele vor constitui baza de cunoaștere utilă pentru Tematica 2, în primul rând, ajutând la proiectarea și realizarea de noi materiale și structuri funktionale, dar și pentru Tematicile 3 și 4, orientată către aplicații mai punctuale în domeniile de specializare inteligentă carora le sunt adresate. În cadrul acestei tematice sunt incluse și activitățile de formare profesională pentru tineri cercetatori, formarea profesională continuă pentru cercetatori cu experiență, precum și activitățile de atragere a unor cercetatori de valoare din strainatate să vina și să lucreze în INCDFM și a CIFRA.

**Tematica 2-Cercetari privind prepararea, caracterizarea si optimizarea materialelor multifunctionale avansate (in relatie cu domeniul de specializare inteligenta „Eco-nanotehnologii si Materiale Avansate”)**

Cuprinde totalitatea cercetarilor pentru dezvoltarea de materiale avansate, respectiv metode ecologice de preparare, caracterizare structurală avansată, investigarea proprietăților fizice și a potențialului de aplicații. Materialele preparate și investigate în acesta direcție vor alimenta în continuare aplicațiile dezvoltate în cadrul Tematicilor 3 și 4, după ce se stabilește care este potențialul pentru aplicații și nisa din economie care oferă o valorificare maximală a rezultatelor cercetării.

**Tematica 3-Materiale, structuri si metode cu potential de aplicatii in stiintele vietii (in relatie cu domeniile de specializare inteligenta Bioeconomie si Sanatate)**

Cuprinde cercetarea pe partea de materiale și metode cu utilitate în Bioeconomie (bio-senzori, procesarea catalitică a deseurilor organice, monitorizarea calității alimentelor, metode moderne de conservare a alimentelor, metode și dispozitive de combatere a daunatorilor) și Sanatate (materiale biocompatibile, metode și materiale pentru livrarea tintita a medicamentelor, metode și materiale noi pentru terapie neinvaziva, metode aplicate în industria medicamentului, etc.)

**Tematica 4-Cercetari aplicative si dezvoltari experimentale in domeniul materialelor funktionale pentru aplicatii de inalta tehnologie (in relatie cu domeniile „Tehnologii Emergente”, „TIC, Spatiu si Securitate”, „Energie, Mediu si Schimbari Climatice” si „Patrimoniu cultural”)**

Cuprinde, în principal, cercetare aplicativă și dezvoltare experimentală în domeniul tehnologiilor inovative și a materialelor/structurilor multifunctionale cu potențial de aplicații în domenii de înaltă și foarte înaltă tehnologie cum sunt TIC, spațiu și securitate (diverse dispozitive electronice, dispozitive de memorare a informației, comunicări fără fir sau prin metode optice, senzorială pentru automatizări și monitorizarea diferențelor elementelor cu impact asupra confortului și siguranței personale, etc.), energie (cu aspecte legate de surse regenerabile de energie, stocare, transport și economisire) sau mediu (monitorizarea poluării, eliminarea sau reciclarea poluantilor, eliminarea gazelor cu efect de sera și altele similare). În ceea ce privește patrimonial cultural, se au în vedere atât materiale care să securizeze bunurile de patrimoniu cât și metode innovative de analiză a materialelor componente.

Domeniile de specializare inteligentă și domeniile de interes național la implementarea și progresul carora Programul Nucleu al INCDFM poate aduce contribuții esențiale:

- ECO-NANO-TEHNOLOGII ȘI MATERIALE AVANSATE**

Prin domeniul sau de activitate, INCDFM se încadrează perfect în această specializare inteligentă. Materialele avansate funktionale constituie baza aplicațiilor de înaltă tehnologie din

industrii de varf precum electronica, transporturi, energetica, aparare, etc. La nivel mondial se fac eforturi in cercetarea pe cateva directii principale: 1) miniaturizarea anumitor componente electronice ceea ce implica studiul efectelor de dimensiune in materiale functionale; 2) generarea si caracterizarea de sisteme cu dimensionalitate redusa si cu functionalitati utile in aplicatii high-tech (ex. gaz 2D de electroni la interfete; sisteme 2D similare grafenei, nanofibre, etc.); 3) reducerea amprentei de carbon a tehnologiilor utilizate in obtinerea materialelor avansate si a aplicatiilor aferente lor; 4) inlocuirea materialelor deficitare cu altele abundente in natura; 5) scaderea costurilor de productie a materialelor cu scopul de a face anumite aplicatii accesibile pentru cat mai multa lume (ex. „casa verde”); 6) dezvoltarea de sisteme inteligente de tip „cladire inteligenta” sau „oras intelligent”, care necesita materiale avansate pentru senzori, comunicatii, stocare de date, etc.

- **TEHNOLOGIA INFORMATIEI SI A COMUNICATIILOR, SPAȚIU SI SECURITATE**  
Si la aceasta specializare inteligenta INCDFM isi poate aduce contributia dezvoltand materiale si aplicatii pentru comunicatii fara fir in special in cazul tehnologiilor bazate pe microunde, pentru prelucrarea si stocarea informatiei (memorii nevolatile), pentru diferite tipuri de senzori utilizabili in aplicatii de securitate (in special in domeniul CBRNE detectie de substante interzise, protectie de perimetru, etc.) sau de spatiu (ex. detectie de IR, microunde, etc.)
- **ENERGIE, MEDIU SI SCHIMBARI CLIMATICE**  
Este un domeniu relansat in INCDFM in ultimii ani. Se pot aduce contributii considerabile pe urmatoarele directii: 1) surse regenerabile de energie, cum ar fi celule solare pe baza de efect fotovoltaic folosind materiale noi, abundente in natura si tehnologii de cost redus; celule de combustie bazate pe electroliti solizi; 2) materiale pentru stocare de energie cum ar fi nanocompozite pentru supercapacitorii si baterii cu timp de viata indelungat si capacitate mare de stocare de sarcina electrica sau materiale pentru stocare de hidrogen; 3) materiale pentru reactoare nucleare de fisiune sau fuziune (in stransa relatie cu proiectul ITER) 4) (bio) senzori pentru monitorizarea poluarii, inclusiv pentru preventiea utilizarii in exces a pesticidelor si ierbicidelor (aici se poate face legatura si cu domeniul de specializare inteligenta intitulat BIOECONOMIE)
- **SĂNĂTATE**  
Exista expertiza si intentia ferma de a continua dezvoltarea cercetarilor in domeniul materialelor biocompatibile, al nanomaterialelor utilizate in livrarea controlata a medicamentelor, precum si in dezvoltarea de materiale pentru senzori cu aplicatii in medicina. Cercetarile dezvoltate in institut acopera componente importante din domeniul materialelor cu aplicatii in sanatate, incluzand dezvoltarea de materiale biocompatibile si de metode de fabricare a acestora pentru implanturi si proteze, materiale micro si nanostructurate pentru pansamente inteligente, materiale pentru biosenzori purtabili folositi pentru monitorizarea starii de sanatate. Este un domeniu interdisciplinar care, pentru a se dezvolta cu sanse reale de succes in competitii de proiecte, necesita asamblarea unor echipe complexe de fizicieni, ingineri, chimisti, biologi si intarirea colaborarilor cu unitati medicale pentru efectuarea testelor specifice.
- **TEHNOLOGII NOI SI EMERGENTE**  
INCDFM va contribui, in stransa relatie cu participarea Romaniei, la unele mari proiecte de infrastructura care se dezvolta in prezent atat in tara cat si in alte regiuni ale Europei. Exemplul cel mai la indemana il constituie proiectul ELI-NP, la care INCDFM va contribui cu cercetari privind obtinerea unor materiale pentru acoperiri optice rezistente la fluxuri intense de radiatie laser, sau la realizarea de tinte pentru experimentele avute in vedere in cartea alba a ELI-NP. De asemenea INCDFM va aduce contributii, prin studii avansate de material sau de dispozitiv, si la dezvoltarea de noi detectori pentru CERN (colaborarea RD50), la elaborarea de noi tehnici de analiza a materialelor utilizand radiatia sincrotron (ELETTRA, C-ERIC), sau la efectele pe care

le are iradierea cu diferite tipuri de radiatie (inclusand radiatiile ionizante) asupra materialelor cu impact tehnologic in diferite sectoare industriale.

- **CERCETARE FUNDAMENTALA SI DE FRONTIERA**

Este un domeniu prioritar la nivel national care intersecteaza toate celelalte specializari inteligente sau prioritati nationale. Practic, orice cercetare incepe cu studii fundamentale, la granita cunoasterii actuale, pentru a intelege noi fenomene, a dezvolta modele predictive pentru sinteza de noi materiale si structuri, sau pentru a previziona modul in care diferite aplicatii raspund la modificari ale stimulilor externi. Cercetarea fundamentala este cea care ofera cunoasterea necesara pentru avansul catre aplicatii concrete. Si aici INCDFM poate aduce contributii determinante in intelegerea fenomenelor fizice la nano-scala, la nivelul suprafetelor (cataliza si foto-cataliza) sau al interfetelor ( proprietati derive din imparitatea de sarcina la interfete, inginerie de stres mecanic, etc.), precum si la intelegerea interactiei dintre materia sub diferite forme, in special solida, si diferite forme de radiatii sau constringeri de mediu (temperaturi foarte ridicate sau foarte joase, presiuni mari sau mici).

INCDFM poate aduce contributii si la specializarile inteligente BIOECONOMIE (dezvoltarea de materiale pentru ambalarea produselor, teste de calitate, bio-senzori, etc.) si PATRIMONIU CULTURAL (analize compozitionale, metode nedistructive de datare, etc.)

In afara de contributia esentiala la implementarea Strategiei Nationale CDI 2014-2020, Programul Nucleu poate aduce contributii importante si la alte strategii sau programe nationale sau internationale, dupa cum urmeaza:

(a) **STRATEGIA NAȚIONALĂ PENTRU COMPETITIVITATE 2014 – 2020**, prin elaborarea de noi concepte, identificarea si studierea de noi fenomene, culminand cu proiectarea de materiale si structuri functionale cu potential de aplicare in industrie cu valoare adaugata ridicata, cum ar fi electronica, energetica, transporturi (auto, feroviare, aeronaftica), echipamente medicale, sisteme de securitate, aplicatii spatiale sau militare, etc.

(b) **Strategia Regionala de Inovare Bucuresti-Ilfov.** Aceasta regiune este singura euro-regiune dezvoltata din Romania, cu un PIB/locuitor situat la 131 % din media UE (comunicat Agerpres, 9 decembrie 2015), depasind alte capitale din Europa dezvoltata, cum ar fi Berlin sau Madrid. In regiunea Bucuresti-Ilfov sunt localizate majoritatea firmelor ITC de renume, precum si multe din companiile producatoare de componente electronice/optoelectrtonice, senzori, automatizari, echipamente de transport. Constitue un cert avantaj pentru integrarea activitatii CDI cu activitatea industriala de inalta tehnicitate faptul ca INCDFM se afla localizat in aceasta regiune, dimpreuna cu tendinta afirmata in mod repetat de autoritati de a crea la Magurele un pol european de inalta tehnologie, dupa modelele Adlershof, Jülich sau Karlsruhe (Germania), Orsay-Saclay-Palaiseau sau Villeurbaine (Franta), Tor Vergata – Frascati (Italia) sau Cantoblanco (Madrid). In acest context INCD FM este partener in proiectul Magurele Science Park dezvoltat de autoritatile locale si judetene in aceasta regiune.

(c) **Strategiile Regionale de Inovare Sud-Muntenia si Sud-Oltenia.** O parte din rezultate obtinute in cadrul cercetarii din INCD FM au aplicativitate in industria auto, ori in aceste regiuni se afla localizate companiile Dacia-Renault, cel mai mare producator auto din tara, precum si Ford Craiova, companie care se presupune ca va trebui sa-si sustina un program CDI ambitios pentru a tine pasul cu principalul competitor la nivel national.

(d) **Strategia națională pentru dezvoltare regională 2014 – 2020.** In afara faptului ca INCDFM are sansa de a fi situat intr-una din cele mai dezvoltate regiuni ale Europei, legatura cu actori economici din zone mai putin dezvoltate nu este deloc de neglijat, intrucat noi domenii emergente cu valoare adaugata ridicata pot fi dezvoltate incepand cu aceste regiuni. Prin dezvoltarea de materiale inteligente cu aplicativitate in domenii dintre cele mai variate, programul Nucleu produce rezultate de interes pentru IMM-uri din toata tara, inclusiv prin punerea la dispozitie de instrumente de diagnoza in domeniul forestier, minier, turistic sau al agriculturii (senzori de umiditate, detectie de nivel de poluare, diagnoza cladirilor etc.).

**(e) Strategii/planuri de mobilitate urbana.** Rezultatele cercetarilor din INCDFM pot contribui la dezvoltarea unor elemente de automatizare, monitorizare si control a traficului urban, precum si de monitorizare a noxelor rezultate din traficul auto. Se au in vedere si aplicatii utile in mobilitatea electrica (batterii, acumulatori, noi surse de generare nepoluanta a energiei). De asemenea, noi concepte de diagnoza a microfisurilor din carosabil sau a proceselor de imbatranire in materialele folosite pentru caile de transport pot conduce la un mod mai economic de selectare a acestor materiale si o crestere a duratei de operare.

**(f) Orasul intelligent.** Conceptul de „Oras Intelligent” presupune un inalt grad de monitorizare a diferitilor parametrii specifici unei aglomerari urbane, cu interconectari si automatizari care necesita senzori, electronica, comunicatii. In cadrul programului se vor dezvolta materiale cu aplicativitate in acest domeniu, cu precadere monitorizare noxe, conditii de iluminat stradal intelligent, conditii de trafic, imbunatatirea eficientei energetice a cladirilor, ecranarea termica a cladirilor cuplata cu generatori solari, etc. De mentionat, de asemenea, ca modele teoretice de transport pe retea (in care in INCDFM exista o certa expertiza) isi pot gasi aplicabilitate in elaborarea de concepte pentru optimizarea traficului in marile aglomerari urbane (de exemplu, decalarea programelor de lucru in diverse intreprinderi sau scoli pentru evitarea ambuteajelor, programarea lucrarilor de reabilitare, organizarea de manifestari urbane etc.).

**(g) Strategia energetica a Romaniei.** Se vor dezvolta materiale utile in producerea nepoluanta de energie (conversie fotovoltaica, generatori eolieni, fuziune nucleara-ITER), precum si pentru stocarea energiei (super-capacitori si baterii).

**(h) Strategia pentru dezvoltarea sectorului agroalimentar pe termen mediu si lung orizont 2020-2030.** Aceste aspecte s-au discutat si la punctul (d). Vor fi dezvoltate materiale inteligente pentru combaterea daunatorilor, rationalizand in acest fel consumul de pesticide si ierbicide, ceea ce va contribui la productia de alimente ecologice; materiale pentru diferite tipuri de senzori ce monitorizeaza calitatea produselor; senzori pentru monitorizarea si prevenirea poluarii, senzori de presiune, umiditate, temperatura, compozitie atmosferica. De exemplu, in anul 2015, Romania s-a clasat pe locul 4 in lume privind exportul de vinuri; este de netagaduit rolul pe care l-ar putea avea metodele avansate de investigatii componitionale si moleculare din INCDFM in standardizarea unor metode de selectie si de certificare a acestor produse.

**(i) Strategia Nationala de Sănătate 2014-2020.** Obiectivele INCDFM sunt bine încadrate în Strategia Nationala de Sanatate (SNS), in principal prin producerea de materiale si senzori pentru reducerea morbiditatii si mortalitatii bolilor transmisibile si netransmisibile, a impactului asupra indivizilor si societatii. Acordarea accesului echitabil la serviciile de sanatate, de buna calitate si un bun raport cost-calitate este un alt obiectiv al SNS la care INCDFM, prin promovarea de prototipuri de instrumente de diagnoza de buna calitate si de cost redus, ar putea contribui, contribuind totodata la reducerea importurilor din acest domeniu mare consumator de resurse financiare ale statului. Senzori portabili care sa monitorizeze continuu parametri legati de starea de sanatate, in special pentru categoriile expuse cum ar fi batrani sau bolnavi cronici pot duce atat la scaderea cheltuielilor de sanatate dar si la cresterea standardului de calitate a vietii.

**(j) Planul National de Cercetare-Dezvoltare si Inovare PN III.** In legatura cu aceasta, trebuie mentionat ca o cercetare prealabila, de preferinta in cadrul unei Etape a Programului Nucleu este o conditie *sine qua non* pentru conceperea unui proiect PN III de buna calitate. Nu este suficienta cercetarea bibliografica pentru a se identifica stadiul problemei la nivel national si international; din nefericire, experienta a aratat ca in multe cazuri nu ne putem baza in exclusivitate pe raportari preliminare, chiar si ale unor grupuri recunoscute sau publicate in reviste foarte serioase. De multe ori, antamarea experimentelor ofera surprize fie si numai in a reproduce rezultate raportate in lucrari din fluxul international de cunostinte. Este de dorit ca orice proiect PN III, in special acele de tip Parteneriat sau PCCF, sa aiba la baza un minim set de investigatii preliminare, realizate cu mijloacele institutului, pentru a se testa in ce mod aceste cercetari pot fi continuate cu succes maxim spre implementarea de aplicatii.

**(k) Facilitatea europeana ELI-NP.** Se anticipateaza ca INCDFM va fi principala organizatie de cercetare apelata sa ofere solutii la problemele legate de materiale pentru laser, optica, caracterizarea componentelor supuse

fluxurilor mari de iradiere, aplicatii in domeniul dezvoltarii de metode pentru studiul suprafetelor, problematica tintelor ultrasubtiri suto-suportate etc.

(l) **Strategia Națională pentru Dezvoltare Durabila a României Orizonturi 2013-2020-2030.** Materialele inteligente care pot fi utilizate pentru protectia mediului reprezinta o parte importanta a proiectului propus, fie ca este vorba de senzori specifici pentru monitorizare si metode de detectie dedicate, fie ca este vorba de tehnologii catalitice-fotocatalitice de indepartare a poluantilor din aer, apa si sol. Problematicile mentionate la punctul (d) se aplica si in relatie cu aceasta Strategie.

(m) **Rezoluția de admitere a României ca membru cu drepturi depline în Organizația Europeană pentru Cercetare Nucleară (18 iunie 2015).** Asocierea Romaniei la CERN va oferi noi oportunitati de dezvoltare de tehnologii emergente pentru detectori de radiatie, senzori de temperatura / presiune / umiditate / camp magnetic pentru circuitele de siguranta etc. Vezi si punctul urmator.

(n) **RD50 - Radiation hard semiconductor devices for very high luminosity colliders.** Aceasta este o colaborare de lunga durata a INCDFM cu CERN, inceputa cu mult inaintea admiterii României ca membru cu drepturi depline a CERN, institutul coordonand in prezent una din directiile de cercetare (Defect / Material characterization). Creaza premize serioase pentru implementarea la CERN de solutii si concepte dezvoltate in INCDFM.

(o) **Infrastructura distribuita C-ERIC** (Central European Research Infrastructure Consortium) este un consorciu de infrastructuri de cercetare din 9 tari Europene, din care INCDFM face parte ca membru fondator. Ea permite caracterizarea la un nivel superior a materialelor sintetizate in INCDFM in cadrul proiectelor componente ale programului Nucleu, prin acces la infrastructuri de cercetare precum radiatia de sincrotron (Elettra Trieste sau Solaris Cracovia, ambele fiind partenri in aceasta organizatie), RMN (Ljubljana) sau surse de neutroni (produsi de reactorul nuclear de la Budapest).

(p) **Programului Horizon 2020.** Una dintre prioritatile INCDFM trebuie sa fie si participarea la proiecte internationale. In special prin viitoarele Programe Nucleu se pot genera rezultate la un nivel de la care se pot initia propuneri de proiecte cu sanse de succes in competitiiile Europene. Se au in vedere in primul rand proiecte de tip ERA-Chair (o propunere va fi depusa chiar la call-ul actual) sau Teaming, dar si alte tipuri de proiecte (ERC, FET, proiecte conduse de IMM, etc.).

(q) In sfarsit, din nefericire, contextul geopolitic actual, precum si situarea României, din punct de vedere geografic, la periferia Uniunii Europene si in apropierea zonelor de conflict (Orientul Mijlociu si Ucraina) impun noi paradigm de securitate, indiferent daca este vorba de neutralizarea substantelor toxice, detectia contaminantilor de orice natura, monitorizarea traficului fraudulos (de exemplu, detectori de infraroșu ultrasensibili) sau chiar aplicatii militare, in domeniul rachetelor sau apararii antiaeriene. In trecut, INCDFM a avut colaborari intense in domeniul aplicatiilor militare si este posibil ca aceste activitati sa fie reluate, in masura in care industria militara autohtonă va solicita solutii rapide si fiabile pentru imbunatatirea starii de siguranta nationala. In cadrul institutului a fost dezvoltat un laborator de tip criminalistic in parteneriat cu structuri ale Ministerelor Afacerilor Interne din Romania si Bulgaria (SIAS si ISU si omologii bulgari) urmand ca pe viitor sa fie dezvoltate si proceduri specifice in special legate de amenintarile de tip CRBNE.

## 2. Modul de derulare al programului:

### 2.1. Descrierea activităților (utilizând și informațiile din rapoartele de fază, Anexa nr. 10)

Mai jos sunt prezentate activitatatile (fazele) desfasurate in 2019 pe cele doua proiecte componente. Sunt trecute si fondurile alocate, obiectivele urmarite pentru fiecare faza si rezultatele obtinute.

Nr. Crt.	Cod proiect	Denumirea proiectului /	Valoare proiect /	Termen de încheiere al fazei	Obiective/Rezultate

		Nr. și denumire faze de execuție	Valoare fază de execuție (lei)		
	PN19-030101	Cercetari teoretice si experimentale la frontieră cunoașterii în fizica stării condensate și a materialelor multifunctionale cu impact aplicativ în domenii de înaltă tehnologie și științele vietii.	25,000,000.00		
1		Investigarea spectro-nanoscopică a suprafețelor feroelectrice	1,000,000.00	3/14/2019	<p>Obiective: Caracterizarea strukturilor subțiri feroelectrice și a evoluției lor la variații de temperatură sau adsorbții moleculare prin nano-spectroscopie de fotoelectroni cu rezoluție spațială și unghiulară.</p> <p>Rezultate:</p> <ul style="list-style-type: none"> <li>a) Determinarea stărilor de polarizare a suprafețelor feroelectrice cu rezoluție nanoscopică.</li> <li>b) Determinarea structurii de benzi în straturile subțiri feroelectrice cu rezoluție nanoscopică.</li> <li>c) Determinarea evoluției caracteristicilor strukturilor subțiri feroelectrice în funcție de temperatură, iradiere sau adsorbție de molecule pe suprafață.</li> </ul>
2		Materiale termoelectrice nanocompozite pe baza de skutteruditi	900,000.00	3/14/2019	<p>Obiective: Se urmărește obținerea și studiul unor materiale termoelectrice nano-compozite pe baza de skutteruditi dopati pentru aplicații în domeniul de temperatură 400-800K.</p> <p>Rezultate:</p> <ol style="list-style-type: none"> <li>1. Obținerea și caracterizarea unor materiale nano-compozite formate din skutteruditi de tip n și p și diferite tipuri de pulberi nanometrice (oxizi metalici, boruri sau carburi).</li> </ol>

3		Proprietatile optice ale fotorezistului SU8 si modelarea acestora in prezenta nanoparticulelor de carbon	1,000,000.00	4/9/2019	<p>Obiective: i) intelegera proceselor de fotoluminescenta ale fotorezistului SU8 in absenta si respective in prezena nanoparticulelor de carbon (de exemplu oxid de grafena redus sau nanotuburi de carbon cu un sigur perete metalice si semiconductoare); ii) studii corelate de spectroscopie Raman si IR privind procesele de reticulare ale fotorezistului SU8 in prezenta nanoparticulelor de carbon si iii) elaborarea mecanismului de reticulare al fotorezistului SU8 in prezenta nanoparticulelor de carbon.</p> <p>Rezultate: demonstrarea abilitatii fotoluminescente in evaluarea proceselor de reticulare ale fotorezistului SU8, induse termic si respective in prezenta luminii UV in prezenta nanoparticulelor de carbon</p>
4		Controlul proprietăților magnetice și de structură locală ale unor nanoparticule de tip miez-înveliș cu miezul de fier sau oxid de fier prin tratamente termice în atmosferă de hidrogen	1,000,000.00	4/9/2019	<p>Obiective:</p> <ol style="list-style-type: none"> <li>1. Prepararea nanoparticulelor de tip miez-înveliș prin piroliză laser.</li> <li>2. Efectuarea de tratamente termice în atmosferă de hidrogen la diverse temperaturi.</li> <li>3. Efectuarea de măsurători de structură locală și magnetice.</li> </ol> <p>Rezultate:</p> <ol style="list-style-type: none"> <li>1. Determinarea compoziției de faze și legătura cu proprietățile magnetice.</li> <li>2. Determinarea structurii locale și înconjurării specifice (prin spectroscopie Mössbauer).</li> <li>3. Evidențierea influenței tratamentelor de hidrogenare asupra structurii locale și proprietăților magnetice.</li> </ol>

5		Studii coloidale ale hidroxiapatitei dopate cu argint și studii de citotoxicitate pe celule procariote.	1,000,000.00	5/9/2019	<p>Obiectiv: Obținerea de materiale AgHAp în soluție cu potențial antimicrobian și evaluarea lor complexă prin masurători de dispersie dinamică a luminii (DLS), potențial zeta, de ultrasunete, morfo-compoziționale și biologică.</p> <p>Rezultate:</p> <p>Obținerea soluțiilor de hidroxiapatită dopată cu argint (AgHAp);</p> <p>Studii coloidale prin DLS, potențial Zeta și măsurători de ultrasunete ale soluțiilor AgHAp;</p> <p>Studii morfologice și compozitionale ale soluțiilor AgHAp prin SEM și EDS;</p> <p>Studii de citotoxicitate pe celule procariote;</p> <p>O lucrare științifică trimisă spre publicare la un jurnal indexat Web of Science®.</p>
6		Materiale feroelectrice fara plumb crescute epitaxial	1,000,000.00	6/10/2018	<p>Obiectivul etapei: Etapa de fata propune un studiu de materiale feroelectrice fara plumb de calitate epitaxiala realizate pe diferite substraturi prin ablatie laser. Se urmareste un studiu fundamental, ce vizeaza deslusirea fenomenelor si mecanismelor care au loc la nivel atomic care stau la baza controlului unor parametrii de material ce influenteaza proprietatile macroscopice (temperature Curie, constanta dielectrica, polarizare).</p> <p>Rezultate: optimizarea parametrilor de depunere in scopul de a obtine filme subtiri de inalta calitate pe diferite substraturi monocristaline, studiul dependentei proprietatilor la nivel atomic functie de constanta de retea a substratului si analiza efectelor de strain indus de diferența de constanta de retea dintre substrat si materialul feroelectric.</p>
7		Materiale nanocompozite pe bază de derivați de celuloză și particule de carbon pentru obținerea de platforme senzoriale 3D flexibile	1,000,000.00	7/9/2019	<p>Obiectiv: Obtinerea de materiale nanocompozite pe bază de derivați de celuloză și particule de carbon pentru obtinerea de platforme senzoriale 3D flexibile</p> <p>Rezultate:</p> <p>perfectionarea procedurii de fabricare a unor materiale compozite pe bază de lanții biopolimerici de celuloză și materiale de carbon;</p> <p>electrificarea materialelor compozite pentru obținerea de matrice 3D;</p> <p>caracterizarea morfologică și electrochimică a matricelor 3D pe bază de materiale compozite;</p> <p>testarea matricelor 3D ca platforme senzoriale pentru analiți de interes.</p>

8		a) Depunere si caracterizare a filmelor subtiri pe baza de oxid de hafniu dopat sau nedopat pentru aplicatii electronice	400,000.00	6/14/2019	Obiectiv: In acesta faza propunem optimizarea parametrilor de depunere in vederea obtinerii unor filme subtiri pe baza de oxid de hafniu dopat sau nedopat (ex. Zr:HfO <sub>2</sub> ) de calitate ridicata, utilizand metode de depunere fizica din plasma – PVD (pulverizare asistata de magnetron si/sau ablatie cu fascicul laser pulsat). Rezultate: au fost investigate proprietatile dielectrice/feroelectricre ale straturilor de HfO <sub>2</sub> dopat si evaluata posibilitatea integrarii acestora in heterostructuri complexe de tip MFS sau FET in combinatie cu straturi semiconductoare de oxid complex de indiu, galiu si zinc (IGZO).
9		Noi compusi Heusler. Studiul proprietatilor magnetice si termoelectricre in raport cu structura electronica specifica.	1,000,000	7/12/2019	Studiul structurii electronice, a proprietatilor de transport si a comportamentului magnetic in noi compusi Heusler ternari si quaternari cu posibile aplicatii spintronice si termoelectricre. Rezultate: 1. Obtinerea structurii electronice si a proprietatilor (magnetice si de transport electric/termic) asociate in noi aliaje de tip Heusler in cadrul teoriei Functionalei de Densitate si compararea cu rezultate experimentale.
10		Proprietatile luminescente si magnetice ale materialelor nanostructurate multifunctionale dopate cu pamanturi rare	1,000,000	8/12/2019	Obiective: Studiul materialelor nanostructurate multifunctionale de tip fluoruri/cloruri dopate cu pamanturi rare cu proprietati luminescente pentru aplicatii ca luminofori de "lumina alba", in fotoovoltaica sau imagistica medicala. Rezultate: (i) Sinteza fizico-chimica si caracterizarea nanostructurale a nanofosforilor dopate cu pamanturi rare (ii) Caracterizarea proprietatilor luminescente si magnetice
11		Studii spectrale si analiza fenomenelor de interferenta cuantica in sisteme bipartite.	900,000	9/13/2019	Obiectiv: Studiul proprietatilor spectrale si al zerourilor conductantei electrice in sisteme bipartite si molecule alternante. Rezultate: i) studiul conditiilor de existenta a zerourilor "grele" in doturi cuantice de grafena si molecule; ii) elaborarea unei teorii generale pentru explicarea anularii transportului electronic in sisteme bipartite legate in serie; iii) calculul si proprietatile functiilor de unda pentru sisteme moleculare cu relevanta pentru transportul cuantic.

12		Fenomene de capacitate negativa in structuri feroelectrice	1,000,000	10/11/2019	<p>Obiectiv: Studiul fenomenului de capacitate negativa in feroelectri si heterostructuri care includ straturi feroelectrice</p> <p>Rezultate: au fost crescute straturi subtiri feroelectrice in geometrie capacitor, precum si heterostructuri care includ cel putin un strat ferroelectric; au fost realizate masuratori specific de histerezis si capacitate. S-a pus in evidenta fenomenul de capacitate negativa ca efect tranzitoriu legat de reversarea polarizarii.</p>
13		Sinteză de nanoparticule încărcate pe suprafete feroelectrice și studiul in situ al reactivității acestor suprafete	1,000,000	10/11/2019	<p>Obiective:</p> <p>Se urmareste sinteza de nanoparticule din metale nobile cu proprietati catalitice, pe suprafete feroelectrice si caracterizarea lor complexa, inclusiv in raport cu chimismul specific acestora</p> <p>Rezultate:</p> <p>Obtinerea de probe feroelectrice cu suprafata curata, caracterizarea lor compozitională și din punct de vedere al stării de polarizare prin spectroscopie de fotoelectroni (XPS, UPS), structural, prin difracție de electroni (LEED, RHEED), depunerea de metale nobile cu proprietăți catalitice, caracterizarea stării de încărcare prin XPS și UPS și studiul in situ al adsorbției și desorbției de molecule simple pe aceste suprafete, prin spectroscopie de fotoelectroni cuplată cu spectrometrie de masă.</p>
14		Dezvoltarea modelului teoretic de conductie pentru filme compacte de oxizi metalici semiconductori cu aplicatii in detectia de gaze.	900,000	11/14/2019	<p>Obiective:</p> <p>Dependenta conductantei de grosimea filmului gaz senzitiv; cazurile particulare ale semiconductorilor de tip n si p in aproximatia Maxwell-Boltzmann.</p> <p>Rezultate:</p> <p>Evolutia conductantei normalizeaza functie de:</p> <ul style="list-style-type: none"> <li>- lungimea Debye;</li> <li>- grosimea filmului gaz senzitiv;</li> <li>- curbarea de suprafata a bentilor energetice;</li> <li>- temperatura de operare a filmului gaz senzitiv.</li> </ul>

15		Studii ale materialelor nanostructurate cu proprietati magnetice dure, obtinute in sisteme fara pamanturi rare	1,000,000	11/14/2019	<p>Obiective:</p> <ol style="list-style-type: none"> <li>1. elaborarea de strategii de obtinere de faze magnetice dure in materiale magnetice fara pamanturi rare.</li> <li>2. determinarea parametrilor compozitionali necesari obtinerii de structuri de faze cu anizotropie magnetocrystalina ridicata;</li> <li>3. determinarea parametrilor magnetici (camp coercitiv, magnetizare de saturatie) si corelarea acestora cu rezultatele structurale;</li> </ol> <p>Rezultate:</p> <ol style="list-style-type: none"> <li>1. analiza compozitionala a aliajelor magnetice fara pamanturi rare si modularea stoichiometriei in vederea obtinerii fazelor magnetice de interes.</li> <li>2. obtinerea parametrilor structurali si de sinteza optimali; analiza microstructurala prin tehnici de difractie de radiatie X si imagistica de electroni;</li> <li>3. optimizarea parametrilor si a comportamentului magnetic si studiul evolutiei structurii de faze cu temperatura.</li> </ol>
16		Termodinamica proceselor de comutare a polarizarii feroelectrice: aplicarea modelului Landau-Ginzburg-Devonshire pentru structuri multistrat cu aplicatii in memorii cu stari multiple	900,000	11/14/2019	<p>Obiective: Realizarea unui model teoretic pentru a descrie curbele de polarizare obtinute experimental pe structuri multistrat cu aplicatii in memorii cu stari multiple. Se urmareste obtinerea calitativa a formei curbelor de histeresis folosind teoria Landau-Ginzburg-Devonshire.</p> <p>Rezultate: a fost determinat impactul diversilor parametri (grosimea straturilor, numarul straturilor, constantele dielectrice etc.) asupra caracteristicilor electrice ale structurilor multistrat.</p>

17		Nanofibre polimerice funcționalizate cu TiO <sub>2</sub> și ZnO pentru aplicații de photocataliză	1,000,000	11/14/2019	<p>Obiective</p> <p>Obtinerea prin procesul de electrospinning de nanofibre care să incorporeze nanoparticule de TiO<sub>2</sub> și ZnO; Gasirea concentrațiilor optime de nanoparticule dopante pentru a obține nanofibre cu proprietăți photocatalitice; Caracterizarea din punct de vedere morfologic, structural și optic a nanofibrelor electrofilate dopate cu TiO<sub>2</sub> și ZnO;</p> <p>Rezultate:</p> <p>obtinerea, prin procesul de electrospinning, a unor nanofibre polimerice cu proprietăți photocatalitice prin incorporarea în acestea de nanoparticule de TiO<sub>2</sub> și ZnO. Procesul de fabricare optimizat în funcție de concentrația de nanoparticule folosita, pentru proces de photocataliza eficient.</p>
8		b) Investigare proprietăți fizice, incluzive ferroelectrice, a filmelor subtiri pe baza de oxid de hafniu dopat sau nedopat pentru aplicații electronice	500,000.00	12/9/2019	obtinerea filmelor subtiri de Al <sub>x</sub> Hf <sub>1-x</sub> O <sub>2</sub> și Zr <sub>x</sub> Hf <sub>1-x</sub> O <sub>2</sub> prin pulverizare asistată de magnetron și depunere laser pulsată caracterizarea filmelor subtiri de Al <sub>x</sub> Hf <sub>1-x</sub> O <sub>2</sub> și Zr <sub>x</sub> Hf <sub>1-x</sub> O <sub>2</sub> prin măsurări structurale (XRD, SEM), morfologice (AFM) și optice (elipsometrie spectroscopică) integrarea straturilor subtiri de Al:HfO <sub>2</sub> și Zr:HfO <sub>2</sub> în structuri de tip capacitor și investigarea proprietăților dielectrice/ferroelectrice ale acestora integrarea straturilor subtiri de Al:HfO <sub>2</sub> și/sau Zr:HfO <sub>2</sub> în heterostructuri complexe de tip MFS sau MOS și caracterizarea electrică a acestora
18		Fenomenul de histerezis în celule solare cu perovskiti – studii experimentale și teoretice	1,000,000.00	12/9/2019	Rezultate: i) fabricarea și caracterizarea chimică și structurală a celulelor solare cu perovskiti halogenati; ii) caracterizare electrică și fotoelectrică a acestora, stabilirea dependenței marimii histerezisului atât de caracteristicile intrinseci ale probelor PSC (chimia, structura, geometria și tipul interfetelor cu materialul absorbant de tip halid perovskit) cat și de condițiile de masură (tensiuni maxime aplicate, viteze de variație a tensiunii în timpul măsurătorilor electrice, prezența sau absența iluminării); iii) dezvoltarea unui model dinamic analitic care să considere fenomenele care apar la nivel microscopic, atât datorita compozitiei și structurii PSC cat și a condițiilor de masură, și care să descrie cantitativ histerezisul în celulele solare cu perovskiti halogenate (PSC).

19		Competitia dintre localizarea polaronica si conductivitatea in oxizi de mangan	1,000,000.00	12/9/2019	<p>stabilirea semnaturii in spectrele de fotoemisie a tranzitiei de la izolator la metal in CCMO in functie de dopajul cu Ce -obtinerea experimentală a legilor de dispersie E(k) pentru LSMO si CCMO in ARPES</p> <p>-identificarea energiilor modurilor de vibratie active in cuplajul electron fonon din legile de dispersie obtinute experimental</p> <p>-modificarea polarizarii orbitale si a cuplajului electron fonon in functie de tensiunea indusa de substrat in cresterea epitaxiala</p>
20		Rolul modurilor optice si vibrationale in functionarea unor sisteme hibride cu posibile aplicatii in nanofotonica si metrologie cuantica: abordare teoretica si computationala	900,000.00	12/9/2019	Rezultate: i) obtinerea structurii de stari imbracate (dressed states) pentru modelul Tavis-Cummings generalizat; ii) comparatie cu modelul Rabi cuantic; iii) calculul curentilor dependenti de timp si al corelatiilor acestora in sisteme hibride (comparatie cu metoda ecuatiei de miscare Heisenberg-Langevin); iv) implementarea numerica a ecuatiei Master nemarkoviene pentru sisteme hibride in prezenta unor semnale dependente de timp; v) investigarea dinamicii fotonilor si/sau a modurilor de vibratie; vi) analiza efectelor de interactie si a regimului de cuplaj puternic.
21		Morfologie controlata in materiale compozite	1,000,000.00	12/9/2019	Rezultate: Obtinerea si caracterizarea unor noi materiale compozite cu morfologie prestante la nivel micrometric. Evaluarea posibilitatilor de control al proprietatilor rezultate in vederea dezvoltarii de aplicatii.
22		Nanostructuri hibride supraconductor-feromagnet	1,000,000.00	12/9/2019	Rezultate: 1. Evaluarea eficientei nanoparticulelor si/sau nanostraturilor feromagnetic ca centri pinning 2. Identificarea influentei spinilor asupra condensatului si asupra vortexurilor;
23		Studiul proprietatilor fotoelectrice ale filmelor nanocrystaline pe baza de aliaje binare din sistemul SiGeSn	1,000,000.00	12/9/2019	Rezultate: - corelarea proprietatilor fotoelectrice cu morfologia filmelor; - filme cu caracteristici optime obtinute prin experiment si modelare
24		Investigări privind efectul alotropilor carbonului asupra agregării proteinelor implicate în declanșarea bolii Alzheimer.	1,000,000.00	12/9/2019	Depunerea de straturi de A $\beta$ (1-42) din soluție prin metodele Langmuir-Blodgett și drop cast pe substrat de Si; Depunerea de straturi de fulerenă C60 pe substrat de Si; Depunerea de straturi de A $\beta$ (1-42) din soluție prin metodele Langmuir-Blodgett și drop cast pe substrat de Si acoperit cu C60; Depunerea de straturi de A $\beta$ (1-42) continând colesterol din soluție prin

					metodele Langmuir-Blodgett și drop cast pe substrat de Si și Si acoperit cu C60; Caracterizarea straturilor obținute prin metode microscopice și spectroscopice pentru identificarea prezenței structurilor secundare/fibrilare; Evidențierea corelației dintre prezența nanoparticulei și/sau colesterolului și dezvoltarea unei anumit tip de structură în strat;
25		a) Dezvoltarea de metasuprafețe și testarea acestora prin tehnici rezonante de analiză	600,000.00	12/9/2019	<p>Rezultate:</p> <p>Realizarea de metasuprafețe - arii de rezonatori optici cu dimensiuni și distanțe relative între ei mult mai mici decât lungimea de undă de operare;</p> <p>Studii de caracterizare prin spectroscopie (i) de absorbție cu cavitate rezonantă în undă evanescentă, (ii) cu rezonanțe plasmonice de suprafață, și (iii) Raman amplificată de suprafață;</p> <p>Evaluarea metasuprafețelor dezvoltate în scopul creșterii sensibilității unor senzori spectroscopici utilizati pentru detecția de anticorpi, proteine și/sau substanțe pentru terapia oncologică.</p>
26		Studiul efectelor campurilor magnetice variabile și statice asupra reacțiilor fotocatalitice pe suprafața nanoparticulelor de TiO <sub>2</sub>	1,000,000.00	12/9/2019	<p>Rezultate:</p> <ol style="list-style-type: none"> <li>Obtinerea de nanoparticule de TiO<sub>2</sub> cu activitate fotocatalitică diferită prin hidroliza controlată a alcooxizilor de titan și varierea condițiilor de tratament post-hidroliza;</li> <li>Evaluarea eficienței unor reacții fotocatalitice în prezența campurilor magnetice variabile/statice;</li> <li>Stabilirea implicării speciilor reactive de oxigen prezente în mediul de reacție în mecanismul reacției fotocatalitice în absență/prezența campurilor magnetice externe</li> </ol>
	PN19-030102	<b>Dezvoltarea de metode teoretice și numerice avansate și de programe de formare profesională pentru investigarea unor procese din fizica și domeniile conexe</b>	<b>469,744.00</b>		

1a		Realizarea unui pachet software performant și multifuncțional pentru analiza datelor multidimensionale rezultate din spectromicroscopie I: realizarea și testarea pachetului software	196,560.00	9/9/2019	Obiective: Pachet de programe pentru analiza cuburilor și hipercuburilor de date de spectro-microscopie Rezultate: a) Realizarea de module pentru analiza rapidă și vizualizarea imediată a spectrelor. b) Realizarea de module pentru vizualizarea imediată a intensităților integrate pe regiuni de interes. c) Realizarea de module de generare de filme din date înregistrate la momente de timp diferite. d) Realizarea de module pentru fitarea automată a datelor experimentale și reprezentarea dependențelor parametrilor de fitare.
1b		Realizarea unui pachet software performant și multifuncțional pentru analiza datelor multidimensionale rezultate din spectromicroscopie I: elaborarea și diseminarea manualului de utilizare”	53,440	11/14/2019	Elaborarea și diseminarea manualului de utilizare a pachetului software performant și multifuncțional pentru analiza datelor multidimensionale rezultate din spectromicroscopie
2a		Pregatiri preliminare ale codului numeric de calcul al factorilor spatiu de faza pentru tranzitiile beta superpermise	122,031	12/9/2019	Pentru atingerea standardelor și incertitudinilor experimentale actuale pentru marimile masurate in tranzitiile beta superpermise, valoarea factorului spatiu de faza trebuie corectata.Codul numeric de rezolvare al ecuatiei Dirac trebuie scris astfel incat sa cuprinda corectiile de dimensiune finita a nucleului, de masa finita a nucleului, schimb atomic, ecranare datorata norului electronic atomic si corectii de schimb intre electronul (pozitronul) emis si norul electronic atomic. In aceasta etapa ne propunem sa introducem toate aceste corectii in codul numeric pentru rezolvarea ecuatiei Dirac, prin care se poate obtine factorul spatiu de faza si sa comparam rezultatele preliminare cu literatura de specialitate.
2b		Estimarea elementului Vud din matricea CKM si	97,713.00	12/9/2019	In aceasta etapa au fost introduse corectii in codul numeric pentru rezolvarea ecuatiei Dirac, prin care se poate obtine factorul spatiu de faza si sa comparam rezultatele preliminare cu literatura de specialitate.
<b>Total program:</b>		25,469,744.00			

## 2.2. Proiecte contractate:

od obiectiv	Nr. proiecte contractate	Nr. proiecte finalize	Anul 2019

<b>1. PN19-030101</b>	<b>2</b>	<b>0</b>	<b>25,469,744.00</b>
<b>Total:</b>	<b>2</b>	<b>0</b>	<b>25,469,744.00</b>

**2.3 Situația centralizată a cheltuielilor privind programul-nucleu : Cheltuieli în lei**

	<b>Anul</b> .....
<b>I. Cheltuieli directe</b>	
1. Cheltuieli de personal	
2. Cheltuieli materiale și servicii	
<b>II. Cheltuieli Indirecte: Regia</b>	
<b>III. Achiziții / Dotări independente din care:</b>	
1. pentru construcție/modernizare infrastructura	
<b>TOTAL ( I+II+III)</b>	

**3. Analiza stadiului de atingere a obiectivelor programului**

(descriere)

Indicatori specifici pentru monitorizare si evaluare (valori minime asumate), asa cum apar in **Anexa 1. la Ordinul MCI nr. 924/30.10.2018:**

- Studii si documentatii pentru noi tehnologii, echipamente si metode: 4
- Formule, retete, scheme, produse si tehnologii (la nivel de material, tehnologie sau demonstrator produs in laborator): 30
- Lucrari publicate in jurnale ISI: 500
- Cereri de brevet depuse: 30
- Aplicatii de proiecte: 25 (depinde si de ritmicitatea competitiiilor)
- Tineri cercetatori angajati in institut: 10
- Institutii colaboratoare din tara si strainatate: 30
- Cercetatori din strainatate care vin pentru stagii de lucru in INCDFM: 10
- Firme contactate pentru valorificarea rezultatelor: 30 (domenii: electronica; auto; IT; securitate; energetica; echipamente si automatizari; medicina; protectia mediului)
- Prezentari la conferinte: 300

<i>Indicator</i>	<i>Valoare asumata la final Program Nucleu (2022)</i>	<i>Valoare realizata in 2019 (primul an)</i>	<i>Grad de realizare (%)</i>	<i>Observatii/Detalieri</i>
<u>Studii si documentatii pentru noi tehnologii, echipamente si metode</u>	4	2	50	<i>Fazele 5 si 15 din schema de realizare</i>
<u>Formule, retete, scheme, produse si tehnologii (la nivel de material, tehnologie sau demonstrator produs in laborator)</u>	30	9	30	<i>Fazele 2, 6, 7, 8, 9, 13, 17, 22, 1a din schema de realizare</i>
<u>Lucrari publicate in jurnale ISI</u>	500	170	34	
<u>Cereri de brevet</u>	30			

<b>depuse</b>				
<b>Aplicatii de proiecte</b>	25	159	636	<i>103 proiecte PED (68 ca institutie coordonatoare); 6 proiecte PTE (parteneri); 23 proiecte PD; 23 proiecte TE; 2 proiecte ERC; 1 proiect CERN; 1 proiecte Norvegia</i>
<b>Tineri cercetatori angajati in institut</b>	10	6	60	<i>Concurs organizat in octombrie 2019</i>
<b>Institutii colaboratoare din tara si strainatate</b>	30	42	140	<i>7 din strainatate in proiecte H2020; 35 din tara in proiecte PED</i>
<b>Cercetatori din strainatate care vin pentru stagii de lucru in INCDFM</b>	10	12	120	<i>Bursieri AUF</i>
<b>Firme contactate pentru valorificarea rezultatelor</b>	30	17	56.7	<i>Cu 11 au fost incheiate contracte, cu 6 au fost depuse proiecte PTE</i>
<b>Prezentari la conferinte</b>	300	161	63.7	<i>23 invitate; 53 orale; 85 postere</i>

Se poate constata ca indicatorii asumati in propunerea de Program Nucleu transmisa la competitia organizata la inceputul anului 2019 au un grad de indeplinire de cel putin 30 %, in conditiile in care actualul Program Nucleu se intinde pe 4 ani, pana la finalul anului 2022.

Remarcabil este faptul ca unii indicatori au fost consistent depasiti inca din primul an, cum ar fi „Aplicatii de proiecte”, „Institutii colaboratoare din tara si strainatate” si „Cercetatori din strainatatecare vin pentru stagii de lucru in INCDFM”. Printre cauzele care au dus la aceasta situatie putem enumera urmatoarele:

- Competitiile de proiecte organizate in 2019, dupa o pauza de 3 ani. Aceasta lipsa de competitii a dus la depunerea unui numar foarte mare de proiecte, in special la PED si PTE, pentru a se putea asigura o finantare cat de cat decenta in anii urmatori.
- Proiectele de tip colaborativ cu firme au dus la contactarea unui numar mare de companii pentru a se analiza posibile colaborari in vederea valorificarii rezultatelor obtinute in cadrul Programelor Nucleu anterioare, sau al Programului Nucleu actual. Merita mentionat faptul ca Programul Nucleu este cand ca un „incubator” pentru noi idei, inclusiv demonstrarea validitatii lor in sistem „proof of concept”. Multe dintre solutiile tehnice propuse firmelor care au depus expresii de interes pentru proiecte de tip POC-G isi au originea in cercetarile efectuate in cadrul Programului Nucleu. Ca urmare, incheiere de contracte subsidiare Poc-G poate fi privita ca o modalitate de valorificare a rezultatelor obtinute in cadrul Nucleului, contractele finantand transferul efectiv de cunoastere de la INCDFM catre firmele partenere, cu scopul declarat de pune in piata noi produse si tehnologii.
- Infrastructura de cercetare variata si moderna atrage un numar din ce in ce mai mare de tineri din tari mai putin dezvoltate pentru a veni sa desfasoare stagii experimentale de practica in INCDFM, mergand pana la a se inscrie la doctorat in tara.

Mai mentionam ca rezultatele prezentate mai sus au fost obtinute în condițiile în care finanțarea pentru 2019 a fost sub cea solicitată prin propunerea transmisa (25,469,744.00 lei alocat fata de 32,600,000.00 lei solicitati). Ca urmare, nu toate fazele prevazute în 2019 au putut fi finalizate, dar cu toate acestea obiectivele prevazute pentru 2019 au fost îndeplinite, toti indicatorii fiind în graficul de realizare.

#### **4. Prezentarea rezultatelor:**

##### **4.1. Stadiul de implementare al proiectelor componente**

Denumirea proiectului	Tipul rezultatului estimat	Stadiul realizării proiectului
<b>1. Cercetari teoretice si experimentale la frontiera cunoasterii in fizica starii condensate si al materialelor multifunctionale cu impact aplicativ in domenii de inalta tehnologie si stiintele vietii</b>	(studiu proiect, prototip, tehnolog, etc., alte rezultate) 2 studii; 9 formule, retete, materiale; 170 lucrari publicate in jurnale indexate ISI si alte 27 de lucrari in alte publicatii; cereri de brevet si modele de utilitate.	<b>In grafic, grad de realizare estimat la 32 %</b>
<b>2. Dezvoltarea de metode teoretice si numerice avansate si de programe de formare profesionala pentru investigarea unor procese din fizica si domenii conexe</b>	1 produs software; 2 lucrari ISI	<b>In grafic, grad de realizare estimat 30 %</b>

În continuare sunt prezentate, în rezumat, principalele rezultate obținute la fiecare fază/etapa de realizare din schema de mai sus.

**Titlu Fază:** Investigarea spectro-nanoscopica a suprafețelor ferroelectrice

**Termen:** 3/14/2019

**Obiective:** Caracterizarea straturilor subțiri ferroelectrice și a evoluției lor la variații de temperatură sau adsorbții moleculare prin nano-spectroscopie de fotoelectroni cu rezoluție spațială și unghiulară. Validarea unei noi metode multi-dimensionale de caracterizare corelată a materialelor ferroelectrice din punct de vedere structural, al structurii de domenii, structurii electronice și transferului de sarcină ca urmare a adsorbțiilor moleculare la suprafață.

**Rezultate estimate initial:**

- a) Determinarea stărilor de polarizare a suprafețelor ferroelectrice cu rezoluție nanoscopică.
- b) Determinarea structurii de benzi în straturile subțiri ferroelectrice cu rezoluție nanoscopică.
- c) Determinarea evoluției caracteristicilor straturilor subțiri ferroelectrice în funcție de temperatură, iradiere sau adsorbție de molecule pe suprafață.

**Rezultate obținute** (scurtă descriere a celor mai importante rezultate, cu 1-2 imagini/grafice de impact care susțin rezultatele):

Scopul actualului experiment a fost, pe de o parte, investițarea acestor procese cu o rezoluție spațială mai bună (100 nm față de > 0,6 μm în lucrările [1–3]), precum și, mai cu seamă, folosirea rezoluției unghiulare pentru analize mai fine. Pe linia de fascicul Antares de la facilitatea de radiație de sincrotron Soleil de la Saclay (Franța) se pot obține hipercuburi de date (4-dimensionale) ale intensității fotoelectronilor emiși în funcție de cele două coordonate spațiale pe suprafață probei analizată (x și y), unghiul (polar) de emisie θ și, bineînțeles, energia cinetică a fotoelectronilor  $E_k$ . Fascicul de radiație de sincrotron poate fi focalizat folosindu-se plăci zonale Fresnel (Fresnel zone plates) până la dimensiunea spot-ului amintită anterior, 100 nm. Ideea principală a experimenterului a fost stabilirea unor hărți ale pozițiilor energiilor de legătură în funcție de x și y; apoi, pe zone corespunzând unor valori diferite ale componentei perpendiculare pe planul polarizării, investigarea dependenței

unghiulară a fotoelectronilor emiși, tratarea acestor dependențe prin un formalism de difracție de fotoelectroni (XPD) [4]; de asemenea, înregistrarea de spectre de fotoelectroni din banda de valență rezolvate unghiular (ARUPS) conducând la determinarea experimentală a structurii de bandă pe regiuni cu polarizare bine definită, adică deducerea legilor de dispersie  $E(k_{||})$ ,  $k_{||}$  fiind componenta vectorului de undă al electronilor din banda de valență paralelă cu suprafața.

Ca exemplu, pentru proba de grosime de 200 nm, energiile de legătură Pb 5d<sub>5/2</sub> nanoscopic au fost 14.17 eV (presupuse regiuni cu polarizare orientată înspre interior P<sup>(-)</sup>) și 14.93 eV (regiuni unde am presupus polarizarea orientată înspre exterior P<sup>(+)</sup>). S-au extras atât figurile de difracție XPD, cît și structurile de bandă în mod diferențiat pe regiuni cu energii de legătură Pb 5d diferite. O hartă a energiilor de legătură a maximelor Pb 5d<sub>5/2</sub> este dată în Fig. 1(a). În Fig. 1(b,c) am reprezentat imaginile de difracție de fotoelectroni obținute în mod diferențiat prin sumarea semnalelor pe regiunile de tip A (minoritare) sau B (majoritare). Se observă că valorile maximelor XPD sunt aceleiași, în ciuda diferențelor de energii de legătură, iar tetragonalitatea poate fi calculată în ambele cazuri ca fiind  $c/a \approx 1.067$ . Aici apare un rezultat surprinzător, în sensul că tetragonalitatea obținută pentru proba mai groasă este mai importantă decât pentru proba mai subțire, unde s-a dedus  $c/a \approx 1.058$ .

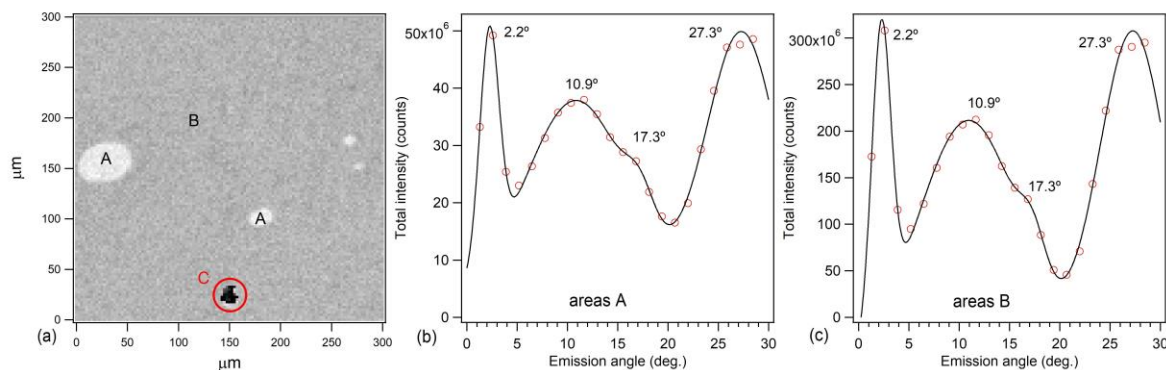


Fig. 1. (a) Harta energiilor de legătură ale maximului Pb 5d<sub>5/2</sub> obținute pentru proba de 200 nm PZT(001); (b,c) imagini de difracție de fotoelectroni obținute în mod diferențiat sumând pe regiunile de tip A sau B, identificate în (a).

În final, probele au fost dozate cu apă (absorbant polar) și s-au reluat experimentele, evidențiindu-se deplasări foarte importante, de 6–8 eV pentru proba mai groasă (200 nm). Se poate presupune, de exemplu, că prezența câmpului electric la suprafață disociază molecule de apă, iar electroni, protoni sau radicali OH<sup>-</sup> migrează înspre interiorul probei, neutralizând stratul de compensare.

#### Bibliografie:

- [1] D. G. Popescu, M. A. Hușanu, L. Trupină, L. Hrib, L. Pintilie, A. Barinov, S. Lizzit, P. Lacovig, C. M. Teodorescu, Phys. Chem. Chem. Phys. 17, 509–520 (2015).
- [2] M. A. Hușanu, D. G. Popescu, C. A. Tache, N. G. Apostol, A. Barinov, S. Lizzit, P. Lacovig, C. M. Teodorescu, Appl. Surf. Sci. 352, 73–81 (2015).
- [3] L. E. Abramiec, L. C. Tănase, A. Barinov, N. G. Apostol, C. Chirilă, L. Trupină, L. Pintilie, C. M. Teodorescu, Nanoscale 9, 11055–11067 (2017).
- [4] A. Pancotti, J. Wang, P. Chen, L. Tortech, C. M. Teodorescu, E. Frantzeskakis, N. Barrett, Phys. Rev. B 87, 184116 (2013).

#### Concluzii și perspective:

S-a realizat caracterizarea completă a interdependenței dintre structură, starea de polarizare și structura electronică în materialele feroelectrice. De asemenea, influența temperaturii și a adsorbției moleculare duc la așteptări considerabile în domeniul proprietăților catalitice și fotocatalitice ale acestor suprafete. Obținerea deplasărilor semnificative spre energii de legătură mai ridicate după adsorbția apei pe suprafete pre-polarizate

este un efect extrem de important și care ar putea avea aplicații importante în cataliză, fotocataliză și efecte fotovoltaice.

Continuarea cercetărilor presupune investigarea și a altor probe, cu diferite stări de polarizare, de exemplu pornindu-se de la PZT(001) sintetizat pe substraturi de  $\text{SrTiO}_3$  dopat cu Nb (STON), unde polarizarea majoritară ar trebui să fie orientată înspre exteriorul probei, față de cazul PZT sintetizat pe  $\text{SrRuO}_3$ , unde polarizarea majoritară s-a obținut orientată înspre interior. De asemenea, pentru aplicații domestice ar trebui să se înceapă investigarea materialelor feroelectrice fără Pb, de exemplu a  $\text{BaTiO}_3$  sau a  $\text{LiNbO}_3$ .

### **Titlu Faza:** Materiale termoelectrice nanocompozite pe baza de skutteruditi

**Termen:** 3/14/2019

**Obiective:** Se urmărește obtinerea și investigarea proprietăților unor materiale termoelectrice nano-compozite, fabricate prin incorporarea în matricea unui compus de tip skutterudit dopat a unor nanoparticule, cu scopul de a imbunătăți proprietățile termodinamice și mecanice ale acestora, în vederea dezvoltării, într-o etapă ulterioară, a unor aplicații în domeniul de temperatură 400-900K.

#### **Rezultate estimate initial:**

Este vizată sinteza skutteruditului dopat cu două tipuri de atomi,  $\text{In}_{0.2}\text{Yb}_{0.2}\text{Co}_4\text{Sb}_{12}$ , în stare monofazică și cu stoichiometrie ridicată. Ulterior, în matricea acestuia vor fi incorporate procente diferite de  $\beta$ -SiC nanometric și se va urmări determinarea procentului optim de  $\beta$ -SiC care conduce la maximizarea valorilor figurii de merit, ZT.

**Rezultate obtinute** (scurta descriere a celor mai importante rezultate, cu 1-2 imagini/grafice de impact care susțin rezultatele):

In general, calitatea unui material termoelectric este caracterizata de o marime adimensională denumita "figura de merit",  $ZT = (S^2 \sigma T) / \kappa$ , unde  $\kappa$  este conductivitatea termică, S coeficientul Seebeck iar  $\sigma$  conductivitatea electrică. Cele mai bune materiale termoelectrice au valori ale ZT cuprinse între 1 și 2,5, problema imbunătățirii acestora reducându-se la optimizarea marimilor care o definesc, un proces dificil tinând seama de faptul că ameliorand una dintre ele le va afecta nefavorabil pe celelalte.

Skutteruditii sunt recunoscuți drept materiale cu proprietăți termoelectrice excelente într-un interval de temperatură cuprins între 400K și 900K. Cel mai cunoscut tip de scuterudit,  $\text{CoSb}_3$ , are celula unitate formată din 32 de atomi ( $\text{Co}_8\text{Sb}_{24}$ ) distribuți într-un cub în cărurile caruia se află atomi de Co cu sase inele de Sb ocupând 6 cavități și încă două cavități libere în pozițiile  $(0,0,0)$  sau  $(\frac{1}{2}, \frac{1}{2}, \frac{1}{2})$ . Cele două cavități libere din celula unitate pot fi ocupate de atomi cu o raza ionica mai mică decât raza acestei cavități. Vibratiile atomilor din cavități imprăstie modurile fononice acustice conducând astfel la scăderea valorilor conductivității termice,  $\kappa$ , efect amplificat de numărul tipurilor distincte de atomi introdusi în cavități. Din aceste considerente, compusul de bază ales în acest studiu este un skutterudit dublu dopat, respectiv  $\text{In}_{0.2}\text{Yb}_{0.2}\text{Co}_4\text{Sb}_{12}$ . Acesta a fost preparat într-o metodă tradițională de tipul topire - tratament termic – sinterizare obținând probe monofazice care cristalizează în structură cubică tipică  $I\ m\bar{3}$ . Ulterior, pulberi cu această compozitie au fost amestecate cu diferite procente volumice de  $\beta$ -SiC nanometric, într-o moară planetară cu bile și sinterizate prin spark plasma sintering (SPS).

Proprietățile de transport electric ale materialelor compozite astfel obținute sunt caracteristice unui semiconductoare puternic dopat de tip  $n$ , cu valori negative ale coeficientului Seebeck, ce descresc cu creșterea temperaturii. Astăndată conductivitatea electrică, ca și coeficientul Seebeck descreză pe măsură ce continutul de  $\beta$ -SiC din probe crește, exceptie facând proba cu adăos minim, respectiv 0.33 v%  $\beta$ -SiC, care prezintă valori mai mari ale conductivității electrice decât proba de referință  $\text{In}_{0.2}\text{Yb}_{0.2}\text{Co}_4\text{Sb}_{12}$ . Cu toate că  $\beta$ -SiC are o conductivitate termică mai mare decât a skutteruditului, conductivitatea termică a compozitelor scade ușor pe măsură ce procentul de SiC din probe crește, exceptie facând proba cu 1% v SiC. Evoluția componentei de rețea a conductivității termice,  $\kappa_L$  care descreză odată cu creșterea continutului de SiC din probe, poate fi explicată prin intensificarea imprăstierilor fononice pe un domeniu mai larg de frecvențe la granitile dintre grauntii de  $\text{In}_{0.2}\text{Yb}_{0.2}\text{Co}_4\text{Sb}_{12}$  precum și la interfetele SiC/ $\text{In}_{0.2}\text{Yb}_{0.2}\text{Co}_4\text{Sb}_{12}$ .

Drept consecinta a evolutiilor conductivitatii electrice si a coeficientului Seebeck cu temperatura, materialele compozite cu un adaos de 0.33 v%  $\beta$ -SiC prezinta o crestere a *factorului de putere*,  $PF=S^2\sigma$ , pe intreg domeniul de temperatura masurat. In acest caz, la 400  $^{\circ}$ C se inregistreaza valoarea maxima a PF de  $32.7 \times 10^{-4}$  W/m\*K<sup>2</sup>, reprezentand o crestere de circa 8% fata de compusul de baza  $In_{0.2}Yb_{0.2}Co_4Sb_{12}$  (figura 1.a). Totodata, pentru aceeasi proba este de remarcat cresterea valorilorii maxime a ZT la 0.918, cu 8.44% mai mare decat a fazei pure  $In_{0.2}Yb_{0.2}Co_4Sb_{12}$  (figura 1.b).

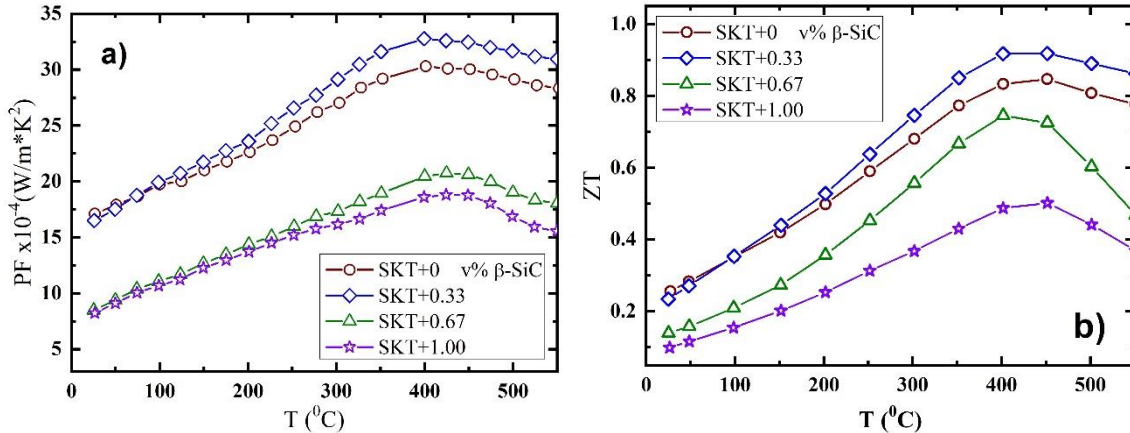


Fig.1: Dependenta de temperatura a factorului de putere a) si a figurii de merit b). in compozite nanostructurate SKT/β-SiC.

### Concluzii si perspective:

$In_{0.2}Yb_{0.2}Co_4Sb_{12}$  monofazic, cu o stoichiometrie foarte apropiata de cea calculata, a fost obtinut printr-o metoda traditionala, urmata de macinare in moara cu bile si de sinterizare asistata de campul electric – SPS. Incorporarea in matricea skutteruditului a diferitor procente de  $\beta$ -SiC conduce, pentru concentratii volumice reduse ale acesteia, la imbunatatirea proprietatilor termoelectrice ale materialelor compozite. Astfel, pentru materialul compozit cu numai 0.33 %v  $\beta$ -SiC, s-a obtinut o valoare maxima a figurii de merit de 0.918 la 450  $^{\circ}$ C, cu 8.44% mai mare decat a fazei pure  $In_{0.2}Yb_{0.2}Co_4Sb_{12}$ . Concentratii mai mari ale  $\beta$ -SiC conduc la scaderea valorilor conductivitatii electrice ceea ce, in ansamblu, rezulta in obtinerea unor valori mai scazute ale figurii de merit, ZT.

Investigatiile prezentate aici pot fi completate prin optimizarea procesului de sinteza, care sa conduca la imbunatatirea stoichiometriei skutteruditului si implicit a valorilor figurii de merit. Totodata, aceste rezultate ar putea fi motivul pentru demararea fabricarii unui nanocompozit similar avand la baza un skutterudit de tip p, si ulterior utilizarea ambelor tipuri de materiale pentru construirea unui element termoelectric.

**Titlu Faza:** Proprietatile optice ale fotorezistului SU8 si modelarea acestora in prezenta nanoparticulelor de carbon

**Termen:** 4/9/2019

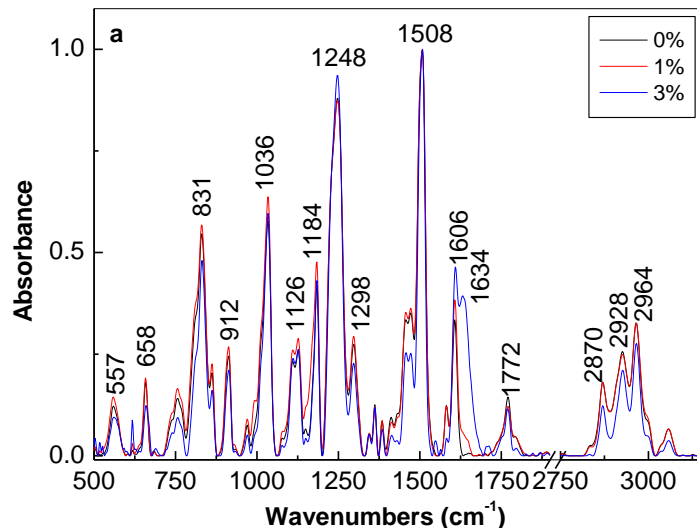
**Obiective:** evidențierea proprietărilor optice ale fotorezistului SU8 si modelarea acestor proprietăți în prezenta nanoparticulelor de carbon de tipul nanotuburilor de carbon cu un singur perete functionalizate cu grupuri carboxil (SWNT-COOH).

Rezultate estimate initial: i) evidențierea proprietărilor fotoluminescente ale fotorezistului SU8 în absență și în prezenta SWNT-COOH; ii) evidențierea prin studii de fotoluminescentă (PL), imprăștiere Raman și spectroscopie de absorbtie IR a fotorezistului SU8 în absență și în prezenta SWNT-COOH

**Rezultate obținute** (scurta descriere a celor mai importante rezultate, cu 1-2 imagini/grafice de impact care susțin rezultatele):

Noi rezultate privind influența luminii UV asupra fotopolimerizării cationice a SU8 în absență și în prezenta nanotuburilor de carbon au fost raportate prin fotoluminescentă (PL), imprăștiere Raman și spectroscopie de

absorbtie IR. Rezultatele au evidențiat: i) reacția de fotopolimerizare cationică a fotorezistului SU8 este indușă în prezența luminii UVA, în timp ce în prezența luminii UVB a fost raportată doar o reacție de fotoreticulare parțială a fotorezistului SU8; ii) PL a fost raportată a fi o metodă eficace în evidențierea reacției de fotopolimerizare cationică a fotorezistului SU8; în acest context, s-a arătat că fotorezistul SU8 prezintă o bandă de PL cu maximul la ~400 și 429 nm, cand lumina de excitare este egală cu 325 sau respectiv 350 nm; sub lumina UVA, fotopolimerizarea este evidențiată printr-o bandă de PL cu maximul la 556 nm; procesul de fotopolimerizare cationică a SU8 este confirmată de imprăstierea Raman și spectroscopia de absorbtie IR; iii) indiferent de tipul de nanotuburi de carbon cu unu, doi sau mai mulți peerti sau functionalizate cu grupari carboxil, este raportat un proces de stingere a PL SU8; iv) adăugarea nanotuburilor de carbon în matricea fotorezistului SU8, induce sub lumina UVA, o fotopolimerizare cationică parțială. Fotopolimerizarea cationică parțială este susținută de creșterea absorbantei benzii IR situate la  $1772\text{ cm}^{-1}$  atribuită modului vibrational C=O al grupărilor funktionale de tip ester (Fig. 1); v) diminuarea unghiului de legare a fotorezistului SU8 în prezența nanotuburilor de carbon functionalizate cu grupări carboxyl este indușă, conform mecanismului propus în studiile raportate, prin apariția a noi legături covalente între lanturile macromoleculare ale SU8 și nanotuburile de carbon cu un singur perete functionalizate cu grupări carboxil de tip ester care au loc simultan cu formarea a noi legături  $\pi$ - $\pi$  stabilite între inelele fenil ale fotorezistului SU8 și cele ale nanotuburilor de carbon.



**Fig. 1** Spectrele IR ale fotorezistului SU8 (curba neagră) și a compozitului său cu nanotuburile de carbon, având concentrația de 1% (curba roșie) și 3% (curba albastră) în masa SU8/nanotub de carbon după 3 ore de iradiere UVA.

#### Concluzii și perspective:

Rezultatele au demonstrat că: i) fotoluminescența poate fi o metodă complementară imprăstierii Raman și spectroscopiei de absorbtie IR pentru monitorizarea reacțiilor de fotoreticulare ale fotorezistului SU8; ii) reacția de fotopolimerizare a fotorezistului SU8 are loc predominant sub influența luminii UVA, conform studiilor de fotoluminescență, imprăstiere Raman și spectroscopie de absorbtie IR și iii) o modificare a unghiului de legare a compusului macromolecular pe suprafața nanotuburilor de carbon a fost evidențiată prin studii de fotoluminescență anizotropa, fapt care a permis înțelegerea modul de acoperire a nanotuburilor cu compusul macromolecular. Perspectivele de continuare a acestor studii vizează aplicării în domeniul structurilor imprimate cu jet de cerneala și înțelegerea procesului de fotopolimerizare în cazul altor nanostructuri.

**Titlu Faza:** Controlul proprietăților magnetice și de structură locală ale unor nanoparticule de tip miez-invelis cu miezul de fier sau oxid de fier prin tratamente termice în atmosferă de hidrogen

**Termen:** 4/9/2019

## Obiective:

1. Prepararea nanoparticulelor de tip miez-înveliș prin piroliză laser.
2. Efectuarea de tratamente termice în atmosferă de hidrogen la diverse temperaturi.
3. Efectuarea de măsurători de structură locală și magnetice.

## Rezultate estimate initial:

1. Determinarea compoziției de faze și legătura cu proprietățile magnetice.
2. Determinarea structurii locale și înconjurării specifice (prin spectroscopie Mössbauer).
3. Evidențierea influenței tratamentelor de hidrogenare asupra structurii locale și proprietăților magnetice.

## Rezultate obtinute (scurta descriere a celor mai importante rezultate, cu 1-2 imagini/grafice de impact care sustin rezultatele):

Nanoparticulele pe bază de fier și de oxizi de fier de tip miez-înveliș sunt nanostructuri excepționale cu efecte importante induse de dimensiune precum coecitivitate ajustabilă față de structuri de dimensiuni mari și comportament superparamagnetic în cazul dimensiunilor reduse considerabil. Ca urmare, sunt de interes ridicat pentru aplicații avansate în biomedicină, cataliză, absorție de microunde, separare magnetică a biomoleculelor, dispozitive magneto-optice, sisteme de înregistrare magnetică, senzori, stocare de hidrogen, creștere de nanotuburi de carbon și tratamentul apei. Învelișurile protectoare (dintre care carbonul prezintă numeroase avantaje) sunt o abordare viabilă pentru stabilizarea chimică a nanoparticulelor. Sunt prezentate proprietățile structurale, de structură locală și magnetice ale unor nanoparticule de tip miez-înveliș (Fe acoperit de C), precum și ale unor nanoparticule de oxizi de Fe preparate prin piroliză laser nefiltrată (A) tratate termic în atmosferă de hidrogen la 200 (A200C) și 305°C (A305C).

Din rezultatele de difracție de raze X ale probelor de oxizi de fier, se observă că tratamentul termic în atmosferă de hidrogen la o temperatură mai ridicată, de 305 °C, induce cu succes formarea unei faze metalice unice de Fe. Din curbele ZFC-FC ale probelor de oxid de fier (fig.1a) au fost determinate temperaturile de blocare: proba nefiltrată  $T_B=106$  K ( $M=1.46$  emu/g), proba A200C  $T_B=110$  K ( $M=1.49$  emu/g). În cazul probei A305C,  $T_B$  crește considerabil la 356 T ( $M=3$  emu/g) datorită modificării stării de valență a fierului (faza  $\alpha$ -Fe metallică). Valorile câmpului coercitiv variază considerabil, de la 900 Oe la temperaturi joase la câteva zeci de Oe la temperatura camerei (fig.1b,c). La temperaturi joase, procedeul de răcire în câmp induce valori puțin mai mari față de procesul de răcire fără câmp. De asemenea, magnetizarea de saturatie crește după tratamentul termic. Constanta de anizotropie magnetocristalină ( $K_{exp}$ ) poate fi aproximată ca produsul dintre câmpul coercitiv  $H_C$  la temperaturi joase și magnetizarea spontană (care poate fi considerată magnetizarea de saturatie la temperaturi joase), deoarece nanoparticulele magnetice au în general comportament de monodomeniu, fără pereți de domenii și pot fi tratate în cadrul modelului Stoner-Wohlfarth. În general, constanta de anizotropie magnetocristalină este de aproximativ  $2.2 \times 10^4$  J/m<sup>3</sup> pentru probele A și A200C.

Au fost investigate compoziția, structura locală și fenomene de relaxare magnetică prin spectroscopie Mössbauer. Spectrele Mössbauer ale probelor C (miez de fier învelis de carbon), B și A (oxizi de fier), colectate la temperaturi între 4.5 K și temperatura camerei. Spectrele Mössbauer la temperaturi joase (<50K) ale probelor C (fig.2), B și A prezintă o caracteristică magnetică principală largă atribuită fazelor de oxizi de fier (maghemită sau magnetită sau amestec în configurații distorsionate). În cazul probei C, o fază secundară, mai puțin intensă, este atribuită carburilor de fier. Faza de carbură ar putea fi legată de un efect de amestec între miez și înveliș.

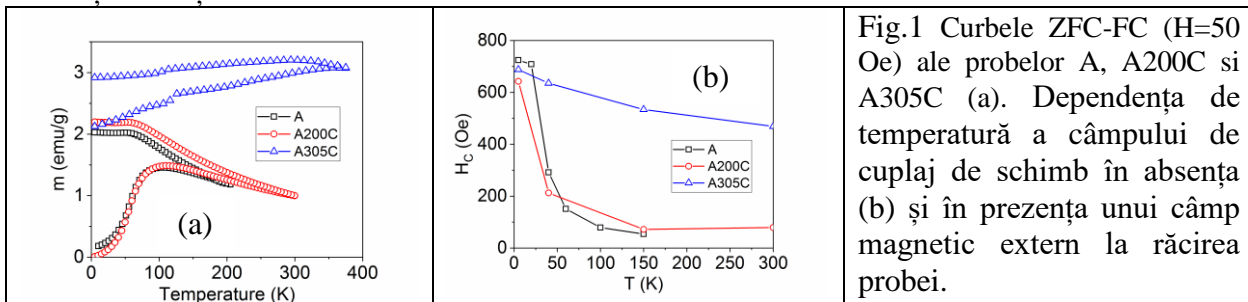
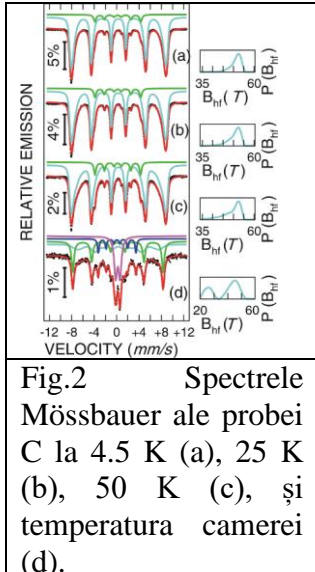


Fig.1 Curbele ZFC-FC ( $H=50$  Oe) ale probelor A, A200C și A305C (a). Dependența de temperatură a câmpului de cuplaj de schimb în absență (b) și în prezență unui câmp magnetic extern la răcirea probei.



**Fig.2** Spectrele Mössbauer ale probei C la 4.5 K (a), 25 K (b), 50 K (c), și temperatura camerei (d).

La temperatura camerei, faza maghemită/martensită este încă predominantă, corespunzând unui sextet cristalin bine format. De asemenea, o distribuție largă de câmpuri magnetice hiperfine cu două maxime la 45 T și la 26 T este atribuită unor faze de magnetită/maghemită în configurații defecte, precum și unei faze Fe-C cauzate de difuzia atomilor de C din înveliș spre miezul de Fe. Oxizii de Fe sunt parțial colapsați într-un dublet paramagnetic datorită relaxării superparamagnetice a nanoparticulelor foarte mici. La temperatura camerei, faza de carbură de fier este identificată precis ca fiind cementita,  $\text{Fe}_3\text{C}$ . Deși particulele au diametre de cățiva nanometri, la temperaturile cele mai mici se găsesc în stare blocată, cu temperaturi de blocare mai ridicate. După tratamentul termic în atmosferă de hidrogen la 200°C asupra probei A, spectrele colectate la temperaturi până la 180°C prezintă o caracteristică magnetică relativ îngustă și au fost fitate cu trei componente magnetice principale atribuite oxizilor de fier maghemită și magnetită. O fracție redusă din spectre este legată de prezența fazelor metalice  $\alpha$ -Fe. Însă la temperatura camerei sunt prezente fenomene de relaxare, în strânsă legătură cu dimensiunea nanometrică a particulelor. Tratamentul termic la 305°C determină cu succes cristalizarea nanoparticulelor într-o fază unică  $\alpha$ -Fe, în concordanță cu rezultatele difracției.

**Concluzii și perspective:** În această raportare sunt prezentate studii complexe asupra unor nanoparticule de Fe înglobate în matrice de C și nanoparticule de oxizi de Fe. Acestea au fost preparate prin piroliză laser. Din măsurători de spectroscopie Mössbauer asupra compozitului Fe-C s-a evidențiat prezența carburilor (datorită penetrării învelișului de C în miezul de Fe) și a oxizilor (datorită oxidării nanoparticulelor de Fe rămase neacoperite de C). Nanoparticulele de oxizi de Fe au fost tratate termic în atmosferă de hidrogen la 305°C pentru a evidenția efectul asupra proprietăților de structură locală și magnetism. Probele ne tratate au constat din oxizi de fier. Însă tratamentul termic în atmosferă de hidrogen a reușit să inducă formarea unei faze de  $\alpha$ -Fe pură, fără prezența oxizilor. Această raportare arată că se poate obține cu succes înlăturarea oxizilor din nanoparticule de Fe prin tratamente ulterioare în atmosferă de hidrogen. Nanoparticulele rezultante sunt stabile cu oxidarea.

### **Titlu Faza: Studii coloidale ale hidroxiapatitei dopate cu argint și studii de citotoxicitate pe celule procarioote.**

**Termen:** 5/09/2019

**Obiective:** Acest studiu s-a axat pe obținerea unor geluri de hidroxiapatita dopata cu argint (AgHAp). Stabilitatea gelurilor AgHAp sintetizate prin metoda sol-gel a fost evaluată prin intermediul studiilor coloidale. Din punct de vedere coloidal, gelurile au fost investigate prin măsurători cu ultrasunete, ceea ce reprezinta o nouă în acest domeniu. Testele de biocompatibilitate au arătat că gelurile AgHAp nu prezintă nici o toxicitate față de celulele HeLa. Mai mult, studiul privind citotoxicitatea gelurilor AgHAp împotriva microorganismelor a subliniat faptul că acestea au prezentat un efect inhibitor asupra celulelor bacteriene *S. aureus* și, de asemenea, asupra celulelor fungice *C. albicans*.

### **Rezultate estimate initial:**

Rezultatele preconizate să fie atinse pentru realizarea obiectivului acestei faze sunt:

- obținerea unor soluții sub forma de geluri ceramice antimicrobiene AgHAp (hidroxiapatita dopata cu argint)
- evaluarea atenuării prin măsurători de ultrasunete

-determinarea stabilitatii solutiilor

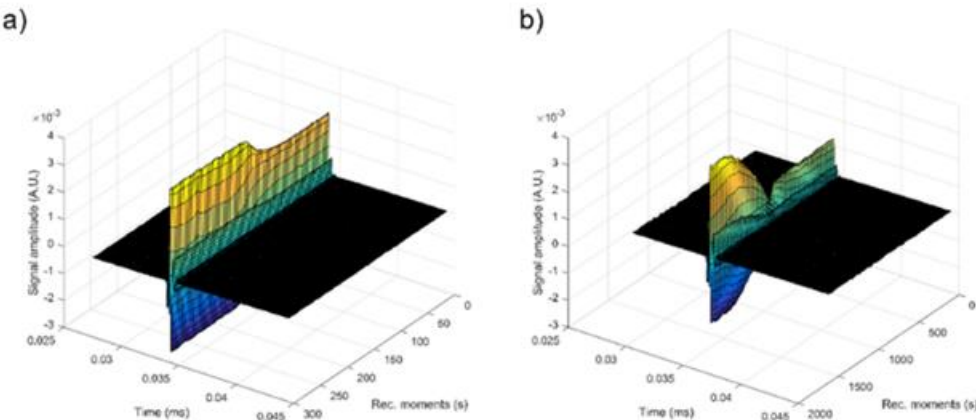
- corelarea stabilitatii particulelor cu atenuarea obtinuta din masuratorle cu ultrasunete

- studii de citotoxicitate pe celule procariote

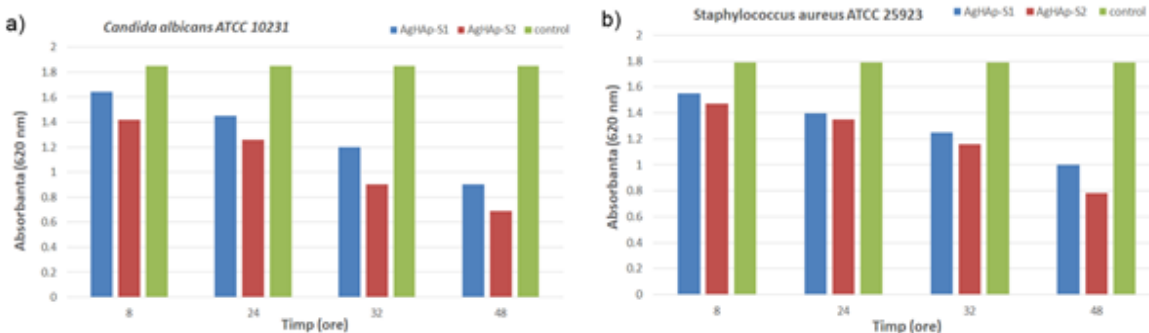
Prin studiile prezentate in acest raport s-au pus bazele obtinerii unui material nou ce ar putea fi utilizat in diferite aplicatii din domeniul medical.

**Rezultate obtinute** (scurta descriere a celor mai importante rezultate, cu 1-2 imagini/grafice de impact care sustin rezultatele):

Măsurătorile cu ultrasunete ne-au permis să obținem informații privind stabilitatea gelurilor rezultate AgHAp-S1 și AgHAp-S2. Scopul a fost de a înregistra cinci ecouri pentru fiecare eșantion, indiferent de gradul de atenuare. Examinarea s-a concentrat asupra celui de-al doilea ecou, deoarece primul ecou este prea puternic. Același al doilea ecou a fost selectat pentru fiecare dintre cele două probe AgHAp-S1 și AgHAp-S2 rezultate. Același cel de-al doilea ecou înregistrat pentru fiecare din cele două probe este prezentat în Figura 1. Axa ce reprezinta momentele de înregistrare este diferită pentru cele două eșantioane, de la 300 s (AgHAp-S1) la 1600 (AgHAp-S2). Fiecare eșantion indică o perioadă de precipitații în vrac, în timpul căreia amplitudinile semnalului se schimbă lent și liniar. Apare apoi o perioadă de tranziție relativ rapidă, în timpul căreia suprafața de separare dintre suspensia precipitantă și solvent, trece în fața traductoarelor. Ultima perioadă reprezintă evoluția lentă asimptotică față de solventul pur. Variația amplitudinii semnalului în prima perioadă nu este identică pentru cele două eșantioane (Figura 4). Proba AgHAp-S1 prezintă o creștere liniară a amplitudinii în decurs de 100 de secunde (Figura 4a). Proba AgHAp-S2 prezintă o scădere liniară a amplitudinilor în prima perioadă. Proba AgHAp-S2 are o scădere rapidă a amplitudinii în timpul perioadei de tranziție, urmată de o creștere lentă (mai mult de 400 s) a amplitudinii către starea stabilă.



**Figura 1:** Acelasi al 2-lea ecou selectat pentru investigatie pentru probele AgHAp-S1(a) si AgHAp-S2 (b).



**Figura 2:** Teste de viabilitate celulară. a) dezvoltarea celulelor *Candida albicans* ATCC 10231 timp de 8, 24, 32 și 48 de ore în prezența soluțiilor AgHAp; b) dezvoltarea celulelor *Staphylococcus aureus* ATCC 25923 timp de 8, 24, 32 și 48 de ore în prezența soluțiilor AgHAp.

Acest

fenomen este explicat printr-o posibilă concentrație a particulelor în fața suprafeței de separare, cuplată cu o variație semnificativă a vitezei undei acustice, de la valoarea vitezei în suspensie la valoarea în solvent. Rezultatele obținute în acest studiu prin tehnica cu ultrasunete privind stabilitatea gelului au arătat că amplitudinile au o variație liniară a amplitudinii semnalului în timp, în timpul primei etape și viteza undelor ultrasonice nu este monotonă cu creșterea concentrației de suspensie. Mai mult, durata primei perioade este un bun indicator al stabilității suspensiei. Pentru gelurile analizate, atât parametrul de stabilitate cât și durata primei perioade au furnizat informații relevante privind stabilitatea soluțiilor. În comparație cu metodele propuse în studiile anterioare [1-5] care măsoară atenuarea ultrasonică cvasi-statică, am propus utilizarea unui parametru de stabilitate care să surprindă comportamentul dinamic al suspensiei. Nu există o procedură standard, nici un dispozitiv dedicat, ci o cercetare în curs de desfășurare, cu rezultate promițătoare. Stabilirea stabilității gelurilor obținute prin tehnica cu ultrasunete este foarte importantă deoarece diluțiile necesare pentru utilizarea metodei tradiționale de potențial ţă pot duce la distrugerea agregatelor și la modificarea mediului de suspensie [6].

Activitatea antimicrobiană a soluțiilor AgHAp-S1 și AgHAp-S2 a fost evaluată prin studierea viabilității celulare a două tulpini microbiene semnificative în prezența probelor de hidroxiapatita dopată cu argint. Tulpinile microbiene alese pentru experimente sunt unele dintre cele mai frecvente microorganisme responsabile pentru infectiile prezente în viața de zi cu zi. Efectul soluțiilor de AgHAp-S1 și AgHAp-S2 asupra dezvoltării celulare a tulpinilor microbiene de *C. albicans* și *S. aureus* sunt prezентate în Figura 2.

### Concluzii și perspective:

Soluții stabile de hidroxiapatita dopată cu argint au fost obținute prin metoda sol-gel. Stabilitatea soluțiilor de AgHAp a fost studiată prin masurători de ultrasunete fără a fi necesara o diluție prealabilă. Mai mult decât atât, proprietățile antimicrobiene ale AgHAp-S1 și AgHAp-S2 au fost evaluate *in vitro* utilizând două dintre cele mai comune tulpini microbiene, *C. albicans* și *S. aureus*. Rezultatele obținute din studiile bazate pe masurători cu ultrasunete au evidențiat stabilitatea suspensiilor concentrate de AgHAp. Evaluarea *in vitro* a activității antimicrobiene a soluțiilor AgHAp au indicat că ambele probe au inhibat dezvoltarea celulelor fungice de *C. albicans* și a celulelor bacteriene *S. aureus*. Testele de citotoxicitate împotriva celulelor microbiene au arătat că AgHAp-S2 a prezentat o toxicitate mai puternică față de dezvoltarea celulelor atât pentru celulele bacteriene *S. aureus*, cât și pentru celulele fungice *C. albicans*. Rezultatele acestui studiu au arătat că soluțiile de hidroxiapatita dopate cu argint prezintă proprietăți antimicrobiene puternice și ar putea fi utilizate în dezvoltarea de agenți antimicrobieni cu proprietăți biocompatibile. Prin realizarea acestor obiective majore în viitor se vor încerca utilizarea acestor suspensiuni stabilă cu proprietăți antimicrobiene în realizarea de straturi acoperitoare care ar putea fi utilizate în industria medicală pentru acoperirea unor proteze utile în ortopedie și stomatologie și care ar putea contribui la scaderea riscului de infecție postoperatorie.

### Bibliografie

1. Povey, M.J.W. Ultrasound particle sizing: A review, *Particuology*, **2013**, 11, 135–147.
2. Stoch, A.; Jastrzebski, W.; Długon, E.; Lejda, W.; Trybalska, B.; Stoch, G.J.; Adamczyk, A. Sol-gel derived hydroxyapatite coatings on titanium and its alloy Ti6Al4V. *J. Molec. Struct.* **2005**, 744, 633–640.

3. Zreiqata, H.; Valenzuelab, S.M.; Nissanc, B.B.; Roestc, R.; Knabed, C.; Radlanskid,R.J.; Renzd,H.; Evanse,P.J. The effect of surface chemistry modification of titanium alloy on signalling pathways in human osteoblasts. *Biomaterials* **2005**, *26*, 7579–7586.
4. Himratul-Aznita, W.H.; Mohd-Al-Faisal, N.; Fathilah, A.R. Determination of the percentage inhibition of diameter growth (PIDG) of Piper betle crude aqueous extract against oral Candida species. *J. Med. Plants Res.* **2011**, *5*, 878-884.
5. Cavalcanti, Y.W.; Wilson, M.; Lewis, M.; Del-Bel-Cury, A.A.; da Silva, W.J.; Williams, D.W. Modulation of *Candida albicans* virulence by bacterial biofilms on titanium surfaces. *Biofouling*, **2016**, *32*, 123–134 doi.org/10.1080/08927014.2015.1125472.
6. Franci, G.; Falanga, A.; Galdiero, S.; Palomba, L.; Rai, M.; Morelli, G.; Galdiero, M. Silver nanoparticles as potential antibacterial agents. *Molecules* **2015**, *20*, 8856–8874.

**Titlu Faza:** Materiale ferofelectrice fara plumb crescute epitaxial

**Termen:** 6/10/2019

**Obiective:** Obtinerea de tinte de materiale ferofelectrice fara plumb si apoi utilizarea lor pentru cresterea de straturi subtiri epitaxiale, precum si de multistraturi. Caracterizarea structurala si electrica preliminara.

**Rezultate estimate initial:** Utilizarea tehnologiei ceramice standard pentru producerea unor pastile ceramice din materiale ferofelectrice fara plumb cum ar fi BaSrTiO<sub>3</sub> (BST), cu diferite concentratii de Sr. Caracterizarea structurala a pastilelor, evidentiind proprietatile ferofelectrice, eventual piroelectrice. Utilizarea pastilelor ceramice pentru depunerea de straturi subtiri epitaxiale utilizand tehnica PLD. Caracterizarea structurala si investigarea preliminara a proprietatilor piroelectrice.

**Rezultate obtinute** (scurta descriere a celor mai importante rezultate, cu 1-2 imagini/grafice de impact care sustin rezultatele):

Au fost obtinute tinte solide de BST in faza unica, conform difractogramelor de raze X,figura 1, procesul de realizare a acestora fiind metoda sintezei in faza solida. Caracterul ferofelectric al tintelor a fost testat prin masuratori de polarizare-tensiune.

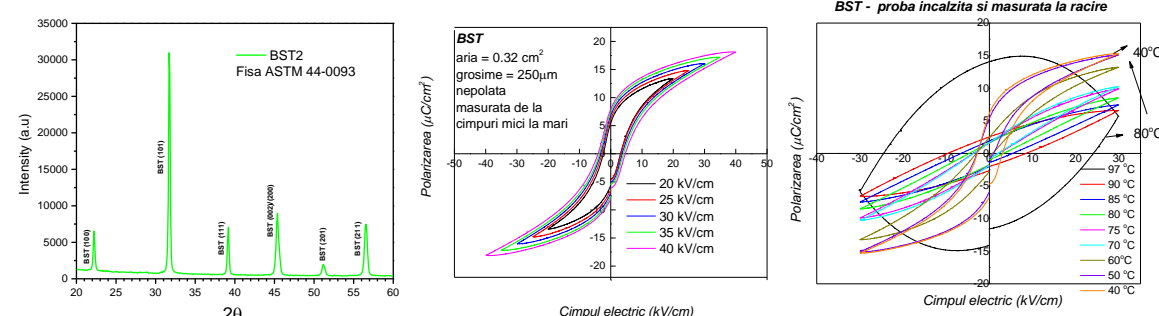


Fig.1. Difractograma de raze X si curbele de polarizare-tensiune caracteristice pastilelor de BST.

Pastilele de BST au fost folosite ca si tinte pentru realizarea depunerilor prin metoda PLD, astfel au fost realizate filme subtiri de calitate epitaxiala dupa cum a reiesit din difractogramele XRD, figura 2.

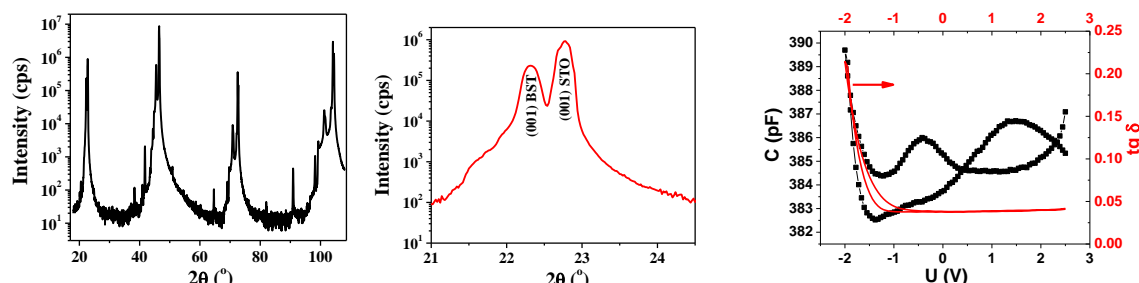


Fig.2. Difractograme XRD si caracteristica capacitate tensiune realizate pe filmele subtiri de tip multistrat din tinte de BST. Rezultate sunt prezentate in figura 3 de mai jos.

Masuratorile de capacitate-tensiune (C-V) prezentate in graficele de mai sus releva prezenta formei „fluture” (butterfly) in caracteristica C-V, ceea ce sugereaza prezenta ferroelectricitatii. Totusi, pierderile cresc destul de rapid cu tensiunea aplicata, ceea ce duce la strapungerea structurilor multistrat. Pentru a se confirma prezenta ordinii polare in structurile epitaxiale multistrat au fost efectuate si niste masuratori de semnal piroelectric la diferite frecvenete, utilizand un modulator mecanic si surse de lumina de tip dioda laser sau lampa cu incandescenta (LI), prezentate in figura 3.

Se observa ca:

- semnalul pentru P41 ramane aproape acelasi pana la frecventa de 400 Hz, in timp ce la P40 scade la frecvenete mari;
- la frecvenete mai mici de 10 Hz semnalul nu prea este stabil si zgomotul este mare; dupa aceasta frecventa, lucrurile se schimba, semnalul e clar la fiecare valoare a frecventei si la obturare am o valoare de 10-12 uV.

Masuratorile au fost realizate cu mentionarea distantei sursa-proba la 3.5 cm.

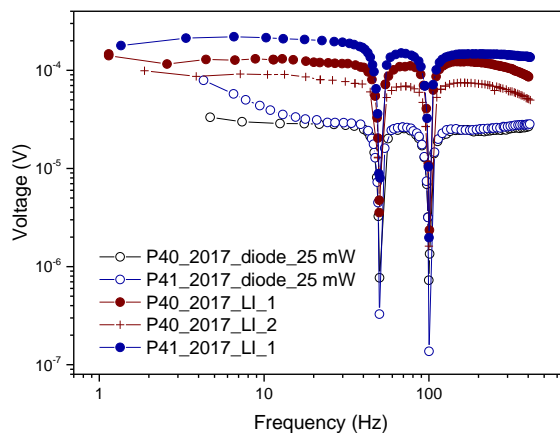


Fig.3. Masuratori piroelectrice realizate pe filme subtiri de tip multistrat din tinte de BST.

#### **Concluzii si perspective:**

Rezultatele prezentate mai sus arata ca se pot obtine straturi si multistraturi epitaxiale din materiale ferroelectrice fara plumb, prezenta ferroelectricitatii fiind confirmata de masuratori C-V si de semnal piroelectric. In perspectiva avem in vedere optimizarea proprietatilor ferroelectrice si piroelectrice a filmelor subtiri prin modificarea parametrilor de depunere si a tratamentelor post depunere. Acestea vor conduce la minimizarii curentilor de scurgere si implicit la imbunatatirea raspunsului piroelectric.

**Titlu Faza:** Materiale nanocomposite pe baza de derivați de celuloza si particule de carbon pentru obținerea de platforme senzoriale 3D flexibile

**Termen:** 7/9/2019

**Obiective:** Obținerea de materiale nanocomposite pe bază de derivați de celuloză și particule de carbon pentru obținerea de platforme senzoriale 3D flexibile.

**Rezultate estimate inițial:**

- perfecționarea procedurii de fabricare a unor materiale compozite pe bază de lanții biopolimerici de celuloză și materiale de carbon;
- electrofilarea materialelor compozite pentru obținerea de matrice 3D;
- caracterizarea morfologică și electrochimică a matricelor 3D pe bază de materiale compozite;
- testarea matricelor 3D ca platforme senzoriale pentru analizi de interes.
- o lucrare științifică trimisă spre publicare la un jurnal indexat Web of Science®

**Rezultate obținute:** Pentru fabricarea materialelor compozite flexibile s-au folosit acetatul de celuloza (CA) si negru de fum (NF). CA a fost dizolvat într-un amestec de acetona si ciclohexanona 50:50 (v:v) in care ulterior NF a fost dispersat pentru a obtine o pasta omogena, întinsa uniform pe o suprafața de sticla folosind *byko-drive*

*Auto Applicator*. După uscare s-a obținut un film de aproximativ 6.5  $\mu\text{m}$ , estimat din măsurători de microscopie electronică de baleaj (SEM). Din punct de vedere morfologic, suprafața electrodului este rugoasă și granulară (vezi Fig. 1A, B), cu o distribuție uniformă a granulelor de negru de fum cu diametre între 30 și 80 nm.

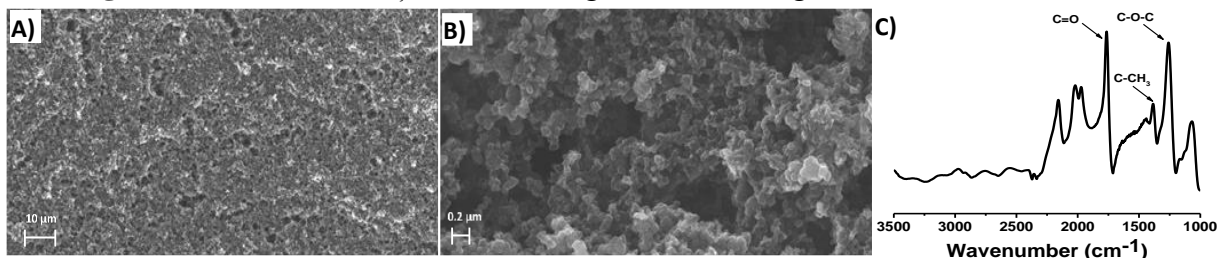


Fig. 1. A) si B) Imagini SEM obținute la două măriri și C) spectrul FTIR ale materialului compozit pe baza CA și NF.

Din spectrul FTIR obținut cu modulul ATR pentru compozitul pe baza de CA și NF (Fig. 1C) se poate identifica amprenta acetatului de celuloza evidențiindu-se grupările C=O la 1760  $\text{cm}^{-1}$ , C-CH<sub>3</sub> la 1375  $\text{cm}^{-1}$  și C-O-C la 1260  $\text{cm}^{-1}$ .

Prin măsurători de voltametrie ciclica, Fig. 2 A și B, s-a determinat fereastra de potențial, estimată ca fiind între -0.5 și 0.7 V vs. Ag/AgCl, și capacitanța electrodului de  $\approx 0.5 \text{ mF cm}^{-2}$ . Electrozii din material compozit de CA și NF au fost caracterizați și prin spectroscopie de impedanță electrochimică, spectrele înregistrate fiind ajustate cu un circuit echivalent format dintr-un rezistor R1 asociat rezistenței celulei electrochimice, în serie cu o combinație paralela a unui rezistor R1 și un CPE1 datorata fenomenelor de separare de sarcina electrică la interfața electrod/soluție, în serie cu un alt element de fază constantă CPE2 atribuit unei capacitanțe intrinsece a materialului. Valorile capacitanței electrodului (CPE2) calculate au fost asemănătoare cu cele determinate prin măsurătorile de CV, fiind estimate ca fiind de aprox. 0.6  $\text{mF cm}^{-2}$ .

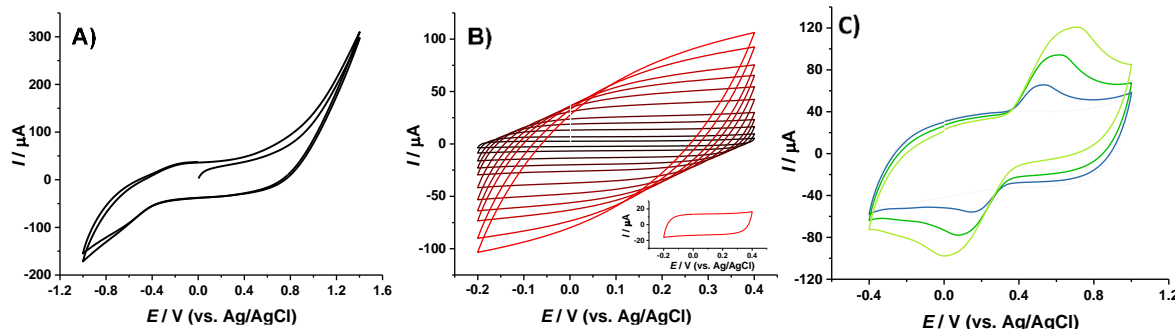


Fig. 2.

Voltamograme ciclice înregistrate la electrozii din material compozit de CA și NF într-o soluție de 0.1 M NaCl+KCl la A)  $v = 100 \text{ mV s}^{-1}$ ; B) diferite valori ale vitezei de baleaj între 10 și 500  $\text{mV s}^{-1}$  și C) la concentrații de 100, 200 și 400  $\mu\text{M}$  dopamină.

Electrozii din compozit de CA și NF au fost folosiți ca senzori electrochimici pentru determinarea dopaminei prin voltametrie ciclica, Fig. 2C, observându-se un proces reversibil de transfer de sarcină corespunzător reacțiilor de oxido-reducere ale acesteia și o creștere liniară a curenților de pic cu mărirea concentrației de dopamina, ceea ce demonstrează posibilitatea folosirii acestui material în dezvoltarea de senzori electrochimici.

### Concluzii și perspective:

- ✓ S-au obținut electrozi din materiale compozite pe baza de celuloza și nanostructuri de carbon, utilizând acetatul de celuloza și negru de fum.
- ✓ Imaginele de microscopie electronică de baleaj au evidențiat o suprafață rugoasă și granulară cu particule având diametre între 30 și 80 nm.
- ✓ Măsurările electrochimice de voltametrie ciclica și spectroscopie de impedanță electrochimică au evidențiat caracterul capacativ al materialului, favorabil pentru dezvoltarea de senzori electrochimici, acesta fiind utilizat cu succes pentru detecția electrochimică a dopaminei.

- ✓ Se are în vedere utilizarea acestor materiale în dezvoltarea de biosenzori.
- ✓ Toate obiectivele fazei au fost îndeplinite.
- ✓ Se are în vedere utilizarea acestor materiale compozite pentru dezvoltarea de biosenzori.

**Titlu Faza:** (a) Depunere și caracterizare a filmelor subțiri pe bază de oxid de hafniu dopat sau nedopat pentru aplicații/ (b) Investigare proprietăți fizice, inclusiv ferroelectrice, a filmelor subțiri pe bază de oxid de hafniu dopat sau nedopat pentru aplicații electronice.

**Termen:** 14/06/2019 și 12/09/2019

**Obiective:** Această fază a avut ca obiectiv principal optimizarea parametrilor de depunere în vederea obținerii de filme subțiri pe bază de oxid de hafniu de calitate ridicată, utilizând metode de depunere fizică din plasmă – PVD (pulverizare asistată de magnetron și ablație cu fascicul laser pulsat). Direcția către care sunt îndreptate aceste materiale se dorește a fi industria aplicațiilor electronice, cu accent pe memoriile nevolatile.

**Rezultate estimate initial:** A fost vizată obținerea de straturi subțiri de  $Zr_xHf_{1-x}O_2$  (HZO) și  $Al_xHf_{1-x}O_2$  (AHO) prin pulverizare asistată de magnetron și depunere laser pulsată, caracterizarea filmelor subțiri de HZO și AHO prin măsuratori structurale (XRD, SEM), morfologice (AFM) și optice (elipsometrie spectroscopică), integrarea straturilor subțiri de  $Zr:HfO_2$  și  $Al:HfO_2$  în structuri de tip capacitor și investigarea proprietăților dielectrice/ferroelectrice ale acestora, integrarea straturilor subțiri de HZO și AHO în heterostructuri complexe de tip MFS sau MOS și caracterizarea electrică a acestora.

#### **Rezultate obținute:**

Structurile pe bază de  $HfO_2$  prezintă un potențial ridicat pentru integrarea în dispozitive de tip tranzistori cu efect de câmp cu proprietăți ferroelectrice, deopotrivă datorită compatibilității cu tehnologia CMOS, dar și a caracterului ferroelectric al oxidului de hafniu dopat ce poate fi indus în condiții speciale. Originea ferroelectricității  $HfO_2$  se pare că rezidă în structurarea în fază cristalină ortorombică, non-centrosimetrică (grup spatial  $Pca2_1$ ), structură metastabilă.

Filmele subțiri de HZO depuse prin pulverizare asistată prin magnetron au fost crescute la temperatură ambientă, pe substraturi de siliciu și integrate între electrozi de TiN. Straturile de HZO prezintă suprafete uniforme, netede, structura cristalină dorită a fost obținută în urma tratamentului termic aplicat post-depunere. Materialele obținute prin această metodă prezintă pierderi dielectrice prin conducție, motiv pentru care caracterul ferroelectric s-a putut pune în evidență doar prin măsurători capacitate-tensiune (prin forma tip „fluture” a caracteristicii). Detectia histerezisului ferroelectric nu s-a putut realiza din cauza curenților de scurge importanți.

O posibilitate de îmbunătățire a performanțelor dielectrice/ferroelectrice ale straturilor subțiri pe baza de oxid de hafniu constă în scăderea concentrației de defecte, și acest lucru s-a realizat prin creșterea epitaxială a strukturilor pe substraturi monocristaline de  $SrTiO_3$  (STO), prin depunere laser pulsată. Stresul intern impus de substrat poate favoriza, în anumite condiții, formarea fazei ortorombice  $Pca2_1$  necesară pentru apariția efectului ferroelectric în acest tip de material.  $La_{0.7}Sr_{0.3}MnO_3$ (LSMO) a fost utilizat ca electrod inferior și strat buffer, filme subțiri de HZO fiind crescute pe structurile LSMO//STO (001). Ca electrod superior au fost folosite o serie de materiale:  $SrRuO_3$ , LSMO, TiN și Au. Au fost fabricate și structuri LSMO/HZO/LSMO//STO (001) compacte și continue, electrodul superior de LSMO fiind ulterior patternat prin corodare chimică. Analog cu aceste structuri fabricate prin ablație, au fost obținute unele care integrează straturi subțiri de  $Al_{0.06}Hf_{0.96}O_2$  (AHO) pentru a observa influența dopantului. În același timp, pentru a evalua posibilitatea integrării în dispozitive de tip FeFET, au fost fabricate configurații de tip MOS sau MFS în care filme de HZO, respectiv de AHO au rol de dielectric/ferroelectric.

Toate probele fabricate prin ablație laser pulsată prezintă suprafete uniforme și netede, rugozitatea cea mai ridicată fiind observată pe structurile de tip MFS care includ semiconductorul amorf ( $InGaZnO_4$ ). Calitatea structurală a fost pusă în evidență prin XRD de înaltă rezoluție, precum și prin microscopie electronică prin transmisie. Analizele imaginilor TEM evidențiază modul de creștere a filmelor subțiri relativ la substrat (fig. (a)), spoturile de difracție de electroni ale planelor care au difractat oferă informații despre structurile cristaline

corespunzătoare: cubică pentru STO, ortorombică pentru LSMO, ortorombică pentru HZO. Imaginele HRTEM de la cele trei interfețe confirmă creșterea epitaxială a LSMO-ului pe STO și a HZO-ului pe LSMO, la respectivele interfețe observându-se un anumit stres (constrangere de creștere epitaxială). Toate probele ce includ straturi de HZO prezintă maxime de difracție de raze X asociate fazei ortorombice dorite – fig. (b). De asemenea, se observă oscilații în jurul liniilor de difracție a STO care apar pe toate probele cu LSMO inferior subțire, sunt franje cauzate de acest strat, indicând interfețe netede la nivel atomic și o structură foarte ordonată, fenomen prezent în cazul structurilor epitaxiale.

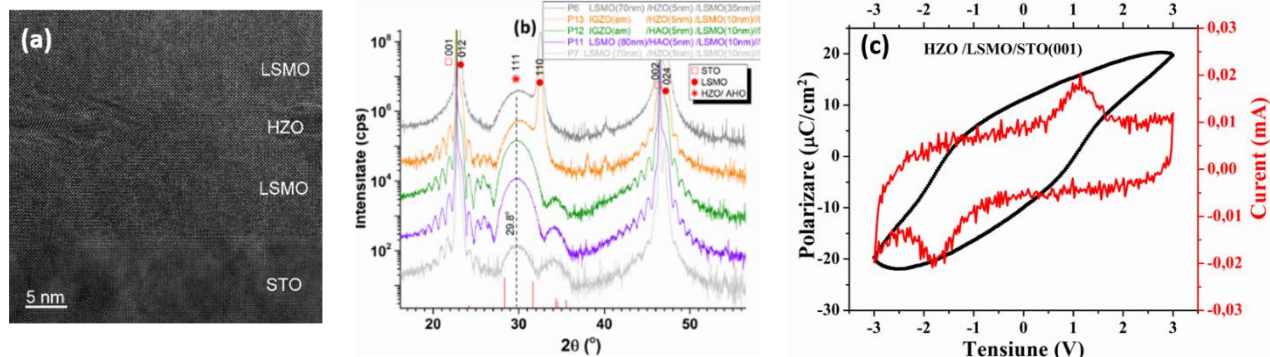


Fig. (a) Imagine TEM înregistrată pe o structură LSMO/HZO/LSMO/STO; fig. (b) difactograme de raze X ale structurilor capacitor epitaxial cu straturi HZO, respectiv AHO și ale configurațiilor tip MOS/MFS; fig. (c) ciclu de histerezis în polarizare și curent înregistrat pe o structură Au/HZO/LSMO/STO.

Capacitorii epitaxiali cu HZO și AHO prezintă pierderi dielectrice ridicate, dar spre deosebire de configurațiile fabricate prin pulverizare, permit înregistrarea ciclurilor de histerezis (fig. (c)), atât în polarizare, cât și în curent, obținându-se o polarizare remanentă  $>10\mu\text{C}/\text{cm}^2$ . Aceste caracteristici pledează pentru caracterul feroelectric al strukturilor de HZO crescute epitaxial și recomandă materialul pentru aplicații în domeniul memoriorilor nevolatil. Valorile pierderilor dielectrice și ale curentilor de scurgere scad drastic atunci când deasupra strukturilor de  $\text{HfO}_2$  dopat se depune un strat de IGZO, iar forma curbelor I-V sugerează prezența fenomenului de comutare rezistivă unipolară.

**Concluzii si perspective:** Activitățile propuse în faza de Nucleu au fost derulate, iar obiectivul principal al fazei a fost atins. Au fost fabricate configurații variate pe bază de  $\text{HfO}_2$ , iar caracterul feroelectric al filmelor subțiri de oxid de hafniu dopat a fost pus în evidență, în cele din urmă prin măsurători de histerezis feroelectric și capacitate. În majoritatea cazurilor studiate, structura cristalină necesară inducerii feroelectricității a fost obținută (în special în filmele epitaxiale), ceea ce a favorizat înregistrarea parametrilor electrici doriti. Pe configurațiile MFS a fost observat fenomenul de comutare rezistivă unipolară care depinde puternic de dopajul din  $\text{HfO}_2$ .

Proiectul ar putea continua prin modificarea rețetelor de fabricare în direcția obținerii caracteristicilor dorite sau amplificarea parametrilor de interes. De asemenea, cercetarea pe acest subiect se poate continua cu un studiu mai amplu al fenomenului de comutare rezistivă unipolară a strukturilor MOS/MFS cu  $\text{HfO}_2$  dopat ca material dielectric și IGZO ca semiconductor.

**Titlu Faza:** Noi compusi Heusler. Studiul proprietatilor magnetice și termoelectrice în raport cu structura electronică specifică

**Termen:** 07/12/2019

**Obiective:** Prezenta faza a proiectului presupune caracterizarea structurii electronice și a proprietatilor de transport, în noul compus cuaternar Heusler  $\text{CoFeZrSi}$ , prin modelare teoretică folosind Teoria Funcționalei de Densitate (Density Functional Theory –DFT) pentru posibile aplicatii spintronice și termoelectrice.

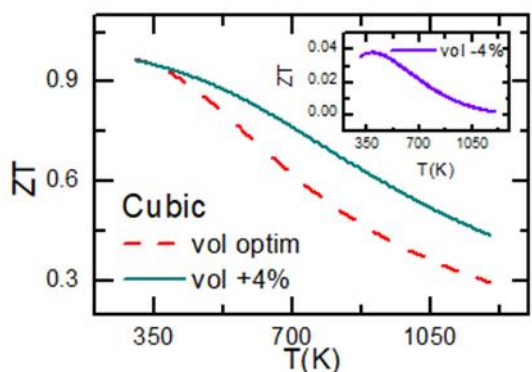
**Rezultate estimate initial:** Dispozitivele electronice având compusi Heusler cuaternari  $XX'YZ$ , cu o distribuție ordonată a atomilor, în general au o disipare a puterii mai mică comparativ cu cele având în componență materiale pseudo-ternare tipice  $X_2Y_{1-x}Y_xZ$ . Acest fenomen se datorează faptului că o distribuție aleatoare a atomilor, implica o imprăstiere aditională a electronilor și conduce la o creștere a rezistivității totale. Structura compusilor cuaternari  $XX'YZ$  cu stoichiometrie 1:1:1:1, derivă dintr-o din cele două structuri Heusler tipice,

avand unul din prototipurile LiMgPdSn sau LiMgPdSb, cu diferite ocupari ale pozitiilor atomice din cadrul retelei, descrisa de intrepatrunderea a doua subretele cubice si anume: Tipul I –Si(4a)Fe(4c)Zr(4b)Co(4d), Tipul II- Si(4a)Zr(4c)Fe(4b)Co(4d) sau Tipul III-Fe(4a)Si(4c)Zr(4b)Co(4d).

Raportat recent in literatura ca un potential material feromagnetic moale, CoFeZrSi a motivat prezentul studiu. Astfel, pe baza Teoria Functionalei de Densitate, au fost investigate teoretic “ab initio” proprietatile magnetice de semi-metal si de transport, asociate deformarilor structurii cristaline tipice.

**Rezultate obtinute** (scurta descriere a celor mai importante rezultate, cu 1-2 imagini/grafice de impact care sustin rezultatele):

Materialele nano-structurate, compuse din straturi magnetice subtiri cu proprietati semi-metalice (half-metallic properties) crescute pe straturi tampon sau cu proprietati antiferomagnetice au atras in ultimii ani un interes stiintific semnificativ. Cu toate acestea, rezultatele raportate si disponibile in literatura releva faptul ca distorsiunile sau dezorganizarea in reteaua cristalina in cazul filmelor subtiri constituie unul dintre cele mai mari impedimente in producerea materialelor termoelectrice multitrat. In acest context, au fost studiate deformarile in urma carora celula unitate trece din structura cubica, fie in cea tetragonală (prin modificarea raportului c/a cu -4% respectiv 2% precum si cresterea/descrescerea volumului (+ 4% / - 4%) sau in cea triclinica (pentru care in plus de modificarile utilizate in studiul structurii tetragonale, a fost micsorat si unghiul  $\gamma$  cu un grad).



Figură 1 Eficiența materialului CoFeZrSi studiat in functie de temperatura pentru structura optima energetic si cubica a carui volum creste cu +4%.

Structurile de benzi electronice obtinute pentru structurile descrise mai sus au constituit punctul de plecare pentru analiza proprietatilor de transport (coeficientii Seebeck si conductibilitatea electrica in functie de timpul de relaxare) folosind codul BoltzTraP [4] implementat pe baza ecuatiilor semi-clasice, de transport ale lui Boltzmann.

Eficiența unui material termoelectric poate fi evaluata prin parametrul termoelectric de calitate adimensional  $ZT = S^2\sigma T/\kappa_{te}$  unde  $S$ ,  $\sigma$ ,  $T$  si  $\kappa_{te}$  sunt coeficientul Seebeck, conductibilitatea electrica, temperatura absoluta si respectiv conductibilitatea termica electronica. Asa cum se poate observa din Figura 1 eficiența materialului studiat este ridicata la 350K. In plus, cu cat structura devine din ce in ce mai relaxata, fara insa sa isi modifice structura cristalina favorabila energetic (cubica), eficiența termoelectrica a materialului caracterizata de constanta adimensională ZT se imbunatatestă.

Bibliografie:

- [1] T.Kanbe, A.Hashimoto, and T.Fukushima, US Patents US20110235479 A1(2011), US8270286 B2(2012), US20130194901 (2013).
- [2] P. Blaha, K. Schwarz, G. Madsen, D. Kvasnicka si J. Luitz (2009) Wien2k An Augmented PlaneWave Plus Local Orbitals Program for Calculating Crystal Properties, WIEN2k code, ISBN 3-9501031-1-2 .
- [3] A. Birsan J. Alloys Compd 710 (2017) 339
- [4] G.K.H. Madsen D.J.Singh,BoltzTraP. (2006) Computer Physics Communications, 175 (1), pp. 67-71.

**Concluzii si perspective:** S-a demonstrat ca aliajul CoFeZrSi prezinta un parametru termoelectric de calitate adimensional ZT semnificativ de mare in cazul cristalizarii in structura cubica si tetragonală, insa daca unghiul  $\gamma$  descreste cu un grad si structura cristalina devenind triclinica, compusul isi pierde din proprietatile termoelectrice. Continuarea proiectului presupune analiza detaliata a proprietatilor termoelectrice in functie de

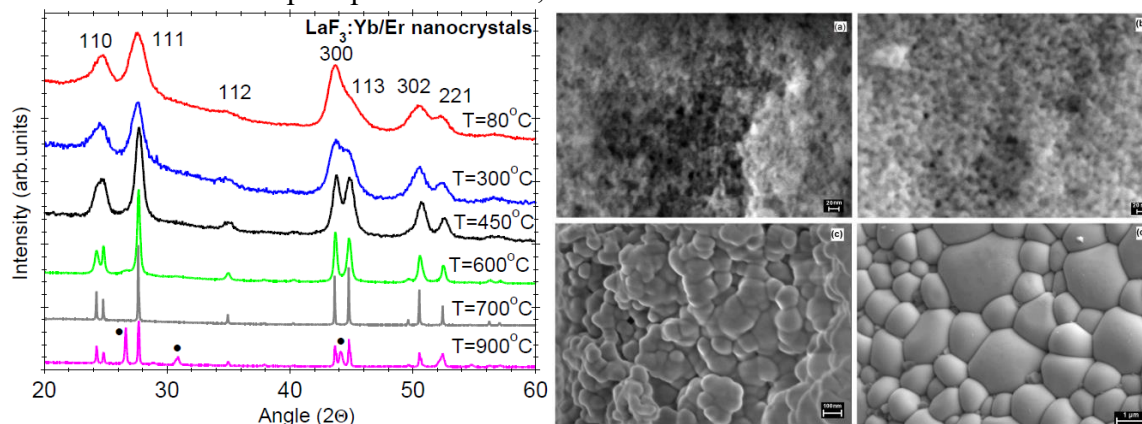
temperatura pe cele două canale (de spin up și spin down), mai concret a coeficientului Seebeck, a conductibilității /rezistivității electrice și a conductibilității termice electronice pentru deformări tetragonale și triclinice ale celulei elementare primitive ale compusului CoFeZrSi, ce poate fi considerat un potential candidat pentru aplicații termoelectrice imediate, ca material component în substraturi ale heterostructurilor epitaxiale

**Titlu Faza:** Proprietățile luminescente și magnetice ale materialelor nanostructurate multifuncționale dopate cu pământuri rare

**Termen:** 08/12/2019

**Obiectivul:** sinteza și caracterizarea materialelor nanostructurate multifuncționale dopate cu pământuri rare cu proprietăți luminescente și magnetice pentru posibile aplicații în imagistica medicală.

Pentru prepararea luminoforilor **LaF<sub>3</sub>:Yb<sup>3+</sup>(4%)/Er<sup>3+</sup>(1%)** și **CeF<sub>3</sub>:Tb<sup>3+</sup>(8%)** sub formă de pulbere fină nanocrystalină s-a folosit metoda precipitării chimice, urmată de calcinare la 400°C.



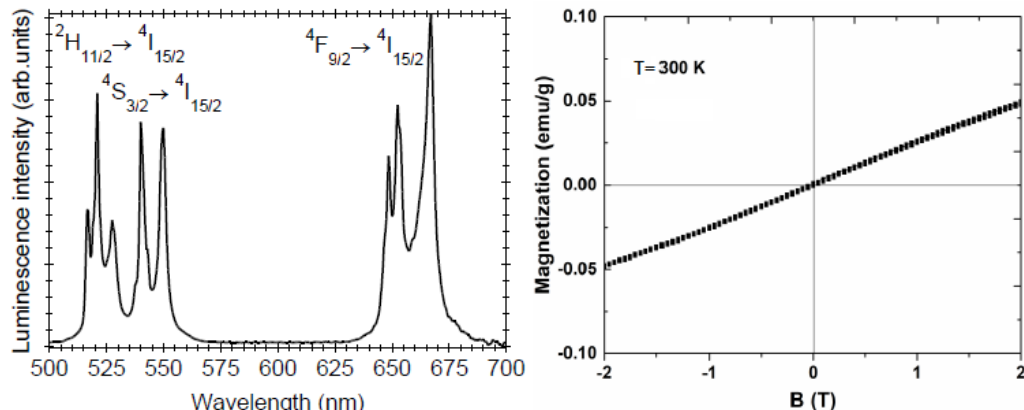
**Figura 1** Difracțogramele (XRD) (stânga) și imagini de microscopie SEM (dreapta)

Difracțogramele înregistrate pe pulberii uscate nanocrastaline de LaF<sub>3</sub>:Yb / Er calcinate la diferite temperaturi (Fig. 1 stânga) au arătat formarea fazelor nanocrastaline de LaF<sub>3</sub> și apariția fazelor LaOF la 900°C. Din analiza SEM (Fig.1 dreapta) s-a observat o dependență a dimensiunilor nanocrastalelor de temperatură, slabă până la 450°C (10-15nm), urmată de o creștere accentuată (dimensiuni de microni), pentru 700°C. Procesul de creștere a fost descris pe baza modelului de creștere de tip Ostwald, în care particulele mai mari cresc în detrimentul particulelor mai mici. Spectrele XPS au arătat maxime caracteristice lantanului (La3d5/2, 3d5/2) și fluorului (F1s1/2) la energii de legătură de aproximativ 837, 851 și respectiv 685 eV și au evidențiat un strat subțire de La și Er oxidat de aproximativ 1 nm la suprafața nanocrastalelor, ionii de Yb fiind legați în principal de ionii de fluor. Sub pompărie cu lumină laser de 980 nm, s-a observat luminiscență UC „verde” (<sup>2</sup>H<sub>11/2</sub>, <sup>4</sup>S<sub>3/2</sub>) → <sup>4</sup>I<sub>15/2</sub>) și „roșie” (<sup>4</sup>F<sub>9/2</sub> → <sup>4</sup>I<sub>15/2</sub>) datorită ionilor Er<sup>3+</sup>. Odată cu creșterea temperaturii de calcinare s-a observat o creștere progresivă a luminiscenței UC datorită reducerii efectelor de stingere a suprafeței și creșterii fracției de ioni Er legați de fluor implicați în procesul de luminiscență UC.

Folosind aceeași metodă s-au preparat pulberi nanocrastaline de CeF<sub>3</sub>, CeF<sub>3</sub>:Tb<sup>3+</sup> care după calcinare la 400°C au arătat formarea fazelor nanocrastaline de CeF<sub>3</sub>. Imaginele de microscopie SEM au arătat prezența nanoparticulelor de CeF<sub>3</sub> de ordinul a 10-15nm. În spectrele de luminescență se observă benzile tipice ionului Tb<sup>3+</sup> și asociate dezexcitarilor de pe starea excitată <sup>5</sup>D<sup>4</sup> pe stările inferioare <sup>7</sup>F<sub>J</sub>. Curbele de magnetizare înregistrate la temperatură joasă (5 K) și la temperatura camerei (280K) au arătat că proba este paramagnetică. Acest comportament se datorează exclusiv prezenței în structură a ionului Ce<sup>3+</sup>, pământurile rare fiind în general substanțe paramagnetice. S-a observat o evoluție atipică a magnetizării în funcție de temperatură, datorată cel mai probabil clusterizării nanoparticulelor cu dimensiuni de până la 10 nm.

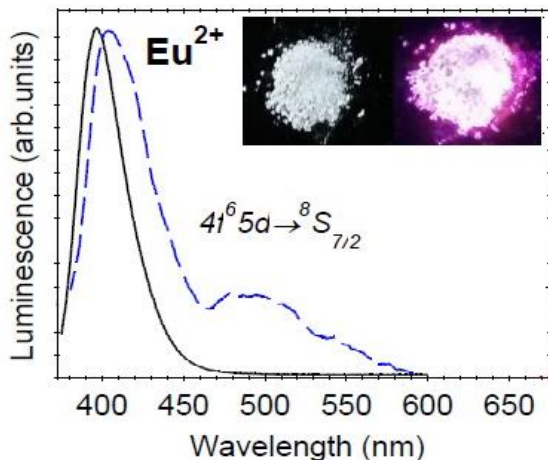
Pentru prepararea luminoforului **LiYF<sub>4</sub> dopat cu Yb<sup>3+</sup>(4%)/Er<sup>3+</sup>(1%)**) sub formă de pulbere nanocrastalină s-a folosit precipitarea simultană și locală a nanofluorurilor de LiF și YF<sub>3</sub> în prezența solventului etilen glicol (în condiții obișnuite de atmosferă și temperatură) urmată de reacția în stare solidă dintre acestea la 450°C.

Difractogramele înregistrate au aratat formarea fazei nanocristaline de  $\text{LiYF}_4$  la temperaturi mai mari de  $500^\circ\text{C}$ . Din imaginile de microscopie SEM s-a observat formarea nanoparticulelor aglomerate de aprox. 100 nm. Sub comparație cu lumină laser de 980 nm, probele au prezentat luminiscență UC „verde” ( $(^2\text{H}_{11/2}, ^4\text{S}_{3/2}) \rightarrow ^4\text{I}_{15/2}$ ) și „roșie” ( $^4\text{F}_{9/2} \rightarrow ^4\text{I}_{15/2}$ ) datorită ionilor  $\text{Er}^{3+}$ . În urma dopării cu  $\text{Gd}$  materialul prezintă proprietăți magnetice datorate momentelor magnetice ale ionilor  $\text{Gd}^{3+}$  asociate celor 7 electroni neîmperecheați din sub-nivelele 4f interioare. (Fig. 2)



**Figure 2.** Spectrele de up-conversion (stânga) și curbele de magnetizare (dreapta)

Pentru prepararea **nanocristalelor  $\text{BaCl}_2$  dopate cu  $\text{Eu}^{2+}$**  s-a folosit metoda sol gel urmată de descompunerea (termoliza) xerogelului rezultat la temperatura de  $400\text{-}500^\circ\text{C}$ . Analiza Rietveld a indicat o ușoară distorsiune a celulei iar dopantul afectează numai ionii de clor de prim ordin, vecini de  $\text{Ba}^{2+}$ . În spectrele de luminescență excitate cu UV sau X s-a observat o luminescență puternică la  $402\text{nm}$ , asociată tranzitiei  $4f^65d^1 \rightarrow ^8S_{7/2}$  a ionului  $\text{Eu}^{2+}$  (Figura 3).



**Figura 3.** Spectrele de luminescență înregistrate la excitare cu radiație UV (curba continuă) și X (curba punctată); în inset este prezentată proba în lumină naturală și la excitare cu UV.

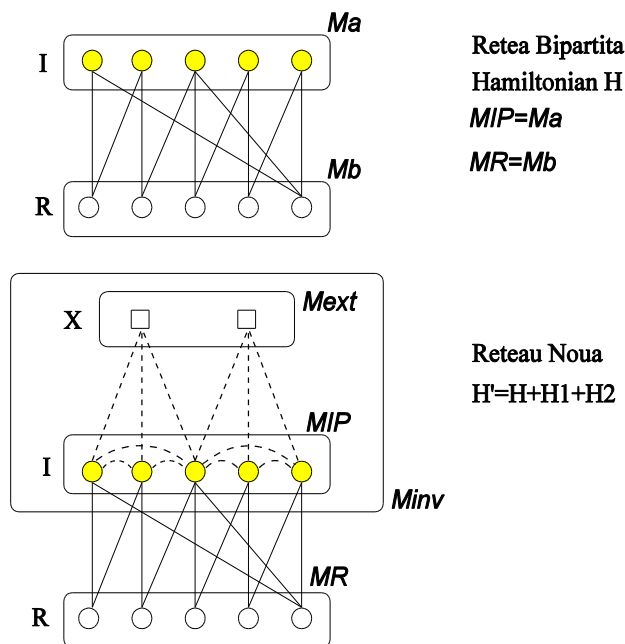
Pentru analiza procesului de dopare cu  $\text{Eu}^{2+}$  a nanocristalelor  $\text{BaCl}_2$  s-a folosit spectroscopia RES în banda X și banda Q. Probele investigate fiind pulberi nanocristalini, majoritatea liniilor hiperfine nu pot fi distinse din cauza largirii liniei. Din simularea spectrelor s-au găsit parametrii: valoarea izotropă  $g_{iso} = 1.99517$ , constanta de cuplare izotropă hiperfină  $A_{iso} = 42.4$  MHz, cu parametru de despărțire de câmp zero  $B_{20} = 21$  MHz și  $B_{22} = -493$  MHz.

**Titlu Faza:** Studii spectrale și analiza fenomenelor de interferență cuantică în sisteme bipartite.

**Termen:** 9/13/2019

**Obiective:** Studiul zerourilor functiilor Green si ale conductantelor electrice in retele de electroni si molecule.  
**Rezultate estimate initial:** Dezvoltarea de metode pentru calcularea interferentelor distructive si ale zerourilor conductantei electrice in sisteme bipartite.

### Metoda Punctelor de Interferenta



**Rezultate obtinute:** In lucrare am studiat existenta punctelor de interferenta si anularea conductantelor electrice la  $E=0$  in retele care sunt descrise de Hamiltonieni fara interactie in aproximatia tight-binding. Sistemele studiate sunt molecule sau sisteme de doturi cuantice (molecule artificiale).

1. Mai intai am definit punctele de interferenta  $M_{ip}$  la o energie data  $E$  in termenii elementelor de matrice ale functiei Green. Prin definitie existenta unui set de interferenta  $M_{ip}$  ne spune ca elementele de matrice ale functiei Green  $G_{ij}(E) = 0$  la orice  $i,j$  din multimea  $M_{ip}$ . Exemplul de baza este acela al unei retele bipartite cu un Hamiltonian nesingular care are un set de puncte de interferenta la  $E = 0$ , care poate contine numai punctele uneia dintre cele doua subretele A sau B. In acest caz, propagarea unui electron cu energie zero intre doua puncte aparținând aceleiasi subretele, sau întoarcerea în punctul de pornire, se anulează din cauza termenilor de semn opus din dezvoltarea spectrală. Referindu-ne la transportul de electroni, cunoasterea unui set de puncte de interferenta ne ajuta să identificăm zerourile conductantei electrice când firele de transport sunt conectate la punctele din multimea  $M_{ip}$  și implicit ne ajută să aflăm interferentele distractive din

reteaua electronică. În acest fel prezentul studiu vine în completarea altor metode grafice existente folosite pentru a calcula zerourile conductantei electrice.

2. Cu ajutorul metodei prezentate putem construi noi molecule cu seturi cunoscute de puncte de interferenta. Vom porni de la un exemplu de baza al unui reteau bipartit pentru care am ales un set de interferenta  $M_{ip}$ . Un lucru important, punctele ramase sunt numite puncte rigide R. Adăugam noi termeni care modifică reteaua initială astfel încât nici o schimbare nu afectează nici unul dintre punctele rigide R. Vom obține noi reteale, care corespund unor noi molecule, care au același set de puncte de interferenta  $M_{ip}$ .

3. Folosind metoda punctelor de interferenta, putem obține seturile de interferenta și zerouri ale conductantelor pentru diferite reteale și molecule. Aceeași molecule poate avea mai multe seturi de interferenta cu diferite puncte de rigide cum este spre exemplu molecule de fulvenă sau grafena. Zeroul unei conductante care provine dintr-un set dat  $M_{ip}$  ar putea fi modificat numai prin perturbarea punctelor rigide. În acest fel suntem capabili să înțelegem zerourile conductantelor și proprietatile lor de invariante pentru o anumita clasa de matrici simetrice.

**Concluzii si perspective:** Există molecule (radialena, fulvenă, molecule cu grafuri hexagonale sau reteale precum grafena) pentru care toate zerourile conductantelor la  $E = 0$  pot fi calculate folosind metoda punctelor de interferenta (MPI) prezentată în aceasta lucrare. Dar există și alte molecule (molecule biciclice, cum ar fi azulena) care au zerouri care nu pot fi obținute cu MPI. Acest lucru poate fi studiat în viitor pentru a avansa în înțelegerea interferentele distractive care apar în propagarea coerenta a electronilor prin molecule sau alte modele discrete.

**Titlu Faza:** Fenomene de capacitate negativa în structuri feroelectrice

**Termen:** 10/11/2019

**Obiective:** Studiul fenomenului de capacitate negativa în feroelectrici și heterostructuri care includ straturi feroelectrice

**Rezultate estimate initial:** se vor creste straturi subtiri ferroelectrice in geometrie capacitor, precum si heterostructuri care includ cel putin un strat ferroelectric; se vor realiza masuratori specifice de histerezis si capacitate. Se va incerca punerea in evidenta fenomenul de capacitate negativa ca efect tranzitoriu legat de reversarea polarizarii.

**Rezultate obtinute** (scurta descriere a celor mai importante rezultate, cu 1-2 imagini/grafice de impact care sustin rezultatele):

Capacitate negativa a fost raportata sin in multistraturi dielectric-feroelectric, observand ca capacitatea totala a structurii este mai mare decat valorea ce ar rezulta aplicand formula pentru legare in serie a unor capacitori. In orice caz, in toate studiile anterioare fenomenul de capacitate negativa a fost raportat in situatii in care polarizarea ferroelectrica este aproape de zero sau trece prin zero, asa cum este cazul la tranzitia de faza sau in timpul reversarii directiei de polarizare.

$$\varepsilon_f = \varepsilon_b + \frac{1}{\varepsilon_0} \frac{\partial P_s}{\partial E}$$

Ecuatia de mai sus sugereaza urmatoarele:

- Daca polarizarea spontana in ferroelectric este saturata si nu mai variaza cu campul electric aplicat, atunci  $\varepsilon_f$  se reduce la  $\varepsilon_b$ .
- $\varepsilon_f$  poate fi negativa daca derivata polarizarii spontane in raport cu campul electric aplicat este negativa (spre exemplu, polarizarea continua sa creasca atunci cand campul electric aplicat incepe sa scada).
- Dependenta de camp electric a constantei dielectrice se obtine derivand ciclul de histerezis al polarizarii (, cu alte cuvinte, caracteristica C-V ar trebui sa fie derivata curbei D-E sau P-E, in cazul in care termenul  $\varepsilon_0 E$  in ecuatie (1) este neglijabil).

Predictiile teoretice de mai sus au fost verificate pe niste capacitori ferroelectri bazati pe straturi de PZT epitaxiale. Acestea au fost crescute prin PLD pe electrozi de SRO epitaxiali, cu grosime de 20 nm, crescuti la randul lor pe suporti monocristalini de STO. Grosimea stratului de PZT a fost estimata la circa 200 nm din imagini TEM, iar electrozii superioiri au fost tot din SRO cu o arie de  $0.01 \text{ mm}^2$ .

Verificarea a constat in inregistrarea curbelor de histerezis si la tensiuni sunb tensiunea corecivita si la tensiuni ceva mai mari decat acestea. Practic, amplitudinea pulsurilor triangulare de tensiune a fost crescuta treptata, de la o curba de histerezis la alta, pana s-a obtinut ceea ce se poate numi „deschiderea curbei de histerezis”. Curbele de polarizare si curent inregistrate in acest fel sunt prezentate in Figura 1.

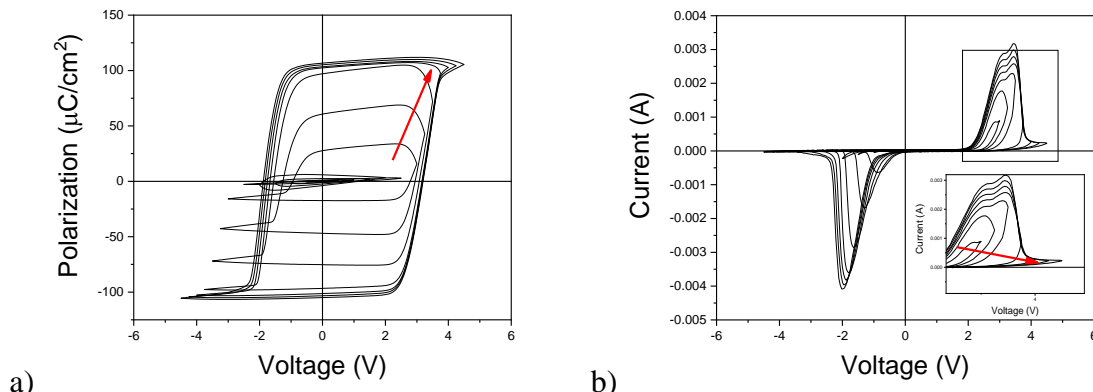


Fig. 1 a) deschiderea curebie de histerezis a polarizarii obtinuta prin cresterea pas cu pas a amplitudinii pulsurilor triangulare de tensiune aplicate pe proba (sageata rosie marcheaza sensul de crestere); b) histerezisul in curent (in inset se arata marita zona marcata cu triunghi in graficul principal, iar sageata rosie indica sensul de crestere a amplitudinii pulsurilor triangulare de tensiune).

Rezultatele rezultate din acest studiu sugereaza ca, in straturi subtiri ferofelectrice de calitate epitaxiala foarte ridicata, reversarea polarizarii este brusca, fara trecere prin stari intermediare caracterizate de existenta domeniilor ferofelectrice cu orientari aleatoare, asa cum se postula pana in prezent. Aceasta descoperire este in concordanta cu harta energiei libere in faza ferofelectrica, care are doar doua minime posibile, corespunzatoare celor doua orientari ale polarizarii. Se deduce ca nu sunt posibile alte stari ale polarizarii, decat cele doua corespunzatoare miniminelor energetice.

### **Concluzii si perspective:**

A fost pus in evidenta efectul de capacitate negativa in capacitori ferofelectrii, prezent ca efect tranzitoriu in timpul reversarii polarizarii. Capacitatea negativa are un maxim pronuntat atunci cand polarizarea trece prin zero, iar valoarea acestui maxim depinde de tensiune. Transformand dependenta de tensiune in dependenta de timp se poate estima timpul real de reversare a polarizarii. Studiul va fi continuat cu alte experimente care sa elucideze originea efectului de capacitate negativa.

**Titlul Fazei:** Sintiza de nanoparticule încărcate pe suprafete ferofelectrice și studiul in situ al reactivității acestor suprafete.

**Termen:** 10/11/2019

**Obiective:** Se urmărește sintiza de nanoparticule din metale nobile cu proprietăți catalitice, pe suprafete ferofelectrice și caracterizarea lor complexă, inclusiv în raport cu chimismul specific acestora

**Rezultate estimate inițial:** Obținerea de probe ferofelectrice cu suprafață curată, caracterizarea lor compozițională și din punct de vedere al stării de polarizare prin spectroscopie de fotoelectroni (XPS, UPS), structural, prin difracție de electroni (LEED, RHEED), depunerea de metale nobile cu proprietăți catalitice, caracterizarea stării de încărcare prin XPS și UPS și studiul in situ al adsorbției și desorbției de molecule simple pe aceste suprafete, prin spectroscopie de fotoelectroni cuplată cu spectrometrie de masă.

**Rezultate obținute** (scurtă descriere a celor mai importante rezultate, cu 1-2 imagini/grafice de impact care susțin rezultatele):

Reacțiile de suprafață care implică monoxidul de carbon sunt de mare interes, din cauza nocivității acestei molecule, a necesității de a o elimina din gazele de eșapament sau de a o transforma în combustibili prin sinteza Fischer-Tropsch sau prin metanare [1]. Materialele ferroelectrice, a căror polarizare poate fi schimbată cu ușurință de parametri externi (câmpuri electrice, tensiune sau temperatură), oferă capacitatea de a modula energiile de adsorbție sau de desorbție [2,3]. Activitatea chimică și catalitică a suprafeteelor ferroelectrice este cercetată în mod activ de aproape două decenii [4,5]. Catalizatorii „tradiționali” pentru reacțiile legate de CO sunt metalele nobile (Pd, Pt), datorită, în principal, transferului de sarcină complex (donare de la electronii  $\sigma$  la metal, retro-donare a electronilor d din metal în orbitalii antibonding  $\pi^*$ ) care apare atunci când CO este adsorbit pe ele [6]. O alegere naturală este combinarea metalelor nobile cu suprafetele ferroelectrice, ceea ce s-a facut în acest studiu. Au-ul este depus pe sufrăfețe de zircon titanat de plumb ( $Pb(Zr,Ti)O_3(001)$ ), cu polarizare spre interior, atomic curate, apoi experimentele de adsorbție și desorbție a monoxidului de carbon sunt investigate *in situ* prin spectroscopie de fotoelectroni folosind radiația de sincrotron (fig. 1).  $Pb(Zr,Ti)O_3(001)$  este preparat prin depuneri laser pulsante pe un monocristal de titanat de stronțiu. Primul pas, pentru a obține rezultate optime, este obținerea suprafeteelor atomic curate. Microscopia de forță atomică și spectroscopia de fotoelectroni cu rezoluție înaltă sunt în concordanță privind formarea nanoparticulelor de dimensiunea 50-100 nm, iar nivelul profund al Au-lui indică o stare de încărcare negativă. În cazul unui experiment similar efectuat pe ziro-titanat de plumb ferroelectric cu o stare de polarizare similară și fără Au depus, s-a aratat că acoperirea de saturare după expunerea la monoxid de carbon crește cu 68 % și aproape tot carbonul adițional este găsit fiind într-o stare de oxidare. Experimentele de desorbție, urmărite *in situ* prin spectroscopie de fotoelectroni, sunt investigate în funcție de temperatură. Se pare că adsorbția de carbon neutru este strict legată de starea de polarizare a filmului ferroelectric, în timp ce carbonul găsit sub forma de CO este atribuit adsorbției pe nanoparticulele metalice. XPS-ul, prin capacitatea sa de a discrimina între diferitele stări ionice sau de legătură ale atomilor sau moleculelor de suprafață [7,8] combinată cu capacitatea de a obține curbura benzilor de suprafață și de a evalua local stările de polarizare [9–14] este instrumentul ideal pentru aceste investigații.

Tabelul 1. Raporturi de intensitate atomică obținute din niveluri profunde reprezentate în Figura 1, după normalizarea cu intensitatea fasciculului și secțiunile transversale de fotoemisie atomice.

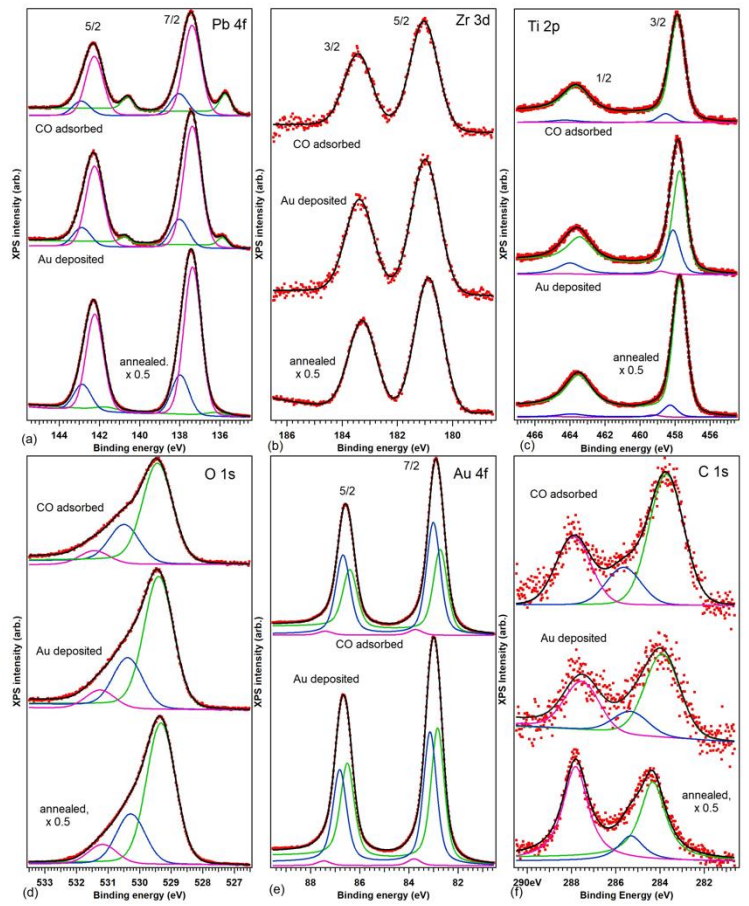


Fig. 1 Spectre XPS obținute folosind radiația de sincrotron după depunerea a 1 nm Au și după dozarea a 45.000 Langmuir de CO pe heterosuprafață: (a) Pb 4f, (b) Zr 3d, (c) Ti 2p, (d) O 1s, (e) Au 4f, (f) C 1s.

Raportul atomic  $Pb/(Zr + Ti)$  este de 2.58 pentru PZT(001) tratat termic și 1.52 pentru 1 nm Au depus. Raportul atomic  $Zr/(Zr + Ti)$  este de 0.200 pentru PZT(001) tratat termic și 0.206 pentru 1 nm Au depus. Raportul atomic  $O/(Zr + Ti)$  este de 3.56 pentru PZT(001) tratat termic și 3.52 pentru 1 nm Au depus. Raportul atomic  $Au/Pb$  este de - pentru PZT(001) tratat termic și 2.95 pentru 1 nm Au depus. Raportul atomic  $C/Pb$  este de 0.254 pentru PZT(001) tratat termic și 0.347 pentru 1 nm Au depus.

Raport atomic Probă	$Pb/(Zr + Ti)$	$Zr/(Zr + Ti)$	$O/(Zr + Ti)$	$Au/Pb$	$C/Pb$
PZT(001) tratat termic	2.58	0.200	3.56	-	0.254
1 nm Au depus	1.52	0.206	3.52	2.95	0.347

45 kL CO dozat	1.39	0.200	3.32	2.98	0.712
----------------	------	-------	------	------	-------

### Concluzii si perspective:

- depunerea de Au pe suprafete de Pb(Zr,Ti)O<sub>3</sub>(001), polarizate spre interior, conduce la formarea de nanoparticule încărcate negativ
- îmbunătățirea adsorbției de CO la temperatura camerei prin decorarea cu nanoparticule de Au a probelor de Pb(Zr,Ti)O<sub>3</sub>(001)
- majoritatea carbonului redus pare să fie absorbit doar pe zonele de suprafață curată.
- posibile efecte sinergice ale nanoparticulelor metalice și substratelor ferroelectrice ar putea fi: (i) pentru substrat, stabilizarea unei polarizări mai pronunțate în materialul ferroelectric prin ecranarea extrinsecă oferită de nanoparticulele metalice; (ii) pentru nanoparticule, inducerea stării de încărcare negativă care ar putea influența legăturile de carbonil
- toate obiectivele au fost realizate în conformitate cu tema programului de lucru
- rezultatele obținute au fost disseminate sub forma unei lucrări trimise spre publicare într-o revistă cotată ISI: Nicoleta G. Apostol, Marius A. Hușanu, Daniel Lizzit, Ioana A. Hristea, Cristina F. Chirilă, Lucian Trupină, Cristian M. Teodorescu, CO adsorption, reduction and oxidation on Pb(Zr,Ti)O<sub>3</sub>(001) surfaces decorated with negatively charged gold nanoparticles, Catal. Today, trimis pe data de 22 august 2019.

*Referințe:* [1] K.W. Kolasinski, Surface Science. Foundations of Catalysis and Nanoscience, Third Edition, Wiley, Chichester, 2012; [2] A. Kakekhani, S. Ismail-Beigi, ACS Catal. 5 (2015) 4537–4545; [3] C.Y. Chao, Z.H. Ren, Y.H. Zhu, Z. Xiao, Z.Y. Liu, G. Xu, J.Q. Mai, X. Li, G. Shen, G.R. Han, Angew. Chem. Int. Ed., 51 (2012) 9283–9287; [4] A.M. Kolpak, I. Grindberg, A.M. Rappe, Phys. Rev. Lett., 98 (2007) 166101(1–4); [5] S. Kim, M. Rutenberg Schoenberg, A. M. Rappe, Phys. Rev. Lett. 107 (2011) 076102(1–4); [6] M.A. Khan, M.A. Nadeem, H. Idriss, Surf. Sci. Rep. 71 (2016) 1–31; [7] L.E. Ștoflea, N.G. Apostol, L.Trupină, C.M. Teodorescu, J. Mater. Chem. A 2 (2014) 14386–14392; [8] C.M. Teodorescu, L. Pintilie, N.G. Apostol, R.M. Costescu, G.A. Lungu, L. Hrib, L. Trupină, L. C. Tănase, I.C. Bucur, A.E. Bocîrnea, Phys. Rev. B 96 (2017) 115438(1–15); [9] L.C. Tănase, N.G. Apostol, L.E. Abramiuc, C.A. Tache, L. Hrib, L. Trupină, L. Pintilie, C.M. Teodorescu, Sci. Rep. 6 (2016) 35301(1–18); [10] E. Ramos-Moore, J.A. Baier-Saip, A.L. Cabrera, Surf. Sci. 600 (2006) 3472–3476; [11] Y. Yun, L. Kampschulte, M. Li, D. Liao, E.I. Altman, J. Phys. Chem. 111 (2007) 13951–13956; [12] Y. F. Cui, J. Briscoe, S. Dunn, Chem. Mater. 25 (2013) 4215–4223; [13] E.S. Beh, S. A. Basun, X.F. Feng, I.U. Idehenre, D.R. Evans, M.W. Kanan, Chem. Sci. 8 (2017) 2790–2794; [14] L.C. Tănase, L.E. Abramiuc, C.M. Teodorescu, AIP Conf. Proc. 1916 (2017) 030001(1–10).

**Titlu Faza:** Dezvoltarea modelului teoretic de conductie pentru filme compacte de oxizi metalici semiconductori cu aplicatii in detectia de gaze.

**Termen:** 11/14/2019

### Obiective:

Determinarea dependentei conductantei electrice de parametrii intriseci (lungimea Debye) și geometrici (grosimea D a filmelor compacte) pentru cazurile oxizilor metalici semiconductori *n* și *p* (*n*MOS și *p*MOS).

### Rezultate estimate initial:

Determinarea modului în care are loc traducerea interacțiilor de suprafață în raport cu caracterul semiconducator și nivelul energetic al potentialului de suprafață ( $V_s$ ).

### Rezultate obținute:

Conductanta totală a unui strat sensitiv compact poate fi scrisă ca suma dintre conductanta  $G_s$  a stratului de suprafață (expusa atmosferei înconjuratoare) și conductanta  $G_b$  de volum (inaccesibila gazelor de test). Dacă conductanta de suprafață suferă modificări determinate de prezența gazelor de test, conductanta de volum poate varia doar în domeniul temperaturilor ridicate de operare de peste 700°C, motiv pentru care aceasta urmă poate fi considerată constantă.

$$G_{total} = G_s + G_b$$

Considerând parametrii geometrici ai probei (Figura 1), ecuația de mai sus devine:

$$G_{total} = \tilde{\sigma}_s \frac{z_0 W}{L} + \sigma_b \frac{(D - z_0)W}{L}$$

unde:  $L$  este lungimea stratului compact,  $W$  este latimea,  $D$  este grosimea iar  $z_0$  este grosimea stratului (zonei) de suprafata.  $\tilde{\sigma}_s$  este conductivitatea electrica medie a stratului de suprafata in timp ce  $\sigma_b$  este conductivitatea de volum.

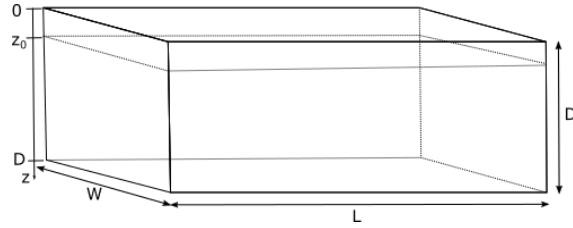


Figura 1. Reprezentarea unui strat MOS compact si parametrii geometrici asociati.

In cazul unui *n*MOS unde efectele de suprafata nu se extind in tot volumul materialului dependenta conductantei totale de potentialul de suprafata se scrie ca:

$$G_{total} = G_b \left[ 1 \pm \sqrt{2} \frac{L_D}{D} \left[ \exp\left(-\frac{eV_s}{k_B T}\right) + \frac{eV_s}{k_B T} - 1 \right]^{1/2} \right]$$

In Figura 2a este prezentata dependenta conductantei normalizate a stratului compact, in functie de variația potentialului de suprafata in raport cu energia termica pentru valori diferite ale lungimii Debye ( $L_D$ ). Valorile pozitive ale raportului  $eV_s/k_B T$  sunt asociate cu aparitia unei zone de saracire, iar valorile negative cu aparitia unui strat de acumulare de sarcina la suprafata *n*MOS.

In cazul unui *p*MOS expresia conductantei generale este:

$$G_{total} = G_s + G_b \sim \tilde{\rho}_s z_0 + p_b (D - z_0)$$

unde: termenul  $\tilde{\rho}_s z_0$  reprezinta contributia efectelor de suprafata iar termenul  $p_b (D - z_0)$  reprezinta contributia volumului materialului gaz-senzitiv.

Urmand aceeasi abordare matematica ca in cazul *n*MOS, obtinem:

$$G_{total} = G_b \left[ 1 \pm \sqrt{2} \frac{L_D}{D} \left[ \exp\left(\frac{eV_s}{k_B T}\right) - \frac{eV_s}{k_B T} - 1 \right]^{1/2} \right]$$

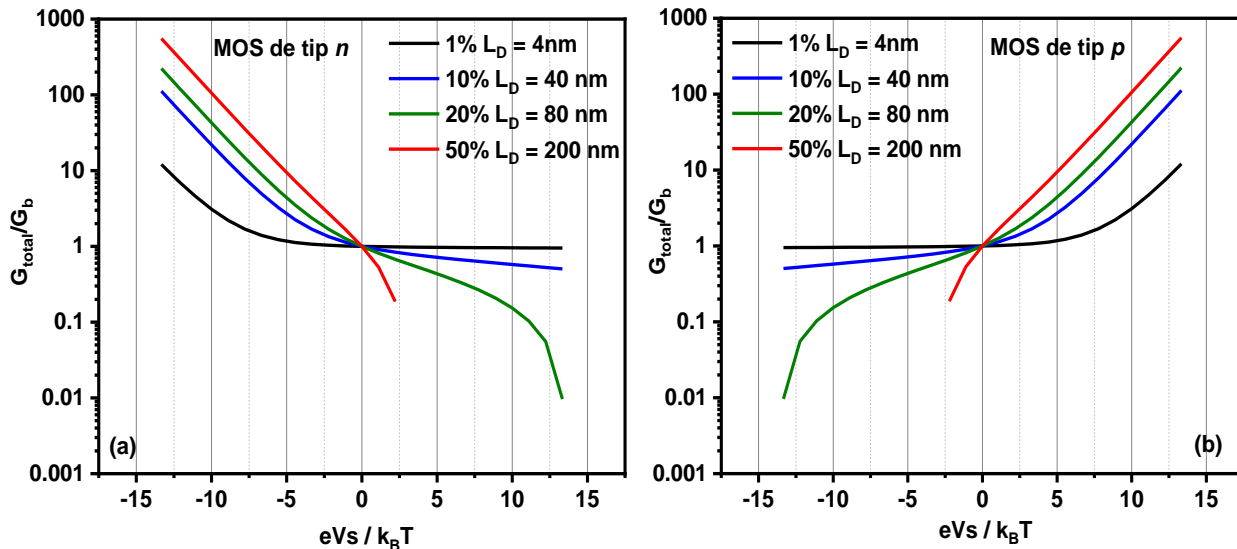


Figura 2. Variatia conductantei normalizeaza functie de potentialul de suprafata pentru patru situatii diferite ale raportului  $L_D/D$ ; (a) stratul compact *n*MOS; (b) stratul compact *p*MOS

In Figura 2b este prezentata dependenta conductantei normalizeaza a stratului compact in functie de variatia potentialului de suprafata in raport cu energia termica pentru valori diferite ale lungimii Debye. Valorile negative ale raportului  $eV_s/k_B T$  sunt asociate cu aparitia unei zone de saracire, iar valorile pozitive cu aparitia unui strat de acumulare de sarcina la suprafata *p*MOS.

### **Concluzii si perspective:**

Studiul de fata demonstreaza ca traducerea interactiilor de suprafata are loc in mod diferit functie de natura caracterului semiconductor al materialului gaz-senzitiv cat si functie de proprietatile intrinseci (lungime Debye –  $L_d$ ) si geometrice (grosimea filmului D) ale acestuia.

In cazul unui *n*MOS, stratul de acumulare de sarcina induce o dependenta exponentiala a conductantei normalizeaza, pentru valori mici ale potentialului de suprafata ( $V_s$ ) si lungimi Debye ( $L_D$ ) mari, in timp ce in cazul unui strat de saracire la suprafata, doar valori de peste 10% ale lungimii Debye produc modificari majore in conductanta normalizeaza.

In cazul unui *p*MOS, variatiile conductantei normalizeaza respecta acelasi profil, insa stratul de acumulare de sarcina apare pentru valori pozitive ale raportului  $eV_s/k_B T$ , iar stratul de pentru valori negative ale aceluiasi raport.

Cercetarile viitoare vor aborda descrierea teoretica a legaturii dintre componenta de receptor si cea de traductor in cazul filmelor gaz-senzitive compacte de tip *n*MOS si *p*MOS, respectiv dependenta conductantei totale de concentratia gazului de interes aplicativ.

**Titlu Faza:** Studii ale materialelor nanostructurate cu proprietati magnetice dure, obtinute in sisteme fara pamanturi rare.

**Obiective:** Realizarea de studii teoretice si experimentale pentru identificarea, conceperea, designul, sinteza si caracterizarea de materiale magnetice fara pamanturi rare, capabile sa satisfaca cerintele pentru actualii magneti permanenti.

### **Rezultate estimate initial:**

- identificarea si realizarea specificatiilor pentru realizarea de sisteme binare sau ternare ce prezinta faze  $L_{10}$  tetragonale
- conceperea si designul structurii prin realizarea de optimizari compozitionale si adaugarea de elemente substitutionale
- sinteza prin metode de neechilibru a probelor din sisteme cu faze  $L_{10}$ , metode ce pot prezerva structuri de faze posibile, conform diagramelor de faza, doar in starea lichida, de exemplu prin solidificare ultrarrapida din topitura – melt spinning
- caracterizarea complexa termic-differentiala, structurala si magnetica a aliajelor obtinute sub forma de benzi nanocrystaline
- evidențierea prezentei fazelor tetragonale  $L_{10}$  si determinarea proprietatilor magnetice ale acestora

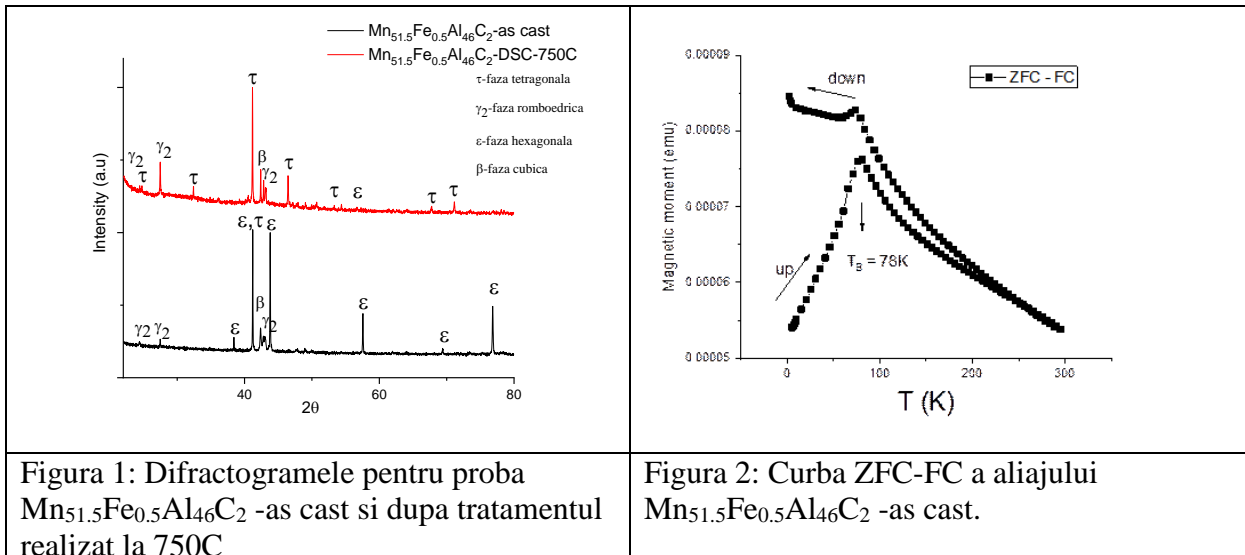
Materialele de tip magneti permanenti cu performante inalte sunt caracterizate de anizotropia magnetica superioara ( $K_u=1,7\text{MJ/m}^3$ ), temperatura Curie inalta ( $T_C \sim 1000\text{K}$ ) si produs energetic maxim  $(BH)_{max} \sim 110\text{kJ/m}^3$ . Aceste materiale sunt utilizate intr-o gama larga de aplicatii tehnologice. Primele aliaje cu faze tetragonale  $L_{10}$  cu proprietati magnetice asemanatoare magnetilor permanenti au fost realizate din sistemele binare FePt si CoPt. In ciuda proprietatilor magnetice semnificativ crescute, costul prohibitiv al materiei prime a impiedicat dezvoltarea ulterioara a acestei clase de magneti pentru aplicatii industriale.

Printre sistemele cu costuri mult mai reduse ce pot realiza faza ordonata tetragonală  $L_{10}$  se numara aliajele Mn-Al, Fe-Ni sau Mn-Bi. Aliajul MnAl cristalizeaza in mai multe faze, depinzand de stoichiometria aliajului si de temperaturile de formare. Intre acestea, faza  $\tau$ -MnAl sau  $L_{10}$  este de simetrie tetragonală, are proprietati magnetice bune din punct de vedere teoretic, cu magnetizare de saturatie de  $114\text{ Am}^2/\text{Kg}$ , anizotropie

magnetocristalina uniaxială  $K_1 = 1.5 \text{ MJ/m}^3$  și temperatura Curie ridicată  $T_c = 650 \text{ K}$ . Aceasta fază  $L1_0$  se poate obține ulterior procedurii de sinteza, din fază hexagonală non-magnetică și prin tratament termic (400-700°C) al aliajului obținut. Adaugarea unei cantități mici de carbon stabilizează fază  $\tau$  și previne descompunerea acesteia în faze nedorite, crește coercivitatea și facilitează obținerea unui material cu anizotropie îmbunătățită.

Toate probele au fost caracterizate prin difracție de raze X (XRD), cinetica transformării fazelor pentru benzile as cast obținute a fost investigată prin calorimetrie diferențială cu ajutorul unui dispozitiv DSC și masurările magnetice au fost realizate cu ajutorul unei facilități SQUID în camp aplicat de 4T, paralel pe planul benzii.

Pe baza rezultatelor obținute în DSC, am putut identifica temperaturile de tranzitie la fază ordonată  $L1_0$ . Având în vedere aceste rezultate, se pot identifica și temperaturile necesare pentru tratamentul termic, astfel încât să se poată forma cu preponderență fază tetragonală de interes.



In figura 1 se prezinta comparativ difracțogrammele pentru proba Mn<sub>51.5</sub>Fe<sub>0.5</sub>Al<sub>46</sub>C<sub>2</sub> as-cast si tratata la 750C. In probele as-cast se observa formarea preponderenta a fazei ε insotita de fazele γ<sub>2</sub> (faza romboedrica) si faza β (faza cubica). In proba tratata se diminueaza pana la disparitie liniile Bragg ale fazei ε si cresc intensitatile liniilor fazei tetragonale τ. Aceasta lucru indica faptul ca in urma tratamentului termic efectuat in cadrul masuratorii DSC faza de echilibru ε se descompune in fază tetragonală de interes τ care devine fază predominanta. Picuri Bragg de mica intensitate indica si prezenta fazelor romboedrica si cubica dar intr-o proportie mult redusa, comparativ cu cea tetragonală.

Caracterul feromagnetic al aliajelor investigate a fost pus in evidență prin realizarea curbelor de magnetizare de tip zero-field-cooled – field-cooled ZFC-FC realizate in camp aplicat de 100 Oe in proba Mn<sub>51.5</sub>Fe<sub>0.5</sub>Al<sub>46</sub>C<sub>2</sub>-as cast (fig. 2). La creșterea temperaturii dinspre 5K catre 300K (ramura „up”) magnetizarea crește treptat și atinge un maxim ascuns la cca 78K, după care magnetizarea descrește gradual. Pe ramura de descreștere (ramura „down”), alura curbei este similară pana la valoarea de 78K, după care magnetizarea se stabilează la valori nenule ale magnetizării probei. Aceasta saturare la valori nenule, indica realizarea alinierii spinilor la temperaturi sub 78K, si deci existenta caracterului ordonat al spinilor, characteristic feromagnetismului.

### Concluzii si perspective:

- Realizarea a două aliaje din clasa de magneti permanenti fără pamanturi rare ce prezintă fază L1<sub>0</sub>, aliaje realizate cu materiale cu costuri mult mai scăzute decât cele clasice de tip FePt. Compoziția aliajelor a fost optimizată plecând de la aliajul quasi-echiatomic Mn-Al cu adăos de C (2 at%) pentru facilitarea apariției fazei tetragonale
- Punerea în evidență prin difracție de radiatie x a transformării de fază, în urma tratamentului termic.

- Punerea in evidenta a caracterului feromagnetic prin evidențierea ordonarii magnetice la temperaturi scazute cu moment magnetic nenul

In continuarea proiectului, vor fi realizate tratamente termice optimizate, alese in urma rezultatelor DSC, vor fi efectuate studii detaliate ale proprietatilor magnetice cu evidențierea parametrilor de interes, precum si studii detaliate de spectroscopie Mossbauer pentru evidențierea structurilor de spin si a parametrilor hiperfini, parametri magnetici esentiali pentru incadrarea aliajelor studiate in clasa de potențiali magneti fara pamanturi rare.

**Titlu Faza:** Termodynamica proceselor de comutare a polarizării feroelectrice: aplicarea modelului Landau-Ginzburg-Devonshire pentru structuri multistrat cu aplicatii in memorii cu stari multiple

**Obiective:** Studierea structurilor de tip feroelectric-izolator-feroelectric (FIF) pentru determinarea proceselor de comutare a polarizării feroelectrice folosind modelul termodynamic Landau-Ginzburg-Devonshire (LDG). Rezultatele teoretice obtinute vor fi comparate cu date experimentale măsurate pe structuri metal-feroelectric-metal.

**Rezultate estimate initial:** Explicarea procesului de comutare a polarizării în structurile de tip FIF ce prezintă stări de polarizare multiple. Dependență apariției stărilor multiple de polarizare în funcție de constanta dielectrică a stratului izolator, de grosimea straturilor de feroelectric și a parametrilor modelului LGD.

**Rezultate obtinute** (scurta descriere a celor mai importante rezultate, cu 1-2 imagini/grafice de impact care sustin rezultatele):

În cadrul acestei faza s-au studiat proprietatile structurilor FIF și condițiile în care apar stările multiple de polarizare. În acest scop s-a folosit modelul termodynamic LGD care descrie densitatea volumica a potențialul Gibbs al unui strat component astfel:

$$g(T, \vec{E}, \rho) = -\frac{1}{2} \varepsilon E^2 - PE + \frac{1}{2} \alpha P^2 + \frac{1}{4} \beta P^4 + \dots \quad (1)$$

Unde  $P$  este polarizarea stratului,  $E$  este câmpul electric din stratul respectiv iar  $\alpha$  și  $\beta$  sunt parametri de fit legați de proprietățile materialelor studiate. Pentru stratul izolator intermediar, polarizarea este zero iar Ec. (1) se reduce doar la primul termen. Potențialul Gibbs pentru structura FIF se scrie ca o sumă a celor trei componente:

$$G(T, V_a) = v_1 g(T, E_1) + v_i g(T, E_i) + v_2 g(T, E_2), \quad (2)$$

unde,  $v_1$ ,  $v_i$  și  $v_2$  sunt volumele partilor constituente, iar  $E_1$ ,  $E_i$  și  $E_2$  sunt câmpurile electrice corespunzătoare atunci când pe structura FIF este aplicată o tensiune  $V_a$ . Câmpurile electrice în fiecare strat pot fi obținute rezolvând o problemă electrostatică iar polarizările din cele două straturi feroelectrice rezulta din impunerea simultană a condiției de minim în Ec. (2).

In Figura 1 este prezentata evolutia polarizarii totale si evolutia polarizarilor straturilor constituente pe parcursul switching-ului, in cazul unei structure FIF ce prezinta 4 stări stabile de polarizare. De asemenea, polarizarea totala a structurii poate descrie si două cicluri de histerezis intermediare ce se pot obține astfel: din starea de reversare totală a polarizării în cele două straturi feroelectrice, obținuta prin amplificarea unei tensiuni maxime, se variază câmpul aplicat pana ce se obține reversarea polarizării doar într-unul dintre straturile feroelectrice. Continuarea cresterii campului aplicat in același sens va determina comutarea polarizării si in celalalt strat ferroelectric, determinand astfel un ciclu complet de histerezis. Daca după prima reversare a polarizării, campul aplicat se reduce la zero, starea aceasta intermediara ramane stabila. Scazand in continuare campul aplicat, are loc back-switchingul polarizării la o tensiune mult mai mica, in comparatie cu tensiunea coercitiva din histerezisul complet. Rezulta astfel un histerezis intermediar puternic deplasat pe axa tensiunii. Similar, un al doilea ciclu de histerezis intermediar se obține plecand de la o starea initială cu polarizarea orientată in sens invers în ambele straturi feroelectrice. Dar acest al doilea ciclu de histerezis intermediar va avea o deplasare inversă pe axa tensiunii in comparatie cu primul. Aceste caracteristici sunt specifice pentru aceste structuri FIF ce prezinta un switching in trepte si se datoreaza cuplajului electrostatic dat de prezenta stratului izolator intermediar. Un rezultat asemănător se obține și experimental, masurand o structura de tip

$Pb(Zr_{20}, Ti_{80})O_3 - BaTiO_3 - Pb(Zr_{20}, Ti_{80})O_3$ . In Figura 1 este evidentiat ciclul complet de switching al polarizarii, precum si cele doua cicluri intermediare ce prezinta un imprint cu orientare opusa.

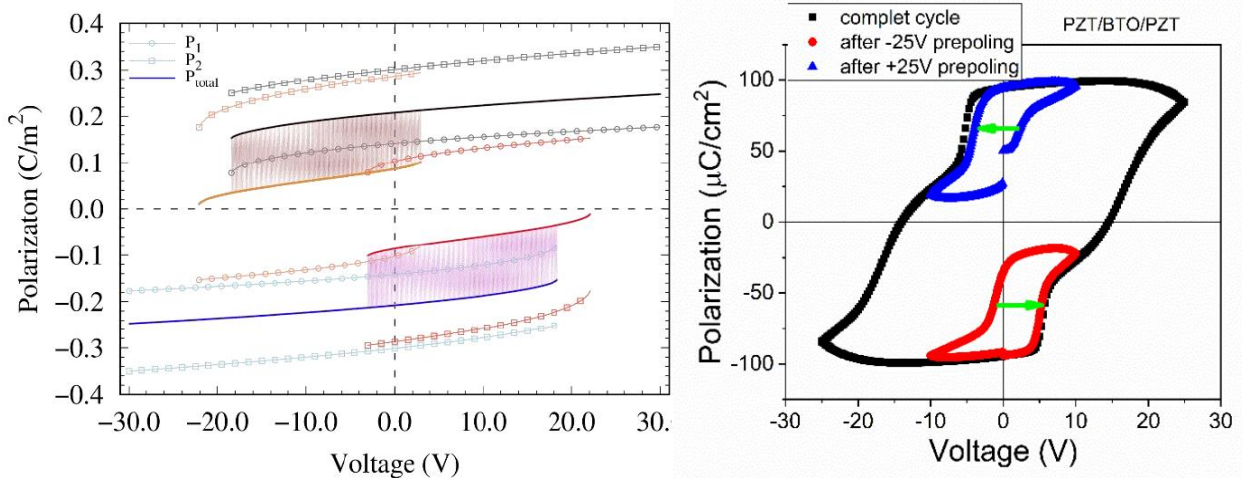


Figure 1: Evolutia polarizarii totale si a polarizarilor din straturile feroelectrice constituente in functie de tensiunea aplicata modelata teoretic (figura din stanga); Curbele de histerezis total si partial in functie de starea de pre-polare, masurate pe o structura  $Pb(Zr_{20}, Ti_{80})O_3 - BaTiO_3 - Pb(Zr_{20}, Ti_{80})O_3$

### Concluzii si perspective:

Rezultatele obtinute in aceasta faza de proiect nucleu se inscriu, ca o continuare a eforturilor teoretice si experimentale de studiere a structurilor de tip feroelectric-izolator-feroelectric cu scopul de a optimiza obtinerea de stari multiple de polarizare stabile. Obiectivele fazei au avut ca scop intelegerarea mecanismelor de reversare a polarizarii si de aparitie a stariilor multiple in structuri feroelectric-izolator-feroelectric. Toate obiectivele au fost indeplinite, rezultatele studiului teoretic fiind coroborate de masuratori experimentale. Avand in vedere ca realizarea unor aplicatii avansate, cum sunt memorii feroelectrice cu stari multiple si o larga gama de jonctiuni tunel feroelectrice implica utilizarea unor structuri de tip condensator feroelectric, apreciem ca rezultatele raportate in aceasta faza pregatesc atat teoretic cat si experimental posibilitatea fabricarii in viitor a unor prototipuri de memorii cu stari multiple. Propunem astfel continuarea temei privind studiul polarizarii in sisteme pentru dispozitive nanometrice prin evaluarea acestei marimi fizice in heterostructuri si super-retele cu moduri feroice cuplate.

**Titlu Faza:** Nanofibre polimerice functionalizate cu  $TiO_2$  si  $ZnO$  pentru aplicatii de fotocataliza

**Termen:** 11/14/2019

### Obiective:

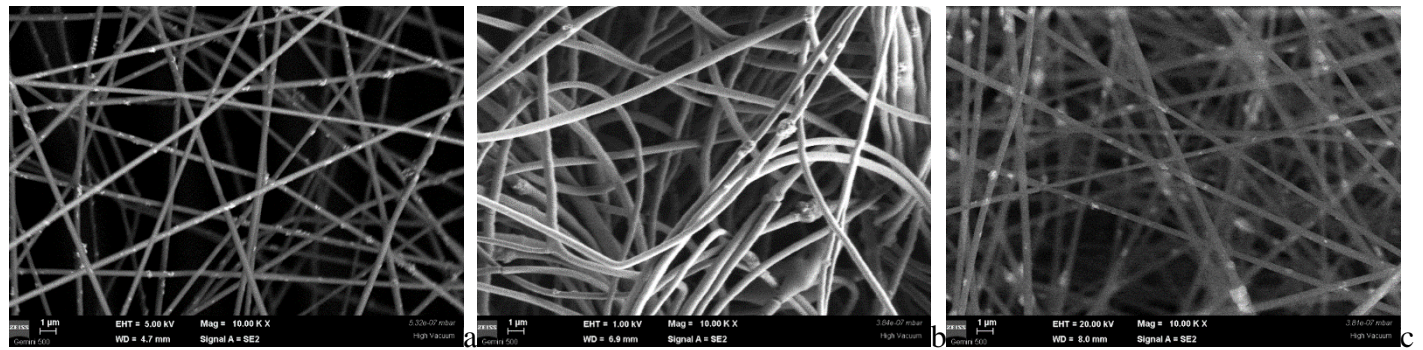
- Obtinerea prin procesul de electrospinning de nanofibre care sa incorporeze nanoparticule de  $TiO_2$  si  $ZnO$ ;
- Gasirea concentratiilor optime de nanoparticule dopante pentru a obtine nanofibre cu proprietati fotocatalitice;
- Caracterizarea din punct de vedere morfologic, structural si optic a nanofibrelor electrofilate dopate cu  $TiO_2$  si  $ZnO$ .

**Rezultate estimate initial:** Studiul isi propune obtinerea, prin procesul de electrospinning, a unor nanofibre polimerice cu proprietati fotocatalitice prin incorporarea in acestea de nanoparticule de  $TiO_2$  si  $ZnO$ . Procesul de fabricare va fi optimizat in functie de concentratia de nanoparticule folosita, urmand a fi stabilita compozitia optima pentru obtinerea unui proces de fotocataliza eficient. In cadrul studiului se vor caracteriza nanofibrele polimerice obtinute din punct de vedere morfologic, structural si optic si de asemenea vor fi evaluate proprietatile de fotocataliza ale acestor nanofibre.

**Rezultate obtinute:** Electrofilarea este o metoda prin care se pot crea straturi de fibre polimerice cu diametre submicronice, folosind un camp electrostatic si solutii de polimeri. Materialul fibros creat prin electrofilare este

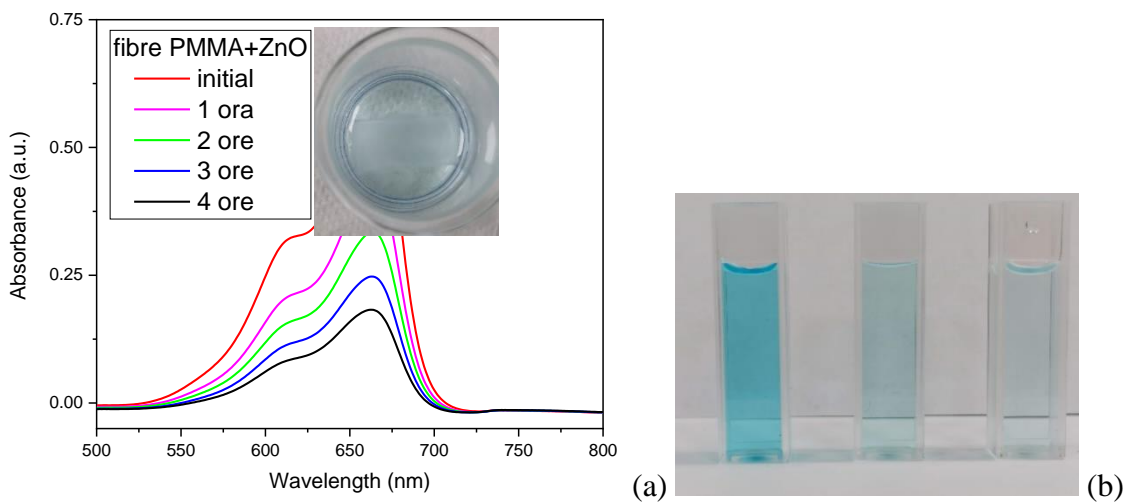
caracterizat de o suprafață specifică foarte mare, datorită microstructurării implice. Metoda este simplă, versatilă și oferă multiple căi de a funcționaliza fibrele obținute cu ajutorul altor materiale, cea mai facilă cale fiind adăugarea unor aditivi în soluția din care se electrofilează. Acești aditivi pot fi substanțe și materiale active, sau precursorii acestora, care devin fixate în mătrița polimerică a fibrelor și preiau proprietățile morfologice ale acestora. În cazul materialelor oxidice cu proprietăți fotocatalitice, ambele căi de funcționalizare pot fi folosite pentru a obține materiale hibride.

Au fost fabricate fibre polimerice prin electrofilare de solutii de 12% wt. de polimetilmecacrilat (PMMA) în dimetilformamida (DMF) dopate cu ZnO (1% wt), TiO<sub>2</sub> (1% wt) și amestec ZnO (0,5% wt)+TiO<sub>2</sub> (0,5% wt). Fibrele au fost caracterizate din punct de vedere structural prin difracție de raze X (XRD), morfologic cu ajutorul microscopiei electronice de baleaj (SEM), precum și din punct de vedere optic folosind spectroscopia de reflexie (R%) și spectroscopia de fotoluminescență (PL).



*Figura 1. Imagini SEM ale nanofibrele de PMMA dopate cu nanoparticule de ZnO (a), nanoparticule de TiO<sub>2</sub> (b) și amestec de nanoparticule de ZnO + TiO<sub>2</sub> (c).*

Nanofibrele dopate cu ZnO și TiO<sub>2</sub> au fost imersate în soluție apoasă de MB (Figura 2a - inset) și apoi au fost iradiate folosind simulatorul solar, soluția degradată de MB fiind apoi măsurată la diferite intervale de timp (Figura 2b). Proprietățile fotocatalitice ale nanofibrele de PMMA dopate cu ZnO au fost evaluate prin urmărirea scăderii intensității absorbției a MB cu maximul la ~664 nm (Figura 2a). Degradarea MB crește proporțional cu creșterea timpului de iradiere atât nanofibrele dopate cu ZnO cât și nanofibrele dopate cu TiO<sub>2</sub>. Procesul de degradare a soluției de MB în timpul iradiierii cu simulatorul solar este mai eficient în cazul nanofibrele dopate cu TiO<sub>2</sub>.



*Figura 2. (a) Spectre de absorbție ce ilustrează degradarea fotocatalitică a MB în soluții apoase folosind nanofibre de PMMA dopate cu nanoparticule de ZnO (inset : Imaginea nanofibrele electrofilate de PMMA*

*dopat cu ZnO, imobilizate pe suport de sticla, imersate in solutie de MB ( $10^{-5} M$ ); (b) imagini ale cuvelor ce contin solutie de MB in timpul experimentele de degradare photocatalitica: initial, dupa 1 ora si dupa 2 ore.*

### **Concluzii si perspective:**

Au fost efectuate studii privind fabricarea nanofibrelor de PMMA dopate cu nanoparticule de ZnO si TiO<sub>2</sub> prin procesul de electrofilare si caracterizarea proprietatilor structurale, morfologice, optice si photocatalitice ale acestor nanofibre. S-a pus in evidenta prin masuratori XRD faptul ca nanofibrele dopate de PMMA obtinute prin electrofilare prezinta semnaturile caracteristice materialelor semiconductoare care au fost folosite pentru dopare (ZnO in faza wurzite si TiO<sub>2</sub> in faza anatase). Masuratorile SEM au indicat prezenta nanoparticulelor dopante de ZnO si TiO<sub>2</sub> in interiorul fibrelor de PMMA. Spectrele de reflectanta au aratat aparitia benzilor interzise la valori specifice materialelor dopante folosite, ZnO si TiO<sub>2</sub>. In spectrele de fotoluminescenta ale nanofibrelor de PMMA dopate cu ZnO si TiO<sub>2</sub> au fost identificate emisii care sunt caracteristice materialelor dopante, ZnO si TiO<sub>2</sub>. Activitatea photocatalitica a nanofibrelor, evaluata utilizand un simulator solar si cu ajutorul spectrelor de absorbtie, a indicat o eficienta ridicata a nanofibrelor de PMMA dopate atat cu nanoparticule de ZnO cat si cu nanoparticule de TiO<sub>2</sub>.

**Titlu Faza:** Fenomenul de histerezis in celule solare cu perovskiti – studii experimentale si teoretice

**Termen:** 12/9/2019

**Obiective:** Studiul propus se concentreaza pe intelegera proceselor care duc la aparitia fenomenului de histerezis in celule solare cu perovskiti (PSC) si dezvoltarea unui model dinamic analitic capabil sa descrie aceste efecte. Pentru aceasta vor fi fabricate si caracterizate celule solare cu perovskiti in configuratia standard – de colectare a electronilor in circuitul exterior. Pe baza caracterizarii

### **Rezultate estimate initial:**

- i) fabricarea si caracterizarea chimica si structurala a celulelor solare cu perovskiti halogenati;
- ii) caracterizare electrica si fotoelectrica a acestora, stabilirea dependentei marimii histerezisului atat de caracteristicile intrinseci ale probelor PSC (chimia, structura, geometria si tipul interfetelor cu materialul absorbant de tip halid perovskit) cat si de conditiile de masura (tensiuni maxime aplicate, viteze de variatie a tensiunii in timpul masuratorilor electrice, prezenta sau absenta iluminarii);
- iii) dezvoltarea unui model dinamic analitic care sa considere fenomenele care apar la nivel microscopic, atat datorita compozitiei si structurii PSC cat si a conditiilor de masura, si care sa descrie cantitativ histerezisul in celulele solare cu perovskiti halogenate (PSC).

**Rezultate obtinute** (scurta descriere a celor mai importante rezultate, cu 1-2 imagini/grafice de impact care sustin rezultatele):

**Rezultatele obtinute** pot fi sintetizate pe 3 categorii si anume:

- (i) fabricarea si caracterizarea chimica/structurala a celulelor solare cu perovskiti halogenati;  
Structura unei celule solare cu perovskiti (PSC) este sticla/ FTO/ TiO<sub>2</sub> compact/TiO<sub>2</sub> mezoporos/ MAPI/ spiro-OMeTAD/ Au. In laborator, toate straturile componente se depun de regula prin tehnica spin-coating, inaplicabila insa pe suprafete mari. Una dintre principalele provocari in domeniul PSC este de a dezvolta tehnologii de fabricatie ieftine, potrivite producției la scară largă. Acest lucru presupune depunerea tuturor straturilor dintr-o PSC cu tehnici aplicabile pe arii mari. Până în prezent, cu exceptia stratului de TiO<sub>2</sub> mesoporos (TiO<sub>2m</sub>), pentru toate celelalte au fost adaptate metode de depunere pe suprafete mari. Am reusit sa dezvoltam o tehnica de depunere a stratului de TiO<sub>2m</sub> pe arii mari, prin pulverizare (r-TiO<sub>2m</sub>). Aceasta induce formarea unei structuri reticulate specifice cu cavitati ovale bine delimitate, cu diametre cuprinse intre 3-7 μm si ~ 350 nm inaltime (vezi Fig.1). Cu aceasta tehnica eficienta PSC creste cu 20% (studiu efectuat pe un nr total de 42 PSC) comparativ cu situatia in care stratul mesoporos era depus prin spin-coating.

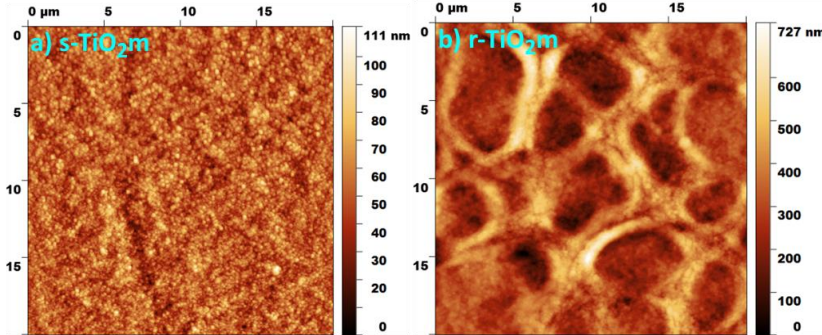


Fig.1. Imagini AFM ale straturilor TiO<sub>2</sub> mesoporoase depuse prin: (a) spin-coating (s-TiO<sub>2</sub>m); (b) pulverizare (r-TiO<sub>2</sub>m)

## (ii) caracterizare electrica si fotoelectrica a PSC cu s-TiO<sub>2</sub>m si cu r-TiO<sub>2</sub>m

Un set de curbe J-V al celulelor PSC cu diferite tipuri de TiO<sub>2</sub>m este prezentat în Fig.2 împreună cu histogrammele pentru fiecare caracteristică a celor 42 de dispozitive. Toti parametri fotovoltaici (J<sub>sc</sub>, V<sub>oc</sub>, FF, PCE) îmbunătățire generală a tuturor parametrilor fotovoltaici poate fi observată în cazul probelor cu r-TiO<sub>2</sub>m. Cea mai mare eficiență, de 14,53%, a fost obținută pentru o probă cu TiO<sub>2</sub> mezoporos reticulat, vezi figura 8 a.

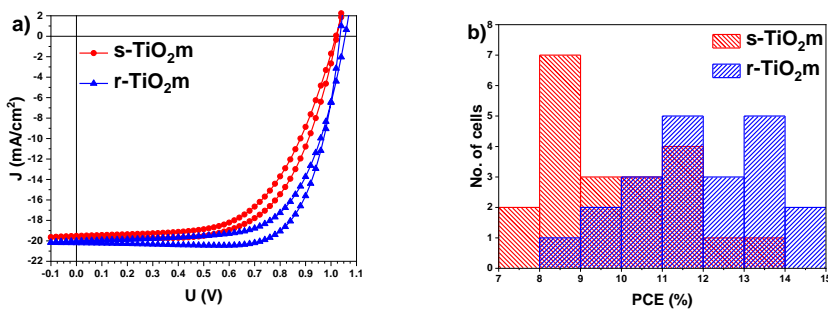


Fig.2. Comparatie intre celule solare cu s-TiO<sub>2</sub>m si r-TiO<sub>2</sub>m: (a) caracteristici I-V; (b) PCE

Acesta este rezultatul unui J<sub>sc</sub> de 20,1 mA/cm<sup>2</sup>, unui V<sub>oc</sub> de 1.045 V și a unui FF de 69%. În urma determinării eficienței conversie de putere (PCE) în toate probele (vezi Fig.2b) a rezultat ca eficiența medie a dispozitivelor cu r-TiO<sub>2</sub>m este de aproximativ 12% comparativ cu PCE mediu al celulelor cu s-TiO<sub>2</sub>m de ≈10%, rezultând la o creștere de 22% a eficienței. Deasemenea, aceasta procedura de arie mare prin pulverizare conduce la obținerea unor PSC cu histerezis diminuat cu 65% (index de histerezis mediu HI=4.4 pentru PSC cu s-TiO<sub>2</sub>m și HI=2.9 pentru PSC cu r-TiO<sub>2</sub>m).

## (iii) dezvoltarea unui model dinamic analitic ce descrie cantitativ histerezisul PSC.

Am dezvoltat un model electric dinamic, care permite explicarea caracteristicilor importante ale PSC, cum ar fi forma histerezisului și apariția unei „cocoase” în masuratoarea inversă, dependenta de condițiile de masură, fără a fi necesare ipoteze suplimentare. Am obținut expresii analitice pentru tensiunea circuitului, curentul staționar și cel instantaneu (cu funcția W Lambert). S-a obținut astfel o descriere unificată a comportamentului histeretic al PSC pe baza unui circuit electric generic obținându-se o descriere realistica a caracteristicilor dinamice J – V (vezi Fig.3).

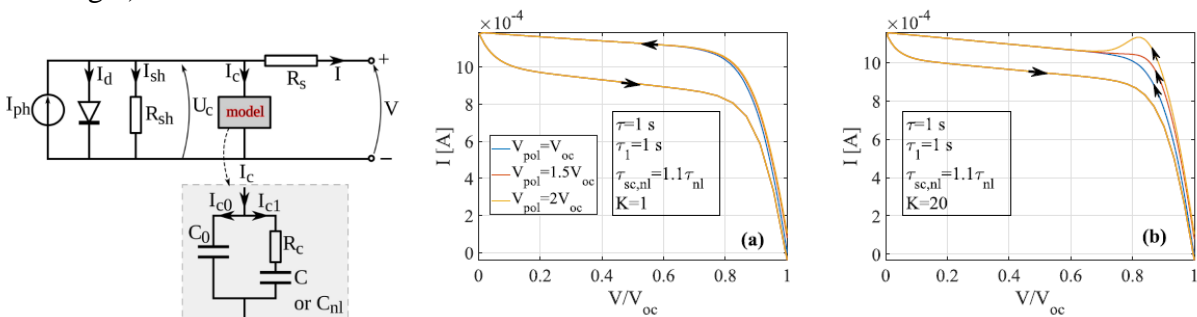


Fig.3. Circuitul echivalent al PSC considerat (stanga) si caracteristici non-staționare I-V ale unei aceeasi PSC ((a) si (b)), cu diferite valori ale factorului K, un parametru ce considera dependenta de tensiune a capacitatii

$C_{nl}$ .  $\tau$  este timpul de relaxare al polarizarii initiale iar  $\tau_{nl}$  al capacității  $C_{nl}$  dependente de V.  $\tau_{sc,nl}$  - constanta de timp pentru descarcarea capacității  $C_{nl}$  (V) în circuitul extern.

**Concluzii si perspective:** Studiul efectuat s-a concentrat pe două aspecte, unul tehnologic - de a fabrica PSC eficiente, cu histerezis redus, prin metode aplicabile pe arii mari și altul teoretic – de a modela și înțelege proprietățile PSC și fenomenul de histerezis. **Principalele concluzii:**

- a fost dezvoltată o metodă nouă pentru depunerea pe arii mari a strukturilor mezoporoase de  $TiO_2$ , având la bază pulverizarea. Aceasta metoda a dus la o creștere a PCE cu 22%. Adițional, aceasta metoda reduce efectul histeretic. Poate fi simplu integrată în instalații automate, făcând astfel producția la scară largă a PSC foarte fezabilă.

- am dezvoltat un model dinamic pentru o descriere unificată a comportamentului histeretic al PSC, explicând comportamentul neliniar al polarizării printr-o capacitate -dependenta de V. Aceasta are beneficiul asimilării termenului de polarizare direct cu condițiile experimentale, cum ar fi tensiunea de polare  $V_{pol}$ . Pe lângă caracteristicile cunoscute, obținem caracteristici care nu au fost încă analizate experimental, ca mutarea „cocoasei” din J-V reversă ca o „burtă” în cea directă, atunci când rata de recombinare este scăzută sau când tensiunea  $V_{pol}$  crește.

**Perspective:** creșterea eficienței PSC prin înglobarea metodelor de depunere în glow-box cu atmosferă controlată; găsirea de soluții pentru a crește și stabiliza PCE în timp ce se măreste suprafața PSC. fabricarea de module PSC eficiente prin dezvoltarea și utilizarea exclusivă a tehnologiilor aplicabile pe suprafețe mari (imprimare și sputtering);

**Titlu Faza:** Competitia dintre localizarea polaronica si conductivitate in oxizi de mangan

**Termen:** 12/9/2019

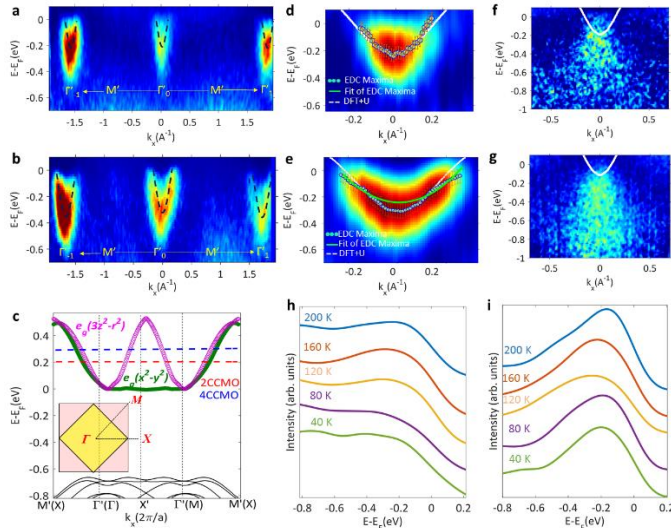
**Obiective:** Stabilirea legăturii dintre dopaj și taria cuplajului electron-fonon

**Rezultate estimate initial:**

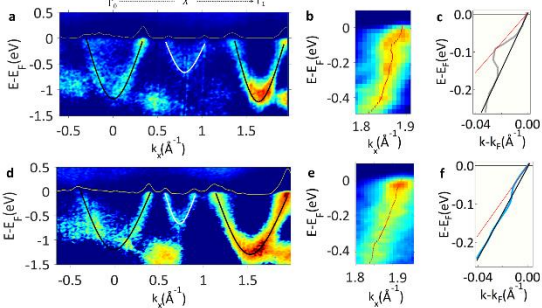
- a) stabilirea semnaturii în spectrele de fotoemisie a tranzitiei de la izolator la metal în CCMO în functie de dopajul cu Ce
- b) obținerea experimentală a legilor de dispersie E(k) pentru LSMO și CCMO în ARPES
- c) identificarea energiilor modurilor de vibrație active în cuplajul electron fonon din legile de dispersie obținute experimental
- d) modificarea polarizării orbitale și a cuplajului electron fonon în funcție de tensiunea indușă de substrat în creșterea epitaxială

**Rezultate obținute** (scurta descriere a celor mai importante rezultate, cu 1-2 imagini/grafice de impact care susțin rezultatele):

Doparea  $CaMnO_3$  - CMO cu doar 2% Ce (2CCMO) produce tranzitie de la starea de izolator cu ordonare antiferomagnetică la cea metalică, în timp ce doparea cu 4% Ce (4CCMO) crește și mai mult concentrația de purtatori liberi, fiecare atom de Ce transferând cate doi electroni fiecarei celule unitate de CMO. Avantajul dopajului mic constă în izolare exclusivă a mecanismului electronic de tranzitie de la izolator la metal, fără a induce efecte suplimentare de deformare a retelei cristaline asociate cu dopajul mai ridicat, necesar tranzitiei către starea metalică în cazul mult mai cunoscut al  $LaMnO_3$  dopat cu Sr în proporție de 30% (LSMO).



**Figura 1**



**Figura 2**

**Figura 1:** Legile de dispersie experimentale  $E(k)$  pentru 2CCMO (a,d,g) si 4CCMO - 4% (b,e,f). Structura benzilor calculate folosind calcule DFT (c). Functia spectrala  $A(k,\omega)$  pentru CCMO dopat cu 2% Ce (h) si 4% Ce (i) **Figura 2:** Legile de dispersie experimentale  $E(k)$  la suprafata LSMO (a) si la interfata LSMO/PZT (b). Regiunea la scara marita in jurul punctului  $\Gamma$  la suprafata (b) si interfata (e), si renormalizarea diferita a dispersilor  $E(k)$  pentru cele doua cazuri (c,f)

Legile de dispersie electronice obtinute in experimente de fotoemisie de raze X moi cu rezolutie unghiulara pentru 2CCMO si 4CCMO sunt prezentate in Fig. 1 a-g si indica cum in mod evident dopajul cu Ce se reflecta intr-un vector de unda Fermi –  $k_F$  mai mare, care in virtutea relatiei cu concentratia de purtatori  $n \sim k_F^3$ , conduce la concluzia ca intr-adevar are loc o dublare a densitatii de purtatori liberi in cazul 4CCMO comparativ cu 2CCMO. Calculele de structura electronica indica mecanismul de tranzitie ca fiind umplerea graduala a benzilor din jurul punctului  $\Gamma$  al spatiului  $\mathbf{k}$  (Fig. 1c). Acestea sunt de fapt-un amestec de stari cu simetrie  $e_g(x^2-y^2)$  si  $(3z^2-r^2)$ .

Un aspect remarcabil este faptul ca tranzitia la starea metalica incipienta - 2CCMO transleaza nivelul Fermi in banda de conductie, insa purtatorii liberi sunt puternic cuplati cu fononii, conducand la o crestere a masei efective a electronilor. Aceasta situatie corespunde unei mobilitati mici. Cresterea concentratiei de purtatori liberi permite ecranarea interactiei dintre electroni si fononi, la trecerea din regimul de cuplaj puternic cu fononi in cel slab/intermediar si cresterea mobilitatii, insotita de tranzitia catre ordonarea feromagnetica. Mecanismul identificat pentru tranzitie dintre regimul de cuplaj puternic spre cel slab/intermediar consta in violarea teoremei Migdal care permite neglijarea termenilor de ordin superior din dezvoltarea in serie a interactiei electron fonon atunci cand energia electronilor este mult mai mare decat cea a fononilor. In cazul CCMO, minimul benzii de conductie este comparabil cu energia fononilor din CCMO (50-70 meV), caz in care trebuesc luati in considerare si termenii de ordin superior in taria interactiei. Acest fapt duce la aparitie semnaturii specifice in imaginile ARPES (Fig. 1f,g) sub forma intensitatii localizate in  $\mathbf{k}$ , limitata la regiunea definita de  $k_F$  – foarte intensa in cazul 2CCMO si tot mai putin vizibila pe masura ce creste densitatea de purtatori.

Situatia identificata in cazul LSMO ( $x=0.3$ ) (Fig. 2. a,d) este radical diferita deoarece minimul benzii de conductie este mult mai mare decat energia fononilor, care, cu valori in intervalul 30-80 meV este comparabila cu cazul CCMO. Pentru LSMO, cuplajul electron-fonon este bine descris de aproximatia Migdal iar semnatura interactiei electron fonon se manifesta doar ca abatere de la dispersia parabolica a benzilor electronice in vecinatatea energiei Fermi (eng. *kink*). Energia la care apare aceasta abatere este cea a fononului implicat in cuplajul electron-fonon. Abaterea de la dispersia parabolica este cuantificata de parametrul  $\lambda = v_F/v_F^*$ , unde  $v_F$  si  $v_F^*$  reprezinta vitezele Fermi ale benzii electronice parabolice, respectiv renormalizata, deduse dintr-un fit linear al dispersiei benzii electronice in vecinatatea energiei Fermi. Mai departe, aceasta se propaga in modificarea masei efective a purtatorilor data de relatia  $m_{eff}/m_{eff}^* = 1 + \lambda$ , cu  $m_{eff}^*$  – masa efectiva a electronilor din banda parabolica considerata iar  $m_{eff}^*$  – masa renormalizata datorita interactiei electron - fonon.

In cazul LSMO, valoarea parametrului  $\lambda$  de  $\sim 0.9$  indica o crestere a masei efective datorita interactiei cu fononii de tip Jahn-Teller din regiunea 60-70 meV, cauzati de stresul cresterii epitaxiale pe substratul SrTiO<sub>3</sub> cu constanta de retea mai mare decat a LSMO (Fig. 2 b.c).

O modalitate de a controla cuplajul cu fononii este, asa cum am dedus in cazul CCMO, modificarea concentratiei de perturatori. Am realizat acest fapt prin alaturarea LSMO cu un ferroelectric (PZT) cu o directie a polarizarii ferroelectrice orientata catre LSMO. Compensarea starii ferroelectrice se realizeaza prin intermediul electronilor din LSMO, care tind sa se acumuleze spre interfata, echivaland cu un dopaj de tip  $n$  in regiunea interfetei. Intr-adevar, cresterea densitatii de perturatori este semnalata de cresterea  $k_F$  (Fig. 2d), avand drept consecinta slabirea interactiei cu vibratiile retelei, si un factor de renormalizare  $\lambda \sim 0.3$  (Fig. 2f). Presupunand aceleasi valori pentru timpii de imprastiere a electronilor, deducem o crestere a mobilitatii la interfata cu un factor de 2 comparativ cu suprafata libera.

**Concluzii si perspective:** Am evidențiat o modalitate de a controla mobilitatea in oxizii metalelor de tranzitie prin modularea concentratiei de perturatori. Modificarea concentratiei de perturatori poate fi controlata atat printr-un control explicit al dopajului, cat si prin exploatarea efectelor de la interfata cu ferroelectrii. Rezultatele previzionate initial au fost obtinute iar obiectivul fazei realizat integral.

**Titlu Faza:** Rolul modurilor optice si vibrationale in functionarea unor sisteme hibride cu posibile aplicatii in nanofotonica si metrologie cuantica: abordare teoretica si computationala.

**Termen:** 12/9/2019

**Obiective:** Descrierea teoretica a unor efecte netriviale in doturi cuantice plasate in nanocavitate optice sau cuplate la moduri de vibratie.

**Rezultate estimate initial:**

i) obtinerea structurii de stari imbracate (dressed states) pentru modelul Tavis-Cummings generalizat; ii) calculul curentilor dependenti de timp si al corelatiilor acestora in sisteme hibride; iii) implementarea numerica a ecuatiei Master nemarkoviene pentru sisteme hibride in prezenta unor semnale dependente de timp; iv) investigarea dinamicii fotonilor si/sau a modurilor de vibratie; v) analiza efectelor de interactie si a regimului de cuplaj puternic.

**Rezultate obtinute:**

Obiectivul principal al fazei a constat in studiul teoretic al proprietatilor de transport dependent de timp pentru un sistem hibrid descris de Hamiltonianul Tavis-Cummings binecunoscut in optica cuantica. Sistemul considerat consta din doua nanofire cuantice 1D ( $S_a$  si  $S_b$ ) plasate intr-o cavitate optica si cuplate individual la rezervoare de particule cu potentiiale chimice  $\mu_{l,a}$  si  $\mu_{l,b}$ ,  $l = L, R$ . Rezultatele experimentale recente au aratat ca in astfel de structuri hibride unul dintre subsisteme poate absorbi fotonii emisi de subsistemul vecin. Motivati de aceste constatari am investigat teoretic efectele interactiei mediate fotonice asupra proceselor de transport. Am considerat ca in fiecare subsistem tunelarea electronica se poate face doar pe nivelele energetice uniparticula de energie joase  $\varepsilon_{is}$  ( $i = 1, 2$ ). In aceste conditii interactia mediata de foton este activa doar daca in fiecare subsistem se gaseste cate un electron - regim descris de Hamiltonianul Tavis-Cummings. Pentru discutarea rezultatelor este util sa introducem si numerele medii de ocupare electronice  $q_{is}$  ale celor 2 nivele din fiecare subsistem. Cele doua subsisteme sunt identice iar frecventa modului unic al cavitatii este fixata la rezonanta,  $\hbar\omega = \varepsilon_{2s} - \varepsilon_{1s}$ .

Primul regim de transport considerat evidentiaza trecerea de la o dinamica de tip Jaynes-Cummings (JC) in care in sistem exista un singur electron la dinamica Tavis-Cummings (TC). Potentialul chimic  $\mu_{Ra}$  este ales astfel incat  $\varepsilon_{2a}$  se afla in `fereastra' de bias  $\mu_{La} - \mu_{Ra}$  in timp ce  $\varepsilon_{1a} < \mu_{Ra}$  (asa cum se vede in insetul figurii 1(a)).  $\mu_{Rb}$  este fixat astfel incat amandoua nivelele uniparticula ale subsistemului  $S_b$  pot participa la transport.

Un prim calcul a vizat curentul  $J_{La}$  care intra in subsistemul  $S_a$  in conditiile in care  $S_b$  nu este conectat la rezervoare de particule si nu contine electroni. In starea initiala, notata cu  $|00,0\rangle$ , nu exista nici electroni nici fotonii in sistem. In acest caz fotonii emisi de  $S_a$  nu pot fi absorbiti de  $S_b$  iar dinamica sistemului este descrisa de

Hamiltonianul JC. Al doilea calcul porneste de la aceeasi stare initiala dar cele doua subsisteme sunt *simultan* cuplate la rezervoarele de particule astfel incat se pot popula si starile de tip Tavis-Cummings.

In Fig. 1(a) sunt prezentati curentii tranzitorii pentru cele doua configuratii mentionate mai sus (JC si TC). In absenta transportului in  $S_b$  subsistemul `deschis`  $S_a$  va evolua spre regimul de blocada coulombiana, astfel incat in stare stationara  $J_{La} = 0$  si  $q_{1a} \approx 1$ . Acest lucru este confirmat si de evoluatia ocuparii celor doua nivele  $q_{1a}$  si  $q_{2a}$  prezentata in Fig. 1(b). Oscilatii Rabi optice sunt vizibile in regimul tranzitoriu dar dispar in stare stationara deoarece cuplajul cu firele actioneaza ca un termen de disipatie. Perioada oscilatiilor JC este  $T_0 = 39$  ps si corespunde frecventei Rabi `de vid`  $\Omega_0$ . Reamintim ca in general frecventa Rabi asociata cu un numar fixat de fotoni  $N$  este data de  $\Omega_N = 2g_0\sqrt{N+1}$ . De notat ca in stare stationara numarul mediu de fotoni se anuleaza.

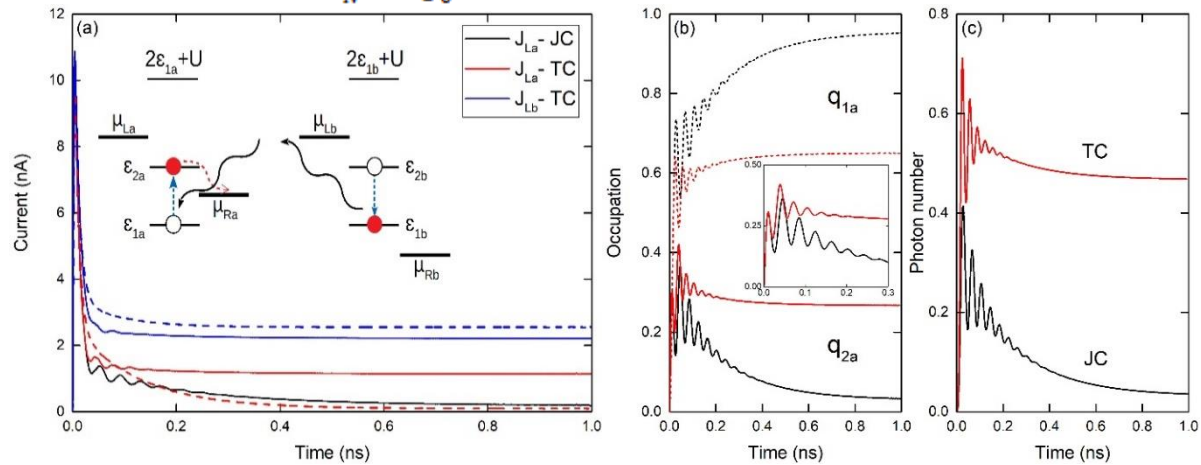


FIG. 1. a) Curentii tranzitorii in cele 2 configuratii JC si TC. Curentii obtinuti in absenta cuplajului electron-foton sunt reprezentati cu linie punctata. Inset: procesele optice si de tunelare relevante pentru dinamica TC. b) Ocuparea nivelelor active optic din  $S_a$  in regimul JC (linie punctata) si TC (linie continua). Inset:  $q_{2a}$  in regim tranzitoriu. c) Media nr. de fotoni in regimurile JC si TC.  $\mu_{La} = \mu_{Lb} = 45$  meV,  $\mu_{Ra} = 41.5$  meV,  $\mu_{Rb} = 35$  meV,  $g_0 = 53$   $\mu$ eV,  $\kappa = 0$ .

Regimul TC prezinta diferente notabile fata de regimul JC. Din Fig. 1(a) se observa ca in stare stationara  $J_{La}$  este finit, ceea ce implica activarea proceselor de tunelare de pe nivelul excitat  $\varepsilon_{2a}$  in rezervorul  $R_a$ . Aceasta `ridicare` a blocadei coulombiene in  $S_a$  se datoreaza schimbului de fotoni dintre cele 2 subsisteme. Mecanismul este sugerat in inset-ul Fig. 1(a): i) Subsistemu  $S_b$  genereaza fotoni si in starea stationara prin procese de relaxare  $\varepsilon_{2b} \rightarrow \varepsilon_{1b}$ ; ii) fotoni emisi excita electronii de pe nivelul  $\varepsilon_{1a}$  pe nivelul excitat care contribuie la curentul stationar nenul in  $S_a$ . Acest scenariu este confirmat si de rezultatele prezentate in Fig. 1(b): in stare stationara nivelul  $\varepsilon_{1a}$  nu mai este complet ocupat. Se observa si faptul ca in regimul TC perioada oscilatiilor Rabi difera fata de cea din regimul JC. Intr-adevar, oscilatii Rabi asociate starilor `imbrilate` Tavis-Cummings cu  $N$  fotoni au perioadele  $\tilde{\Omega}_N = 2g_0\sqrt{4N-2}$  si  $\tilde{\Omega}_N/2$ .

### Concluzii si perspective:

Obiectivele proiectului au fost indeplinite in totalitate. In cadrul fazei au fost publicate 3 lucrari in reviste cotate ISI, o alta lucrare fiind in curs de redactare. Rezultatele obtinute in cadrul fazei aduc elemente substantiale de noutate in raport cu formalismul teoretic de descriere a unor fenomene de interes in optica cuantica si prezic observarea experimentală a unor efecte relevante. Posibile dezvoltari ale acestei directii de studiu includ investigarea teoretica a proprietatilor de transport ale Hamiltonianului Rabi cuantic precum si considerarea efectelor cuplajului cu moduri vibrationale asociate unui nanorezonator sau unei molecule.

**Titlu Faza:** Morfologie controlata in materiale compozite

**Termen:** 12/9/2019

**Obiective:** Utilizarea unor nano sau/si micro obiecte (fibre scurte, nanotuburi) pentru a genera sisteme macroscopice de volum cu morfologie controlata utilizand tehnici de sinterizare asistata. Includerea acestor materiale in structuri compozite destinate unor aplicatii specifice.

### Rezultate estimate initial:

Obtinerea si caracterizarea unor noi materiale compozite cu morfologie prestabilita la nivel micrometric. Evaluarea posibilitatilor de control al proprietatilor rezultate in vederea dezvoltarii de aplicatii.

**Rezultate obtinute** (scurta descriere a celor mai importante rezultate, cu 1-2 imagini/grafice de impact care sustin rezultatele):

Unul din punctele majore de interes in dezvoltarea materialelor avansate il constituie reducerea cantitatilor de material utilizate la un minim definit de functionalitatea lor principala. Aceasta impune indeplinirea celorlalte cerinte (in general structurale) prin imbunatatirea substantiala a proprietatilor unor componente incluse in compozite. Un exemplu tipic in acest sens este constituit de materialele metalice spongioase, avand numeroase aplicatii in domenii precum energie, al materialelor biocompatibile sau al catalizatorilor. Astfel de materiale se obtin in general prin procedee complicate, reactive sau care utilizeaza lianti sacrificabili. Sinterizarea asistata de camp electric (cunoscuta si sub numele de SPS, spark plasma sintering) constituie un procedeu rapid de a obtine diferite materiale care in mod normal sunt practic imposibil de sinterizat fara aditivi (cum sunt pulberile ceramice nanometrice) sau sunt greu sinterizabile, necesitand temperaturi inalte si timpi de procesare lungi (cum sunt materiale refractare, ceramice sau/si metalice). Desi pana in prezent fenomenul nu a putut fi demonstrat fara echivoc, in cadrul acestei metode este asumat faptul ca in urma descarcarilor care au loc datorita aplicarii pulsurilor intense de curent electric (de ordinul kA), in interiorul materialului sinterizat sunt generate „puncte fierbinti” care au rolul unor activatori de sinterizare.

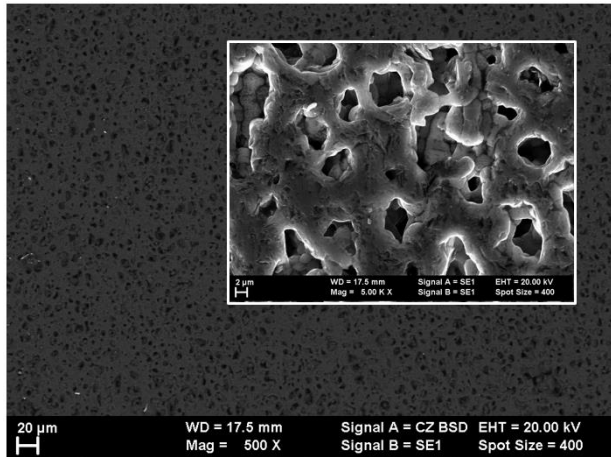


Figura 1: Structura microporoasa realizata prin SPS (imaginea principală) ilustrata prin microscopie electronica de baleaj cu detectorul de electroni retro-imprastiati). Insertia prezinta de taliul de formare al structurii (imagine realizata prin microscopie electronica de baleaj cu detectorul de electroni secundari).

In cadrul acestei etape, bazandu-ne pe acest fenomen si utilizand compozitii adecvate de pulberi cu diferite granulatii si forme au putut fi realizate structuri poroase cu porozitati de ordinul micronilor, asa cum este ilustrat in figura de mai sus pentru o combinatie de pulberi nanometrice de carbura de siliciu si fibre scurte (whiskers) din acelasi material. Insertia din figura prezinta modul de realizare al acestei structuri poroase, prin alipirea grauntilor cu dimensiuni de 20 nm de punctele de sinterizare ale fibrelor de SiC (dimensiunea initiala cca 50 μm lungime si 500 nm diametru). Tehnologia propusa pentru fabricarea structurilor poroase a fost testata si demonstrata utilizand diferite tipuri de materiale ceramice si metalice.

### Concluzii si perspective:

Abordarea propusa face apel la utilizarea tehnicielor de sinterizare in camp electric pentru structuri formate din micro-objekte cu rol de centrii de sinterizare pentru diferite materiale si aliaje cu rol functional. Avantajele metodei propuse si demonstate pot fi sistematizate astfel:

- natura „bottom-up” a realizarii structurii poroase permite un control facil, pur compozitional ,al morfologiei probelor;
- posibilitatea realizarii directe a structurii pe un suport sinterizat din acelasi material sau unul diferit compatibil, intr-un singur pas de sinterizare;

- posibilitatea acoperirii metalice a structurii poroase realizate in acelasi pas de sinterizare prin utilizarea unei cantitati adecate de pulbere metalica avand punctul de topire inferior temperaturii de sinterizare. Realizarea unor astfel de compositi printr-o metoda rapida si scalabila la nivel industrial poate conduce la dezvoltarea unor aplicatii cu impact puternic in energie, medicina sau conservarea mediului.

**Titlu Faza:** Nanostructuri hibride supraconductor-feromagnet

**Termen:** 12/9/2019

**Obiective:** Fabricarea de materiale supraconductoare nanostructurate hibride de tipul supraconductor-feromagnet. Arhitecturile posibile care vor fi abordate: straturi/materiale supraconductoare cu nano-incluziuni de material feromagnetic; nanostructuri multistrat sau quasi-multistrat (strat incomplet de feromagnet); si straturi supraconductoare „decorate” cu insule nanometrice si/sau (sub)micronice de diverse forme si dimensiuni;

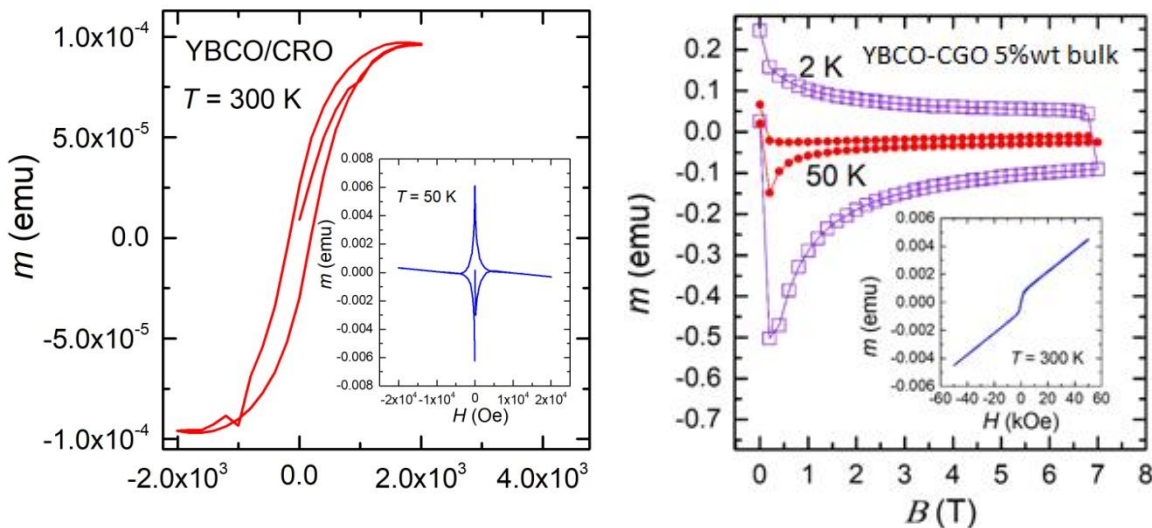
**Rezultate estimate initial:**

1. Evaluarea eficientei nanoparticulelor si/sau nanostraturilor feromagnetice ca centri pinning
2. Identificarea influentei spinilor asupra condensatului si asupra vortexurilor;

**Rezultate obtinute (scurta descriere a celor mai importante rezultate, cu 1-2 imagini/grafice de impact care sustin rezultatele):** Pentru atingerea obiectivelor, au fost efectuate urmatoarele activitati:

**A1.** Studiul proprietatilor magnetice ale heterostructurilor supraconductor/ferromagnet de tipul  $YBa_2Cu_3O_{7-x}$ (YBCO)/CaRuO<sub>3</sub>(CRO) depuse prin PLD. Avand la baza rezultatele obtinute in [1,2], au fost fabricate pentru prima data heterostructuri supraconductor-ferromagnet de tipul YBCO/CRO depuse pe SrTiO<sub>3</sub> (STO). Prezenta picurilor (0,0,1) din difractogramele XRD arata ca straturile au crescut epitaxial, filmul de CRO prezentand feromagnetism soft (Fig. 1a) ca urmare a tensiunilor induse de stratul supraconductor de YBCO pe care a fost depus. Din cauza efectelor de proximitate electromagnetic campul magnetic patrunde in stratul supraconductor pe lungimi ce pot depasi 100 nm [3], acest efect reflectandu-se in scaderea temperaturii de tranzitie  $T_c$  a fazei supraconductoare, dupa cum se poate deduce din curba  $m(H,50K)$  din inset-ul figurii Fig.1a. CaRuO<sub>3</sub> s-a dovedit a fi un material compatibil cu YBCO pentru realizarea heterostructurilor supraconductor-feromagnet de tipul YBCO/CRO si poate fi folosit pentru fabricarea valvelor de spin supraconductoare folosite pentru memorii magnetice de ultima generatie ce pot fi cuplate in mod natural cu procesoarele cuantice.

**A2.** Influenta nanocentrilor de pinning magnetici asupra proprietatilor supraconductoare ale materialelor ceramice nanocomposite de YBCO obtinute prin sinterizare clasica si a filmelor subtiri de YBCO obtinute prin PLD. Studiul unui supraconductor nanocompozit (SN) pe baza de dopant ce prezinta efectul Spin Peierls [4] este, in opinia noastra, singurul mod de a pune in evidenta influenta spinilor asupra vortexurilor masurand proprietatile supraconductoare ( $J_c$ , relaxarea magnetizarii) in jurul temperaturii de tranzitie Spin Peierls ( $T_{SP}$ ). In acest scop au fost fabricate o serie de materiale supraconductoare nanocomposite sub forma de bulk si filme subtiri folosind YBCO si CuGeO<sub>3</sub> (CGO). Ca urmare a reactiilor chimice dintre cei doi compusi, CuGeO<sub>3</sub> s-a descompus, rezultatele obtinute nefiind cele asteptate dar au fost obtinute informatii noi care vor contribui la cunoștințele fundamentale in domeniul. De exemplul, in proba bulk de YBCO+ 5%wt CuGeO<sub>3</sub> au rezultat faze ferromagnetice si paramagnetice (Fig.1 (b) , figura din inset) segregate la zona dintre graanti, ce au dus la scaderea currentului critic  $J_c$ . Pe de alta parte, in filmele nanocomposite de YBCO + 2%wt CuGeO<sub>3</sub> obtinute prin ablatie laser au fost obtinute unele rezultate noi:*i*) au fost obtinuti centri de fixare cu morfologie sferica (100 nm) diferiti compozitional si distribuiti uniform fapt ce a permis cresterea epitaxiala a filmului fara ca sa se modifice  $T_c$ , in timp ce  $J_c$  a crescut de aproximativ doua ori in domeniul temperaturilor mai mici de 30 K. *ii*) A fost pus in evidenta pentru prima data efectul “Giant Paramagnetic Meissner Effect” in filme subtiri nanocomposite, in contradictie cu teoriile actuale care presupun aparitia acestui efect numai in probe masive. In plus, studiind relaxarea magnetizarii, a fost observata o temperatura de crossover peste care momentul magnetic creste in timp. Aceste rezultate noi vor fi diseminate intr-un articol stiintific ce va fi publicat intr-o revista cotata ISI din zona rosie.



**Fig.1(a)** Curbe  $m(H)$  la  $T = 300$  K si  $T = 50$  K (in inset) pentru heterostructura de tipul YBCO/CRO. **(b)**Curbe  $m(B)$  la  $T = 2$  K si  $50$  K pentru o proba bulk de YBCO dopata cu 5%wt CGO. In graficul  $m(H,300K)$  din inset se observa prezenta impuritatilor feromagnetice si paramagnetice.

**Referinte:** [1] Maiti, K. Phys. Rev. B 73, 235110 (2006) [2] Shivendra Tripathi, et al Scientific Reports 4 3877 (2014) [3] M. G. Flokstra et al. Phys. Lett. 115, 072602 (2019) [4] I. Ion,et al Journal of Superconductivity and Novel Magnetism 29 pp 775–780 (2016)

#### Concluzii si perspective:

In concluzie au fost obtinute unele rezultate noi cu impact semnificativ in cercetarea fundamentala:

- a) A fost pus in evidenta pentru prima data efectul “*Giant Paramagnetic Meissner Effect*” in filme subtiri nanocompozite de YBCO, in contradictie cu teoriile actuale.
- b) S-a observat ca centrii de fixare magnetici (fero si para) nu au o contributie benefica in probe ceramice de YBCO intrucat sunt segregati la limita dintre graanti impiedicand astfel cresterea lor.
- c) A fost folosit pentru prima data CaRuO<sub>3</sub> pentru fabricarea heterostructorilor supraconductor-feromagnet de tipul Y<sub>1</sub>Ba<sub>2</sub>Cu<sub>3</sub>O<sub>7-x</sub>(300nm)/CaRuO<sub>3</sub> (50nm). Rezultatele sunt reproductibile si pot fi folosite in diferite aplicatii bazate pe super-electronica.

**Perspective:** i) se va incerca inducerea de pinning prin cuplaj magnetic in filme supraconductoare de Y<sub>1</sub>Ba<sub>2</sub>Cu<sub>3</sub>O<sub>7-x</sub> acoperite cu CaRuO<sub>3</sub> prin adaugarea unui strat intermediar izolator de stopare a efectelor de proximitate la interfata supraconductor-feromagnet. ii) vor fi fabricate valve de spin de tipul CaRuO<sub>3</sub>/Y<sub>1</sub>Ba<sub>2</sub>Cu<sub>3</sub>O<sub>7-x</sub>/CaRuO<sub>3</sub> bazate pe raspunsul magnetorezistiv al stratului supraconductor cu aplicatii in fabricarea memorilor magnetice care pot fi cuplate usor cu procesoarele cuantice, domeniu de mare interes la ora actuala.

**Titlu Faza:** Studiul proprietatilor fotoelectrice ale filmelor nanocrystaline pe baza de aliaje binare din sistemul SiGeSn

**Termen:** 12/9/2019

**Obiective:** Investigarea proprietatilor fotoelectrice ale filmelor nanocrystaline pe baza de aliaje binare din sistemul SiGeSn si optimizarea compozitiei filmelor pentru aplicatii optoelectronice.

**Rezultate estimate initial:** Analiza a structurii si morfologiei filmelor obtinute prin varierea compozitiei si a conditiilor de preparare si analiza proprietatilor fotoelectrice ale filmelor astfel preparate, avand in vedere ca obtinerea unor filme cu caracteristici optime in raport cu aplicatiile vizate se bazeaza pe corelarea dintre morfologia si structura filmelor si proprietatile fotoelectrice.

**Rezultate obtinute:**

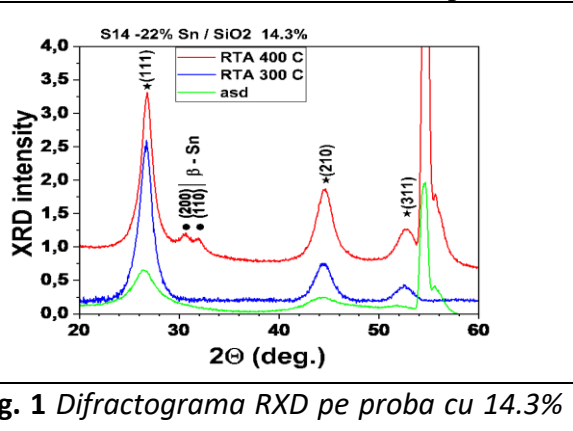
Aliajele din sistemul  $\text{Ge}_{1-x}\text{Si}_x\text{Sn}_y$  contin numai elemente din grupa a IV-a si sunt studiate in special pentru posibilitatea de a extinde aplicatiile Si prin modificarea benzii interzise si prin ingineria tensiunilor interne. Cea mai importanta proprietate este obtinerea benzii interzise directe, cu aplicatii in emisia si detectia luminii in domeniul infrarosu apropiat. Aliajele binare din sistemul GeSiSn, GeSn si SiGe, au proprietati remarcabile ca materiale de volum, dar mai ales sub forma de nanocristale (NC).

In raportul de faza am analizat proprietatile fotoelectrice ale filmelor cu NC de GeSn si SiGe inglobate in oxizi, corelate cu proprietatile structurale si electrice ale acestora si cu conditiile de preparare. Probele au fost preparate prin pulverizare cu magnetron si tratament termic rapid. Depunerea s-a realizat pe substrat de Si monocristalin la temperatura camerei sau incalzit. Investigarea morfologiei si structurii filmelor s-a realizat prin difractie RX (Bruker D8 Advance, in geometrie Bragg–Brentano), microscopie electronica (Jeol ARM 200F) si spectrometrie Raman. Pentru masuratorile de spectrometrie optica in domeniul UV-VIS-IR (0,2 – 3  $\mu\text{m}$ ) s-au folosit spectrometrele SPECTRUM BX II si Lambda 950 (Perkin Elmer). Masuratorile fotoelectrice -au realizat folosind un lant de masura continand un criostat cu He cu circuit inchis, o sursa Keithley 236, un amplificator lock-in Stanford SR810, o lampa cu halogen de 200 W, un chopper SR540 (120 Hz) si un monocromator cu retea.

### Probe de GeSn-SiO<sub>2</sub>

Am preparat probe de  $(\text{Ge}_{1-x}\text{Sn}_x)_{1-y}(\text{SiO}_2)_y$  de tip monostrat prin co-depunere MS in vid ultrainalt din tinte de Ge, Sn si SiO<sub>2</sub>, pe suport de Si monocristalin si de quart. Depunerile s-au realizat fie pe substrat la temperatura camerei, fie pe substrat incalzit la temperatura Ts. S-a continuat cu tratament termic la Tann.

Am pus in evidenta ca la cresterea continutului de Sn in proba, procesul de nanocrystalizare este favorizat. Astfel, intr-o proba cu 22% Sn, depusa pe suport incalzit la temperatura Ts=200 °C (Fig. 1), in proba asdep maximele largi corespunzatoare planurilor cristaline (111), (210) si (311) ale GeSn sunt mai pronuntate decat in proba cu 14.3 % Sn. De asemenea, nanocrystalizarea se produce la temperaturi mai mici (Tann=300 °C in proba cu 22% Sn fata de 400 °C in proba cu 14.3% Sn). Remarcam segregarea  $\beta$ -Sn, evidentiata prin maxime la unghiuri 2Θ in intervalul 30-33 grade. Observam ca odata cu segregarea  $\beta$ -Sn se modifica pozitiile maximelor corespunzatoare GeSn spre unghiuri mai mari. Aceasta corespunde modificarii concentratiei de Sn in aliajul de GeSn. Din masuratorile de reflectanta si transmitanta realizate pe probe cu continut diferit de Sn am concluzionat ca prin cresterea concentratiei de Sn se obtine o scadere a gapului optic, asa cum este de asteptat. Dar, asa cum a rezultat din masuratorile de RX (Fig1), nanocrystalizarea in probe cu concentratii mari de Sn duce la segregarea  $\beta$ -Sn. Din datele prezентate in faza rezulta ca in probele de GeSnSiO<sub>2</sub> depuse prin MS procesul de nanocrystalizare a GnSn este influentat de continutul de Sn si de SiO<sub>2</sub> al stratului, de temperatura substratului in timpul depunerii si de temperatura de tratament termic ulterior. Probele cu continut moderat de Sn (~14 %) si de SiO<sub>2</sub> (~ 12 %), depuse pe substrat incalzit la 200 °C si tratate ulterior la 400 °C prezinta fotosensibilitate extinsa pana la 2.4  $\mu\text{m}$  in SWIR, si sunt promitatoare pentru fabricarea in viitor a fotodetectoilor care sa inlocuiasca pe cei de InGaAs, folositi comercial in prezent.

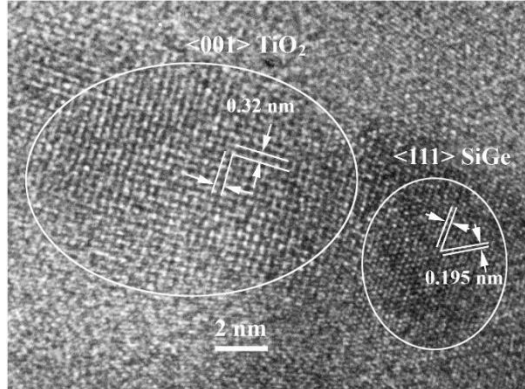


**Fig. 1** Difractograma RXD pe proba cu 14.3% Sn si 11.8% SiO<sub>2</sub>, depusa pe p-Si, T s= 200 °C: proba asdep, Tann = 300 °C si 400 °C.

## Filme nanocristaline pe baza de aliaje de SiGe

Am analizat probe de SiGe-TiO<sub>2</sub>. Am aratat ca in urma tratamentului termic pe grosimea filmului se diferențiază două zone: interiorul filmului și suprafața liberă a acestuia. La suprafața liberă sunt prezente NC mari de SiGe, de ~ 50 nm lungime și compozitie Ge:Si = 80:20. În interiorul filmului, NC de SiGe cu structură cubică au diametrul de 5-20 nm și compozitie Ge:Si = 40:60 – Fig. 2.

Am analizat distribuțiile spectrale ale photocurentului pe aceste probe în comparație cu probe de Ge-TiO<sub>2</sub> preparate în condiții similare. Am determinat o deplasare a limitei de fotosensibilitate de la 1240 nm -



**Fig. 2** Imagine HRTEM din mijlocul stratului cu NC de GeSi în TiO<sub>2</sub>. Se observă NC de GeSi cubic de dimensiune 5-20 nm.

Ge-TiO<sub>2</sub> la 1310 nm și 1240 nm -SiGe-TiO<sub>2</sub>. În mod surprinzător, limita de fotosensibilitate corespunde unor lungimi de undă mai mari în filmul cu NC de SiGe față de cel cu NC de Ge.

### Concluzii și perspective:

Am raportat rezultate ale studiilor pe sisteme de NC de GeSn și SiGe imersate în SiO<sub>2</sub> respectiv TiO<sub>2</sub>. În probele de GeSnSiO<sub>2</sub> cu 14% Sn și 12% SiO<sub>2</sub> depuse pe substrat încalzit la 200 °C și tratate la 400 °C am gasit că fotosensibilitatea se extinde până la 2.4 μm. Materialul este astfel de interes pentru folosirea în locul InGaAs. Am studiat comparativ Ge-TiO<sub>2</sub> și SiGe-TiO<sub>2</sub>. Am arătat că nanocrystalizarea se realizează la temperaturi mai mari în probele de SiGe-TiO<sub>2</sub>; am obținut o modificare a pragului de fotosensibilitate cu ~70 nm spre λ mai mari în probele cu NC de SiGe. Avantajele esențiale ale acestor materiale sunt completa compatibilitate cu tehnologia Si și faptul că materialele prime și tehnologia de obținere sunt prietenoase cu mediul. Continuarea acestor studii va oferi posibilitatea optimizării proprietăților electrooptice ale materialelor studiate, corelat cu cele structurale, funcție de metodele de preparare, facând astfel posibila obținerea de materiale sensibile în domeniul de lungimi de undă vizat pentru fiecare aplicație. De asemenea, avem în vedere extinderea studiilor la sisteme cu NC de GeSiSn imersate în oxizi.

**Titlu Faza:** Investigări privind efectul allotropilor carbonului asupra agregării proteinelor implicate în declansarea bolii Alzheimer

**Obiective:** Obiectivul fazăi este de a studia procesul de aglomerare (agregare) a proteinei amiloid Aβ (1-42), pe suprafața Si și a Si acoperit cu un strat de fulerena și formarea structurilor secundare/fibrilare în funcție de prezența nanomaterialului și/sau a unui compus lipidic (colesterol).

**Rezultate estimate initial:** **1)** depunerea de straturi de Aβ (1-42) din soluție prin metodele Langmuir-Blodgett și drop cast pe substrat de Si; **2)** depunerea de straturi de fulerena C<sub>60</sub> pe substrat de Si; **3)** depunerea de straturi de Aβ (1-42) din soluție, prin metodele Langmuir-Blodgett și drop cast, pe substrat de Si acoperit cu C<sub>60</sub>; **4)** depunerea de straturi de Aβ (1-42) continând colesterol din soluție, prin metodele Langmuir-Blodgett și drop cast, pe substrat de Si și Si acoperit cu C<sub>60</sub>; **5)** caracterizarea strukturilor obținute prin metode microscopice și spectroscopice pentru identificarea prezentei structurilor secundare/fibrilare; **6)** evidențierea corelației dintre

rezenta nanoparticulei si/sau colesterolului si dezvoltarea unui anumit tip de structura in strat; 7) evidențierea condițiilor care favorizează creșterea neurotoxicității structurilor formate prin agregare.

**Rezultate obtinute:** Straturi din A $\beta$  (1-42) pure și dopate cu colesterol (Ch) au fost preparate prin metoda Langmuir-Blodgett (L-B) și drop cast (DC) pe substrat de siliciu monocristalin (Si) și pe substrat de Si acoperit cu un strat subtire de fulerena Buckminster (Si+C<sub>60</sub>) depusa prin evaporare în vid. Au fost trasate izotermele, presiunea de suprafață funcție de aria moleculară medie, pentru monostraturi Langmuir din A $\beta$ (1-42), Ch și A $\beta$ (1-42)+Ch depuse pe suprafața apei și a fost evaluată presiunea de colaps a fiecarui strat. Aceasta a fost transferat de pe suprafața apei pe substrat în urma unor treceri successive prin interfața apă-aer, transferul fiecarui strat fiind caracterizat de o viteza de transfer (RT) corelată cu stabilitatea și calitatea stratului. Valorile pozitive/negative ale RT sunt asociate cu procese de adsorbție/desorbție a moleculelor (Fig.1). Un strat uniform și stabil de A $\beta$  (1-42) a fost obținut pe substratul de Si+C<sub>60</sub> (RT~1) (Fig.1a), iar prezenta Ch a dus la agregarea amiloidului (RT<<1)(Fig.1b).

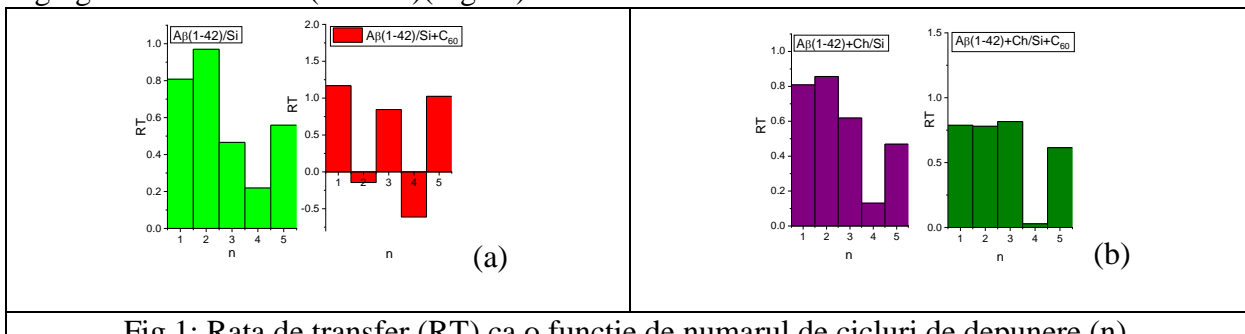


Fig.1: Rata de transfer (RT) ca o funcție de numărul de cicluri de depunere (n).

Metodele SEM, AFM și FTIR au fost folosite pentru caracterizarea morfologică și spectrală a straturilor obținute și investigarea formării structurii secundare tip fibrila în procesul de auto-organizare a moleculelor în prezenta fulerenei și/sau colesterolului.

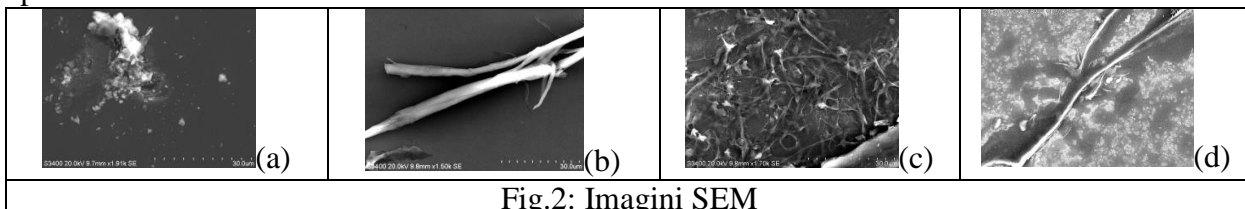


Fig.2: Imagini SEM

Imaginiile SEM au evidențiat pentru stratul de A $\beta$  (1-42) depus prin L-B pe Si+C<sub>60</sub> o morfologie prezentând clusteri continând formă oligomerică a amiloidului (Fig.2a), în timp ce pentru stratul de A $\beta$  (1-42) cu Ch este dominantă o morfologie prezentând manunchiuri de fibrile (Fig.2b). Prezenta atât a colesterolului cat și a stratului tampon de C<sub>60</sub> a determinat o morfologie caracterizată de fibrile având diferite grosimi și în cazul stratului depus prin DC (Fig.2c,d).

Morfologia straturilor de amiloid este afectată mai mult de metoda de depunere decat de prezenta stratului intermediar de fulerena. Straturile depuse, atât pe Si cat și pe Si+C<sub>60</sub>, prin L-B sunt mai netede (Fig.3c,d) decat cele depuse prin DC (Fig.3a,b), procesul de transfer al stratului de pe suprafața apei pe substrat favorizând procesele de adsorbție/desorbție și raspandirea moleculelor pe suprafața substratului.

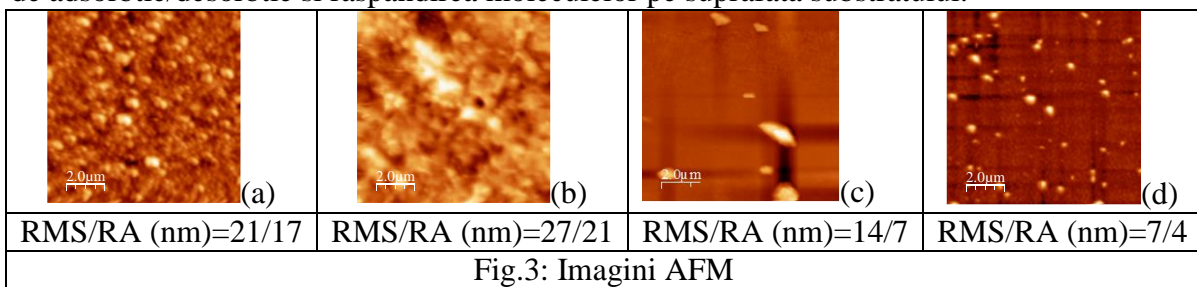


Fig.3: Imagini AFM

Prin analiza FTIR s-a putut identifica tipul de structura in corelatie cu modurile specifice de vibratie IR ale peptidelor, o anumita structura fiind caracteristica intr-un anumit interval spectral. La depunerea prin L-B a stratului de amiloid atat pe Si cat si Si+C<sub>60</sub> (Fig.4a) domina forma oligomerica care este mult mai toxica decat fibrile mature. Adaugand colesterol, forma oligomerica continua sa domine si alaturi de tendinta la fragmentare a fibrilelor este asociata cu o neurotoxicitate crescuta (Fig.4b). Chiar si in cazul straturilor depuse prin DC, in care predominava forma fibrilara indiferent de substrat, colesterolul a dus la reducerea numarului de fibrile in detrimentul formei oligomerice corelate cu o neurotoxicitate crescuta.

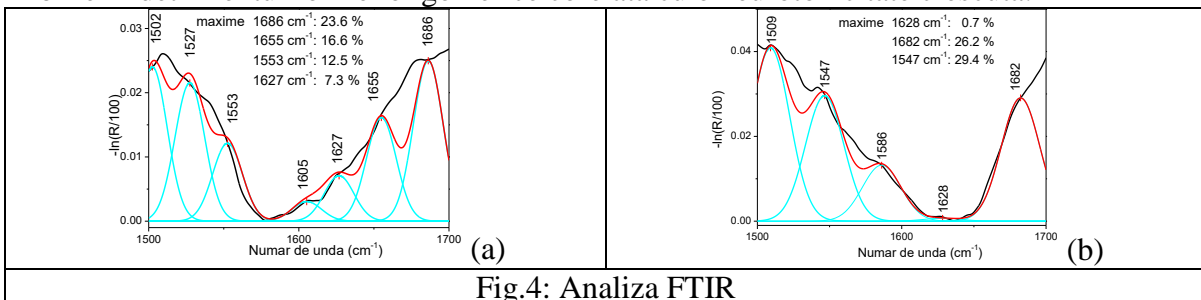


Fig.4: Analiza FTIR

**Concluzii si perspective:** Datorita structurii fibrilare rezistanta la procesele normale de degradare a proteinelor, A $\beta$ (1-42) este asociat in mare parte cu bolile neurodegenerative cum ar fi Alzheimer, Parkinson and Creutzfeldt-Jakob. In ultima vreme, neurotoxicitatea acestei peptide a inceput sa fie corelata atat cu procesele de formare a fibrilelor cat si cu cele din fazele initiale de formare a oligomerilor considerati chiar mai neurotoxici decat fibrilele. Prin interactia cu A $\beta$ (1-42), forme ale lotrope ale carbonului pot, in anumite conditii, determina formarea unor structuri dezordonate care pot inversa procesul de formare a fibrilelor. Rezultatele mentionate confirmă faptul ca, colesterolul are un efect dominant asupra structurii A $\beta$ (1-42) ducand la preponderenta formei oligomerice si distrugerea parțială a formei fibrilare, ceea ce determină creșterea neurotoxicitatii si a probabilitatii de afectare neuronală.

Obiectivul fazei a fost atins si au fost obtinute rezultatele estimate initial, mentionate mai sus.

Aceste rezultate preliminare deschid perspective pentru noi studii orientate spre: investigarea efectului altor nanomateriale (nanotuburi de carbon, grafena) asupra procesului de agregare a peptidelor si investigarea procesului de agregare a polipeptidelor pe un substrat lipidic (ca o prima aproximatie a membranei celulare).

#### **Titlu faza: Dezvoltarea de metasuprafete și testarea acestora prin tehnici rezonante de analiză**

**Termen:** 12/9/2019

#### **Obiective:**

1. Realizarea de metasuprafete - arii de rezonatori optici cu dimensiuni si distante relative intre ei mult mai mici decat lungimea de undă de operare;
2. Studii de caracterizare prin spectroscopie de absorbție cu cavitate rezonantă în undă evanescentă și spectroscopie Raman amplificată de suprafață

**Rezultate estimate initial:** realizarea metasuprafetelor si caracterizarea parametrilor intrinseci ai acestora.

Metasuprafetele (MTS) sunt interfete cu grosimi mai mici decat lungimea de undă de lucru, cu nanostructuri functionale distribuite periodic pe interfata la distante sub lungimea de undă. Nanostructurile functionale produc deplasari de faza, iar ansamblul lor constituie un caz bidimensional de metamaterial. Componentele cu MTS imbunatatesc rezolutia spectrala in sistemele spectroscopice rezonante si rezolutia spatiala in tehnici imagistice. Detaliile mai mici decat lungimea de undă incluse in undele evanescente sau undele de suprafata din campul apropiat al probei sunt convertite in unde de propagare prin intermediul MTS si transferate in campul indepartat, unde este plasat fotodetectoarul. Aplicatiile tehnicii sunt, de exemplu, biodeetectia celulara sau a anticorpilor si dozarea agentilor terapeutici in tratarea cancerului, in acord cu standardele privind dispozitivele si echipamentele medicale.

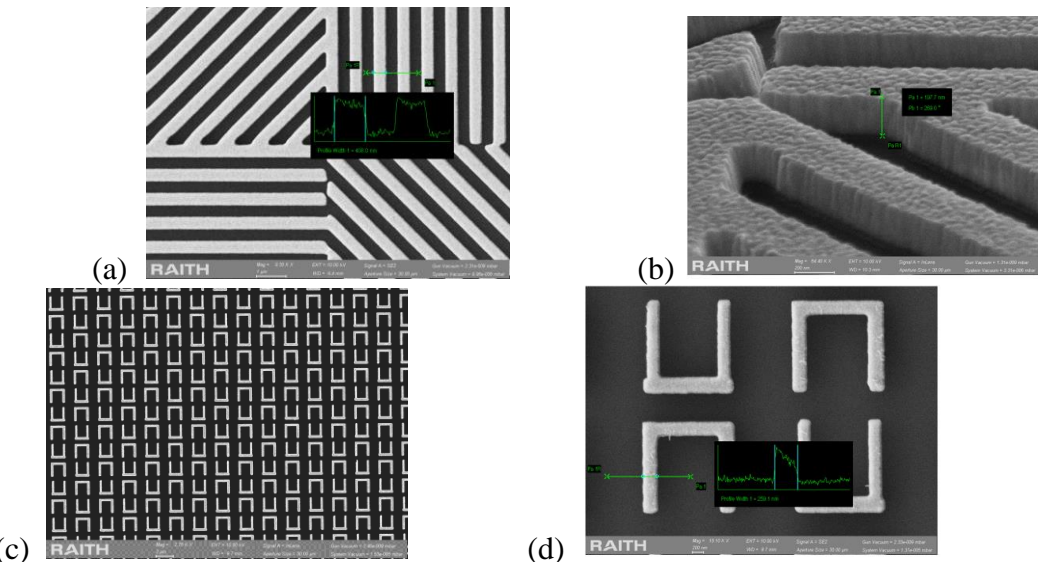


Fig.1 MTS realizate prin Electron Beam Lithography (EBL) si caracterizate prin SEM:  
(a) si (b) detaliile ariei de micropolarizori liniari (MTS1) cu Au(200 nm)/Cr(5 nm)/Si, grosimea liniei de 400 nm, (c) si (d) detaliile ariei cu proprietati de retardor in sfert de unda (MTS 2) cu grosimea liniei de 250 nm. Ariile au fost realizate pe acelasi substrat de Si: MTS1 pe o fata, MTS2 pe a doua fata pentru a forma un analizor de stari de polarizare compact, util in imagistica de IR.

Sistemul experimental pentru testarea MTS din Fig.2 cuprinde: 1-calota sferica din BK7, 2-lichid pentru adaptarea indicelui de refractie, 3-laser acordabil cu coloranti, 4 si 5-oglinzile cavitatii rezonante pentru spectroscopie de absorbtie in unda evanescenta (EW-CRDS), 6-polarizor liniar cu rol de analizor, 7-divizor de fascicul, 8-modul detector cu tub fotomultiplicator, 9-monitorul pentru afisarea semnalului EW-CRDS, 10-spectrometru, 11-monitor pentru spectroscopia cu rezonante plasmonice de suprafata (SPRS), 12-unda evanescenta, 13-unda de propagare, 14-componenta optica cu MTS1 si MTS2.

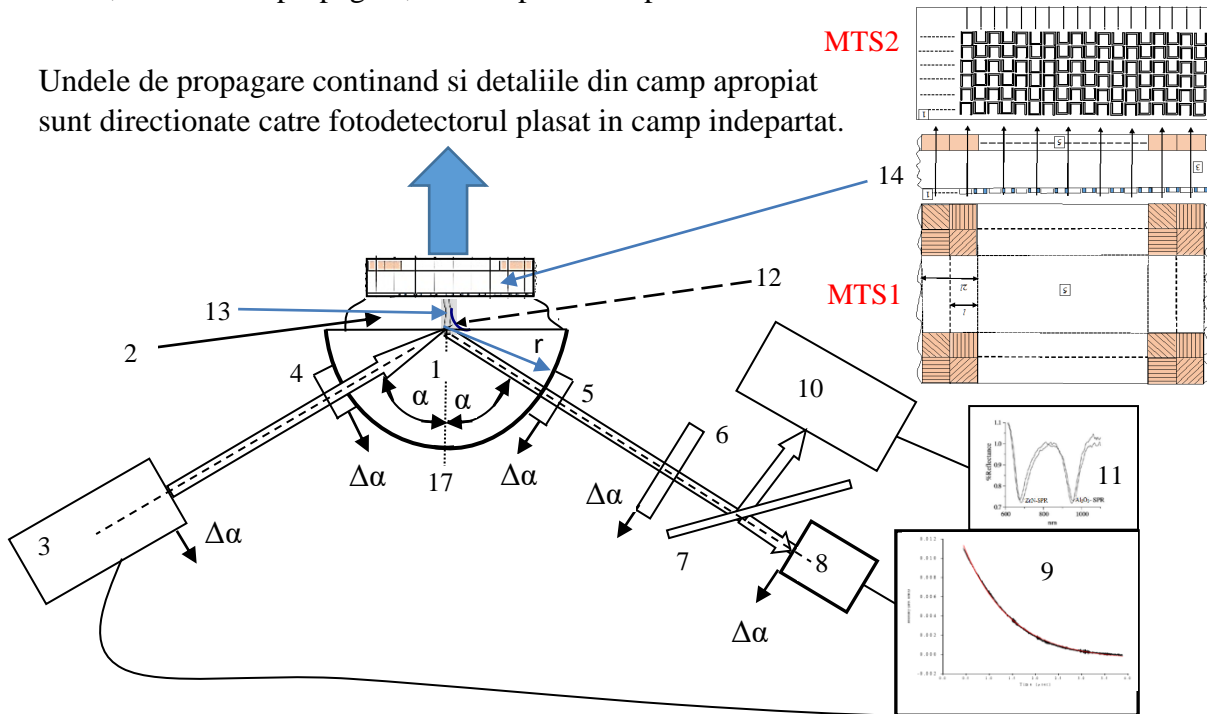


Fig.2 Sistemul experimental pentru testarea metasuprafelor (MTS1+MTS2)

**Rezultate obtinute:** In Fig. 3 se observa o diferențiere clara intre MTS doar in spectrele Raman, semnalul in IR a substratului fiind atenuat mult de structura mai densa de pe suprafata MTS1.

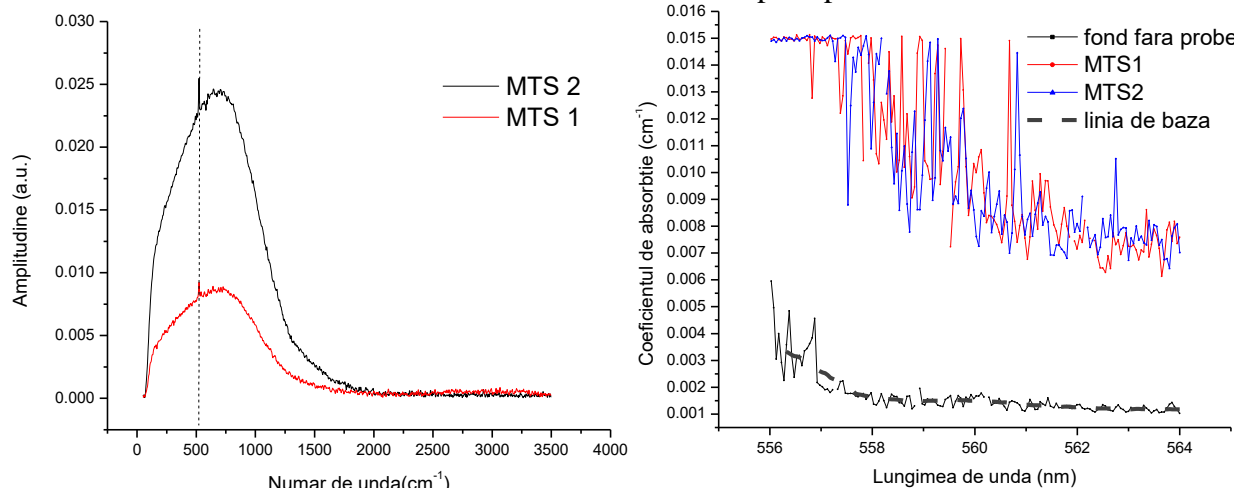


Fig.3a) Spectrele Raman cu linia Si evidențiată, b) spectrele EW-CRDS fără diferențieri majore

**Concluzii si perspective:** Realizarea metasuprafetelor s-a facut prin EBL pe substrat de Si si s-au caracterizat prin spectroscopie Raman si EW-CRDS. Rezolutia structurilor va fi sporita prin fabricarea MTS pe substrat de BK7 pentru imagistica in vizibil, spectroscopie cu rezonanțe plasmonice de suprafață si spectroscopie Raman amplificată de suprafață. Testarea se va face pentru dozarea  $[(\text{N}_2\text{H}_5)\text{HSO}_4]$ , anticorpilor care actioneaza impotriva factorului complementar H si a factorului de activare a macrofagelor derivat din protein Gc (GcMAF) in terapia oncologica.

**Titlu Faza:** Studiuul efectelor campurilor magnetice variabile si statice asupra reactiilor photocatalitice pe suprafata nanoparticulelor de  $\text{TiO}_2$

**Termen:** 12/9/2109

**Obiective:**

1. Determinarea si analiza efectelor induse de campuri magnetice variabile si statice asupra eficienței reactiei de reducere photocatalitica a sarii de tetrazolium MTT (3-(4,5-Dimethylthiazol-2-yl)-2,5-diphenyltetrazolium-bromide) pe suprafata nanoparticulelor de  $\text{TiO}_2$ ;
2. Analiza fotogenerarii de specii reactive de oxigen (anion superoxid) pe suprafata nanoparticulelor de  $\text{TiO}_2$  dispersate in mediu apos, expuse concomitent la radiatie UV si camp magnetic alternativ;

**Rezultate estimate initial:**

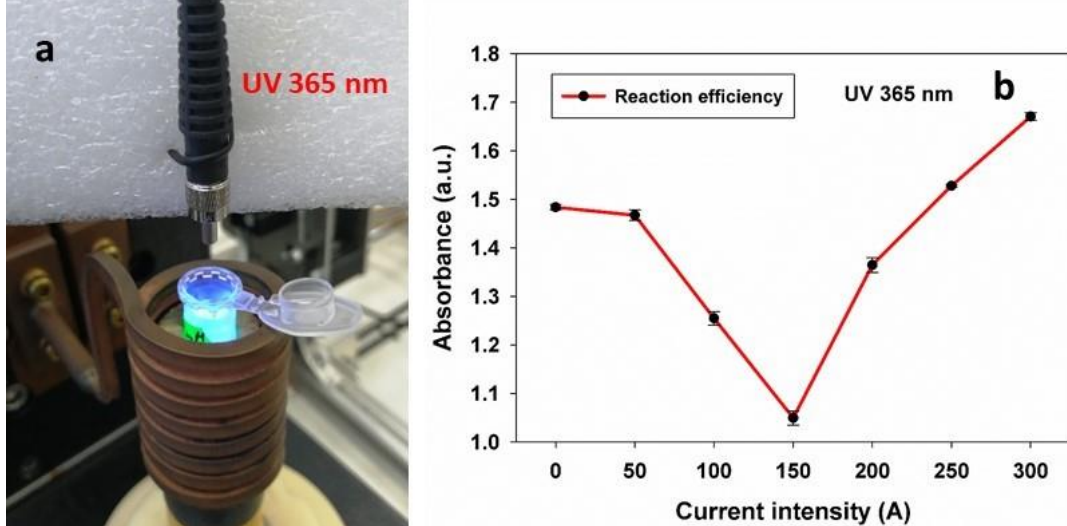
1. Obtinerea de nanoparticule de  $\text{TiO}_2$  cu activitate photocatalitica diferita prin hidroliza controlata a alcoxizilor de titan si varierea conditiilor de tratament post-hidroliza;
2. Evaluarea eficienței reactiei photocatalitice  $\text{TiO}_2$ -MTT in prezenta campurilor magnetice alternative/statice;
3. Determinarea efectului speciilor reactive de oxigen fotogenerate in mediul de reactie asupra reactiei photocatalitice  $\text{TiO}_2$ -MTT in absenta/prezenta campurilor magnetice externe.

**Rezultate obtinute:**

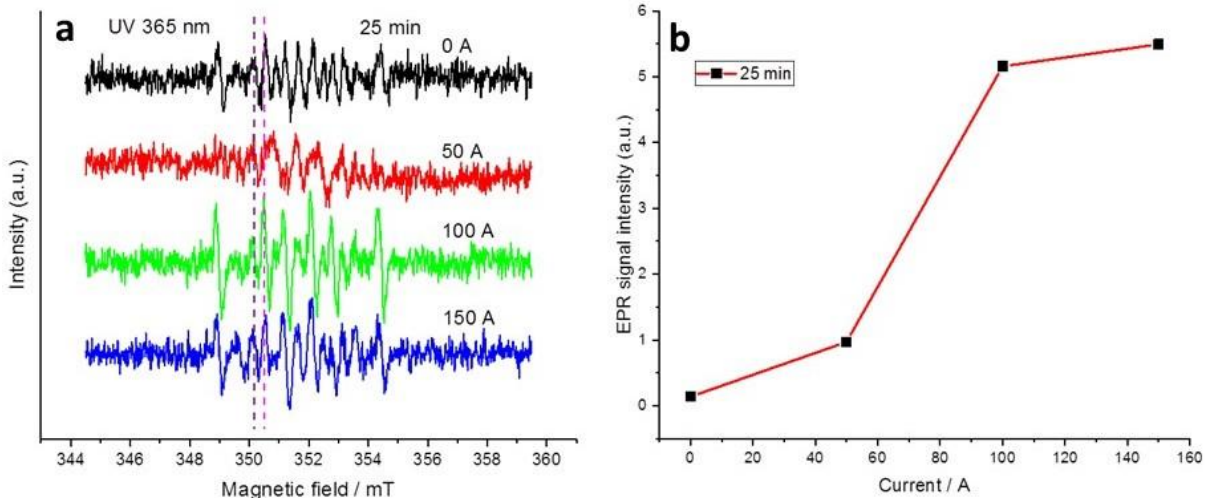
Au fost sintetizate nanoparticule de dioxid de titan ( $\text{TiO}_2$ ) prin metoda precipitarii in solutie neutra/acida/bazica pornind de la butoxid de titan ( $\text{C}_{16}\text{H}_{36}\text{O}_4\text{Ti}$ ). Precipitarea a fost urmata de tratament termic.

Au fost studiate eficiența reactiei photocatalitice  $\text{TiO}_2$ -MTT si fotogenerarea de radicali superoxid ( $\bullet\text{O}_2^-$ ) in conditii de expunere la radiatie UV (365 nm) si camp magnetic alternativ (CMA) (Fig. 1a), prin determinari spectrofotometrice ale concentratiei produsului de reactie si, respectiv, rezonanta electronica de spin (RES). Rezultatele indica o scadere a eficienței reactiei photocatalitice in prezenta campurilor generate de curenti cu

intensitatea sub 150 A. Pentru intensități mai mari ale curentului s-a observat o proporționalitate directă intre intensitatea campului și eficiența reacției TiO<sub>2</sub>-MTT (Fig. 1b).



**Fig. 1** a) expunerea concomitenta a mediului de reactie la radiatie UV si CMA; b) dependenta eficientei reacției photocatalitice de intensitatea CMA



**Fig. 2** a) semnalul RES pentru diferite intensități ale curentului electric (timp de expunere 25 de minute); b) cinetica fotogenerarii de anion superoxid in functie de intensitatea CMA aplicată

Radicalii superoxid fotogenerați au fost stabilizați folosind 5,5-Dimethyl-1-pyrroline N-oxide (DMPO) și analizați prin RES (Fig. 2a). A fost evidențiată o proporționalitate inversă intre intensitatea semnalului RES (concentrația de anion superoxid din probe) și eficiența reacției photocatalitice pentru intensități ale curentului în intervalul 0-150 A (Fig. 2b). Cazul 150-300 A necesită adaptarea setup-ului experimental și va fi investigat ulterior. O posibila explicație pentru acest rezultat ar putea fi implicarea electronilor fotogenerați în două reacții concurente: reducerea photocatalitică a MTT [1] și, respectiv, formarea radicalilor superoxid prin reacție cu moleculele de oxigen din probe (favorizată la intensități ale curentului în intervalul 0-150 A). Aceasta ipoteză va fi investigată în studii viitoare.

#### Concluzii și perspective:

Rezultatele obținute dovedesc existența influenței campurilor magnetice alternative asupra fotogenerării speciilor reactive de oxigen (anion superoxid) pe suprafața nanoparticulelor de TiO<sub>2</sub>. De asemenea, a fost evidențiată proporționalitatea inversă dintre eficiența fotogenerării de anion superoxid și eficiența reacției photocatalitice de reducere a sarii de tetrazolium MTT sub iradiere UV la 365 nm și camp magnetic alternativ generat de curenti pana la 150 A in setup-ul experimental utilizat. A fost lansata o ipoteza privind mecanismul

responsabil pentru aceasta proportionalitate inversa pe baza rezultatelor obtinute in studii anterioare efectuate la INCDFM privind mecanismul reactiei TiO<sub>2</sub>-MTT.

Studiul va fi continuat prin:

- determinari sistematice ale cineticilor de fotogenerare pentru mai multe tipuri de ROS
- determinarea efectelor lungimii de unda a radiatiei UV si frecventei campului magnetic alternativ asupra proceselor studiate
- corelarea rezultatelor privind eficienta fotogenerarii de ROS sau desfasurarii reactiilor photocatalitice cu determinari UV-Vis privind largimea benzii interzise a semiconductorilor implicați in studiu si cu alte tipuri de caracterizari morfo-structurale si fotoelectrochimice

[1] Traian Popescu, Andreea R. Lupu, Valentin Raditoiu, Violeta Purcar, Valentin S. Teodorescu, On the photocatalytic reduction of MTT tetrazolium salt on the surface of TiO<sub>2</sub> nanoparticles: Formazan production kinetics and mechanism, Journal of Colloid and Interface Science 457 (2015) 108–120

**Titlu Faza:** Realizarea unui pachet software performant si multifunctional pentru analiza datelor multidimensionale rezultate din spectro-microscopie I: realizarea si testarea pachetului software și II: elaborarea si diseminarea manualului de utilizare.

**Termen:** 9/9/2019 si 11/14/2019

**Obiective:**

Dezvoltarea un pachet de programe sub platforma Igor Pro pentru extragerea rapidă de informații din date multidimensionale (cuburi și hipercuburi de date), precum și pentru analiza automată prin simulări (sau “deconvoluții”) ale spectrelor individuale. Realizarea unui manual de utilizare pentru pachetul software dezvoltat în faza anterioară. Diseminarea manualului de utilizare și a pachetului software în comunitatea științifică a spectro-microscopiei de fotoelectroni.

**Rezultate estimate initial:**

Principalul rezultat estimat este un pachet integrat software și documentația aferentă pentru analiza datelor de spectromicroscopie, care se obțin în momentul de față la facilitățile moderne de radiație de sincrotron. Pachetul va funcționa sub platforma Igor Pro, folosită pe larg în comunitatea științei materialelor și a suprafețelor folosind tehnici spectroscopice și spectromicroscopice.

**Rezultate obtinute:**

Spectro-microscopia de fotoelectroni este o tehnică experimentală presupunând înregistrarea câte unui spectru de fotoelectroni în puncte distincte de pe suprafața probei. Rezoluția tehnicii depinde de analizorul de electroni folosit, dar în mod special și de rezoluția spațială a sursei de raze X. Este binecunoscută dificultatea de a se propune “optici de raze X” care să ofere o focalizare nanoscopică a acestora. Monocromatoarele curbate care sunt adaptate pe surse convenționale de raze X pot conduce la o rezoluție spațială de 2 – 20 μm. În INCDFM există o astfel de instalație produsă de Kratos, care a și fost exploatață în modul spectromicroscopic recent [1]. Pentru rezoluții spațiale mai bune, se utilizează radiația de sincrotron împreună cu optici de focalizare de tipul “Fresnel zone plates”. În ultima vreme, grupul de Știință Suprafețelor și Interfețelor din INCD Fizica Materialelor a obținut timp de fascicul pe linii care dispun de asemenea facilități, cum ar fi linia SpectroMicroscopy de la sincrotronul Elettra din Trieste, Italia [2–4] sau linia Antares (Analysis Nano-spoT Angle Resolved photo Emission Spectroscope) de la sincrotronul Soleil de la Saclay, Franța [5]. Prima linie are rezoluția spațială estimată de 0,6 μm, iar a doua de cca. 100 nm. În cadrul acestei faze s-au obținut următoarele rezultate:

- a) Realizarea de module pentru analiza rapidă și vizualizarea imediată a spectrelor.
- b) Realizarea de module pentru vizualizarea imediată a intensităților integrate pe regiuni de interes.
- c) Realizarea de module de generare de filme din date înregistrate la momente de timp diferite sau în regiuni energetice diferite.
- d) Realizarea de module pentru fitarea automată a datelor experimentale și reprezentarea dependențelor parametrilor de fitare.

De asemenea, s-a testat în mod exhaustiv fitarea automată a datelor de spectromicroscopie și pe seturi de date obținute la Antares. S-a optimizat programul de fitare automată, scăzându-se durata unei fitări de la 7 secunde la 2,5 secunde, ceea ce înseamnă că un set de date cu 10 000 spectre poate fi realizat în cca. 7 ore. În Figura 1 prezentăm primul astfel de rezultat obținut.

## Bibliografie:

- [1] C. Beșleagă, L. Abramiuc, V. Stancu, A.G. Tomulescu, M. Sima, L. Trincă, N. Plugaru, L. Pintilie, G.A. Nemneş, M. Iliescu, H.G. Svavarsson, A. Manolescu, I. Pintilie, J. Phys. Chem. Lett. **7**, 5168–5175 (2016).
- [2] D.G. Popescu, M.A. Hușanu, L. Trupină, L. Hrib, L. Pintilie, A. Barinov, S. Lizzit, P. Lacovig, C.M. Teodorescu, Phys. Chem. Chem. Phys. **17**, 509–520 (2015).
- [3] M.A. Hușanu, D.G. Popescu, C.A. Tache, N.G. Apostol, A. Barinov, S. Lizzit, P. Lacovig, C.M. Teodorescu, Appl. Surf. Sci. **352**, 73–81 (2015).
- [4] L.E. Abramiuc, L.C. Tănase, A. Barinov, N.G. Apostol, C. Chirilă, L. Trupină, L. Pintilie, C.M. Teodorescu, Nanoscale **9**, 11055–11067 (2017).
- [5] A. Pancotti, J. Wang, P. Chen, L. Tortech, C.M. Teodorescu, E. Frantzeskakis, N. Barrett, Phys. Rev. B **87**, 184116(1–10) (2013).

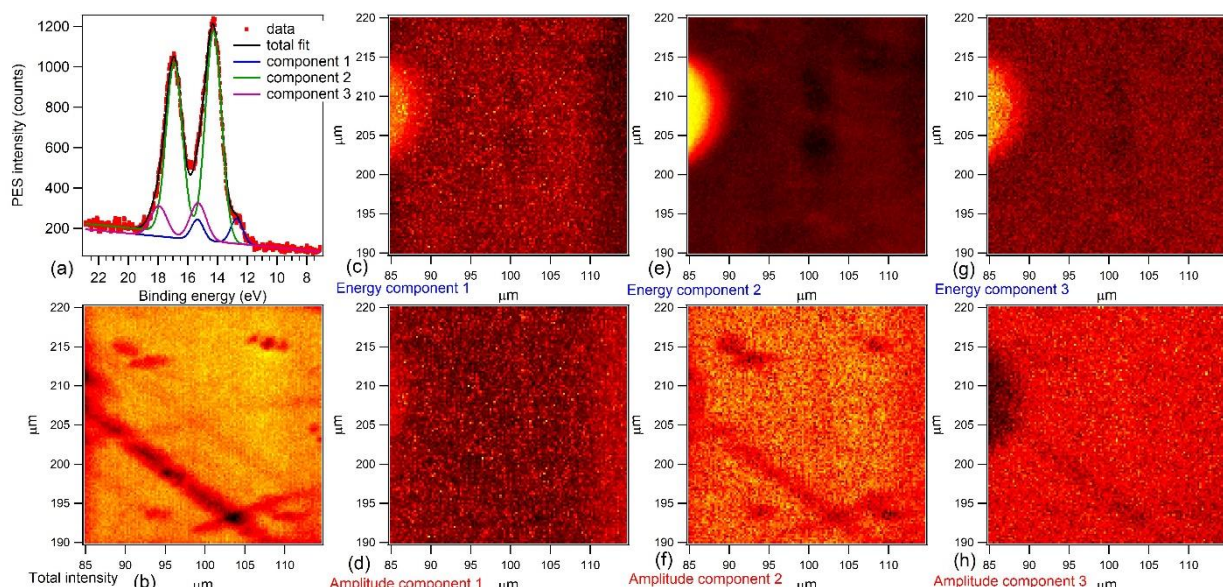


Figura 1. Analiză prin fit automat a datelor spectro-microscopice obținute la Antares. (a) reprezintă un exemplu de spectru obținut pentru un punct, împreună cu fitul cu 3 dubleti; (b) reprezintă harta intensităților totale, generată de programul de achiziție Antares; (c, e, g) hărți ale energiilor de legătură pentru cele 3 componente din fit; (d, f, h) hărți ale amplitudinilor integrale pentru cele 3 componente. Proba analizată a fost un strat subțire de 200 nm Pb(Zr,Ti)O<sub>3</sub>(001) după procedura standard de curățare prin încălzire în atmosferă de oxigen (5 mPa, 4 ore).

## Concluzii si perspective:

Faptul ca punem la dispozitia comunității de spectro-microscopie aceste soft-uri ne va spori vizibilitatea (inclusiv acumulare de citări) pe termen lung și mediu; aceasta acțiune va demonstra că suntem un grup implicat în comunitate și ne va oferi un fel de statut de "user" privilegiat, ne așteptăm aşadar ca pe viitor să obținem mult mai ușor timp de fascicul pe aceste linii. O ora de fascicul la Antares (de exemplu) este evaluată la cca. 1000 Euro, iar în cursul unei sesiuni obținem 5-7 zile de fascicul, deci între 120 000 și 168 000 Euro. În concluzie, avantajele estimate ale dezvoltării acestui software, scrierii manualului și popularizării pentru institut se pot cifra la 1–2 milioane de lei anual.

**Titlu Faza:** : Testarea unitarității matricii CKM si estimarea elementului  $V_{ud}$  prin folosirea unui cod numeric performant de calcul a factorilor spațiu de fază

Această fază a fost împărțită în două etape:

a) Pregătiri preliminare ale codului numeric de calcul al factorilor spațiu de fază pentru tranzițiile beta superpermise.

b) Estimarea elementului  $V_{ud}$  din matricea CKM și testarea unitarității acesteia

**Termen:** 12/9/2019

### Obiective

**Obiectiv general:** Testarea unitarității matricii Cabibbo–Kobayashi–Maskawa

#### Obiective specifice:

-dezvoltarea și testarea unor coduri numerice performante pentru calcul factorilor spațiu de fază pentru tranziții beta super-permise

-calculul valorii elementului  $V_{ud}$  din matricea Cabibbo–Kobayashi–Maskawa (CKM) prin utilizarea valorilor factorilor spațiu de fază și a celor mai noi valori experimentale ale mărimilor de interes pentru tranziții super-permise.

#### Rezultate estimate:

-obținerea unor rezultate precise pentru factorii spațiu de fază pentru tranziții super-permise

-obținerea valorii elementului de matrice  $V_{ud}$  cu o precizie mare astfel încât să fie testată unitaritatea matricii CKM

#### Rezultate obținute:

Măsurătorile precise ale timpilor de înjumătărire ale dezintegrării  $\beta$  nucleare între stări analoage de spin,  $J^{\pi} = 0^+$ , și izospin,  $T = 1$ , sunt teste fundamentale pentru proprietățile interacțiunii slabe. Toate aceste tranziții sunt cele ce pot proba conservarea curentilor vectori slabii și pot pune constrângeri asupra curentilor scalari în interacțiunea slabă. De asemenea, acestea oferă cea mai precisă valoare a lui  $V_{ud}$ , unul dintre elementele din matricea Cabibbo-Kobayashi-Maskawa (CKM) de mixaj a cuarcilor. Prin determinarea elementului  $V_{ud}$  cu incertitudine cât mai mică, se poate spune că tranziții  $\beta$  de acest tip sunt cele mai bune teste pentru demonstrarea unitarității matricii CKM, proprietate fundamentală a Modelului Standard electro-slab [1]

Pentru atingerea standardelor de precizie în experimentale actuale pentru mărimile măsurate în tranziții beta super-permise, metoda de calcul ale factorilor spațiu de fază ce intră în formula ratelor de tranziție trebuie îmbunătățite.

Pentru o tranziție  $\beta$  permisă factorul spațiu de fază ce înglobează cinematica dezintegrării se definește astfel

$$f = \int_1^{W_0} p W (W_0 - W)^2 F(Z, W) dW \quad (1)$$

unde  $p$  este impulsul particulei  $\beta$ ,  $W = \sqrt{p^2 + 1}$  este energia totală a particulei  $\beta$ , iar  $W_0$  este energia maximă a particulei  $\beta$ .  $W_0 = Q - 1(Q + 1)$  în dezintegrarea  $\beta^+(\beta^-)$ .  $Q$  este diferența de masă între starea initială și finală a atomilor neutri. Ecuația 1. este scrisă în unități naturale ( $\hbar = m = c = 1$ ), deci uitățile de impuls sunt  $mc$ , cele de energie sunt  $mc^2$ , iar cele de timp sunt  $\hbar/mc^2$ . În integrand este, de asemenea, și aşa numită funcție Fermi,  $F(Z, W)$ , care ține cont de distorsiunea funcțiilor de undă ale electronului (pozitronului) datorată densității nucleare de sarcină. Funcțiile Fermi se calculează cu ajutorul soluțiilor radiale ale ecuației Dirac.

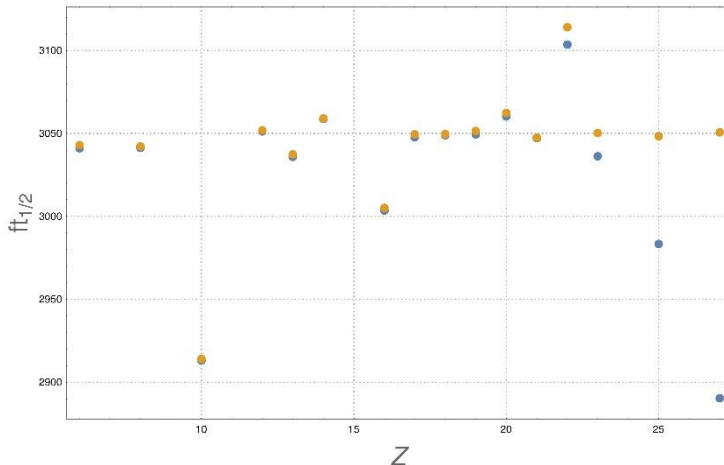


Fig. 1. Comparație între valorile  $ft_{1/2}$  din [1] (portocaliu) și cele calculate cu metoda noastră ce încorporează corecțiile în funcțiile de undă (albastru) pentru 16 nuclee de interes. Valorile sunt prezентate pentru același timp experimental de înjumătățire.

Metoda de rezolvare a acestei ecuații trebuie să includă corecțiile de dimensiune finită a nucleului, de suprafață nucleară difuză, de ecranare (screening) datorată norului electronic atomic și corecții de schimb între electronul (pozitronul) emis și norul electronic atomic. Pentru indeplinirea primului obiectiv, a fost scris un cod numeric de rezolvare a ecuației Dirac cu introducerea tuturor acestor corecții, astfel încât funcțiile de undă relativiste ale electronului (pozitronului). Apoi, au fost calculati timpi de viață pentru tranzitiile beta permise pentru 16 nuclee de interes în astrofizica. În Fig.1 sunt prezentate rezultatele obținute în comparație cu cele prezентate în [1].

Pentru îndeplinirea celui de-al doilea obiectiv s-a făcut o medie statistică pe fiecare timp de înjumătățire al tranzițiilor super-permise măsurate experimental. Astfel că s-a putut obține o medie statistică a produsului  $ft_{1/2}$  pentru toate nucleele considerate. S-au considerat aceleași corecții radiative și aceeași definiție a elementului de matrice

$$V_{ud}^2 = \frac{K}{2G_F^2(1 + \Delta_R^V)\bar{F}t}$$

ca în [1]. Având în vedere că diferențele între seturile de factori de spațiu de fază, am obținut o valoare cu sub un procent mai mare decât cea raportată în [2],  $|V_{ud}| = 0.97425 \pm 0.00022$ . Rezultatul obținut este  $|V_{ud}| = 0.97836 \pm 0.00451$ , cu mențiunea că incertitudinea este mai mare datorită metodei de calculare a factorului spațiu de fază.

### **Concluzii și perspective:**

Obiectivele fazei au fost îndeplinite.

[1] J. C. Hardy and I. S. Towner, *Phys. Rev. C* **79**, 055502, (2009).

[3] St. Ghinescu, O. Nitescu and S. Stoica, AIP Conference proceedings 2165, 020025, (2019); <https://doi.org/10.1063/1.5130986>.

### **4.2. Documentații, studii, lucrări, planuri, scheme și altele asemenea:**

Tip	Nr. realizat în anul 2019
Documentații	1
Studii	28
Lucrări	197

Planuri	1
Scheme	1
Altele asemenea ( <i>se vor specifica</i> )	-

**Din care:**

**4.2.1. Lucrări științifice publicate în jurnale cu factor de impact relativ ne-nul (2019):**

Nr.	Titlul articolului	Numele Jurnalului, Volumul, pagina nr.	Nume Autor	Anul publicării	Scorul relativ de influență al articolului	Numărul de citări ISI
1.						
2.						

#	Titlul	Jurnal	Autori	FI	AIS	DOI	Q
1.	HRTEM analysis of the high-temperature phases of the newly developed high-temperature Ni-base superalloy VDM 780 Premium	<i>JOURNAL OF ALLOYS AND COMPOUNDS</i> , <b>814</b> , UNSP 152157 (2020)	Ghica, C; Solis, C; Munke, J; Stark, A; Gehrmann, B; Bergner, M; Rosler, J; Gilles, R	3.779	0.574	10.1016/j.jallcom.2019.152157	Q1
2.	Structure and low field magnetic properties in phosphate-tellurite glasses	<i>JOURNAL OF NON-CRYSTALLINE SOLIDS</i> , <b>524</b> , UNSP 119651 (2019)	Polosan, S	2.488	0.427	10.1016/j.jnncryo.2019.119651	Q1
3.	Synthesis and characterization of biocompatible polymer-ceramic film structures as favorable interface in guided bone regeneration	<i>APPLIED SURFACE SCIENCE</i> , <b>494</b> , pp.335-352 (2019)	Dascalu, CA; Maidanuic, A; Pandele, AM; Voicu, SI; Machedon-Pisu, T; Stan, GE; Cimpean, A; Mitran, V; Antoniac, IV; Miculescu, F	4.439	0.627	10.1016/j.apsus.2019.07.098	Q1
4.	Fluorescent coumarin-modified mesoporous SBA-15 nanocomposite: Physico-chemical characterization and interaction with prokaryotic and eukaryotic cells	<i>MICROPOROUS AND MESOPOROUS MATERIALS</i> , <b>288</b> , UNSP 109583 (2019)	Tudose, M; Culita, DC; Voicescu, M; Musuc, AM; Kuncser, AC; Bleotu, C; Popa, M; Marutescu, L; Chifiriuc, MC; Nicolescu, M; Deleanu, C	3.649	0.671	10.1016/j.micromeso.2019.109583	Q1
5.	Orthorhombic HfO <sub>2</sub> with embedded Ge nanoparticles in nonvolatile memories used for the detection of ionizing radiation	<i>NANOTECHNOLOGY</i> , <b>30</b> , 445501 (2019)	Palade, C; Slav, A; Lepadatu, AM; Stavarache, I; Dascalescu, I; Maraloiu, AV; Negru, C; Logofatu, C; Stoica, T; Teodorescu, VS; Ciurea, ML;	3.404	0.791	10.1088/1361-6528/ab352b	Q1

			Lazanu, S				
6.	Low value for the static background dielectric constant in epitaxial PZT thin films	<i>SCIENTIFIC REPORTS</i> , <b>9</b> ,14698 (2019)	Boni, GA; Chirila, CF; Hrib, L; Negrea, R; Filip, LD; Pintilie, I; Pintilie, L	4.122	1.356	10.1038/s41598-019-51312-8	Q1
7.	Optical properties of folic acid in phosphate buffer solutions: the influence of pH and UV irradiation on the UV-VIS absorption spectra and photoluminescence	<i>SCIENTIFIC REPORTS</i> , <b>9</b> ,14278 (2019)	Baibarac, M; Smaranda, I; Nila, A; Serbschi, C	4.122	1.356	10.1038/s41598-019-50721-z	Q1
8.	Thermal, structural, magnetic and magneto-optical properties of dysprosium-doped phosphate glass	<i>JOURNAL OF NON-CRYSTALLINE SOLIDS</i> , <b>521</b> ,UNSP 119545 (2019)	Elisa, M; Stefan, R; Vasiliu, IC; Rusu, MI; Sava, BA; Boroica, L; Sofronie, M; Kuncser, V; Galca, AC; Beldiceanu, A; Volceanov, A; Eftimie, M	2.488	0.427	10.1016/j.jnoncrysol.2019.119545	Q1
9.	Internal and external surface features of newly developed porous ceramics with random interconnected 3D channels by a fibrous sacrificial porogen method	<i>APPLIED SURFACE SCIENCE</i> , <b>489</b> , pp.226-238 (2019)	Mocanu, AC; Miculescu, M; Machedon-Pisu, T; Maidanuic, A; Ciocoiu, RC; Ionita, M; Pasuk, J; Stan, GE; Miculescu, F	4.439	0.627	10.1016/j.apsurfsc.2019.05.354	Q1
10.	CuxCeMgAlO mixed oxide catalysts derived from multicationic LDH precursors for methane total oxidation	<i>APPLIED CATALYSIS A-GENERAL</i> , <b>586</b> ,117215 (2019)	Al-Aani, HMS; Iro, E; Chirra, P; Fechete, I; Badea, M; Negrilă, C; Popescu, I; Olea, M; Marcu, IC	4.521	0.777	10.1016/j.apcata.2019.117215	Q1
11.	Graphitic carbon nitride based photoanodes prepared by spray coating method	<i>INTERNATIONAL JOURNAL OF HYDROGEN ENERGY</i> , <b>44</b> , pp.24430-24440 (2019)	Sima, M; Vasile, E; Sima, A; Preda, N; Logofatu, C	4.229	0.570	10.1016/j.ijhydene.2019.07.243	Q1
12.	Fabrication and characterization of Si <sub>1-x</sub> Gex nanocrystals in as-grown and annealed structures: a comparative study	<i>BEILSTEIN JOURNAL OF NANOTECHNOLOGY</i> , <b>10</b> , pp.1873-1882 (2019)	Sultan, MT; Maraloiu, AV; Stavarache, I; Gudmundsson, JT; Manolescu, A; Teodorescu, VS; Ciurea, ML; Svavarsson, HG	2.968	0.745	10.3762/bjnano.10.182	Q1
13.	Synthesis and thermal, emission and dielectric properties of liquid crystalline Eu(III), Sm(III) and Tb(III) complexes based on mesogenic 4-pyridone ligands	<i>JOURNAL OF MOLECULAR LIQUIDS</i> , <b>290</b> ,UNSP 111184 (2019)	Chiriac, LF; Ganea, PC; Maximean, DM; Pasuk, I; Circu, V	4.513	0.570	10.1016/j.molliq.2019.111184	Q1

	functionalized with cyanobiphenyl groups						
14.	Manipulating the Optical Properties of Carbon Dots by Fine-Tuning their Structural Features	<i>CHEMSUSCHEM</i> , <b>12</b> , pp.4480-4486 (2019)	Luo, H; Papaioannou, N; Salvadori, E; Roessler, MM; Ploenes, G; van Eck, ERH; Tanase, LC; Feng, JY; Sun, YW; Yang, Y; Danaie, M; Jorge, AB; Sapelkin, A; Durrant, J; Dimitrov, SD; Titirici, MM	7.411	1.671	10.1002/cssc .201901795	Q1
15.	Efficacy of annealing and fabrication parameters on photo-response of SiGe in TiO <sub>2</sub> matrix	<i>NANOTECHNOLOGY</i> , <b>30</b> , 365604 (2019)	Sultan, MT; Gudmundsson, JT; Manolescu, A; Teodorescu, VS; Ciurea, ML; Svavarsson, HG	3.404	0.791	10.1088/136 1- 6528/ab260e	Q1
16.	Development of W-monoblock divertor components with embedded thermal barrier interfaces	<i>FUSION ENGINEERING AND DESIGN</i> , <b>146</b> , pp.1351-1354 (2019)	Galatanu, M; Cioca, M; Ighigeanu, A; Ruiu, G; Enculescu, M; Popescu, B; Galatanu, A	1.437	0.281	10.1016/j.fus engdes.2019. 02.074	Q1
17.	Sintering and irradiation of copper-based high entropy alloys for nuclear fusion	<i>FUSION ENGINEERING AND DESIGN</i> , <b>146</b> , pp.1824-1828 (2019)	Dias, M; Antao, F; Catarino, N; Galatanu, A; Galatanu, M; Ferreira, P; Correia, JB; da Silva, RC; Goncalves, AP; Alves, E	1.437	0.281	10.1016/j.fus engdes.2019. 03.044	Q1
18.	Thermophysical and mechanical properties of W-Cu laminates produced by FAST joining	<i>FUSION ENGINEERING AND DESIGN</i> , <b>146</b> , pp.2371-2374 (2019)	Galatanu, A; Galatanu, M; Enculescu, M; Reiser, J; Sickinger, S	1.437	0.281	10.1016/j.fus engdes.2019. 03.193	Q1
19.	Photoluminescent Hydroxylapatite: Eu <sup>3+</sup> Doping Effect on Biological Behaviour	<i>NANOMATERIALS</i> , <b>9</b> , 187 (2019)	Andronescu, E; Predoi, D; Neacsu, IA; Paduraru, AV; Musuc, AM; Trusca, R; Oprea, O; Tanasa, E; Vasile, OR; Nicoara, AI; Surdu, AV; Iordache, F; Birca, AC; Iconaru, SL; Vasile, BS	3.504	0.696	10.3390/nan o9091187	Q1
20.	Synthesis, Characterization, and Antimicrobial Activity of Magnesium-Doped Hydroxyapatite	<i>NANOMATERIALS</i> , <b>9</b> , 295 (2019)	Predoi, D; Iconaru, SL; Predoi, MV; Stan, GE; Buton, N	3.504	0.696	10.3390/nan o9091295	Q1

	Suspensions						
21.	Conductance Model for Single-Crystalline/Compact Metal Oxide Gas-Sensing Layers in the Nondegenerate Limit: Example of Epitaxial SnO <sub>2</sub> (101)	<i>ACS SENSORS</i> , <b>4</b> , pp.2420-2428 (2019)	Simion, CE; Schipani, F; Papadogianni, A; Stanoiu, A; Budde, M; Oprea, A; Weimar, U; Bierwagen, O; Barsan, N	5.711	1.316	10.1021/acssensors.9b01018	Q1
22.	Cavity-Photon-Induced High-Order Transitions between Ground States of Quantum Dots	<i>ANNALEN DER PHYSIK</i> , <b>1900306</b> ()	Gudmundsson, V; Abdullah, NR; Tang, CS; Manolescu, A; Moldoveanu, V	2.557	1.096	10.1002/andp.201900306	Q1
23.	Formation peculiarities and optical properties of highly-doped (Y(0.86)La(0.09)Vb(0.05))(2)O-3 transparent ceramics	<i>CERAMICS INTERNATIONAL</i> , <b>45</b> , pp.16002-16007 (2019)	Kryzhanovska, OS; Baumer, VN; Parkhomenko, SV; Doroshenko, AG; Yavetskiy, RP; Balabanov, AE; Tolmachev, AV; Skorik, SN; Li, J; Kuncser, A	3.057	0.437	10.1016/j.ceramint.2019.05.111	Q1
24.	Nanoclustered Pd decorated nanocrystalline Zn doped SnO <sub>2</sub> for ppb NO <sub>2</sub> detection at low temperature	<i>SENSORS AND ACTUATORS B-CHEMICAL</i> , <b>294</b> , pp.148-156 (2019)	Somacescu, S; Ghica, C; Simion, CE; Kuncser, AC; Vlaicu, AM; Stefan, M; Ghica, D; Florea, OG; Mercioniu, IF; Stanoiu, A	5.667	0.787	10.1016/j.snb.2019.05.033	Q1
25.	Spectroscopic investigations of Pr <sup>3+</sup> ions doped CNGG and CLNGG single crystals	<i>JOURNAL OF ALLOYS AND COMPOUNDS</i> , <b>799</b> , pp.288-301 (2019)	Hau, S; Gheorghe, C; Gheorghe, L; Voicu, E; Greculeasa, M; Stanciu, G; Broasca, A; Enculescu, M	3.779	0.574	10.1016/j.jallcom.2019.05.154	Q1
26.	Memcomputing and Nondestructive Reading in Functional Ferroelectric Heterostructures	<i>PHYSICAL REVIEW APPLIED</i> , <b>12</b> ,024053 (2019)	Boni, GA; Filip, LD; Chirila, C; Iuga, A; Pasuk, I; Hrib, L; Trupina, L; Pintilie, I; Pintilie, L	4.782	2.124	10.1103/PhysRevApplied.12.024053	Q1
27.	Nanostructured palladium doped nickel electrodes for immobilization of oxidases through nickel nanoparticles	<i>ELECTROCHIMICA ACTA</i> , <b>315</b> , pp.102-113 (2019)	Barsan, MM; Matei, E; Enculescu, M; Costescu, R; Preda, N; Enache, TA; Enculescu, I; Diculescu, VC	5.116	0.832	10.1016/j.electacta.2019.04.143	Q1
28.	Adsorption of 1,4-phenylene diisothiocyanate onto the graphene oxide sheets functionalized with polydiphenylamine in	<i>SCIENTIFIC REPORTS</i> , <b>9</b> ,11968 (2019)	Baibarac, M; Daescu, M; Fejer, SN	4.122	1.356	10.1038/s41598-019-48314-x	Q1

	doped state						
29.	Carbon-based sprayed electrodes for pyroelectric applications	<i>PLOS ONE</i> , <b>14</b> ,e0221108 (2019)	Chirila, C; Botea, M; Iuga, A; Tomulescu, AG; Balescu, L; Galca, AC; Boni, AG; Leonat, L; Pintilie, I; Pintilie, L	2.766	1.000	10.1371/journal.pone.0221108	Q1
30.	Mineralization-Inspired Synthesis of Magnetic Zeolitic Imidazole Framework Composites	<i>ANGEWANDTE CHEMIE-INTERNATIONAL EDITION</i> , <b>58</b> , pp.13550-13555 (2019)	Terzopoulou, A; Hoop, M; Chen, XZ; Hirt, AM; Charilaou, M; Shen, Y; Mushtaq, F; del Pino, AP; Logofatu, C; Simonelli, L; de Mello, AJ; Doonan, CJ; Sort, J; Nelson, BJ; Pane, S; Puigmarti-Luis, J	12.102	3.376	10.1002/anie.201907389	Q1
31.	Nitrogen-doped graphene as metal free basic catalyst for coupling reactions	<i>JOURNAL OF CATALYSIS</i> , <b>376</b> , pp.238-247 (2019)	Candu, N; Man, I; Simion, A; Cojocaru, B; Coman, SM; Bucur, C; Primo, A; Garcia, H; Parvulescu, VI	6.759	1.595	10.1016/j.jcat.2019.07.011	Q1
32.	Dramatic impact of pressure and annealing temperature on the properties of sputtered ferroelectric HZO layers	<i>APL MATERIALS</i> , <b>7</b> ,081109 (2019)	Bouaziz, J; Romeo, PR; Baboux, N; Negrea, R; Pintilie, L; Vilquin, B	4.127	1.497	10.1063/1.5110894	Q1
33.	Fabrication of graphene-based electrochemical capacitors through reactive inverse matrix assisted pulsed laser evaporation	<i>APPLIED SURFACE SCIENCE</i> , <b>484</b> , pp.245-256 (2019)	del Pino, AP; Ramadan, MA; Lebiere, PG; Ivan, R; Logofatu, C; Yousef, I; Gyorgy, E	4.439	0.627	10.1016/j.apusc.2019.04.127	Q1
34.	3D hybrid structures based on biomimetic membranes and Caryophyllus aromaticus - "green" synthesized nano-silver with improved bioperformances	<i>MATERIALS SCIENCE &amp; ENGINEERING C-MATERIALS FOR BIOLOGICAL APPLICATIONS</i> , <b>101</b> , pp.120-137 (2019)	Barbinta-Patrascu, ME; Badea, N; Bacalum, M; Ungureanu, C; Suica-Bunghes, IR; Lordache, SM; Pirvu, C; Zgura, I; Maraloiu, VA	5.080	0.694	10.1016/j.ms.2019.03.069	Q1
35.	Physical properties of the ferroelectric capacitors based on Al-doped HfO <sub>2</sub> grown via Atomic Layer Deposition on Si	<i>APPLIED SURFACE SCIENCE</i> , <b>483</b> , pp.324-333 (2019)	Vulpe, S; Nastase, F; Dragoman, M; Dinescu, A; Romanitan, C; Iftimie, S; Moldovan, A; Apostol, N	4.439	0.627	10.1016/j.apusc.2019.03.166	Q1
36.	Rapid thermal annealing for high-quality ITO thin films deposited by radio-	<i>BEILSTEIN JOURNAL OF NANOTECHNOLOGY</i> ,	Prepelita, P; Stavarache, I; Craciun, D; Garoi,	2.968	0.745	10.3762/bjnano.10.149	Q1

	frequency magnetron sputtering	<b>10</b> , pp.1511-1522 (2019)	F; Negrila, C; Sbarcea, BG; Craciun, V				
37.	Ge nanoparticles in SiO <sub>2</sub> for near infrared photodetectors with high performance	<i>SCIENTIFIC REPORTS</i> , <b>9</b> ,10286 (2019)	Stavarache, I; Teodorescu, VS; Prepelita, P; Logofatu, C; Ciurea, ML	4.122	1.356	10.1038/s41598-019-46711-w	Q1
38.	Effect of Zn content on structural, morphological and magnetic behavior of ZnxCo1-xFe2O4/SiO <sub>2</sub> nanocomposites	<i>JOURNAL OF ALLOYS AND COMPOUNDS</i> , <b>792</b> , pp.432-443 (2019)	Dippong, T; Deac, IG; Cedar, O; Levei, EA; Diamandescu, L; Borodi, G	3.779	0.574	10.1016/j.jallcom.2019.04.059	Q1
39.	Impact on Ferroelectricity and Band Alignment of Gradually Grown Au on BaTiO <sub>3</sub>	<i>PHYSICA STATUS SOLIDI-RAPID RESEARCH LETTERS</i> , <b>13</b> ,1900077 (2019)	Popescu, DG; Husanu, MA; Chirila, C; Pintilie, L; Teodorescu, CM	3.721	0.755	10.1002/pssr.201900077	Q1
40.	Evaluating the biological potential of some new cobalt (II) complexes with acrylate and benzimidazole derivatives	<i>APPLIED ORGANOMETALLIC CHEMISTRY</i> , <b>33</b> ,e4976 (2019)	Vlaicu, ID; Olar, R; Maxim, C; Chifiriuc, MC; Bleotu, C; Stanica, N; Scaeteanu, GV; Dulea, C; Avram, S; Badea, M	3.581	0.352	10.1002/aoc.4976	Q1
41.	Electrochemical assay for 20S proteasome activity and inhibition with anticancer drugs	<i>TALANTA</i> , <b>199</b> , pp.32-39 (2019)	de Jesus, CSH; Chiorcea-Paquim, AM; Barsan, MM; Diculescu, VC	4.244	0.738	10.1016/j.talanta.2019.02.052	Q1
42.	The influence of the nanocrystals size and surface on the Yb/Er doped LaF <sub>3</sub> luminescence properties	<i>JOURNAL OF ALLOYS AND COMPOUNDS</i> , <b>791</b> , pp.1098-1104 (2019)	Secu, CE; Matei, E; Negrila, C; Secu, M	3.779	0.574	10.1016/j.jallcom.2019.03.267	Q1
43.	On the relaxation time of interacting superparamagnetic nanoparticles and implications for magnetic fluid hyperthermia	<i>BEILSTEIN JOURNAL OF NANOTECHNOLOGY</i> , <b>10</b> , pp.1280-1289 (2019)	Kuncser, A; Iacob, N; Kuncser, VE	2.968	0.745	10.3762/bjnano.10.127	Q1
44.	Enhanced photoconductivity of embedded SiGe nanoparticles by hydrogenation	<i>APPLIED SURFACE SCIENCE</i> , <b>479</b> , pp.403-409 (2019)	Sultan, MT; Gudmundsson, JT; Manolescu, A; Stoica, T; Ciurea, ML; Svavarsson, HG	4.439	0.627	10.1016/j.apsusc.2019.02.096	Q1
45.	Multilayer protective coatings obtained by pulsed laser deposition	<i>APPLIED SURFACE SCIENCE</i> , <b>479</b> , pp.1124-1131 (2019)	Ion, V; Scarisoreanu, ND; Bonciu, A; Moldovan, A; Ghenescu, V; Ghenescu, M; Banciu, MG; Andrei, A; Dinescu, M	4.439	0.627	10.1016/j.apsusc.2019.02.186	Q1

46.	Direct Immobilization of Biomolecules through Magnetic Forces on Ni Electrodes via Ni Nanoparticles: Applications in Electrochemical Biosensors	<i>ACS APPLIED MATERIALS &amp; INTERFACES</i> , <b>11</b> , pp.19867-19877 (2019)	Barsan, MM; Enache, TA; Preda, N; Stan, G; Apostol, NG; Matei, E; Kuncser, A; Diculescu, VC	8.097	1.634	10.1021/acsa.mi.9b04990	Q1
47.	Structure and magnetic properties of highly coercive L1(0) nanocomposite FeMnPt thin films	<i>MATERIALS CHARACTERIZATION</i> , <b>152</b> , pp.245-252 (2019)	Crisan, O; Vasiliu, F; Crisan, AD; Mercioniu, I; Schintei, G; Leca, A	2.892	0.692	10.1016/j.machar.2019.04.028	Q1
48.	Hybrid layered double hydroxides-curcumin thin films deposited via Matrix Assisted Pulsed Laser Evaporation-MAPLE with photoluminescence properties	<i>APPLIED SURFACE SCIENCE</i> , <b>478</b> , pp.754-761 (2019)	Andrei, F; Vlad, A; Birjega, R; Tozari, T; Secu, M; Urzica, I; Dinescu, M; Zavoianu, R	4.439	0.627	10.1016/j.apsus.2019.02.011	Q1
49.	Effect of nickel content on structural, morphological and magnetic properties of $Ni_xCo_{1-x}Fe_2O_4/SiO_2$ nanocomposites	<i>JOURNAL OF ALLOYS AND COMPOUNDS</i> , <b>786</b> , pp.330-340 (2019)	Dippong, T; Levei, EA; Cadar, O; Deac, IG; Diamandescu, L; Barbu-Tudoran, L	3.779	0.574	10.1016/j.jallcom.2019.01.363	Q1
50.	CO <sub>2</sub> methanation catalyzed by oriented MoS <sub>2</sub> nanoplatelets supported on few layers graphene	<i>APPLIED CATALYSIS B-ENVIRONMENTAL</i> , <b>245</b> , pp.351-359 (2019)	Primo, A; He, JB; Jurca, B; Cojocaru, B; Bucur, C; Parvulescu, VI; Garcia, H	11.698	1.664	10.1016/j.apcatb.2018.12.034	Q1
51.	Highly -sensitive near infrared luminescent nanothermometers based on binary mixture	<i>JOURNAL OF ALLOYS AND COMPOUNDS</i> , <b>785</b> , pp.250-259 (2019)	Avram, D; Colbea, C; Florea, M; Tiseanu, C	3.779	0.574	10.1016/j.jallcom.2019.01.162	Q1
52.	The hysteresis-free behavior of perovskite solar cells from the perspective of the measurement conditions	<i>JOURNAL OF MATERIALS CHEMISTRY C</i> , <b>7</b> , pp.5267-5274 (2019)	Nemnes, GA; Besleaga, C; Tomulescu, AG; Leonat, LN; Stancu, V; Florea, M; Manolescu, A; Pintilie, I	5.976	1.133	10.1039/c8tc05999c	Q1
53.	La <sub>0.75</sub> Sr <sub>0.25</sub> XO <sub>3</sub> (X = Fe, Mn or Cr) with coking tolerance for CH <sub>4</sub> /H <sub>2</sub> O reaction: effect of H <sub>2</sub> S on catalytic performance	<i>CATALYSIS SCIENCE &amp; TECHNOLOGY</i> , <b>9</b> , pp.2351-2366 (2019)	Florea, M; Somacescu, S; Postole, G; Urda, A; Neatu, F; Neatu, S; Massin, L; Gelin, P	5.365	1.105	10.1039/c9cy00065h	Q1
54.	Tailoring the Dopant Distribution in ZnO:Mn Nanocrystals	<i>SCIENTIFIC REPORTS</i> , <b>9</b> ,6894 (2019)	Ghica, D; Vlaicu, ID; Stefan, M; Maraloiu, VA; Joita, AC; Ghica, C	4.122	1.356	10.1038/s41598-019-43388-z	Q1
55.	Dextran-Coated Zinc-Doped Hydroxyapatite for Biomedical Applications	<i>POLYMERS</i> , <b>11</b> ,886 (2019)	Predoi, D; Iconaru, SL; Predoi, MV	2.935	0.700	10.3390/polymer11050886	Q1
56.	Pulsed Laser Fabrication of	<i>NANOMATERIALS</i> , <b>9</b> ,7	Lungu, J; Socol, G;	3.504	0.696	10.3390/nanomaterials9010007	Q1

	TiO <sub>2</sub> Buffer Layers for Dye Sensitized Solar Cells	46 (2019)	Stan, GE; Stefan, N; Luculescu, C; Georgescu, A; Popescu-Pelin, G; Prodan, G; Girtu, MA; Mihailescu, IN			o9050746	
57.	Multiferroic (Nd,Fe)-doped PbTiO <sub>3</sub> ceramics with coexistent ferroelectricity and magnetism at room temperature	<i>CERAMICS INTERNATIONAL</i> , <b>45</b> , pp.9390-9396 (2019)	Craciun, F; Cordero, F; Cernea, M; Fruth, V; Atkinson, I; Stanica, N; Vasile, BS; Trusca, R; Iuga, A; Galizia, P; Galassi, C	3.057	0.437	10.1016/j.ceramint.2018.08.147	Q1
58.	Deposition temperature influence on the wear behaviour of carbon-based coatings deposited on hardened steel	<i>APPLIED SURFACE SCIENCE</i> , <b>475</b> , pp.762-773 (2019)	Feldioorean, D; Cristea, D; Tiorean, M; Croitoru, C; Gabor, C; Jakab-Farkas, L; Cunha, L; Barradas, NP; Alves, E; Craciun, V; Marin, A; Moura, C; Leme, J; Socol, M; Craciun, D; Cosnita, M; Munteanu, D	4.439	0.627	10.1016/j.apsusc.2019.01.028	Q1
59.	Negative ion-induced deuterium retention in mixed W-Al layers co-deposited in dual-HiPIMS	<i>SURFACE &amp; COATINGS TECHNOLOGY</i> , <b>363</b> , pp.273-281 (2019)	Dinca, P; Tiron, V; Velicu, IL; Porosnicu, C; Butoi, B; Velea, A; Grigore, E; Costin, C; Lungu, CP	2.906	0.517	10.1016/j.surfocoat.2019.02.019	Q1
60.	Growth of Ag(111) on Si(111) with nearly flat band and abrupt interface	<i>APPLIED SURFACE SCIENCE</i> , <b>473</b> , pp.433-441 (2019)	Bocirnea, AE; Costescu, RM; Apostol, NG; Teodorescu, CM	4.439	0.627	10.1016/j.apsusc.2018.12.167	Q1
61.	New electrochemical sensor based on CoQ(10) and cyclodextrin complexes for the detection of oxidative stress initiators	<i>ELECTROCHIMICA ACTA</i> , <b>302</b> , pp.441-448 (2019)	Barsan, MM; Diculescu, VC	5.116	0.832	10.1016/j.electacta.2019.02.060	Q1
62.	Radial heterojunction based on single ZnO-CuxO core-shell nanowire for photodetector applications	<i>SCIENTIFIC REPORTS</i> , <b>9</b> ,5553 (2019)	Costas, A; Florica, C; Preda, N; Apostol, N; Kuncser, A; Nitescu, A; Enculescu, I	4.122	1.356	10.1038/s41598-019-42060-w	Q1
63.	Evaluation of Antibacterial Activity of Zinc-Doped Hydroxyapatite Colloids and Dispersion Stability Using Ultrasounds	<i>NANOMATERIALS</i> , <b>9</b> , 15 (2019)	Predoi, D; Iconaru, SL; Predoi, MV; Motelica-Heino, M; Guegan, R; Buton, N	3.504	0.696	10.3390/nano9040515	Q1
64.	Effect of the process control agent in the ball-	<i>POWDER TECHNOLOGY</i> , <b>347</b> ,	Mihalache, V; Mercioniu, I; Velea,	3.230	0.590	10.1016/j.powtec.2019.0	Q1

	milled powders and SPS-consolidation temperature on the grain refinement, density and Vickers hardness of Fe14Cr ODS ferritic alloys	pp.103-113 (2019)	A; Palade, P			2.006	
65.	Next frontiers in cleaner synthesis: 3D printed graphene-supported CeZrLa mixed -oxide nanocatalyst for CO <sub>2</sub> utilisation and direct propylene carbonate production	<i>JOURNAL OF CLEANER PRODUCTION</i> , <b>214</b> , pp.606-614 (2019)	Middelkoop, V; Slater, T; Florea, M; Neatu, F; Danaci, S; Onyenkeadi, V; Boonen, K; Saha, B; Baragau, LA; Kellici, S	5.651	0.815	10.1016/j.jcl epro.2018.12 .274	Q1
66.	Very large remanent polarization in ferroelectric Hf <sub>1-x</sub> Zr <sub>x</sub> O <sub>2</sub> grown on Ge substrates by plasma assisted atomic oxygen deposition	<i>APPLIED PHYSICS LETTERS</i> , <b>114</b> ,112901 (2019)	Zacharaki, C; Tsipas, P; Chaitoglou, S; Fragkos, S; Axiotis, M; Lagoyiannis, A; Negrea, R; Pintilie, L; Dimoulas, A	3.495	0.927	10.1063/1.50 90036	Q1
67.	Efficient glucose dehydration to HMF onto Nb-BEA catalysts	<i>CATALYSIS TODAY</i> , <b>325</b> , pp.109-116 (2019)	Candu, N; El Fergani, M; Verziu, M; Cojocaru, B; Jurca, B; Apostol, N; Teodorescu, C; Parvulescu, VI; Coman, SM	4.667	0.868	10.1016/j.cat tod.2018.08. 004	Q1
68.	Charge separation and ROS generation on tubular sodium titanates exposed to simulated solar light	<i>APPLIED SURFACE SCIENCE</i> , <b>470</b> , pp.1053-1063 (2019)	Preda, S; Anastasescu, C; Balint, I; Umek, P; Sluban, M; Negrilă, CC; Angelescu, DG; Bratan, V; Rusu, A; Zaharescu, M	4.439	0.627	10.1016/j.ap susc.2018.11 .194	Q1
69.	Coexisting spin and Rabi oscillations at intermediate time regimes in electron transport through a photon cavity	<i>BEILSTEIN JOURNAL OF NANOTECHNOLOGY</i> , <b>10</b> , pp.606-616 (2019)	Gudmundsson, V; Gestsson, H; Abdullah, NR; Tang, CS; Manolescu, A; Moldoveanu, V	2.968	0.745	10.3762/bjna no.10.61	Q1
70.	Antibacterial efficiency of alkali-free bio-glasses incorporating ZnO and/or SrO as therapeutic agents	<i>CERAMICS INTERNATIONAL</i> , <b>45</b> , pp.4368-4380 (2019)	Popa, AC; Fernandes, HR; Neculescu, M; Luculescu, C; Cioangher, M; Dumitru, V; Stuart, BW; Grant, DM; Ferreira, JMF; Stan, GE	3.057	0.437	10.1016/j.cer amint.2018.1 1.112	Q1
71.	Enhanced photoconductivity of SiGe nanocrystals in SiO <sub>2</sub> driven by mild annealing	<i>APPLIED SURFACE SCIENCE</i> , <b>469</b> , pp.870-878 (2019)	Sultan, MT; Manolescu, A; Gudmundsson, JT; Torfason, K;	4.439	0.627	10.1016/j.ap susc.2018.11 .061	Q1

			Nemnes, GA; Stavarache, I; Logofatu, C; Teodorescu, VS; Ciurea, ML; Svavarsson, HG				
72.	Energy-enhanced deposition of copper thin films by bipolar high power impulse magnetron sputtering	<i>SURFACE &amp; COATINGS TECHNOLOGY</i> , <b>359</b> , pp.97-107 (2019)	Velicu, IL; Ianos, GT; Porosnicu, C; Mihaila, I; Burducea, I; Velea, A; Cristea, D; Munteanu, D; Tiron, V	2.906	0.517	10.1016/j.surcoat.2018.12.079	Q1
73.	Highly transparent Yb:Y2O3 ceramics obtained by solid-state reaction and combined sintering procedures	<i>CERAMICS INTERNATIONAL</i> , <b>45</b> , pp.3217-3222 (2019)	Stanciu, G; Gheorghe, L; Voicu, F; Hau, S; Gheorghe, C; Croitoru, G; Enculescu, M; Yavetskiy, RP	3.057	0.437	10.1016/j.ceramint.2018.10.224	Q1
74.	N-Doped Defective Graphene from Biomass as Catalyst for CO <sub>2</sub> Hydrogenation to Methane	<i>CHEMCATCHEM</i> , <b>11</b> , pp.985-990 (2019)	Jurca, B; Bucur, C; Primo, A; Concepcion, P; Parvulescu, VI; Garcia, H	4.674	1.055	10.1002/cctc.201801984	Q1
75.	Electrochemical Sensor for Carbonyl Groups in Oxidized Proteins	<i>ANALYTICAL CHEMISTRY</i> , <b>91</b> , pp.1920-1927 (2019)	Enache, TA; Matei, E; Diculescu, VC	6.042	1.371	10.1021/acs.analchem.8b03969	Q1
76.	Rhodium-Catalyzed Annulation of ortho-Alkenyl Anilides with Alkynes: Formation of Unexpected Naphthalene Adducts	<i>ANGEWANDTE CHEMIE-INTERNATIONAL EDITION</i> , <b>58</b> , pp.1700-1704 (2019)	Seoane, A; Comanescu, C; Casanova, N; Garcia-Fandino, R; Diz, X; Mascarenas, JL; Gulias, M	12.102	3.376	10.1002/anie.201811747	Q1
77.	Laser Processed Antimicrobial Nanocomposite Based on Polyaniline Grafted Lignin Loaded with Gentamicin-Functionalized Magnetite	<i>POLYMERS</i> , <b>11</b> ,283 (2019)	Visan, AI; Popescu-Pelin, G; Gherasim, O; Grumezescu, V; Socol, M; Zgura, I; Florica, C; Popescu, RC; Savu, D; Holban, AM; Cristescu, R; Matei, CE; Socol, G	2.935	0.700	10.3390/polymer11020283	Q1
78.	Growth of SrTiO <sub>3</sub> Single Crystals with a Diameter of about 30 mm by the Verneuil Method	<i>CRYSTAL GROWTH &amp; DESIGN</i> , <b>19</b> , pp.604-612 (2019)	Tateno, Y; Endo, K; Arisawa, S; Vlaicu, AM; Nedelcu, L; Preda, N; Secu, M; Iordanescu, R; Kuncser, AC; Badica, P	3.972	0.777	10.1021/acs.cgd.8b01004	Q1
79.	Voltammetric and mass spectrometry investigation of methionine oxidation	<i>JOURNAL OF ELECTROANALYTICAL CHEMISTRY</i> , <b>834</b> , pp.124-129 (2019)	Diculescu, VC; Enache, TA	3.235	0.489	10.1016/j.jelechem.2018.12.058	Q1
80.	Stable Hall voltages in	<i>ORGANIC</i>	Stadler, P; Leonat,	3.680	0.652	10.1016/j.org	Q1

	presence of dynamic quasi-continuum bands in poly (3,4-ethylene-dioxythiophene)	<i>ELECTRONICS</i> , <b>65</b> , pp.412-418 (2019)	LN; Menon, R; Coskun, H; van Frank, S; Rankl, C; Scharber, MC			gel.2018.12.001	
81.	Theoretical and Experimental Study of (Ba,Sr)TiO <sub>3</sub> Perovskite Solid Solutions and BaTiO <sub>3</sub> /SrTiO <sub>3</sub> Heterostructures	<i>JOURNAL OF PHYSICAL CHEMISTRY C</i> , <b>123</b> , pp.2031-2036 (2019)	Rusevich, LL; Zvejnieks, G; Kotomin, EA; Krzmarc, MM; Meden, A; Kunej, S; Vlaicu, ID	4.484	1.105	10.1021/acs.jpcc.8b09750	Q1
82.	Pd-Cu catalysts supported on anion exchange resin for the simultaneous catalytic reduction of nitrate ions and reductive dehalogenation of organochlorinated pollutants from water	<i>APPLIED CATALYSIS A-GENERAL</i> , <b>570</b> , pp.120-129 (2019)	Bradu, C; Capat, C; Papa, F; Frunza, L; Olaru, EA; Crini, G; Morin-Crini, N; Euvrard, E; Balint, I; Zgura, I; Munteanu, C	4.521	0.777	10.1016/j.apcata.2018.11.002	Q1
83.	Unveiling the double-well energy landscape in a ferroelectric layer	<i>NATURE</i> , <b>565</b> , pp.464-+ (2019)	Hoffmann, M; Fengler, FPG; Herzog, M; Mittmann, T; Max, B; Schroeder, U; Negrea, R; Pintilie, L; Slesazeck, S; Mikolajick, T	41.577	22.537	10.1038/s41586-018-0854-z	Q1
84.	Akermanite-based coatings grown by pulsed laser deposition for metallic implants employed in orthopaedics	<i>SURFACE &amp; COATINGS TECHNOLOGY</i> , <b>357</b> , pp.1015-1026 (2019)	Negrea, R; Busuioc, C; Constantinoiu, I; Miu, D; Enache, C; Iordache, F; Jinga, SI	2.906	0.517	10.1016/j.surfcoat.2018.11.008	Q1
85.	Spirobifluorene-based Porous Organic Polymers as Efficient Porous Supports for Pd and Pt for Selective Hydrogenation	<i>CHEMCATCHEM</i> , <b>11</b> , pp.538-549 (2019)	Trandafir, MM; Pop, L; Hadade, ND; Hristea, I; Teodorescu, CM; Krumeich, F; van Bokhoven, JA; Grosu, I; Parvulescu, VI	4.674	1.055	10.1002/cctc.201801247	Q1
86.	NiTi coated with oxide and polymer films in the in vivo healing processes	<i>JOURNAL OF MATERIALS RESEARCH AND TECHNOLOGY-JMR&amp;T</i> , <b>8</b> , pp.914-922 (2019)	Batalu, D; Nastase, F; Militaru, M; Gherghiceanu, M; Badica, P	3.398	Not Available	10.1016/j.jmrt.2018.06.015	Q1
87.	Near infrared emission properties of Er doped cubic sesquioxides in the second/third biological windows	<i>SCIENTIFIC REPORTS</i> , <b>8</b> ,18033 (2018)	Avram, D; Tiseanu, I; Vasile, BS; Florea, M; Tiseanu, C	4.122	1.356	10.1038/s41598-018-36639-y	Q1
88.	Full Tetragonal Phase Stabilization in ZrO <sub>2</sub> Nanoparticles Using Wet Impregnation: Interplay of Host Structure, Dopant	<i>NANOMATERIALS</i> , <b>8</b> ,988 (2018)	Colbea, C; Avram, D; Cojocaru, B; Negrea, R; Ghica, C; Kessler, VG; Seisenbaeva, GA;	3.504	0.696	10.3390/nano8120988	Q1

	Concentration and Sensitivity of Characterization Technique		Parvulescu, V; Tiseanu, C				
89.	X Ray study of GZO thin films	ACTA CRYSTALLOGRAPHIC A A-FOUNDATION AND ADVANCES, <b>74</b> , pp.E287-E287 (2018)	Sbarcea, BG; Prepelita, P; Leonat, LN	7.930	1.209	10.1107/S2053273318090848	Q1
90.	Reticulated Mesoporous TiO <sub>2</sub> Scaffold, Fabricated by Spray Coating, for Large-Area Perovskite Solar Cells	ENERGY TECHNOLOGY,,UNSP 1900922 ()	Tomulescu, AG; Stancu, V; Besleaga, C; Enculescu, M; Nemnes, GA; Florea, M; Dumitru, V; Pintilie, L; Pintilie, I; Leonat, L	3.175	0.656	10.1002/ente.201900922	Q2
91.	Photoluminescence and thermoluminescence properties of the Sr <sub>3</sub> Al <sub>2</sub> O <sub>6</sub> :Eu <sup>3+</sup> /Eu <sup>2+</sup> ,Tb <sup>3+</sup> + persistent phosphor	JOURNAL OF LUMINESCENCE, <b>214</b> , 116540 (2019)	Gingasu, D; Mindru, I; Ianculescu, A; Preda, S; Negrila, C; Secu, M	2.732	0.423	10.1016/j.jlu min.2019.116540	Q2
92.	Photoluminescence and structural properties of the nitrogen doped TiO <sub>2</sub> and the influence of SiO <sub>2</sub> and Ag nanoparticles	JOURNAL OF PHYSICS-CONDENSED MATTER, <b>31</b> ,375201 (2019)	Nila, A; Baibarac, M; Udrescu, A; Smaranda, I; Mateescu, A; Mateescu, G; Mereuta, P; Negrila, CC	2.617	0.805	10.1088/1361-648X/ab2692	Q2
93.	Backaction effects in cavity-coupled quantum conductors	PHYSICAL REVIEW B, <b>100</b> ,125416 (2019)	Moldoveanu, V; Dinu, IV; Manolescu, A; Gudmundsson, V	3.813	1.142	10.1103/PhysRevB.100.125416	Q2
94.	Probing single-unit-cell resolved electronic structure modulations in oxide superlattices with standing-wave photoemission	PHYSICAL REVIEW B, <b>100</b> ,125119 (2019)	Yang, W; Chandrasena, RU; Gu, M; dos Reis, RMS; Moon, EJ; Arab, A; Husanu, MA; Nemsak, S; Gullikson, EM; Ciston, J; Strocov, VN; Rondinelli, JM; May, SJ; Gray, AX	3.813	1.142	10.1103/PhysRevB.100.125119	Q2
95.	Study of the Structure and Antimicrobial Activity of Ca-Deficient Ceramics on Chlorhexidine Nanoclay Substrate	MATERIALS, <b>12</b> ,2996 (2019)	Pazourkova, L; Reli, M; Hundakova, M; Pazdiora, E; Predoi, D; Martynkova, GS; Lafdi, K	2.467	0.625	10.3390/mal2182996	Q2
96.	3D Superparamagnetic Scaffolds for Bone Mineralization under Static Magnetic Field Stimulation	MATERIALS, <b>12</b> ,2834 (2019)	Paun, IA; Calin, BS; Mustaciosu, CC; Mihailescu, M; Moldovan, A;	2.467	0.625	10.3390/mal2172834	Q2

			Crisan, O; Leca, A; Luculescu, CR				
97.	The influence of UV light on the azathioprine photodegradation: New evidences by photoluminescence	<i>RESULTS IN PHYSICS</i> , <b>14</b> ,102443 (2019)	Smaranda, I; Nila, A; Manta, CM; Samohvalov, D; Gherca, D; Baibarac, M	2.147	0.278	10.1016/j.rin p.2019.1024 43	Q2
98.	Physical properties of Cu and Dy co-doped ZnO thin films prepared by radio frequency magnetron sputtering for hybrid organic/inorganic electronic devices	<i>THIN SOLID FILMS</i> , <b>685</b> , pp.379-384 (2019)	Locovei, C; Coman, D; Radu, A; Ion, L; Antohe, VA; Vasile, N; Dumitru, A; Iftimie, S; Antohe, S	1.939	0.356	10.1016/j.tsf. 2019.06.027	Q2
99.	Crystallization processes in europium-doped Bi4Ge3O12 glass materials	<i>JOURNAL OF LUMINESCENCE</i> , <b>213</b> , pp.235-240 (2019)	Polosan, S	2.732	0.423	10.1016/j.jlu min.2019.05. 031	Q2
100.	Generalized Master Equation Approach to Time-Dependent Many-Body Transport	<i>ENTROPY</i> , <b>21</b> ,731 (2019)	Moldoveanu, V; Manolescu, A; Gudmundsson, V	2.305	0.564	10.3390/e21 080731	Q2
101.	Formation of a Bistable Interstitial Complex in Irradiated p-Type Silicon	<i>PHYSICA STATUS SOLIDI A-APPLICATIONS AND MATERIALS SCIENCE</i> , <b>216</b> ,1900354 (2019)	Makarenko, LF; Lastovski, SB; Yakushevich, HS; Gaubas, E; Pavlov, J; Kozlovski, VV; Moll, M; Pintilie, I	1.795	0.392	10.1002/pssa .201900354	Q2
102.	Annealing of preexisting defects in silicon single crystals by ion irradiation	<i>NUCLEAR INSTRUMENTS &amp; METHODS IN PHYSICS RESEARCH SECTION B-BEAM INTERACTIONS WITH MATERIALS AND ATOMS</i> , <b>450</b> , pp.85-89 (2019)	Mihai, MD; Ionescu, P; Pantelica, D; Petrascu, H; Craciun, D; Craciun, V; Vasiliu, F; Vasile, BS; Mercioniu, I	1.323	0.367	10.1016/j.ni mb.2018.09. 005	Q2
103.	The Quality of Fe14Cr ODS Powder Alloys During Milling and Upon Heating and Its Impact on the Mechanical Properties of Consolidated Steels	<i>METALLURGICAL AND MATERIALS TRANSACTIONS A-PHYSICAL METALLURGY AND MATERIALS SCIENCE</i> , <b>50A</b> , pp.3282-3294 (2019)	Mihalache, V; Walter, M; Mercioniu, I; Ordas, N	1.887	0.554	10.1007/s11 661-019- 05264-3	Q2
104.	Structural, electric and pyroelectric properties of up and down graded PZT multilayers	<i>CURRENT APPLIED PHYSICS</i> , <b>19</b> , pp.804-810 (2019)	Botea, M; Hrib, L; Pasuk, I; Iuga, A; Trupina, L; Negrea, R; Becherescu, N; Pintilie, L	2.058	0.417	10.1016/j.ca p.2019.04.01 0	Q2
105.	Effect of dilute doping and non-equilibrium synthesis on the structural, luminescent and magnetic properties of nanocrystalline Zn <sub>1-x</sub> Ni <sub>x</sub> O	<i>MATERIALS RESEARCH BULLETIN</i> , <b>115</b> , pp.37-48 (2019)	Mihalache, V; Negrila, C; Bercu, V; Secu, M; Vasile, E; Stan, GE	2.873	0.407	10.1016/j.ma terresbull.20 19.03.001	Q2

	(x=0.0025-0.03)						
106.	Gd <sup>3+</sup> co-doping influence on the morphological, up-conversion luminescence and magnetic properties of LiYF <sub>4</sub> :Yb <sup>3+</sup> /Er <sup>3+</sup> nanocrystals	<i>JOURNAL OF PHYSICS AND CHEMISTRY OF SOLIDS</i> , <b>130</b> , pp.236-241 (2019)	Secu, CE; Bartha, C; Matei, E; Negrilă, C; Crisan, A; Secu, M	2.207	0.371	10.1016/j.jpc s.2019.03.003	Q2
107.	Structural Change in Ni-Fe-Ga Magnetic Shape Memory Alloys after Severe Plastic Deformation	<i>MATERIALS</i> , <b>12</b> ,1939 (2019)	Gurau, G; Gurau, C; Tolea, F; Sampath, V	2.467	0.625	10.3390/ma1 2121939	Q2
108.	Effect of high gamma radiations on physical properties of In <sub>2</sub> S <sub>3</sub> thin films grown by chemical bath deposition for buffer layer applications	<i>RESULTS IN PHYSICS</i> , <b>13</b> ,102115 (2019)	Souli, M; Bensalem, Y; Secu, M; Bartha, C; Enculescu, M; Mejri, A; Kamoun-Turki, N; Badica, P	2.147	0.278	10.1016/j.rin p.2019.02.051	Q2
109.	Bulk Versus Surface Modification of Alumina with Mn and Ce Based Oxides for CH <sub>4</sub> Catalytic Combustion	<i>MATERIALS</i> , <b>12</b> ,1771 (2019)	Neatu, S; Trandafir, MM; Stanoiu, A; Florea, OG; Simion, CE; Leonat, LN; Cobianu, C; Gheorghe, M; Florea, M; Neatu, F	2.467	0.625	10.3390/ma1 2111771	Q2
110.	Peppermint Essential Oil-Doped Hydroxyapatite Nanoparticles with Antimicrobial Properties	<i>MOLECULES</i> , <b>24</b> ,2169 (2019)	Badea, ML; Iconaru, SL; Groza, A; Chifiriuc, MC; Beuran, M; Predoi, D	3.098	0.631	10.3390/mol ecules24112 169	Q2
111.	Polarization branches and optimization calculation strategy applied to ABO(3) ferroelectrics	<i>MODELLING AND SIMULATION IN MATERIALS SCIENCE AND ENGINEERING</i> , <b>27</b> ,045 008 (2019)	Filip, LD; Plugariu, N; Pintilie, L	1.793	0.785	10.1088/136 1- 651X/ab146 e	Q2
112.	The Influence of Heteroatom Dopants Nitrogen, Boron, Sulfur, and Phosphorus on Carbon Electrocatalysts for the Oxygen Reduction Reaction	<i>CHEMPLUSCHEM</i> , <b>84</b> , pp.457-464 (2019)	Preuss, K; Siwoniku, AM; Bucur, CI; Titirici, MM	3.205	0.609	10.1002/cplu .201900083	Q2
113.	Sub-lattice polarization states in anti-ferroelectrics and their relaxation process	<i>CURRENT APPLIED PHYSICS</i> , <b>19</b> , pp.651-656 (2019)	Vopson, MM; Tan, X; Namvar, E; Belusky, M; Thompson, SP; Kuncser, V; Plazaola, F; Unzueta, I; Tang, CC	2.058	0.417	10.1016/j.ca p.2019.03.009	Q2
114.	Enhancement in magnetic and dielectric properties of the ruthenium-doped copper ferrite(Ru - CuFe <sub>2</sub> O <sub>4</sub> ) nanoparticles	<i>JOURNAL OF MAGNETISM AND MAGNETIC MATERIALS</i> , <b>476</b> , pp.18-23 (2019)	Manikandan, V; Kuncser, V; Vasile, B; Kavita, S; Vigneselvan, S; Mane, RS	3.046	0.466	10.1016/j.jmm.2018.12. 050	Q2

115.	Epitaxial Non c-Axis Twin-Free Bi <sub>2</sub> Sr <sub>2</sub> CaCu <sub>2</sub> O <sub>8+</sub> Thin Films for Future THz Devices	<i>MATERIALS</i> , <b>12</b> ,1124 (2019)	Endo, K; Arisawa, S; Badica, P	2.467	0.625	10.3390/ma12071124	Q2
116.	Presence and distribution of impurity defects in crystalline cubic boron nitride. A spectroscopic study	<i>RADIATION MEASUREMENTS</i> , <b>123</b> , pp.21-25 (2019)	Nistor, SV; Nistor, LC; Joita, AC; Vlaicu, AM	1.369	0.380	10.1016/j.rad meas.2019.02.003	Q2
117.	Structure of defects in semiconductor crystalline cubic boron nitride. A microstructural and micro analytical investigation	<i>RADIATION MEASUREMENTS</i> , <b>123</b> , pp.78-82 (2019)	Nistor, LC; Vlaicu, AM; Nistor, SV	1.369	0.380	10.1016/j.rad meas.2019.02.019	Q2
118.	Spontaneous symmetry breaking in the laser transition	<i>PHYSICAL REVIEW B</i> , <b>99</b> ,115313 (2019)	Gartner, P	3.813	1.142	10.1103/PhysRevB.99.115313	Q2
119.	Prototype Orthopedic Bone Plates 3D Printed by Laser Melting Deposition	<i>MATERIALS</i> , <b>12</b> ,906 (2019)	Chioibasu, D; Achim, A; Popescu, C; Stan, GE; Pasuk, I; Enculescu, M; Iosub, S; Duta, L; Popescu, A	2.467	0.625	10.3390/ma12060906	Q2
120.	Fabrication and characterization of Ru-doped LiCuFe <sub>2</sub> O <sub>4</sub> nanoparticles and their capacitive and resistive humidity sensor applications	<i>JOURNAL OF MAGNETISM AND MAGNETIC MATERIALS</i> , <b>474</b> , pp.563-569 (2019)	Manikandan, V; Tudorache, F; Petrila, J; Mane, RS; Kuncser, V; Vasile, B; Morgan, D; Vigneselvan, S; Mirzaei, A	3.046	0.466	10.1016/j.jmm.2018.11.072	Q2
121.	Behavior of Molybdenum-Vanadium Mixed Oxides in Selective Oxidation and Disproportionation of Toluene	<i>MATERIALS</i> , <b>12</b> ,748 (2019)	Mitran, G; Neatu, F; Pavel, OD; Trandafir, MM; Florea, M	2.467	0.625	10.3390/ma12050748	Q2
122.	Passive magnetic shielding by machinable MgB <sub>2</sub> bulks: measurements and numerical simulations	<i>SUPERCONDUCTOR SCIENCE &amp; TECHNOLOGY</i> , <b>32</b> ,034004 (2019)	Gozzelino, L; Gerbaldo, R; Ghigo, G; Laviano, F; Torsello, D; Bonino, V; Truccato, M; Batalu, D; Grigoroscuta, MA; Burdusel, M; Aldica, GV; Badica, P	2.861	0.821	10.1088/1361-6668/aaf99e	Q2
123.	Zinc Doped Hydroxyapatite Thin Films Prepared by Sol-Gel Spin Coating Procedure	<i>COATINGS</i> , <b>9</b> ,156 (2019)	Predoi, D; Iconaru, SL; Predoi, MV; Buton, N; Motelica-Heino, M	2.350	0.510	10.3390/coatings9030156	Q2
124.	Do topology and ferromagnetism cooperate at the EuS/Bi <sub>2</sub> Se <sub>3</sub> interface?	<i>PHYSICAL REVIEW B</i> , <b>99</b> ,064423 (2019)	Krieger, JA; Ou, Y; Caputo, M; Chikina, A; Dobeli, M; Husanu, MA;	3.813	1.142	10.1103/PhysRevB.99.064423	Q2

			Keren, I; Prokscha, T; Suter, A; Chang, CZ; Moodera, JS; Strocov, VN; Salman, Z				
125.	Naturally-Derived Biphasic Calcium Phosphates through Increased Phosphorus-Based Reagent Amounts for Biomedical Applications	<i>MATERIALS</i> , <b>12</b> ,381 (2019)	Mocanu, AC; Stan, GE; Maidaniuc, A; Miculescu, M; Antoniac, IV; Ciocoiu, RC; Voicu, SI; Mitran, V; Cimpean, A; Miculescu, F	2.467	0.625	10.3390/ma12030381	Q2
126.	Comparison between dielectric and pyroelectric properties of PZFNT and BST type ceramics	<i>PROCESSING AND APPLICATION OF CERAMICS</i> , <b>13</b> , pp.269-276 (2019)	Stancu, V; Amarande, L; Botea, M; Iuga, A; Leonat, LN; Tomulescu, AG; Cioangher, M; Balescu, LM; Pintilie, L	1.152	Not Available	10.2298/PAC1903269S	Q2
127.	Ferroelectric Field Effect Transistors Based on PZT and IGZO	<i>IEEE JOURNAL OF THE ELECTRON DEVICES SOCIETY</i> , <b>7</b> , pp.268-275 (2019)	Besleaga, C; Radu, R; Balescu, LM; Stancu, V; Costas, A; Dumitru, V; Stan, G; Pintilie, L	2.696	0.837	10.1109/JEDS.2019.2895367	Q2
128.	Composite BNT-BT0.08/CoFe <sub>2</sub> O <sub>4</sub> with core-shell nanostructure for piezoelectric and ferromagnetic applications	<i>MATERIALS SCIENCE AND ENGINEERING B-ADVANCED FUNCTIONAL SOLID-STATE MATERIALS</i> , <b>240</b> , pp.7-15 (2019)	Cernea, M; Vasile, BS; Ciuchi, IV; Surdu, VA; Bartha, C; Iuga, A; Galizia, P; Galassi, C	3.316	0.476	10.1016/j.ms.2019.01.001	Q2
129.	Pulsed Laser Deposition of Indium Tin Oxide Thin Films on Nanopatterned Glass Substrates	<i>COATINGS</i> , <b>9</b> ,19 (2019)	Socol, M; Preda, N; Rasoga, O; Costas, A; Stanculescu, A; Breazu, C; Gherendi, F; Socol, G	2.350	0.510	10.3390/coatings9010019	Q2
130.	Room temperature ferromagnetism and its correlation to ferroelectricity of manganese embedded in lead zirco-titanate	<i>THIN SOLID FILMS</i> , <b>669</b> , pp.440-449 (2019)	Bucur, IC; Apostol, NG; Abramiuc, LE; Tanase, LC; Tache, CA; Lungu, GA; Costescu, RM; Chirila, CF; Trupina, L; Pintilie, L; Teodorescu, CM	1.939	0.356	10.1016/j.tsf.2018.11.018	Q2
131.	Bioactive Glasses and Glass-Ceramics for Healthcare Applications in Bone Regeneration and Tissue Engineering	<i>MATERIALS</i> , <b>11</b> ,2530 (2018)	Fernandes, HR; Gaddam, A; Rebelo, A; Brazete, D; Stan, GE; Ferreira, JMF	2.467	0.625	10.3390/ma1122530	Q2
132.	X-ray Crystal Structure, Geometric Isomerism, and Antimicrobial Activity of	<i>MOLECULES</i> , <b>23</b> ,3253 (2018)	Vlaicu, ID; Borodi, G; Scaeteanu, GV; Chifiriuc, MC;	3.098	0.631	10.3390/molecules23123253	Q2

	New Copper(II) Carboxylate Complexes with Imidazole Derivatives		Marutescu, L; Popa, M; Stefan, M; Mercioniu, IF; Maurer, M; Daniliuc, CG; Olar, R; Badea, M				
133.	Charge Transfer from Alq(3)-5Cl to Graphene Oxide in Donor-Acceptor Heterostructures	<i>JOURNAL OF ELECTRONIC MATERIALS</i> , <b>48</b> , pp.- (2019)	Polosan, S; Ciobotaru, CC; Ciobotaru, IC	1.566	0.302	10.1007/s11664-019-07531-w	Q3
134.	Structural and electronic properties of the alpha-GeSe surface	<i>SURFACE SCIENCE</i> , <b>686</b> , pp.17-21 (2019)	Jiao, Z; Yao, QR; Balescu, LM; Liu, QJ; Bin, T; Zandvliet, HJW	1.997	0.515	10.1016/j.susc.2019.03.007	Q3
135.	Tryptophan / Dextran70 Based-Fluorescent Silver Nanoparticles: Synthesis and Physicochemical Properties	<i>JOURNAL OF FLUORESCENCE</i> , <b>29</b> , pp.981-992 (2019)	Voicescu, M; Ionescu, S; Calderon-Moreno, JM; Teodorescu, VS; Anastasescu, M; Culita, DC	1.665	0.280	10.1007/s10895-019-02411-2	Q3
136.	A Dyson Equation for Non-Equilibrium Green's Functions in the Partition-Free Setting	<i>PHYSICA STATUS SOLIDI B-BASIC SOLID STATE PHYSICS</i> , <b>256</b> ,1800447 (2019)	Cornean, HD; Moldoveanu, V; Pillet, CA	1.729	0.412	10.1002/pssb.201800447	Q3
137.	Photoconductive Behavior of the PPV/RGO Composites: Insights of Charge Transfer Process	<i>PHYSICA STATUS SOLIDI B-BASIC SOLID STATE PHYSICS</i> , <b>256</b> ,1800392 (2019)	Ilie, M; Dragoman, D; Baibarac, M	1.729	0.412	10.1002/pssb.201800392	Q3
138.	Molecular scale biophysical methodologies for levo-thyroxine interaction with DNA	<i>EUROPEAN BIOPHYSICS JOURNAL WITH BIOPHYSICS LETTERS</i> , <b>48</b> , pp.S241-S241 (2019)	David, M; Enache, A; Moga, M; Florescu, M	1.935	0.482		Q3
139.	Structural and optical properties of ZnO thin films grown by rapid atmospheric mist chemical vapor technique	<i>OPTICAL AND QUANTUM ELECTRONICS</i> , <b>51</b> ,210 (2019)	Derbali, S; Nouneh, K; Galca, AC; Touhami, ME; Secu, M; Matei, E; Leonat, LN; Pintilie, L; El Harfaoui, N; Fahoume, M	1.168	0.196	10.1007/s11082-019-1937-2	Q3
140.	Interaction and Size Effects in Open Nano-Electromechanical Systems	<i>PHYSICA STATUS SOLIDI B-BASIC SOLID STATE PHYSICS</i> , <b>256</b> ,1800443 (2019)	Tanatar, B; Moldoveanu, V; Dragomir, R; Stanciu, S	1.729	0.412	10.1002/pssb.201800443	Q3
141.	Vibrational and photoluminescence properties of polydiphenylamine doped with silicotungstic acid heteropolyanions and their	<i>JOURNAL OF MOLECULAR STRUCTURE</i> , <b>1184</b> , pp.25-35 (2019)	Baibarac, M; Stroe, M; Fejer, SN	2.011	0.262	10.1016/j.molstruc.2019.02.014	Q3

	composites with reduced graphene oxide						
142.	Coordination polymers and a dinuclear complex constructed from zinc(II) ions and fluorescein: iodine adsorption and optical properties	<i>JOURNAL OF COORDINATION CHEMISTRY</i> , <b>72</b> , pp.1222-1237 (2019)	Raduca, M; Ene, CD; Ionescu, S; Florea, M; Madalan, AM	1.703	0.167	10.1080/00958972.2019.1605442	Q3
143.	Physical properties investigation of samarium doped calcium sulfate thin films under high gamma irradiations for space photovoltaic and dosimetric applications	<i>SUPERLATTICES AND MICROSTRUCTURES</i> , <b>126</b> , pp.103-119 (2019)	Souli, M; Reghima, M; Secu, M; Bartha, C; Enculescu, M; Mejri, A; Kamoun-Turki, N; Badica, P	2.099	0.333	10.1016/j.supmi.2018.12.021	Q3
144.	Multiferroic (Nd,Fe)-doped PbTiO <sub>3</sub> thin films obtained by pulsed laser deposition	<i>APPLIED PHYSICS A-MATERIALS SCIENCE &amp; PROCESSING</i> , <b>125</b> , 113 (2019)	Dumitru-Grivei, M; Ion, V; Birjega, R; Moldovan, A; Craciun, F; Cernea, M; Galassi, C; Dinescu, M	1.604	0.327	10.1007/s00339-019-2403-5	Q3
145.	PHOTO-ELECTRICAL PROPERTIES OF THIN FILMS WITH GE NANOPARTICLES EMBEDDED IN TIO <sub>2</sub> MATRIX	<i>ROMANIAN REPORTS IN PHYSICS</i> , <b>71</b> ,504 (2019)	Stavarache, I; Maraloiu, VA	1.582	0.255		Q3
146.	Production and Structural Characterization of Some Magnesium Matrix Composites Reinforced with Amorphous/Nanocrystalline NiTi Particulates	<i>REVISTA DE CHIMIE</i> , <b>69</b> , pp.3503-3507 (2018)	Ciurdas, M; Neculescu, DA; Pantilimon, CM; Ion, V; Galatanu, M; Ruiu, G; Dumitrescu, RE	1.412	0.047		Q3
147.	Electronic phase separation at LaAlO <sub>3</sub> /SrTiO <sub>3</sub> interfaces tunable by oxygen deficiency	<i>PHYSICAL REVIEW MATERIALS</i> , <b>3</b> ,106001 (2019)	Strocov, VN; Chikina, A; Caputo, M; Husanu, MA; Bisti, F; Bracher, D; Schmitt, T; Granozio, FM; Vaz, CAF; Lechermann, F	Not Available	Not Available	10.1103/PhysRevMaterials.3.106001	Q4
148.	Effect of slow charged 90 keV Ne <sup>8+</sup> ions on zinc ferrite nanoparticles	<i>MATERIALS RESEARCH EXPRESS</i> , <b>6</b> ,095077 (2019)	Trandafir, EV; Caltun, OF; Ciocarlan, R; Pui, A; Hempelmann, R; Diamandescu, L; Cervera, S; Trassinelli, M; Vernhet, D	1.151	0.239	10.1088/2053-1591/ab3174	Q4
149.	STRUCTURAL EVOLUTION OF THE NiTi/NiFeGa SMART HYBRID MATERIAL DURING SEVERE	<i>DIGEST JOURNAL OF NANOMATERIALS AND BIOSTRUCTURES</i> , <b>14</b> , pp.539-546 (2019)	Gurau, C; Gurau, G; Tolea, F; Sampath, V	0.673	0.143		Q4

	PLASTIC DEFORMATION						
150.	Efficiency enhancement of iridium-based organometallic light emitting diodes	<i>MATERIALS RESEARCH EXPRESS</i> , <b>6</b> ,055104 (2019)	Polosan, S	1.151	0.239	10.1088/2053-1591/ab0625	Q4
151.	STRUCTURAL, DIELECTRIC AND PYROELECTRIC PROPERTIES OF Nb AND Fe DOPED PZT CERAMICS	<i>DIGEST JOURNAL OF NANOMATERIALS AND BIOSTRUCTURES</i> , <b>14</b> , pp.225-230 (2019)	Stancu, V; Amarande, L; Botea, M; Cioangher, M; Tomulescu, A; Iuga, A; Pintilie, L	0.673	0.143		Q4
152.	Martensitic transformation and related properties of Fe69.4Pd30.6 ferromagnetic shape memory ribbons	<i>JOURNAL OF OPTOELECTRONICS AND ADVANCED MATERIALS</i> , <b>20</b> , pp.701-706 (2018)	Tolea, F; Sofronie, M	0.390	0.055		Q4
153.	CERAMIC THIN FILMS DEPOSITED BY SPIN COATING AS COATINGS FOR METALLIC IMPLANTS	<i>REVISTA ROMANA DE MATERIALE-ROMANIAN JOURNAL OF MATERIALS</i> , <b>48</b> , pp.401-406 (2018)	Busuioc, C; Constantinoiu, I; Enculescu, M; Beregoi, M; Jinga, SI	0.661	0.070		Q4
154.	GeSn Nanocrystals in GeSnSiO <sub>2</sub> by Magnetron Sputtering for Short-Wave Infrared Detection	<i>ACS APPLIED NANO MATERIALS</i> , <b>2</b> , pp.3626-3635 (2019)	Slav, A; Palade, C; Logofatu, C; Dascalescu, I; Lepadatu, AM; Stavarache, I; Comanescu, F; Iftimie, S; Antohe, S; Lazanu, S; Teodorescu, VS; Buca, D; Ciurea, ML; Braic, M; Stoica, T	not available	not available	10.1021/acsa nm.9b00571	not available
155.	Phase Control in Hafnia: New Synthesis Approach and Convergence of Average and Local Structure Properties	<i>ACS OMEGA</i> , <b>4</b> , pp.8881-8891 (2019)	Cojocaru, B; Avram, D; Negrea, R; Ghica, C; Kessler, VG; Seisenbaeva, GA; Parvulescu, VI; Tiseanu, C	not available	not available	10.1021/acso mega.9b00580	not available
156.	Particularities of trichloroethylene photocatalytic degradation over crystalline RbLaTa <sub>2</sub> O <sub>7</sub> nanowire bundles grown by solid-state synthesis route	<i>JOURNAL OF ENVIRONMENTAL CHEMICAL ENGINEERING</i> , <b>7</b> , UNS P 102789 (2019)	Raciulete, M; Papa, F; Kawamoto, D; Munteanu, C; Culita, DC; Negrilă, C; Atkinson, I; Bratan, V; Pandele-Cusu, J; Balint, I	not available	not available	10.1016/j.jec e.2018.11.034	not available
157.	Fe <sub>3</sub> O <sub>4</sub> /BaTiO <sub>3</sub> COMPOSITES WITH CORE-SHELL STRUCTURE	<i>UNIVERSITY POLITEHNICA OF BUCHAREST SCIENTIFIC BULLETIN SERIES B-CHEMISTRY AND</i>	Tanasa, E; Andronescu, E; Cernea, M; Oprea, OC	not available	not available		not available

		<i>MATERIALS SCIENCE</i> , 81, pp.171-180 (2019)					
158.	Capatani/Parang Mountains: Polovragi Cave-Olteturui Gorge Karst Area	<i>CAVE AND KARST SYSTEMS OF ROMANIA</i> , pp.83-91 (2019)	Ponta, GML; Aldica, GV; Dumitru, R	not available	not available	10.1007/978-3-319-90747-5_12	not available
159.	Mehedinti Mountains: Martel and Lazului Caves	<i>CAVE AND KARST SYSTEMS OF ROMANIA</i> , pp.157-163 (2019)	Ponta, GML; Aldica, GV; Tulucan, T	not available	not available	10.1007/978-3-319-90747-5_19	not available
160.	Spectroscopic Characterisation of Multiferroic Interfaces	<i>SPECTROSCOPY OF COMPLEX OXIDE INTERFACES: PHOTOEMISSION AND RELATED SPECTROSCOPIES</i> , 266, pp.245-281 (2018)	Husanu, MA; Vaz, CAF	not available	not available	10.1007/978-3-319-74989-1_10	not available
161.	ESR Study of Irradiated Polysaccharides ESR investigation of gamma irradiated pectin	<i>4TH INTERNATIONAL SCIENTIFIC CONFERENCE SEA-CONF 2018</i> , 172, 012003 (2018)	Slave, RM; Grecu, MN; Grecu, VV	not available	not available	10.1088/1755-1315/172/1/012003	not available
162.	Influence of Ionizing Radiations on Structural and Antibacterial Properties of Hydroxyapatite-Polydimethylsiloxane Layers	<i>9TH INTERNATIONAL CONFERENCE ON TIMES OF POLYMERS AND COMPOSITES: FROM AEROSPACE TO NANOTECHNOLOGY</i> , 1981, UNSP 020123 (2018)	Groza, A; Iconaru, SL; Petre, CC; Jiga, G; Badea, ML; Prodan, AM; Beuran, M; Chapon, P; Gaianschi, S; Ganciu, M; Verga, N; Trusca, R; Vineticu, N; Predoi, D	not available	not available	10.1063/1.5045985	not available
163.	ZnHAp Thin Films for Medical Applications	<i>9TH INTERNATIONAL CONFERENCE ON TIMES OF POLYMERS AND COMPOSITES: FROM AEROSPACE TO NANOTECHNOLOGY</i> , 1981, UNSP 020122 (2018)	Iconaru, SL; Groza, A; Chapon, P; Gaianschi, S; Petre, CC; Jiga, G; Beuran, M; Prodan, AM; Lupescu, O; Trusca, R; Predoi, D	not available	not available	10.1063/1.5045984	not available
164.	Commercial Hydroxyapatite Powders for Lead Removal from Aqueous Solution	<i>9TH INTERNATIONAL CONFERENCE ON TIMES OF POLYMERS AND COMPOSITES: FROM AEROSPACE TO NANOTECHNOLOGY</i> , 1981, UNSP 020121 (2018)	Negrila, CC; Iconaru, SL; Motelica-Heino, M; Guegan, R; Predoi, G; Barbuceanu, F; Ghita, RV; Petre, CC; Jiga, G; Badea, ML; Prodan, AM; Predoi, D	not available	not available	10.1063/1.5045983	not available
165.	Antimicrobial Studies on Iron Oxide-Dextran Colloidal Suspension	<i>9TH INTERNATIONAL CONFERENCE ON TIMES OF</i>	Predoi, D; Iconaru, SL; Buton, N; Predoi, G;	not available	not available	10.1063/1.5045967	not available

		<i>POLYMERS AND COMPOSITES: FROM AEROSPACE TO NANOTECHNOLOGY, 1981, UNSP 020105 (2018)</i>	Barbuceanu, F; Petre, CC; Jiga, G; Badea, ML; Prodan, AM				
166.	AlN/Si based SAW resonators for very high sensitivity temperature sensors	<i>2018 IEEE INTERNATIONAL ULTRASONICS SYMPOSIUM (IUS), pp.- (2018)</i>	Nicoloiu, A; Muller, A; Zdru, I; Vasilache, D; Stan, GE; Nastase, C; Dumitru, V; Dinescu, A	not available	not available		not available
167.	Limits and Particularities of the Synthesis of Ba <sub>1-x</sub> CaxTiO <sub>3</sub> for Piezoelectric Applications, by Topochemical Conversion from Molten Salt Solutions	<i>2018 INTERNATIONAL CONFERENCE AND EXPOSITION ON ELECTRICAL AND POWER ENGINEERING (EPE), pp.1047-1050 (2018)</i>	Vlaicu, ID; Maraloiu, AV; Ghica, D; Mercioniu, IF; Stefan, M; Vlaicu, AM; Negrea, RF; Kuncser, AC; Bulat, S; Krzmanic, MM; Ciobanu, R; Plopca, O	not available	not available		not available
168.	Polymer Dispersed Liquid Crystals films doped with carbon nanotubes - preparation methods	<i>ADVANCED TOPICS IN OPTOELECTRONICS, MICROELECTRONICS, AND NANOTECHNOLOGIES IX, 10977, UNSP 1097702 (2018)</i>	Manaila-Maximean, D; Circu, V; Ganea, P; Barar, A; Danila, O; Staicu, T; Loiko, VA; Konkolovich, AV; Miskevich, AA	not available	not available	10.1117/12.2326186	not available
169.	Impedance spectroscopy and electro-optic switching times of a liquid crystal-hydroxypropylcellulose network composite	<i>ADVANCED TOPICS IN OPTOELECTRONICS, MICROELECTRONICS, AND NANOTECHNOLOGIES IX, 10977, UNSP 109770P (2018)</i>	Maximean, DM; Barar, A; Ganea, CP; Almeida, PL; Danila, O	not available	not available	10.1117/12.2326224	not available
170.	New Lasing Regimes of High-beta Nanolasers	<i>2018 IEEE PHOTONICS SOCIETY SUMMER TOPICAL MEETING SERIES (SUM), pp.23-24 (2018)</i>	Lohof, F; Barzel, R; Gartner, P; Gies, C	not available	not available		not available

**4.2.2. Lucrări/comunicări științifice publicate la manifestări științifice (conferințe, seminarii, worksopuri, etc):**

Nr. crt.	Titlul articolului, Manifestarea științifică, Volumul, Pagina nr.	Nume Autor	An apariție	Nr. citări ISI
1.				
2.				

Nr.	Manifestare științifică	Titlu prezentare	Autori (Nume și prenume)	Tipul

Crt.	(denumire, perioada, locatie)			perezentarii (invitata, orala, poster)
Participari si prezentari sustinute financiar din proiectul 12PFE/2018, Etapele 2 si 3 din 2019				
1	EMN Epitaxy, Amsterdam June 17-21, 2019, Holland	New functionalities and findings in epitaxial ferroelectric structures	Georgia A. Boni, Lucian D. Filip, Cristina Chirila, Alin Iuga, I. Pasuk, Luminita Hrib, Lucian Trupina, Ioana Pintilie, Lucian Pintilie	Invited
2	Conferinta E-MRS 2019, 26.05-01.06.2019, Nice, Franta	Developing ferroelectric based multilayered thin films structures for new applications	Georgia A. Boni, Lucian D. Filip, Cristina Chirila, Alin Iuga, I. Pasuk, Luminita Hrib, Lucian Trupina, Ioana Pintilie, Lucian Pintilie	Oral
3	Conferinta RomCat 2019, 7-12 iunie 2019, Bucuresti, Romania	Lead photo-reduction from Pb(Zr,Ti)O <sub>3</sub> (001) investigated by photoelectron spectroscopy	Laura E. Abramiec <sup>1,2</sup> , Liviu C. Tănase <sup>1</sup> , Cristina F. Chirilă <sup>1</sup> , Alexei Barinov <sup>3</sup> , Cristian M. Teodorescu <sup>1</sup>	Oral
4	SPR summer school, June 6-11, 2019, Tampere, Finland	Surface charge and pH influence on BSA adsorption on Polyelectrolyte layers	Anca Aldea, Dominik Söder, Jari Väliaho	Oral
5	World Congress on Functional Materials and Nanotechnology May 13-14, 2019, Valencia, Spain	Mesoporous TiO <sub>2</sub> scaffold engineering in hybrid perovskite solar cells	Andrei Gabriel Tomulescu <sup>1,2</sup> , Viorica Stancu <sup>1</sup> , Cristina Beșleagă <sup>1</sup> , Monica Enculescu <sup>1</sup> , Mihaela Florea <sup>1</sup> , Viorel Dumitru <sup>1</sup> , Lucian Pintilie <sup>1</sup> , Ioana Pintilie <sup>1</sup> and Lucia Leonat <sup>1</sup>	Oral
6	Superconductivity meets Molecular Spins, Lisbon, Portugal, 22 March 2019	Ways toward multifunctionality in systems of biomolecules	Bogdana Borca	Oral
7	MECAME-GFSM 2019, 19-23 mai 2019, Franta / Montpellier	Magnetostriction effects in RE-Fe-B ribbons investigated by Mössbauer spectroscopy	C. Locovei, A. Alexandru, G. Schintieie, N. Iacob, A. Stanciu, S. Greculeasa, M. Sofronie, F. Tolea, C. Bartha and V. Kuncser	Poster
8	Conferinta E-MRS 2019, 26.05-01.06.2019, Nice, Franta	Effect of ITO electrode patterning on the properties of MAPLE prepared organic heterostructures based on non-fullerene acceptor	A. Stanculescu, C. Breazu, M. Socol si altii	Poster
9	Conferinta E-MRS 2019, 26.05-01.06.2019, Nice, Franta	Hybrid organic-inorganic heterostructures deposited by MAPLE la secatiunea Laser interaction with materials: from fundamentals to application.	M. Socol, N. Preda, A. Costas, C. Breazu si altii	Poster
10	Conferinta E-MRS 2019, 26.05-01.06.2019, Nice, Franta	Water stable photocatalysts based on zinc oxide and copper oxide core-shell	Camelia FLORICA, 1 Andreea COSTAS, 1* Nicoleta PREDA, 1 Mihaela BEREGOI, 1 Andrei KUNCSE, 1	Poster

		nanowires	Nicoleta APOSTOL, <sup>1</sup> Cristina POPA, <sup>2</sup> Gabriel SOCOL, <sup>2</sup> Victor DICULESCU, <sup>1</sup> and Ionut ENCULESCU <sup>1</sup>	
11	Conferinta E-MRS 2019, 26.05-01.06.2019, Nice, Franta	Studies of the epitaxial PbZr <sub>0.2</sub> Ti <sub>0.8</sub> O <sub>3</sub> thin films capacitor structures deposited on Si substrate	G. A. Boni <sup>1</sup> , C. Chirila <sup>1</sup> , L. D. Filip <sup>1</sup> , A. Iuga <sup>1</sup> , I. Pasuk <sup>1</sup> , L. Hrib <sup>1</sup> , L. Trupina <sup>1</sup> , A.M. Husanu <sup>1</sup> , C. Istrate <sup>1</sup> , Gwenael Le Rhun <sup>2</sup> , I. Pintilie <sup>1</sup> , L. Pintilie <sup>1</sup>	Poster
12	EMN Epitaxy, Amsterdam June 17-21, 2019, Holland	Strain driven defects in epitaxial thin films: HRTEM quantification and nanoscale mapping	Corneliu Ghica, Raluca Negrea, Valentin Teodorescu, Cristina Chirila, Nicu Scarisoreanu, Lucian Pintilie	Invited
13	Conferinta E-MRS 2019, 26.05-01.06.2019, Nice, Franta	About hysteresis, dielectric constant and negative capacitance in PZT capacitors	Lucian Pintilie*, Andra Georgia Boni, Cristina Chirila, Luminita Hrib, Lucian Trupina, Lucian Dragos Filip	Invited
14	Conferinta RomCat 2019, 7-12 iunie 2019, Bucuresti, Romania	Coupling ferroelectric PZT(001) surfaces with noble metals (Ag) for dissociation of adsorbed molecules (CO)	Adela Nicolaev, Nicoleta G. Apostol, Ruxandra M. Costescu, Amelia E. Bocîrnea, Ioana A. Hristea, Cristina F. Chirilă, Cristian M. Teodorescu	Oral
15	Conferinta E-MRS 2019, 26.05-01.06.2019, Nice, Franta	ZnO-CuOcore-shell radial heterojunction nanowires: synthesis, properties and optoelectronic applications	Andreea COSTAS, Camelia FLORICA, Nicoleta PREDA, Nicoleta APOSTOL Andrei KUNCSER, Ionut ENCULESCU	Oral
16	World Congress on Functional Materials and Nanotechnology May 13-14, 2019, Valencia, Spain	Properties of electrochemically grown CdTenanowires	Melania Loredana ONEA <sup>1,2</sup> , Elena MATEI <sup>1</sup> , Monica ENCULESCU <sup>1</sup> , Ionut ENCULESCU <sup>1</sup>	Oral
17	9th International Conference of the Chemical Societies of the South-East European Countries Valahia University of Targoviste May 8, 2019 – May 11, 2019	La <sub>2</sub> O <sub>3</sub> -doped alumina supported cerium–manganese mixed oxides for CH <sub>4</sub> catalytic combustion	Mihaela M. Trandafir, <sup>a</sup> Ștefan Neațu, <sup>a</sup> Florentina Neațu, <sup>a</sup> Adelina Stănoiu, <sup>a</sup> Ovidiu G. Florea, <sup>a</sup> Cristian E. Simion, <sup>a</sup> Cornel Cobianu, <sup>b</sup> Marin Gheorghe, <sup>b</sup> Lucia N. Leonat, <sup>a</sup> Mihaela Florea <sup>a</sup>	Oral
18	9th Edition of International Conference on Chemistry Science and Technology & 11 <sup>th</sup> International Conference & Expo on Chromathography Techniques”, Dublin, Irlanda, 21.04-24.04.2019	Indium Tin Oxide Thin Films Deposited by Pulsed Laser Deposition on Nanopatterned Glass Substrates.	C. Breazu	Oral
19	Conferinta RomCat 2019, 7-12 iunie 2019, Bucuresti, Romania	CO adsorption, photodesorption and associated charge transfer on atomically clean graphene synthesized on	Cristina Bucur, Nicoleta G. Apostol, George A. Lungu, Cristian A. Tache, Cristian M. Teodorescu	Oral

		atomically clean Pt(001)		
20	Conferinta RomCat 2019, 7-12 iunie 2019, Bucuresti, Romania	Fast photoelectron spectroscopy follow-up of the efficiency of ferroelectric substrates for CO reduction / oxidation: the case of $Pb(Zr,Ti)O_3(001)$ decorated with gold nanoparticles	Nicoleta G. Apostol <sup>1</sup> , Marius A. Hușanu <sup>1</sup> , Daniel Lizzit <sup>2</sup> , Ioana A. Hristea <sup>1,3</sup> , Cristina F. Chirilă <sup>1</sup> , Lucian Trupină <sup>1</sup> , Cristian M. Teodorescu <sup>1*</sup>	Invited
21	GraFox Summer School, 03-9.06.2019, Italia,Milano	Ge Nanocrystals in $TiO_2$ Films for Near Infrared Optical Sensors	Ovidiu Cojocaru, Ioana Dascalescu, Catalin Palade, Adrian Slav National Institute of Materials Physics, Magurele, Romania	Oral
22	GraFOx Summer School (June 3-9, 2019), Centro Italo-Tedesco per l'Eccellenza Europea Villa Vigoni, Loveno di Menaggio (CO), Italia	Graphene-like carbon layers grown on ferroelectric $Pb(Zr,Ti)O_3(001)$	Nicoleta G. Apostol <sup>1</sup> , Adrian Lungu <sup>1</sup> , Cristina Dragoi <sup>1</sup> , Daniel Lizzit <sup>2</sup> , Paolo Lacovig <sup>2</sup> , Silvano Lizzit <sup>2</sup> , Lucian Pintilie <sup>1</sup> , Cristian M. Teodorescu <sup>1</sup>	Oral
23	GraFox Summer School, 03-9.06.2019, Italia,Milano	Study of crystalline phases by TEM/HRTEM techniques in ferroelectric oxides thin films based on HZO	M. C. Istrate <sup>1</sup> , C. GHICA <sup>1</sup> , R. F. Negrea <sup>1</sup>	Poster
24	GraFox Summer School, 03-9.06.2019, Italia,Milano	Microstructural Characterization of Ferroelectric Oxides Thin Films Based on Hafnia	C. Radu <sup>1</sup> , C.GHICA <sup>1</sup>	Poster
25	GraFox Summer School, 03-9.06.2019, Italia,Milano	Non Volatile Memory Trilayers with Floating Gate of GeSi Nanocrystals in $HfO_2$ and $SiO_2$	Ioana Lalau <sup>1</sup> , Catalin Palade <sup>1</sup> ,Ionel Stavarache <sup>1</sup>	Poster
26	GraFox Summer School, 03-9.06.2019, Italia,Milano	Band Alignment in a Ferroelectric Capacitor, Revisited	N. Plugaru	Oral
27	GraFox Summer School, 03-9.06.2019, Italia,Milano	Optoelectronic Properties of Heterojunction $ZnO-CuxO$ Core-Shell Nanowires	Andreea COSTAS,* CameliaFLORICA,NicoletaPREDA, NicoletaAPOSTOL, Andrei KUNCSEER, Andrei NITESCUand IonutENCULESCU1	Poster
28	GraFox Summer School, 03-9.06.2019, Italia,Milano	Properties of CdTenanowires contacted on a $SiO_2/Si$ substrate	MelaniaLoredanaONEA <sup>1,2</sup> , Elena MATEI <sup>1</sup> , Monica ENCULESCU <sup>1</sup> , IonutENCULESCU <sup>1</sup>	Poster
29	GraFox Summer School, 03-9.06.2019, Italia,Milano	Low Field Dielectric Properties of Sol-Gel Derived Ferroelectric Oxides With Perovskite Structure	Roxana E. Patru <sup>1*</sup> , Paul Ganea <sup>1</sup> , Catalina-Andreea Stanciu <sup>2</sup> , Vasile- Adrian Surdu <sup>2</sup> , Adelina-Carmen Ianculescu <sup>2</sup> , Ioana Pintilie <sup>1</sup> and Lucian Pintilie <sup>1</sup>	Oral
30	Conferinta SIPS 2019, 23-	Recent results and new	L. Pintilie, A. G. Boni, C. Chirila, L.	Invited

	27 octombrie, Pafos, Cipru	functionalities in ferroelectric based structures	Hrib, L.D. Filip, N. Plugaru, I. Pasuk, L. Trupina, R. Negrea, C. Istrate, L. Balescu, C. Besleaga, G. Stan, I. Pintilie,	
31	35-a Conferinta Internationala asupra Aplicatiilor Efectului Mossbauer, ICAME 2019, 1-6 septembrie, Dalian, China	Mössbauerspectroscopy explaining specific magneto-functionalities in RE-Fe amorphous thin films	V. Kuncser,A.E. Stanciu, A. Kuncser, C. Locovei, G. Schinteie, N. Iacob, N. Plugaru, O. Crisan	Invited
32	F2CP2 Joint Conference, 13-20 iulie 2019, Elvetia / Lausanne	Ferroelectric multilayered thin films structures for new storing and/or computing concepts	Georgia A. Boni, Lucian D. Filip, Cristina Chirila, Alin Iuga, I. Pasuk, Luminita Hrib, Lucian Trupina, Ioana Pintilie, Lucian Pintilie	Oral
33	European Advanced Materials Congress, 11-14 august, Suedia / Stockholm	Organometallics for OLED and OPV: fundamentals and applications	S. Polosan	Invited
34	International Summer School on Nanoscience and Nanotechnologies & International Conference on Nanoscience and Nanotechnologies ( ICNN ), 28 iun-6 iulie 2019, Grecia / Salonic	Nanoaggregates of impurities in superhard cubic boron nitride crystals	A. C. Joita*1,2, S. V. Nistor 1,2, L. C. Nistor 1, R. F. Negrea 1	Poster
35	International Summer School on Nanoscience and Nanotechnologies & International Conference on Nanoscience and Nanotechnologies ( ICNN ), 28 iun-6 iulie 2019, Grecia / Salonic	On the thermal stability of mesoporous metal oxide systems decorated with metallic nanoparticles for gas sensing applications	M. C. Istrate <sup>1</sup> , V. A. Maraloiu <sup>1</sup> , C. Radu <sup>1</sup> , I. D. Vlaicu <sup>1</sup> , S. Somacescu <sup>2</sup> , A. Kuncser <sup>1</sup> , C.Ghica <sup>1</sup>	Poster
36	ICSON – 2019, 19-21 august, Spania / Barcelona	Optical properties of the polystyrene /graphene oxide composites	M. Stroe <sup>1</sup> , M. Cristea <sup>1</sup> , E. Matei <sup>1</sup> , L. C. Cotet <sup>2</sup> , L. Pop <sup>2</sup> , L. Baia <sup>3</sup> , M. Baibarac <sup>1</sup>	Poster
37	NANOTECH France – 2019, 26-29.06.2019, Franta/ Paris	Composites based on poly(2, 2'-bithiophene) and TiO <sub>2</sub> nanoparticles: from chemical synthesis to optical properties and their applications in the leather and textile materials field	I. Smaranda <sup>1*</sup> , M. Stroe <sup>1</sup> , A. Radu <sup>1</sup> , R. Cercel <sup>1</sup> , C. Gaidau <sup>2</sup> , L. Chirila <sup>2</sup> , M. Baibarac <sup>1</sup>	Poster
38	9th International Conference on Amorphous and Nanostructured Chalcogenides- Fundamentals and Applications 30 June –04 July, 2019, Chisinau, Republic of Moldova	Nonvolatile resistance switching in monolayer transition metal dichalcogenides: an explanation	C. Mihaei, A. Velea, F. Sava*, A.T. Buruiana	Poster
39	IBWAP 2019, 16-20 iulie	Optical and conductive	M. Daescu <sup>1</sup> , A. Udrescu <sup>1</sup> , P. Ganea <sup>1</sup> ,	Poster

	2019, Constanta, Romania	properties of the composites based on iron oxide and carbon nanotube	I. Mercioniu <sup>1</sup> , N. Iacob <sup>1</sup> , V. Kuncser <sup>1</sup> , M. Baibarac <sup>1</sup>	
40	F2CP2 Joint Conference, 13-20 iulie 2019, Elvetia / Lausanne	Ferroelectric switching dynamic and negative capacitance regimes in epitaxial PbZr <sub>0.2</sub> Ti <sub>0.8</sub> O <sub>3</sub> based thin film capacitor	G. A. Boni <sup>1</sup> , C. Chirila <sup>1</sup> , L. D. Filip <sup>1</sup> , A. Iuga <sup>1</sup> , I. Pasuk <sup>1</sup> , L. Hrib <sup>1</sup> , L. Trupina <sup>1</sup> , I. Pintilie <sup>1</sup> , L. Pintilie <sup>1</sup>	Poster
41	F2CP2 Joint Conference, 13-20 iulie 2019, Elvetia / Lausanne	Optimization strategy for Berry phase polarization calculations	Lucian D. Filip, Neculai Plugaru and Lucian Pintilie	Poster
42	International Conference for Physics Students, August 10-17, 2019, Cologne, Germany	Te-based chalcogenide materials for selector applications	A.T. Buruiană <sup>a</sup> , A. Velea <sup>a,b</sup> , K. Opsomer <sup>b</sup> , W. Devulder <sup>b</sup> ,	Poster
43	50 <sup>th</sup> General Assembly & 47 <sup>th</sup> IUPAC World Chemistry Congress, 5-12 July, Paris, France, 2019	Mn-silica hollow spheres for ethanol transformation	Mihaela M. Trandafir, Ștefan Neațu, Mihaela Florea, Florentina Neațu	Poster
44	International Conference on Magnetism and Magnetic Materials, 19-20 august 2019, Londra, UK	Exchange interactions and associated magnetic and magneto-resistive properties of amorphous Fe-RE (RE = Gd, Dy) thin films	A.E. Stanciu <sup>1</sup> , G. Schintieie <sup>1</sup> , A. Kuncser <sup>1</sup> , N. Iacob <sup>1</sup> , V. Kuncser <sup>1</sup>	Poster
45	International Conference on Magnetism and Magnetic Materials, 19-20 august 2019, Londra, UK	Structural, magnetic and magneto-transport study of epitaxial LSMO films of different thicknesses deposited on STO	Simona G. Greculeasa <sup>1</sup> , Aurel Leca <sup>1,2</sup> , Andrei Kuncser <sup>1</sup> , Luminita Hrib <sup>1</sup> , Iuliana Pasuk <sup>1</sup> , Victor Kuncser <sup>1</sup>	Oral
Participari la conferinte in 2019 suportate financiar din alte surse, dar care contribuie la realizarea planului de dezvoltare al INCDFM pentru perioada 2018-2020				
1.	The 11 <sup>th</sup> International Conference on Materials Science and Engineering – BraMat, 13–16 March 2019, Brasov, Romania	Effect of processing parameters on the morphology, surface and mechanical properties of sintered ceramics prepared from fish bone	A. Maidaniuc, M. Miculescu, T.M. Butte, L.M. Boldu, R.C. Ciocoiu, F. Miculescu, G.E. Stan, T. Machedon-Pisu	Orala
2.	The 11 <sup>th</sup> International Conference on Materials Science and Engineering – BraMat, 13–16 March 2019, Brasov, Romania	Synthesis and characterization of biocompatible polymer-ceramic film structures as favorable interface in guided bone regeneration	C.A. Dascălu, A. Maidaniuc, I.V. Antoniac, F. Miculescu, A.M. Pandele, S.I. Voicu, T. Machedon-Pisu, G.E. Stan, A. Cîmpean, V. Mitrان	Orala
3.	The 11 <sup>th</sup> International Conference on Materials Science and Engineering – BraMat, 13–16 March 2019, Brasov, Romania	Internal and external surface features of newly developed porous ceramics with random, interconnected 3D channels by fibrous sacrificial porogen method	A.C. Mocanu, M. Miculescu, T. Machedon-Pisu, A. Maidaniuc, S.I. Voicu, R.C. Ciocoiu, A.M. Pandele, M Ionita, G.E. Stan, F. Miculescu	Orala

4.	European Materials Research Society (E-MRS) Conference – Spring Meeting, 27–31 May 2019, Nice, France	Synergetic antibacterial effect in alkali free bio glasses incorporated with ZnO and/or SrO as therapeutic agents	A.C. Popa, T. Tite, I.M. Bogdan, H.R. Fernandes, M. Neculescu, C. Luculescu, M. Cioangher, V. Dumitru, B.W. Stuart, D.M. Grant, J.M.F. Ferreira, G.E. Stan	Poster
5.	European Materials Research Society (E-MRS) Conference – Spring Meeting, 27–31 May 2019, Nice, France	Tuning the structure and biological response of sputtered phosphate bioglass films by the deposition pressure	T. Tite, A.C. Popa, A.C. Galca, L.M. Balescu, I.M. Bogdan, B.W. Stuart, G. Pelin-Popescu, G.E. Stan	Poster
6.	European Materials Research Society (E-MRS) Conference – Spring Meeting, 27–31 May 2019, Nice, France	Investigation of morphological, structural changes and biological performance of Zinc or Magnesium substituted hydroxyapatite with dopant concentration	I.M. Bogdan, T. Tite, L.M. Balescu, S. Iconaru, C.S. Ciobanu, D. Predoi, A.C. Popa, L. Albulescu, C. Tanase, S. Nita, G.E. Stan	Poster
7.	European Materials Research Society (E-MRS) Conference – Spring Meeting, 27–31 May 2019, Nice, France	Investigation of morphological, structural and biological performance in Strontium or Cerium substituted hydroxyapatite at low concentration	I.M. Bogdan, T. Tite, L.M. Balescu, A.C. Popa, L. Albulescu, C. Tanase, S. Nita, G.E. Stan	Poster
8.	European Materials Research Society (E-MRS) Conference – Spring Meeting, 27–31 May 2019, Nice, France	Comparative structural and dielectric properties of pure and Li-doped synthetic and bovine bone-derived hydroxyapatite in both bulk and thin film form	T. Tite, I.M. Bogdan, L.M. Balescu, G.E. Stan, I. Pasuk, G. Boni, L. Hrib	Poster
9.	EuroNanoForum, 12–14 June 2019, Bucharest, Romania	Functional performance of bioactive silica-based glass implant coatings deposited by magnetron sputtering onto dental screws	G.E. Stan, A.C. Popa, V.M.F. Marques, A.C. Galca, C. Ghica, M.A. Husanu, M. Enculescu, C. Tanase, D.U. Tulyaganov, J.M.F. Ferreira	Poster
10.	42 <sup>nd</sup> International Semiconductor Conference CAS 2019, 9–11 October 2019, Sinaia, Romania	Replacing Pb with Sb in Halide Perovskite for Field Effect Thin Film Transistors	C. Besleaga, V. Stancu, C. Ciobotaru, S. Polosan, H. Saidi, G. Stan, L. Pintilie	Poster
11.	Sesiunea anuală a Institutului de Arheologie „Vasile Pârvan” „Metodă, teorie și practică în arheologia contemporană”, 27–29 Martie 2019, Bucuresti, Romania	Caracterizarea fizico-chimică a pigmentilor albi utilizati la decorarea ceramicii din Bronzul târziu din sudul României (aprox. 1550–1350 cal. BC), Studiu preliminar	N. Palincaș, M. Stratciuc, D. Mirea, A.M. Vlaicu, G. Stan, M.-M. Manea, C.A. Simion, A. Velea, L. Trache	Orala
12.	6 <sup>th</sup> Nano Today Conference, 16-20 June 2019, Lisbon, Portugal	Dielectric relaxations studies of ternary nanocomposite of vinyl resin matrix reinforced	L. Kreit, A.C. Galca, A. Zyane, P. Ganea, C. Bartha, G.E. Stan, M. Enculescu, L. Pintilie, M. El Hasnaoui, M.E. Achour, A. Belfkira	Poster

		with carbon nanotubes and microcrystalline celluloses		
13	“19-th International Balkan Workshop on Applied Physics”, 16-19 iulie 2019, Constanta	“Interchangeable metasurfaces for immunofluorescent staining sensor and spectroscopic system”	Costel COTIRLAN-SIMIONIUC, Catalin Constantin NEGRILA, Constantin LOGOFATU	Poster
14	“19-th International Balkan Workshop on Applied Physics”, 16-19 iulie 2019, Constanta	“Metasurfaces with available characteristics for polarization state analyzers, superlens or electro-optical modulators”	Costel COTIRLAN-SIMIONIUC, Catalin Constantin NEGRILA, Constantin LOGOFATU	Poster
15	9th International Conference of the Chemical Societies of the South-East European Countries (ICOSECS9), 08.05.2019-10.05.2019, Târgoviște, România	Hybride organic-inorganic perovskite ( $\text{CH}_3\text{NH}_3\text{Pb}_{1-x}\text{Eu}_x\text{I}_3$ ) for solar cell applications	F. Neatu, S. Derbali, S. Neatu, A. C. Galca, L. N. Leonat, A. G. Tomulescu, V. Stancu, V. Toma, I. Pintilie, M. Florea	Poster
16	47th IUPAC World Chemistry Congress, 05.07.2019-13.07.2019, Paris, Franta	Synthesis and properties of $\text{C}_3\text{N}_2\text{H}_5\text{PbI}_3$ powders as precursors for hybride perovskite based solar cells	M. Florea, F. Neațu, S. Neațu, S. Derbali, A. C. Galca, V. Toma, C. Bartha, L. N. Leonat, A.G. Tomulescu, V. Stancu, I. Pintilie	Poster
17	3rd Edition of International Congress on Catalysis and Chemical Science, 24.02.2019-26.02.2019, Singapore, Singapore	Recent development of Ni based composite as electrocatalysts for proton exchange membrane fuel cells	F. Neațu, M. M. Trandafir, S. Neațu, S. Somacescu, M. Florea	Prezentare orala
18	3rd Edition of International Congress on Catalysis and Chemical Science, 24.02.2019-26.02.2019, Singapore, Singapore	Europium-doped $\text{CH}_3\text{NH}_3\text{Pb}_{1-x}\text{Eu}_x\text{I}_3$ for perovskite based solar cell application	S. Derbali, F. Neatu, S. Neatu, A. C. Galca, L. N. Leonat, A. G. Tomulescu, V. Stancu, V. Toma, I. Pintilie, M. Florea	Prezentare orala
19	4th edition of the INTERNATIONAL WORKSHOP OF MATERIALS PHYSICS	Cost efficient oxygen generation through alkaline water electrolysis using Ni on $\text{SnO}_2$ mesoporous support-based electrocatalysts	S. Neatu, F. Neatu, V. C. Diculescu, M. M. Trandafir, N. Petrea, S. Somacescu, M. Florea	Prezentare orala
20	4th edition of the INTERNATIONAL WORKSHOP OF MATERIALS PHYSICS	Photoelectron spectromicroscopy: revealing the stability of ferroelectric surfaces with respect to irradiation and contamination	L. E. Abramiu, D. G. Popescu, M. A. Husanu, L. C. Tanase, N. G. Apostol, C. A. Tache, I. C. Bucur, A. Barinov, J. Avila, C. F. Chirila, L. Trupina, C. M. Teodorescu	Prezentare orala
21	4th edition of the INTERNATIONAL WORKSHOP OF MATERIALS PHYSICS	Carbon monoxide adsorption, dissociation and oxidation on ferroelectric surfaces decorated with	A. Nicolaev, M. A. Husanu, N. G. Apostol, R. M. Costescu, A. E. Bocirnea, I. A. Hristea, D. Lizzit, C. F. Chirila, L. Trupina, C. M. Teodorescu	Prezentare orala

		nano particles of noble metals		
22	4th edition of the INTERNATIONAL WORKSHOP OF MATERIALS PHYSICS	The use of three-component composites in the photocatalytic water splitting reaction	S. Neatu, F. Neatu, M. Florea, L. E. Abramiu, C.M. Teodorescu	Prezentare orala
23	IEEE International Semiconductor Conference – IEEE CAS, 9-11 octombrie 2019, Sinaia	Controlling SWIR photosensitivity limit by composition engineering: from Ge o GeSi nanocrystals embedded in TiO <sub>2</sub>	I. Dascalescu, O. Cojocaru, I. Lalau, C. Palade, A. Slav, A. M. Lepadatu, S. Lazanu, T. Stoica, M. L. Ciurea	orala
24	IEEE International Semiconductor Conference – IEEE CAS, 9-11 octombrie 2019, Sinaia	High performance NIR photosensitive films of Ge nanoparticles in Si <sub>3</sub> N <sub>4</sub>	I. Stavarache, P. Prepelita, I. Lalau, O. Cojocaru, V. S. Teodorescu, M. L. Ciurea	poster
25	19 <sup>th</sup> International Balkan Workshop on Applied Physics – IBWAP, 16-19 iulie 2019, Constanta	Advances in Ge nanocrystals-based structures for SWIR sensors and non-volatile memories	C. Palade, A. Slav, A. M. Lepadatu, I. Stavarache, I. Dascalescu, O. Cojocaru, I. Lalau, S. Lazanu, C. Logofatu, T. Stoica, V. S. Teodorescu, M. L. Ciurea	invitata
26	19 <sup>th</sup> International Balkan Workshop on Applied Physics – IBWAP, 16-19 iulie 2019, Constanta	Extension of short-wave infrared detection by Sn alloying of Ge nanocrystals	I. Dascalescu, A. Slav, C. Palade, C. Logofatu, A. M. Lepadatu, F. Comanescu, S. Iftimie, S. Lazanu, V. S. Teodorescu, M. L. Ciurea, M. Braic, T. Stoica	orala
27	3rd International Conference on Applied Surface Science – ICASS, 17-20 iunie 2019, Pisa, Italia	Germanium nanocrystals embedded in oxide matrix for new memories devices applications	M. L. Ciurea, I. Stavarache , A. Slav, C. Palade, A.-M. Lepadatu, I. Dascalescu, I. Lalau, O. Cojocaru, V. S. Teodorescu, A. V. Maraloiu, S. Lazanu, T. Stoica	poster
28	EuroNanoForum 2019 (NANOTECHNOLOGY AND ADVANCED MATERIALS PROGRESS UNDER HORIZON2020 AND BEYOND), 12-14 iunie 2019, Bucuresti	New advanced materials based on SiGeSn nanocrystals in oxides for SWIR photodetectors and non-volatile memory devices	C. Palade, I. Stavarache, A. M. Lepadatu, A. Slav, S. Lazanu, T. Stoica, V. S. Teodorescu, M. L. Ciurea, F. Comanescu, A. Dinescu, R. Muller, G. Stan, A. Enuica, M. T. Sultan, A. Manolescu, H. G. Svavarsson	poster
29	E-MRS 2019 Spring Meeting, 27-31 mai 2019, Nisa, Franta	GeSnSiO <sub>2</sub> layers with embedded GeSn nanocrystals for sensing in SWIR	A. Slav, C. Palade, C. Logofatu, I. Dascalescu, A. M. Lepadatu, I. Stavarache, S. Iftimie, V. Braic, S. Antohe, S. Lazanu, V. S. Teodorescu, D. Buca, M. L. Ciurea, T. Stoica, M. Braic	orala
30	E-MRS 2019 Spring Meeting, 27-31 mai 2019, Nisa, Franta	Ge nanocrystals in TiO <sub>2</sub> with enhanced spectral photosensitivity by photo-effects in semiconductor substrate	I. Dascalescu, A.-M. Lepadatu, A. Slav, C. Palade, O. Cojocaru, I. Lalau, M. Enculescu, S. Iftimie, S. Lazanu, V. S. Teodorescu, T. Stoica, M. L. Ciurea	Poster
31	BES2019 – XXV International Symposium on Bioelectrochemistry and Bioenergetics, 26-30 Mai, Limerick, Irlanda	Magnetic Electrodes and Nanoparticles for Direct Immobilization of Biomolecules through Magnetic Forces	Victor Diculescu, Madalina Barsan, Monica Enculescu, George Stan, Nicoleta Preda, Nicoleta Apostol, Ruxandra Costescu	oral

32	ISE2019 – 70th Annual Meeting of the International Society of Electrochemistry, 4-9 August, Durban, Africa de Sud	Antibody-based Electrochemical Biosensors for 20S Proteasome	Victor Diculescu, Madalina Barsan	oral
33	70th Annual Meeting of the International Society of Electrochemistry (conferinta) Perioada: 2-11 august 2019 Locatia: Durban, Africa de Sud	Synthesis and Properties of CdTe nanowires fabricated electrochemically via template method	Melania Loredana ONEA, Elena MATEI, Monica ENCULES CU, Ionut ENCULES CU	Poster
34	Conference of the Romanian Electron Microscopy Society (conferinta) Perioada: 23-25 octombrie 2019 Locatia: Poiana Brasov, Romania	Integration of electrochemically fabricated CdTe nanowires in functional devices using electron beam lithography	Melania Loredana ONEA, Elena MATEI, Monica ENCULES CU, Ionut ENCULES CU	poster
35	70th Annual Meeting of the International Society of Electrochemistry, 4-9 august 2019, Durban, Africa de Sud	Influence of electrodeposition parameters and electrochemical bath composition on the electrical properties of multichannel ZnO nanowire field effect transistors	Elena Matei, Enculescu Monica, Victor Diculescu, Andreea Costas, Melania Onea, Ionut Enculescu	Poster
36	19th International Balkan Workshop on Applied Physics and Materials Science, 16–19.07.2019, Constanta, Romania	Effect of Additives on the Properties of Electrodeposited CZTS Thin Films	M.Y. Zaki, K. Nouneh, M. Ebn Touhami, A.C. Galca, M. Enculescu, M. Baibarac, L. Pintilie	orala
37	19th International Balkan Workshop on Applied Physics and Materials Science, 16–19.07.2019, Constanta, Romania	Terahertz Characterization of (Ba,Sr)TiO <sub>3</sub> Ferroelectric Films Grown By PLD And RF Magnetron Sputtering	L. Nedelcu, C. Chirila, G.E. Stan, A.C. Galca, L. Hrib, L. Trupina, C.D. Geambasu, M.G. Banciu	poster
38	19th International Balkan Workshop on Applied Physics and Materials Science, 16–19.07.2019, Constanta, Romania	Effect of Europium Substitution on the Structural and Optical Properties of CH <sub>3</sub> NH <sub>3</sub> PbI <sub>3</sub> Perovskite Films	S. Derbali, M. Florea, A.C. Galca , F. Neatu, S. Neatu, L.N. Leonat, M. Secu, A.G. Tomulescu, V. Stancu, K. Nouneh, L. Pintilie	poster
39	9th International Conference on Amorphous and Nanostructured Chalcogenides (ANC9), 30.06.-4.07.2019, Chisinau, Republic of Moldova	Optical properties of binary and ternary chalcogenides	A.C. Galca, F. Sava, I.D. Simandan, G. Socol, A. Velea	oral
40	9th International Conference on Amorphous and Nanostructured Chalcogenides (ANC9), 30.06.-4.07.2019, Chisinau, Republic of Moldova	Comparative study between CZTS <sub>1-x</sub> Se <sub>x</sub> and ABX <sub>3</sub> based solar cells	S. Derbali, K. Nouneh, A.C. Galca, M. Florea, F. Neatu, A.G. Tomulescu, L.N. Leonat, M. Secu, V. Stancu, L. Pintilie	poster

41	9th International Conference on Amorphous and Nanostructured Chalcogenides (ANC9), 30.06.-4.07.2019, Chisinau, Republic of Moldova	Characterization of CZTS thin films obtained by magnetron co-deposition from binary sputtering targets	O. Diagne, A.C. Galca, F. Sava, I.D. Simandan, A. Velea	poster
42	9th International Conference on Amorphous and Nanostructured Chalcogenides (ANC9), 30.06.-4.07.2019, Chisinau, Republic of Moldova	Study of Electrodeposited Cu <sub>2</sub> ZnSnS <sub>4</sub> Thin Film Properties by a Modified Sulfurization Process	S. Azmi, E.M. Khoumri, M. Nohair, A.C. Galca, M. Dabala	poster
43	9th International Conference on Amorphous and Nanostructured Chalcogenides (ANC9), 30.06.-4.07.2019, Chisinau, Republic of Moldova	Enhancing the stoichiometry of sequentially electrodeposited CZTS thin films	M.Y. Zaki, K. Nouneh, M. Ebn Touhami, A.C. Galca, E. Matei, L. Pintilie	poster
44	9th International Conference on Amorphous and Nanostructured Chalcogenides (ANC9), 30.06.-4.07.2019, Chisinau, Republic of Moldova	Structural and optical properties of amorphous GeTe films	I.D. Simandan, A.C. Galca, F. Sava, C. Bucur, V. Dumitru, C. Porosnicu, C. Mihai, A. Velea	poster
45	12th European Congress of Chemical Engineering (ECCE12), 15.-19.09.2019, Florence, Italy	Synthesis, electronic polarizability and optical basicity of a novel zinc phospho-tellurite glass	L. Boroica, B.A. Sava, M. Elisa, R.C. Stefan, I.C. Vasiliu, S.M. Iordache, A.C. Galca, V. Kuncser	poster
46	European Congress and Exhibition on Advanced Materials and Processes (EUROMAT 2019), 1.-5.09.2019, Stockholm, Sweden	Novel magnetic field sensor based on zinc phospho-tellurite glass for Faraday rotators	M. Elisa, C.R. Stefan, I.C. Vasiliu, S.M. Iordache, B.A. Sava, L. Boroica, A.C. Galca, V. Kuncser	poster
47	XXV International Symposium on Bioelectrochemistry and Bioenergetics (BES 2019); 26-31 Mai 2019; Limerick, Irlanda	Redox Mechanisms of Proteasome Inhibitors	Teodor Adrian Enache, Victor Constantin Diculescu	poster
48	70th Annual Meeting of the International Society of Electrochemistry (ISE); 4-9 August 2019; Durban, Africa de Sud	Redox Mechanism of Azathioprine and its Interaction with DNA	TA. Enache, M. Enculescu and VC. Diculescu	oral
49	70th Annual Meeting of International Society of Electrochemistry , South Africa, Durban, 4-9 August	Polyhydrazide Architectures for (bio)Sensing Applications	Daniel N Crisan, Teodor A Enache, Victor C Diculescu	poster
50	19th International Balkan Workshop on Applied Physics and Materials Science, 16–19.07.2019, Constanta, Romania	Coloring and dielectric properties of phosphotellurite glasses	Silviu Polosan, Andrei Nistescu, Mihai Secu	invitata
51	IUPAC Chemistry Congress"	Surface studies on the	Lucia Leonat	poster

	(IUPAC 2019)	PEDOT:PSS films modified with Triton-X 100 surfactant		
52	9th International Balkan Workshop on Applied Physics and Materials Science”, Constanta, Romania, 16 - 20 July 2019	Structural, ferroelectric and cytotoxic properties of barium titanate-hydroxyapatite composite ceramics	Luminita AMARANDE, George STAN, Corneliu Florin MICLEA, Marius CIOANGHER, Lucian TRUPINA, Iuliana PASUK, Elena MATEI, Tudor SAVOPOL, Mihaela Georgeta MOISESCU, Luminita Claudia MICLEA	poster
53	The 7th International Workshop on Far-Infrared Technologies 2019 (IW-FIRT 2019), 5-7 March 2019	Investigations on some dielectric materials in sub-Terahertz and Terahertz beams	Banciu Marian Gabriel, Furuya Takashi, HribLuminita, NedelcuLiviu, Trupina Lucian, Pantelica Dan, Mihai M. Dana, Tani Masahiko	Poster
54	EMRS 2019 Spring Meeting, 27 – 31 May 2019, Nice, France	Terahertz and optical properties of Ba0.6Sr0.4TiO3 thick films grown by PLD	Nedelcu L., Annino G., Chirila C., Trupina L., Galca A.C., BanciuM. G.	Poster
55	EMRS 2019 Spring Meeting, 27 – 31 May 2019, Nice, France	Dielectric properties of BNT-BT ferroelectric thin films in microwave and millimeter waves	Stancu V., Trupina L., Nedelcu L., Mihalache V., Banciu M. G., Huitema L., Ghalem A., Crunceanu A., Contantinescu C., Dumas-Bouchiat F., Champeaux C.	Poster
56	20th International Balkan Workshop on Applied Physics and Materials Science, 14-17 July 2020, Constanta, Romania	Terahertz characterization of (Ba,Sr)TiO3 ferroelectric films grown by PLD and RF magnetron sputtering	Nedelcu L., Chirila C., Stan G., Galca A.C., Hrib L., Trupina L., GeambasuC. D., Banciu M. G.	Poster
57	EMN Rome Meeting 2019, 13-17 May 2019 Rome, Italy	Antibacterial cerium doped hydroxyapatite nanopowders for biomedical applications	D. Predoi, S.L. Iconaru, A.M. Prodan, M. Matei, M. Beuran, C.M. Chifiriuc, R.V. Ghita	Poster
58	5th International Conference on Mechanics of Composites (MECHCOMP5), Lisbon, Portugal 1-4 July 2019	Biological properties of iron oxide-hydroxyapatite biocomposites	Alina Mihaela Prodan, Simona Liliana Iconaru, Mihai Valentin Predoi, Mikael Motelica-Heino, Regis Guegan, Olivera Lupescu, Mihai Matei, Daniela Predoi	Poster
59	5th International Conference on Mechanics of Composites (MECHCOMP5), Lisbon, Portugal 1-4 July 2019	Biological studies of zinc doped hydroxyapatite synthetized at low concentrations	Alina Mihaela Prodan, Simona Liliana Iconaru, Mihai Valentin Predoi, Nicolas Buton, Mircea Beuran, Olivera Lupescu, Adrian Costescu, Nicoleta Vineticu, Daniela Predoi	Poster
60	2nd Edition of CERIC Satellite Event at the NESY Winterschool & Symposium 2019, 4-8 martie 2019, Altaussee, Austria	Seeing with electrons - Introduction to electron microscopy	Ghica Cornelius	Prezentare invitata
61	6th International Congress on Microscopy and Spectroscopy (INTERM), May 12-18 mai 2019, Istanbul, Turcia.	Electron microscopy: a useful tool for the characterization of novel nanostructures with new architectures	Bogdan S. Vasile, Otilia R. Vasile, Roxana Trusca, Marin Cernea	Poster
62	5th Conference of the Serbian Society for Ceramic Materials: 5CSICS-2019, 11-13 iunie 2019, Belgrad, Serbia.	Microstructure control in multiferroic composites	Carmen Galassi, Pietro Galizia, Marin Cernea, Elisa Mercadelli, Claudio Capiani, Floriana Craciun,	Prezentare orala

63	13th International Summer School on Nanosciences and Nanotechnologies, Organic Electronics and Nanomedicine, 29 Iunie – 6 iulie 2019, Salonic, Grecia	Complex morpho-structural characterization of mezoporous metal oxide systems for chemo-resistive gas sensors	Cătălina Mihalcea, Andrei Kuncser, Ionel Mercioniu, Aurel Mihai Vlaicu, Simona Somăcescu, Corneliu Ghica	Poster
64	16th International Conference on Nanosciences & Nanotechnologies, (NN), perioada 2- 5 iulie 2019, Thessaloniki, Grecia	Origin of the collective magnetism in cubic ZnS quantum dots doped with Mn <sup>2+</sup> ions. From myths to the harsh reality.	Sergiu V. Nistor	Prezentare invitata
65	16th International Conference on Nanosciences & Nanotechnologies, (NN), perioada 2- 5 iulie 2019, Thessaloniki, Grecia	Nanostructured impurities in superhard crystalline cubic boron nitride	Leona C. Nistor, Sergiu V. Nistor, Alexandra C. Joita	Poster
66	3-rd Conference of the Romanian Electron Microscopy Society, 23-25 octombrie 2019, Poiana Brasov, Romania	Atomic-resolution structural and analytical characterization of layered precipitates in special alloys for high-temperature applications	Ghica Corneliu, Solís Cecilia, Munke Johannes, Stark Andreas, Gehrmann Bernd, Bergner Marie, Rösler Joachim, Gilles Ralph	Prezentare orala
67	3rd Conference of the Romanian Electron Microscopy Society, 23 – 25 octombrie 2019, Poiana Brașov, România	Nanometric morpho-structural characterization of mesoporous metal oxide semiconductors for chemo-resistive gas sensors	Cătălina Mihalcea, Andrei Kuncser, Ionel Mercioniu, Aurel Mihai Vlaicu, Simona Somăcescu, Corneliu Ghica	Poster
68	3rd Conference of the Romanian Electron Microscopy Society, October 23-25 Octombrie 2019, Poiana Brașov, România.	SEM investigations of Fe-doped ZnO powders	Roxana Trusca, Marian Cernea, Monica Enculescu, Adrian-Ionut Nicoara, Traian Popescu, Corneliu Trîsca-Rusu	Poster
69	3rd Conference of the Romanian Electron Microscopy Society, 23-25 octombrie 2019, Poiana Brasov, Romania	Analytical HRTEM/STEM study of impurity defects in cubic boron nitride crystals	Leona C. Nistor	Prezentare orala
70	3rd Conference of the Romanian Electron Microscopy Society, 23-25 octombrie 2019, Poiana Brasov, Romania	Atomic impurity defects in crystalline cubic boron nitride semiconductor	Sergiu V. Nistor, Leona C. Nistor, Alexandra C. Joita	Poster
71	3rd Conference of the Romanian Electron Microscopy Society, 23-25 octombrie 2019, Poiana Brasov, Romania	Tailoring the Dopant Distribution in ZnO:Mn Nanocrystals	Daniela Ghica, Ioana D. Vlaicu, Mariana Stefan, Valentin A. Maraloiu, Alexandra C. Joita, Corneliu Ghica	Poster
72	3rd Conference of the Romanian Electron	Pd cluster organization in nanostructured SnO <sub>2</sub>	Andrei C. Kuncser, Ioana D. Vlaicu, Corneliu Ghica, Simona Somacescu,	Prezentare orala

	Microscopy Society, 23-25 octombrie 2019, Poiana Brasov, Romania		Cristian Radu	
73	3rd Conference of the Romanian Electron Microscopy Society, 23-25 octombrie 2019, Poiana Brasov, Romania	Microstructural Characterization of Ferroelectric Oxides Thin Films Based on Hafnia	Cristian Radu, Corneliu Ghica	Poster
74	University of Bucharest, Faculty of Physics, Annual Scientific Conference 2019, Bucharest, Romania June 21-22	Effect of Mn substitution on the structural, magnetic and magnetostrictive properties of Fe-Pd ferromagnetic shape memory alloy prepared as ribbons	M. Sofronie, F. Tolea, M. Enculescu, A.D. Crisan	orala
75	University of Bucharest, Faculty of Physics, Annual Scientific Conference 2019, Bucharest, Romania June 21-22	Interplay of magnetostrictive and magneto-transport properties of Fe-Dy ribbons	C. Locovei, A.E. Stanciu, G.Schintie, N.Iacob, A.Leca, M.Sofronie, V. Kuncser	orala
76	University of Bucharest, Faculty of Physics, Annual Scientific Conference 2019, Bucharest, Romania June 21-22	Physical characterization of Dy and Cu co-doped ZnO thin films grown by radio-frequency magnetron sputtering	Claudiu LOCOVEI, Diana COMAN, Adrian RADU, Lucian ION, Vlad A. ANTOHE, Nicoleta VASILE, Marilena COLT, Marina MANICA, Anca DUMITRU, Sorina IFTIMIE, Stefan ANTOHE	orala
77	Magnetic nanoparticles and their applications in medicine, 4-5 aprilie 2019, Belgrad, Serbia	Engineering and optimization of specific absorption rates of Fe oxides nanoparticles in magnetic hyperthermia	V.Kuncser, N.Iacob, A.Kuncser, P.Palade, C.Comanescu, R.Turcu, G.Schintie	Lectie invitata
78	5th Mediterranean Conference on the Applications of the Mossbauer Effect MECAME-GFSM 2019, 19-23 Mai 2019, Montpellier, Franta	Mossbauer Spectroscopy-a powerful tool in explaining particularities of Specific Absorption Rates of Fe oxide nanoparticles in magnetic hyperthermia	V.Kuncser, N.Iacob, P.Palade, C.Comanescu, A.Kuncser, G.Schintie	Lectie invitata
79	International Conference on the Applications of the Mossbauer Effect, ICAME 2019, 01-06 Septembrie 2019, Dalian, China	Mossbauer Spectroscopy Explaining Specific Magneto-functionalities in RE-Fe Amorphous Thin Films	V.Kuncser, A.E.Stanciu, A.Kuncser, C.Locovei, G.Schintie, N.Iacob, N.Plugaru, O.Crisan	orala
80	Network of the Hungarian Mossbauer Laboratories	On the capability of Mossbauer Spectroscopy to reveal various magneto-functionalities in layered nanosized systems	V.Kuncser	Lectie Invitata
81	ECCE12, The 12th EUROPEAN CONGRESS OF CHEMICAL	Synthesis, electronic polarizability and optical basicity of a	L. Boroica, B. A. Sava, M. Elisa, R.C. Stefan, I. C. Vasiliu, S. M. Iordache, A. C. Galca, V. Kuncser	poster

	ENGINEERING, 15-19 Septembrie 2019, Florenta, Italia	novel zinc phospho-tellurite glass,		
82	21st Romanian International Conference on Chemistry and Chemical Engineering (RICCCE), 4-7 September 2019, Mamaia, România	CORRELATION of HYPERTHERMIA and MAGNETIC MEASUREMENTS in NANOSIZED COBALT FERRITE SYSTEMS	Cezar Comanescu, Nicusor Iacob, Petru Palade, Victor Kuncser	orala
83	“4th edition of the International Workshop of Materials Physics (IWMP)”, 28-29 mai 2019, Magurele, Romania	Thermoelectric nano-composite from double filled skutterudite and carbides	B. Popescu, M. Galatanu, A. D. Crisan, C. Bartha, M. Enculescu, A. Galatanu	orala
84	“4th edition of the International Workshop of Materials Physics (IWMP)”, 28-29 mai 2019, Magurele, Romania	Development of thermal barriers materials with application in energy	M. Galatanu, B. Popescu, M. Enculescu, A. Galatanu	orala
85	“19th International Balkan Workshop on Applied Physics and Materials Science”, 15-20 iulie 2019, Constanta, Romania	Improved W-monoblock with embedded functionally graded thermal barriers for the DEMO divertor	M. Galatanu, B. Popescu, M. Enculescu, A. Galatanu	orala
86	“19th International Balkan Workshop on Applied Physics and Materials Science”, 15-20 iulie 2019, Constanta, Romania	Development of W-W laminates: fighting against W brittleness	A. Galatanu, M. Galatanu, M. Enculescu, J. Reiser	Orala
87	“19th International Balkan Workshop on Applied Physics and Materials Science”, 15-20 iulie 2019, Constanta, Romania	FAST-based route to produce improved DEMO divertor monoblocks	M. Galatanu, G. Ruiu, M. Cioca, A. Ighigeanu, M. Enculescu, A. Galatanu	Poster
88	14th International Symposium on Fusion Nuclear Technology, 22-27.septembrie 2019, Budapest, Ungaria	W2C-Reinforced Tungsten: A Promising Candidate for High-Heat-Flux Material	P. Jenuš, M. Kocen, A. Abram, A.S. Zavašnik, A. Galatanu, E. Tejado, J.Y. Pastor, M. Wirtz, G. Pintsuk, S. Novak	poster
89	“The Nineteenth International Conference on Fusion Reactor Materials (ICFRM-19)”, 27 octombrie - 1 noiembrie 2019 La Jolla, California, SUA	W-W laminates processed by FAST	M. Galatanu, M. Enculescu, A. Galatanu, J. Reiser	poster
90	“The Nineteenth International Conference on Fusion Reactor Materials (ICFRM-19)”, 27 octombrie - 1 noiembrie 2019 La Jolla, California, SUA	WC as reinforcement for tungsten or matrix material for DEMO divertor	S. Novak, P. Jenuš, M. Kocen, A. Abram, A. Šestan Zavašnik, S. Markelj, M. Kelemen, A. Galatanu, E. Tejado, J.Y. Pastor, G. Pintsuk	poster
91	20th International Union of Materials Research Societies International Conference in Asia (IUMRS-ICA 2019), 22-26 Sept 2019, Perth Australia	Development of MgB2-based composites for superconducting applications	P. Badica	invitata
92	VI International Conference of Technical Chemistry from	MgB2-based materials for different	P. Badica	invitata

	Theory to Praxis, 21-23 May 2019, Perm, Russia	applications		
93	Electron correlation in superconductors and nanostructures (ECSN 2019), 06-10 Oct 2019, Odessa, Ukraine	State of the art in development of Spark Plasma Sintered MgB <sub>2</sub> superconductor	P. Badica	invitata
94	14th European Conference on Applied Superconductivity (EUCAS 2019), 1-5 Sept 2019, Glasgow, UK	Magnetic shielding by machinable MgB <sub>2</sub> and superimposed MgB <sub>2</sub> /Fe bulks	L. Gozzelino, R. Gerbaldo, G. Ghigo, F. Laviano, D Torsello, V. Bonino, M. Truccato, M. Burduse, M.A. Grigoroscuta, D. Batalu, G. Aldica, P. Badica	poster
95	14th European Conference on Applied Superconductivity (EUCAS 2019), 1-5 Sept 2019, Glasgow, UK	Microwave investigation of pinning and flux-flow in Te- and cubic-BN- added MgB <sub>2</sub>	A. Alimenti, K. Torokhtii, M. Grigoroscuta, P. Badica, A. Crisan, E Silva, N. Pompeo	poster
96	The 10th Pacific Rim International Conference on Advanced Materials and Procesing (PRICM 10) 18-22 Aug 2019, Xi'an, China	New composites for additive manufacturing	D. Batalu, A. Bunescu, P. Badica, Z. Xiang, W. Lu	oral
97	5th Central and Eastern European Conference on Thermal Analysis and Calorimetry & 14-th Mediterranean Conference on Calorimetry and Thermal Analysis, 27-30 Aug 2019, Roma, Italy	Thermal analysis on Ga or In acetylacetone powders	G.V Aldica, D. Batalu, P. Badica	poster
98	2nd European ONE HEALTH Conference, 21-22 Iunie 2019, Bucuresti, Romania	MgB <sub>2</sub> based materials for the improvement of life quality	P. BADICA, M. BURDUSEL, MA GRIGOROSCUTA, G ALDICA, DN Batalu, M Bucur, C Chifiriu	oral
99	International Workshop of Materials Physics 4th edition, 28-29 Mai 2019, Magurele, Romania	Improved performance of a Si-solar cell by up-conversion in Yb/Er doped CeO <sub>2</sub> thin films	MA Grigoroscuta, M. Secu, L. Trupina, M. Enculescu, C. Besleaga, I. Pintilie, P. Badica	oral
100	11th International Workshop on Processing and Applications of Superconducting Bulk Materials (PASREG 2019) August 29 - 30, Prague, Czech Republic	Passive magnetic shielding by machinable MgB <sub>2</sub> bulks and its modulation by Fe shield addition	L. Gozzelino, R. Gerbaldo, G. Ghigo, F. Laviano, D. Torsello, V. Bonino, M. Truccato, D. Batalu, M. A. Grigoroscuta, M. Burduse, G. V. Aldica, P. Badica	oral
101	Materials Research Meeting (MRM 2019), 10-14 Dec 2019, Yokohama, Japonia	Superconducting Thin Films of Bi <sub>2</sub> Sr <sub>2</sub> CaCu <sub>2</sub> O <sub>8+δ</sub> for Future THz Planar Devices	K. Endo, S. Arisawa, P. Badica	poster
102	Materials Research Meeting, 10-14 Dec 2019, Yokohama, Japonia	Development of MgB <sub>2</sub> -based materials towards different superconducting applications	P. Badica	invited
103	15th International Workshop on Magnetism & Superconductivity at	“Influence of the structural vortex-phase transition on the second	Lucica Miu, Adrian Crisan	invited

	Nanoscale, 30 iunie - 6 iulie 2019, Coma-Ruga, Spania	magnetization peak in BaFe <sub>2</sub> (As <sub>1-x</sub> P <sub>x</sub> ) <sub>2</sub> single crystals”		
104	The 5-th Central Eastern European Conference on Thermal Analysis and Calorimetry & 14-th Mediterranean Conference on Thermal Analysis and Calorimetry (CEEC-TAC5 & MEDICTA2019), 27 – 30 august 2019, Roma, Italia.	Thermal analysis of Ga and In acetylacetone powders	Aldica Gheorghe Virgil	poster
105	COST Workshop on Nanoscale Imaging of quantum devices, 17-20 Februarie, Eilat, Israel	Dynamic Liquid-like Vortex Phase and Pinning Potential in Bi:2212 Films in Low Magnetic Fields Probed by Scanning Hall Probe Microscopy	A. Crisan, S. Bending	invitata
106	Al 17-lea International Workshop on Vortex Matter in Superconductors, 19-26 Mai, Antwerpen, Belgia	Vortices in YBCO thin films with complex pinning structure investigated by AC susceptibility measurements	Adrian Crisan, Ion Ivan, Lucica Miu	poster
107	Conferinta Internationala Superstripes 2019, 22-30 iunie, Ischia, Italia	Disappearance of the second magnetization peak in La <sub>2-x</sub> S <sub>x</sub> CuO <sub>4</sub> single crystals in the presence of static stripe order	Adrian Crisan, Alina Ionescu, Lucica Miu	invitata
108	Al 15-lea International Workshop on Magnetism and Superconductivity at nanoscale, 30 Iunie-6 Iulie, Coma-Ruga, Spania	Models of current-dependent pinning potential in nanostructured YBa <sub>2</sub> Cu <sub>3</sub> O <sub>7</sub> superconducting films	Adrian Crisan, Ion Ivan, Lucica Miu	invitata
109	Conferinta Internationala IUMRS-ICA2019 (International Union of Materials Research Societies – International Conference in Asia), 20-28 Septembrie, Perth, Australia	Vortex matter and dynamics in YBa <sub>2</sub> Cu <sub>3</sub> O <sub>7</sub> superconducting films with correlated and synergetic pinning centres	Adrian Crisan, Ion Ivan, Lucica Miu	invitata
110	Conferinta Internationala “Electron Correlations in Superconductors and Nanostructures, 6-11 Octombrie 2019, Odessa, Ucraina	AC susceptibility, DC magnetization and magnetic relaxation studies of YBa <sub>2</sub> Cu <sub>3</sub> O <sub>7</sub> films with synergetic pinning centres grown by PLD	Adrian Crisan, Ion Ivan, Lucica Miu	invitata
111	International Conference on Condensed Matter and Materials Science, 13-20 Octombrie, Adana, Turcia	Multi-harmonic Susceptibility Response and Steep Vortex Melting Line in Iron-based Superconducting Single Crystal	Adrian Crisan, Lucica Miu	invitata

		CaKFe4As4		
112	11th European Exhibition of Creativity and Innovation EUROINVENT, Iasi, Romania 16-18 Mai 2019	Powders sintered bodies and MgB2 coatings resistant to microbial colonization and microbial biofilm efficacy and method of its use	P Badica, D. Batalu, M Grigoroscuta, M Burduse, G Aldica, M Popa, M Chifiriuc	poster
113	17th International Exhibition of Research, Innovation and inventions PROINVENT, Cluj Napoca, Romania, 20-22 martie 2019	Pulberi, corpuri sinterizate si acoperiri pe baza de MgB2 rezistente la colonizarea microbiana si cu eficienta impotriva biofilmelor microbiene si metoda de folosire a acestuia	P Badica, D Batalu, M. Grigoroscuta, M. Burduse, Gh. Aldica, M. Popa, M. Chifiriuc	poster
114	5th International Conference on Applications of Mossbauer Effect ICAME 2019, 1 – 6/09/2019, Dalian, China	STRUCTURE AND MAGNETISM OF L10 NANOCOMPOSITE FE-MN-PT THIN FILMS	O. Crisan	poster
115	22nd International Conference on Composite Materials ICCM22, 12 – 16/08/2019, Melbourne, Australia	RE-FREE EXCHANGE COUPLED NANOCOMPOSITE MAGNETS	O. Crisan	orala
116	10th International Conference on Materials for Advanced Technologies ICMAT2019, 24 – 28/06/2019, Singapore	Novel RE-free L10 phase Nanocomposite Magnets in Magnetic and Spintronic Materials and Devices	O. Crisan	poster

#### 4.2.3. Lucrări publicate în alte publicații relevante:

Nr.	Titlul articolului	Numele Jurnalului, Volumul, Pagina nr.	Nume Autor	Anul publicării
1.				
2.				

Nr. Crt .	Tipul publicatiei (carte, capitol de carte, articol in jurnal BDI, articol in volum de conferinta	Titlul	Numele Jurnalului, Volumului, Pagina nr.	Autori (Nume și prenume)	Editura	An apariție	Cod ISBN/ISSN
1	Jurnal ISI	Texture and interface characterization of iridium thin	Journal of Materials Science, doi: 10.1007/s10853-	Lucian Trupina, Liviu Nedelcu,	Springer US	2019	Online ISSN: 1573-4803

		films grown on MgO substrates with different orientations.	019-04004-7	Marian Gabriel Banciu, Aurelian Crunteanu, Laure Huitema, Cătălin Constantinescu, Alexandre Boulle			
2	Articol in volum, de conferinta CONFERINTA ESTE ISI	New half-cylinder microstrip fed dielectric resonator antennas with improved impedance bandwidth	Proceedings of the European Microwave Conference in Central Europe, EuMCE, May 13-15, 2019, Prague, Czech Republic, pp. 183-186, 2019	Banciu Marian Gabriel, Nedelcu Liviu, Avadanei Ovidiu Gabriel, Militaru Nicolae, Geambasu Cezar Dragos, Trupina Lucian	EuMA	2019	ISBN 978-2-87487-066-8 EuMCE2019 online
3	Articol in volum, de conferinta CONFERINTA ESTE ISI	Microwave activities in Romania	Proceedings of the European Microwave Conference in Central Europe, EuMCE, May 13-15, 2019, Prague, Czech Republic, pp. 221-224, 2019	Banciu Marian Gabriel, Tamas Razvan, Militaru Nicolae.	EuMA	2019	ISBN 978-2-87487-066-8 EuMCE2019 online
4	Articol in volum, de conferinta CONFERINTA ESTE ISI	Frequency selective surfaces with hexagonal elements for millimeter waves applications	CAS 2019 Proceedings, 2019 International Semiconductor Conference, October 9-11, Sinaia, România, pp. 61-64	Banciu Marian Gabriel, Geambasu Cezar Dragos, NedelcuLiviu , Trupina Lucian	IEEE	2019	ISBN: 978-1-7281-1887-1
5	Articol in volum, de conferinta CONFERINTA ESTE ISI	Beoadband Y-type divider in Ku-band using substrate integrated waveguide	CAS 2019 Proceedings, 2019 International Semiconductor Conference, October 9-11, Sinaia, România, pp. 57-60	Fu Y., Chan K. Y., Banciu Marian Gabriel, Ramer Rodica	IEEE	2019	ISBN: 978-1-7281-1887-1
6	Articol in volum (2 pagini), de conferinta	Extrinsic absorption in spark plasma sintered	Proceedings of the 44 <sup>th</sup> International Conference on	Nedelcu Liviu, Burdusel Mihai,	IEEE	2019	ISBN: 978-1-5386-8285-2

	CONFERN-TA ESTE ISI 2 pages	Zr <sub>0.8</sub> Sn <sub>0.2</sub> TiO <sub>4</sub> ceramics investigated by terahertz time-domain spectroscopy	Infrared, Millimeter, and Terahertz Waves, 1-6 September 2019, Paris, France, 2 pages	Grigoroscuta Mihai A., Geambasu Cezar Dragos, Banciu Marian Gabriel, Badica Petre.			
7	Capitol de carte	Bioceramics derived from marble and sea shells as potential bone substitution materials.	Bioceramics and Biocomposites: From Research to Clinical Practice, John Wiley & Sons, 2019, pp. 87–122	F. Miculescu, A.C. Mocanu, G.E. Stan, A. Maidaniuc, M. Miculescu, S.I. Voicu, I. Antoniac	John Wiley & Sons	2019	ISBN: 978-1-119-04934-0
8	Capitol de carte	Control of the Critical Current Density Through Microstructural Design by Ho <sub>2</sub> O <sub>3</sub> and Te co-addition into MgB <sub>2</sub> Processed by Ex Situ Spark Plasma Sintering	Cap 11, in cartea "Superconductivity"	P. Badica, G. Aldica, M. Burduse, M. Grigoroscuta, A. M. Ionescu, V. Sandu, S. Popa, M. Enculescu, I. Pasuk, and A. Kuncser	Springer	2019	ISBN 978-3-030-23303-7
9	articol in jurnal ISI neindexat in WoS	The interplay of work function and polarization state at the Schottky barriers height for Cu/BaTiO <sub>3</sub> interface	Applied Surface Science 502, 144101	Dana Georgeta Popescu, Marius Adrian Husanu, Cristina Chirila, Lucian Pintilie, Cristian Mihail Teodorescu	Elsevier	2019	0169-4332
10	articol in volum de conferinta	Controlling SWIR photosensitivity limit by composition engineering: from Ge to GeSi nanocrystals embedded in TiO <sub>2</sub>	Proceedings of IEEE CAS 2019 (International Semiconductor Conference, October 9-11, Sinaia), pp. 37-40	I. Dascalescu, O. Cojocaru, I. Lalau, C. Palade, A. Slav, A. M. Lepadatu, S. Lazanu, T. Stoica, M. L. Ciurea	IEEE	2019	CFP19CAS-USB
11	articol in volum de conferinta	High performance NIR photosensitive	Proceedings of IEEE CAS 2019 (International Semiconductor	I. Stavarache, P. Prepelita, I. Lalau, O. Cojocaru, V.	IEEE	2019	CFP19CAS-USB

		films of Ge nanoparticles in Si <sub>3</sub> N <sub>4</sub>	Conference, October 9-11, Sinaia), pp. 225-228	S. Teodorescu, M. L. Ciurea			
12	Jurnal ISI	The effect of the ionizing radiation on hydroxyapatite-polydimethylsiloxane layers	acceptat spre publicare in Polymer Engineering and Science	Groza, Andreea; Iconaru, Simona Liliana; Jiga, Gabriel; Chapon, Patrick; Gaiaschi, Sofia; Verga, Nicolae; Beuran, Mircea; Prodan, Alina ; Matei, Mihai; Marinescu, Serban; Trusca, Roxana; Predoi, Daniela	Wiley	2019	Online ISSN:1548-2634
13	BDI	Responses of plants to hydric stress and iron oxide nanoparticles	Agriculture & Food, Volume 7, 2019, Pages: 265-272	Elena Petcu, Lazar Cătălin, Gabriel Predoi, Carmen Cîmpeanu, Ștefania Mariana Raita, Daniela Predoi, Simona Liliana Iconaru	Science Events Ltd.	2019	ISSN 1314-8591 (online)
14	Capitol de carte	Exact and approximate analytical solutions of Weiss equation of ferromagnetism and their experimental relevance. Experimental aspects (II)	Proceedings of the International Workshop on Advances in Nanomaterials Magurele - Bucharest, September 17-19, 2018. Pag. 127-130.	V. Kuncser	Editura Horia Hulubei, Str. Atomistilor 407, Magurele 77125	mai 2019	978-606-94603-6-8
15	Capitol de carte	An overview on local structure and magnetism of Fe-C nanocomposites	Proceedings of the International Workshop on Advances in Nanomaterials Magurele -	S.G. Greculeasa, F. Dumitache, I. I. Lungu, N.Iacob, V.	Editura Horia Hulubei, Str. Atomistilor 407, Magurele 077125	mai 2019	978-606-94603-6-8

			Bucharest, September 17- 19, 2018. Pag. 27-42	Kuncser			
16	Capitol de carte	Spin configurations in RE-Fe and RE-Fe-B systems and related functionalities	Proceedings of the International Workshop on Advances in Nanomaterials Magurele - Bucharest, September 17-19, 2018. Pag. 51-64	A.E. Stanciu, C. Locovei, G. Schintie, N. Iacob, V. Kuncser	Editura Horia Hulubei, Str. Atomistilor 407, Magurele 077125	mai 2019	978-606-94603-6-8
17	Proceeding	Superposed Shape Memory and Magnetocaloric Effects of NiFeGa Heusler alloys. Effects of thermal treatments and of Co and Al Substitutions	Proceedings of the International Workshop on Advances in Nanomaterials, Magurele – Bucharest, September 17 – 19, 2018	F. Tolea, M. Sofronie, A. D. Crisan, B. Popescu, M. Tolea	Horia Hulubei Publishing House	2019	ISBN 978-606-94603-9-9
18	articol in volum de conferinta	Magnetoelastic properties in polycrystalline Fe-Pd based ferromagnetic shape memory alloys	8th Conference on Material Science and Engineering, IOP Conf. Series: Materials Science and Engineering 485, 012026	M Sofronie, B Popescu , AD Crisan , AR Lupu, F Tolea , M Valeanu	IOP Publishing/ IOP Conf. Series	2019	doi: 10.1088/1757-899X/485/1/012026
19	articol in volum de conferinta	Effect of Cr, C, B and Mo substitutions on the structure and magnetic properties of Zr-Co Rare-Earth-free magnetic alloy	8th Conference on Material Science and Engineering, IOP Conf. Series: Materials Science and Engineering 485, 012028	F. Tolea, P.Palade, M. Sofronie, B. Popescu and V. Kuncser	IOP Publishing/ IOP Conf. Series	2019	doi: 10.1088/1757-899X/485/1/012028
20	Superconductivity: From Materials Science to Practical Applications	Chapter 6 “High Vortex activation energies in the AC magnetic response of superconductors close to the DC irreversibility line”		Lucica Miu, Ion Ivan, Alina M. Ionescu, Adrian Crisan, Dana Miu, Traian Petrisor, Paolo Mele	Springer Nature, Switzerland	Online, 2019	ISBN 978-3-030-23303-7
21	articol in volum de conferinta	Channeling of Magnetic Flux in YBa <sub>2</sub> Cu <sub>3</sub> O <sub>7-δ</sub> Superlattices.	Pogrebnyak A., Novosad V. (eds) Advances in Thin Films, Nanostructured	Mollatt H.J., Qureishy T., Crisan A., Dang V.S., Mikheenko P.	Springer, Singapore	2019	Pri nt ISBN 978-981-13-6132-6

			Materials, and Coatings. Lecture Notes in Mechanical Engineering, pp 287-295				Online ISBN 978-981-13-6133-3
22	Superconductivity: From Materials Science to Practical Applications	Ch. 11 “Control of the Critical Current Density Through Microstructural Design by Ho <sub>2</sub> O <sub>3</sub> and Te Co-addition into MgB <sub>2</sub> Processed by Ex Situ Spark Plasma Sintering”		P. Badica, G. Aldica, M. Burdusel, M. Grigoroscuta, A. M. Ionescu, V. Sandu, S. Popa, M. Enculescu, I. Pasuk, A. Kuncser	Springer, Singapore	2019	ISBN 978-3-030-23302-0, <a href="https://doi.org/10.1007/978-3-030-23303-7">https://doi.org/10.1007/978-3-030-23303-7</a>
23	Articol in volum de conferinta	“Extraction of pesticide residues from plant extracts using regenerative MCM41 mesoporous materials”	IOP Conf. Ser.: Mater. Sci. Eng. 572 012008	M. A. Florea, B. Purcareanu, A. Bicu, V. Drumea, C. E. Gird, M. Grigoroscuta, D. E.. Mihaiescu, G. Vasilievici and L. Olariu	IOP	2019	<a href="https://iopscience.iop.org/article/10.1088/1757-899X/572/1/012008">https://iopscience.iop.org/article/10.1088/1757-899X/572/1/012008</a>
24	Articol in volum de conferinta	Investigation of flux jumps during Pulsed Field Magnetization in various MgB <sub>2</sub> bulks	EUCAS 2019: 14th European Conference on Applied Superconductivity	K. Yokoyama, T. Oka, R. Dorget, M. R. Koblischka, M. A. Grigoroscuta, M. Burdusel, D. Batalu, G. Aldica, P. Badica and M. Murakami	IOP	2019	
25	Articol in volum de conferinta	Extrinsic absorption in spark plasma sintered Zr <sub>0.8</sub> Sn <sub>0.2</sub> TiO <sub>4</sub> ceramics investigated by terahertz time-domain spectroscopy	IRMMW-THz 2019: 44th International Conference on Infrared, Millimeter, and Terahertz Waves	L. Nedelcu, M. Burdusel, M.A. Grigoroscuta, C.D. Geambasu, M.G. Banciu and P. Badica		2019	
26	Articol ISI	Designing functional ferroelectric interfaces from first-principles: Dipoles and	New J. Phys. 21 (2019) 113005	D. Rusu, L. Filip, L. Pintilie, K. T. Butler and N. Plugaru	IOP	2019	<a href="https://dx.doi.org/10.1088/1367-2630/ab4d8b">https://dx.doi.org/10.1088/1367-2630/ab4d8b</a>

		band bending at oxide heterojunctions				
27	Articol ISI	Superconducting MgB <sub>2</sub> textured bulk obtained by ex situ spark plasma sintering from green compacts processed by slip casting under a 12 T magnetic field	Superconductor Science and Technology, Volume 32, Number 12 (2019) 125001	M A Grigoroscuta , V Sandu, A Kuncser, I Pasuk, G Aldica, T S Suzuki, O Vasylkiv and P Badica	Elsevier	2019 <a href="https://iopscience.iop.org/article/10.1088/1361-6668/ab4620/pdf">https://iopscience.iop.org/article/10.1088/1361-6668/ab4620/pdf</a>

**4.2.4. Studii, Rapoarte, Documente de fundamentare sau monitorizare care:**

**a) au stat la baza unor politici sau decizii publice:**

Tip document	Nr.total	Publicat în:
Hotărâre de Guvern	1	477/2019 din 4 iulie 2019
Lege	-	
Ordin ministrului	1	OM578 din 01.10.2019
Decizie președinte	-	
Standard	-	
Altele (se vor preciza)	-	

**b) au contribuit la promovarea științei și tehnologiei - evenimente de mediatizare a științei și tehnologiei:**

Tip eveniment	Nr. apariții	Nume eveniment:
web-site	multe	www.infim.ro
Emisiuni TV	-	-
Emisiuni radio	-	-
Presă scrisă/electronică	6	Market Watch Contributors.ro
Cărți		
Reviste	3	Market Watch
Bloguri	3	Contributors.ro
Altele (se vor preciza)	4	Scoala Altfel Noaptea Cercetatorilor

**4.3. Tehnologii, procedee, produse informaticice, rețele, formule, metode și altele asemenea:**

Tip	Anul 2019
Tehnologii	1

Procedee	2
Produse informaticice	1
Rețete	5
Formule	1
Metode	-
Altele asemenea ( <i>se vor specifica</i> )	-

Din care:

**4.3.1 Propuneri de brevete de inventie, certificate de înregistrare a desenelor și modelelor industriale și altele asemenea:**

	Nr.propuneri brevete	Anul înregistrării	Autorul/Autorii	Numele propunerii de brevet
OSIM	A00284	14.05.2019	Iuga Alin Romulus, Boni Andra Georgia, Pintilie Lucian	Metoda de citire nedistructiva a memorilor ferroelectrice prin detectie piezoelectrica
	A00342	06.06.2019	Polosan Silviu Pavel, Pacala Ovidiu	Metoda de tratare a suprafetelor in fascicul de electroni de joasa energie
	A00351	11.06.2019	Badica Petre, Ionescu Alina Marinela, Grigorescu Mihai Alexandru, Burdusel Mihail, Aldica Gheorghe Virgil	Metoda de procesare in mediu activ de sinterizare si banda/fir supraconductoare in teaca metalica usoara cu miez pe baza de MgB2
	A00427	15.07.2019	Banciu Marian Gabriel, Geambasu Cezar Dragos, Besleaga Stan Cristina, Trupina Lucian, Ion Valentin, Scarisoreanu Nicu Doinel	Antena planara de microunde cu geometrie noua a suprafetei radiante
	A00516	28.08.2019	Manta Corina-Mihaela, Samohvalov Dumitru, Gherca Daniel, Baibarac Mihaela, Lungan Maria-Andrea, Smaranda Ion, Barbatu Adrian, Buhaleanu Lucian, Udrescu Adelina, Daescu Monica, Ilie Mirela, Toulbe N'Ghaya	Procedee de preparare si utilizare ale noilor forme cristaline ale 6-(3-metil-5-nitroimidazol-4-il)sulfanil-9H-purinei
	A00578	20.09.2019	Cotarlan Costel	Structura de superlentila cu metasuprafata pentru conversia undelor de interfata in unde de propagare si focalizarea acestora in camp indepartat
	A00612	01.10.2019	Iuga Alin-Romulus, Kuncser Victor Eugen, Iacob Nicusor	Element multiferoic compozit avertizor de prag de intensitate a campului magnetic
	A00705	04.11.2019	Teodorescu Cristian Mihail	Sistem de analiza de timp de zbor in gaz rarefiat, cu

				determinarea separata a dimensiunilor si sarcinii nanoparticulelor si aerosolilor
	A00706	04.11.2019	Teodorescu Cristian Mihail	Sistem de selectie nanoparticule in functie de dimensiuni si sarcina, separat, folosind un filtru electric si magnetic functionand in vid impreuna cu o sectiune de franaire intr-o zona cu gaz rarefiat, functionand in regim continuu
	A00716	08.11.2019	Neatu Stefan, Neatu Florentina, Florea Mihaela, Trandafir Mihaela Mirela	Procedeu de reducere photocatalitica a apei in prezenta de fotocatalizatori eterogeni oxizi micsti de nichel, zinc si titan
	A00715	08.11.2019	Husanu Marius-Adrian, Popescu Dana Georgeta	Metoda de preparare a straturilor cristaline de nichel
	A00723	11.11.2019	Boni Andra-Georgia, Chirila Cristina Florentina, Pintilie Lucian	Metoda de caracterizare dielectrica a structurilor ferroelectrice in relatie cu reversarea polarizarii
	A000737	13.11.2019	Iuga Alin-Romulus, Lazar Marian, Iacob Nicusor	Cuplaj magneto-mecanic cuadrupolar
	A000738	13.11.2019	Baibarac Mihaela, Mateescu Alice-Ortansa, Mateescu Gheorghe	Procedee de imbunatatire a adereniei straturilor subtiri, depuse pe materiale textile din dispersii coloidale de nanomateriale semiconductoare, metalice sau nemetalice, pentru functionalizarea acestora
	A000745	15.11.2019	Ion Ivan, Gheorghe Virgil Aldica, Enculescu Monica, Miu Lucica, Ionescu Alina-Marinela, Ioan Adrian Crisan	Acoperiri supraconductoare de $\text{YBa}_2\text{Cu}_3\text{O}_{7-x}$ cu centri de fixare artificiali cu structura mixta si procedeu de obtinere
	U00026	05.08.2019	Secu Mihail, Galca Aurelian Catalin, Polosan Silviu Pavel, Gavrila Alexandru, Cioca Mihai, Dobrescu Gabriel, Ighigeanu Adelina Maria	Dispozitiv pentru detectarea insemnelor de securizare documente, tip „up-conversion”
	U00027	17.09.2019	Cioca Mihai, Ighigeanu Adelina Maria, Dobrescu Gabriel, Evangelidis Alexandru, Matei Elena, Enculescu Ionut Marius, Jelea Constantin	Instalatie pentru obtinerea prin centrifugare a straturilor fibrilate din polimeri incluzand biopolimeri
	U00038	13.11.2019	Galatanu Andrei, Cioca Mihai, Galatanu Magdalena, Popescu Bogdan, Enculescu Monica	Matrita cu geometrie tronconica pentru controlul precis al temperaturii in cadrul sudarii prin difuzie termica sau brazarii materialelor dedicate

				aplicatiilor in conditii extreme
	U00039	13.11.2019	Galatanu Andrei, Cioca Mihai, Ighigeanu Adelina Maria, Ruiu George-Daniel	Matrita segmentata pentru sinterizarea de pulberi nanometrice in piese complexe cu forma finala
USPTO	62/784,076	21.12.2018	Multicomponent programmable memory	V. Dumitru, A. Velea, C. Besleaga Stan, A. C. Galca, L. Balescu, L. Pintilie
	62/784,082	21.12.2018	Programmable resistive memory with multiple states and method of making same	V. Dumitru, A. Velea, C. Besleaga Stan, A. C. Galca, L. Balescu, L. Pintilie

Mentiune: Brevetele USPTO sunt rezultatul serviciilor de cercetare prestate catre o firma privata in baza unui contract care prevede cesiunea drepturilor de proprietate intelectuala catre firma, si care s-a derulat si in anul 2019.

#### **4.4. Structura de personal:**

Personal CD (Nr.)	Anul 2019
Total personal	308
Total personal CD	230
cu studii superioare	212
cu doctorat	152
doctoranzi	22

#### **4.4.1 Lista personalului de cercetare care a participat la derularea Programului-nucleu:**

Nr.	Nume și prenume	Grad	Funcția	Echivalent normă întreagă	Anul angajării	Nr. Ore lucrate/An*
1.		CS/IDT				
2.						

\* Se vor specifica numărul de ore luate în fiecare dintre anii de derulare ai Programului Nucleu, prin inserarea de coloane

**4.5. Infrastructuri de cercetare rezultate din derularea programului-nucleu. Obiecte fizice și produse realizate în cadrul derulării programului; colecții și baze de date conținând înregistrări analogice sau digitale, izvoare istorice, eșantioane, specimene, fotografii, observații, roci, fosile și altele asemenea, împreună cu informațiile necesare arhivării, regăsirii și precizării contextului în care au fost obținute:**

Nr.	Nume	Data	Valoarea	Sursa	Valoarea finanțării	Nr. Ore-om de
-----	------	------	----------	-------	---------------------	---------------

	infrastructură/obiect/bază de date...	achiziției	achiziției (lei)	finanțării	infrastructurii din bugetul Progr. Nucleu	utilizare a infrastructurii pentru Programul-nucleu
1.						
2.						

**5. Rezultatele Programului-nucleu au fundamentat alte lucrări de cercetare:**

	Nr.	Tip
Proiecte internaționale		2 ERC, 1 CERN, 1 Norvegia
Proiecte naționale		155 PNCDI III (103 PED ; 6 PTE-partener ; 23 TE si 23 PD)

**6. Rezultate transferate în vederea aplicării :**

Tip rezultat	Instituția beneficiară (nume instituție)	Efecte socio-economice la utilizator
Ex. tehnologie, studiu	nume IMM/institutie	

	Nr. ctr./Fact.	Beneficiar	Val. Contract fără TVA	Val. Contract cu TVA	Denumire
1	Ctr. 1139/18.07.2014(CW245056/2014)	S.C. ZENTIVA S.A.			Difracție de raze X(XRD)
	F.1/14.01.2019				
	F.4/30.01.2019				
	F.5/05.02.2019				
	F.10/18.03.2019				
	F.15/22.03.2019				
	F.19/09.04.2019				
	F.24/09.05.2019				
	F.26/27.05.2019				
	F.29/07.06.2019				
	F.32/03.07.2019				
	F.33/09.07.2019				
	F.36/02.08.2019				
	F.46/10.10.2019				
	F.49/24.10.2019				
2	CTR.661/29.01.2019	INFOMED FLUIDS	8,000.00	9,520.00	SEM
	F.8/11.03.2019				
3	CTR.388/21.02.2019	CAB.AVOCAT	1,000.00	1,190.00	SEM
	F.17/26.03.2019				
4	CTR.389/21.02.2019	TITAN STEEL 1921	1,000.00	1,190.00	SEM
	F.16/26.03.2019				

5	Com.1901-0235/29.01.2019	SINDAN-PHARMA	12,000.00	14,280.00	SEM
	F.18/01.04.2019				
6	ACT ADIT.CTR.661/29.01.19	INFOMED FLUIDS	3,000.00	3,570.00	SEM
	21/17.04.2019				
7	Ctr.1542/08.07.2019	I.N.F.L.P.R.	16,806.00	20,000.00	TEM
	F.34/12.07.2019				
8	CTR.1778/08.08.2019	INTELLECTRO IASI	158,000.00	188,020.00	Raman
	F41/06.09.2019				
9	CTR.1601/15.07.2019	AV.MOGOS ANDRA	2,000.00	2,380.00	SEM
	F.42/06.09.2019				
10	CTR.2145/30.09.2019	I.N.C.D.F.L.P.R.	4,621.85	5,500.00	Megnetometrie
	F.45/10.10.2019				
11	Com.1908-1643	SINDAN PHARMA	3,272.78	3,894.61	RES
	F.50/25.10.2019				

Contractele cu mediul privat sau cu alte institutii de cercetare mentionate mai sus au ca obiect caracterizarea de materiale utilizand infrastructura si expertiza existente in INCDFM. In acest sens, putem vorbi de un transfer de cunoastere catre beneficiari.

In perioada 2018-2019 a fost derulat si un contract de transfer efectiv al unor rezultate in vederea aplicarii. Beneficiarul contractului a fost firma Cyber Swarm (<https://www.cyber-swarm.net/>). Prin acest contract au fost dezvoltate in INCDFM structuri de tip memristor ce vor fi utilizate in aplicatii de tip cripto-locker. Drepturile de proprietate intelectuala au fost cedionate catre beneficiar in schimbul a 30 % din valoarea contractului. Au rezultat 2 aplicatii de patent USPTO.

**7. Alte rezultate: .... (a se specifica, dacă este cazul).**

In perioada 28-29 mai s-a desfasurat a 4-a editie a evenimentului International Workshop of Materials Physics (IWMP).

Anunt workshop

### First Announcement



### 4<sup>th</sup> edition of the INTERNATIONAL WORKSHOP OF MATERIALS PHYSICS

The National Institute of Materials Physics (NIMP) announces the organization of the 4<sup>th</sup> edition of the International Workshop of Materials Physics (IWMP). The topic for 2019 edition is dedicated to energy, with special focus on topics such as: photovoltaics (novel photo-effects, halide perovskites, new architectures for solar cells, etc.), energy harvesting (piezo, pyro, thermoelectric), fusion, energy storage, energy transport, and other similar topics. Aspects related to modeling, fabrication, characterization will be presented and discussed. Similar to the first three editions, the 4<sup>th</sup> edition of IWMP is organized on invitation only. The aim is to attract well known researchers in the field, the final purpose being to establish new collaborations concretized in common publications, projects and exchange of personnel.

Young researchers willing to present their latest results on topics related to the main topic of the workshop are invited to submit a 2 page abstract (A4, Times New Roman 11, single spacing, 2 cm margins, including figures and references) to the organizers ([pintilie@infim.ro](mailto:pintilie@infim.ro)). The best abstracts will be selected for oral presentations during the workshop.

The workshop will take place at NIMP premises located in Magurele, Romania.

The topics for the next two editions:

2020-Materials and structures for bio-applications

2021-Recent developments in the field of ferroelectrics and multiferroics

Program workshop (site <http://infim.ro/event/4th-edition-of-the-international-workshop-of-materials-physics/>)

## IWMP, 28-29 May 2019

### **28 of May**

8:15-8:50 Registration

8:50-9:00 Opening

9:00-11:15 Session 1 (Enculescu, Pintilie)

9:00-9:30

Magdalena Titirici, Department of Chemical Engineering, Imperial College London, UK

**Going green with black: On Biomass, Carbon and Clean Energy**

9:30-10:00

Vladimir Matolin, Charles University, Czech Republic

**PEM Based Ordered Superstructures as a Durable Support for Fuel Cell Catalyst.**

10:00-10:30

Ifan Stephens, Imperial College London, UK

**Power-to-X: the role of catalysis in advancing the electrochemical synthesis of our most coveted chemicals**

10:30-11:15

M. Florea

**Cost efficient oxygen generation through alkaline water electrolysis using Ni on SnO<sub>2</sub> mesoporous support-based electrocatalysts**

A. Nicolaev

**Carbon monoxide adsorption, dissociation and oxidation on ferroelectric surfaces decorated with nanoparticles of noble metals**

S. Neatu

**The use of three-component composites in the photocatalytic water splitting reaction**

11:15-11:30 Coffee break

11:30-13:00 Session 2 (Pintilie, Florea)

11:30-12:00

Joe Briscoe, Queen Mary University London, UK

**Sustainable energy devices using nanostructured polar materials**

12:00-12:30

Andrew Holmes, Imperial College London, UK

**Piezoelectric Devices for Energy Harvesting from Motion and Flow**

12:30-13:00

Sam Cooper, Imperial College London, UK

*Multilength scale characterisation of materials, microstructures and performance of batteries and fuel cells.*

13:00-14:30 Lunch

14:30-16:30 Session 3 (Polosan)

14:30-15:00

Marin Alexe, University of Warwick, UK

**Bulk- and Flexo-Photovoltaic effects**

15:00-15:30

G. A. Nemnes

**Measurement protocols for a reliable electrical characterization of perovskite solar cells**

15:30-16:00

Anca Duta, Transilvania University Brasov

**VIS-active photocatalytic composites for advanced wastewater treatment**

16:00-16:30

L. Leonat

**Reticulated mesoporous TiO<sub>2</sub> scaffold for hybrid perovskite solar cells**

M. Grigorescu

**Improved performance of a Si-solar cell by up-conversion in Yb/Er doped CeO<sub>2</sub> thin films**

16:30-18:00

Visit to NIMP facilities

18:00 departure for dinner

**29 of May**

9:00-11:15 Session 4 (Andrei Galatanu)

9:00-9:30

Andrei.V. Kovalevsky, CICECO – Aveiro Institute of Materials, Department of Materials and Ceramic Engineering, University of Aveiro, Portugal

**Selected approaches for designing oxide thermoelectrics**

9:30-10:00

Andres Sotelo, ICMA-CSIC-Universidad de Zaragoza, Spain

**Very high thermoelectric performances in Sr-doped textured Ca<sub>3</sub>Co<sub>4</sub>O<sub>9</sub>. Costs optimization of unileg thermoelectric generator fabrication.**

10:00-10:30

**Ernst Bauer**, Technische Universität Wien, Austria

**Bulk and thin film Heusler alloys as promising thermoelectric materials**

10:30-11:15

B. Popescu

**Thermoelectric nano-composite from double filled skutterudite and carbides**

I. Mercioniu

**On the adherence of ceramic layers for thermal barriers coatings**

M. Galatanu

**Development of thermal barriers materials with application in energy**

11:15-11:30 Coffee break

11:30-13:15 Session 5 (Ghica, Polosan)

11:30-12:00

Mihai A. Gîrțu, Department of Physics and Electronics, Ovidius University of Constanța, Constanța, Romania

## **DFT Calculations of Structure and Electronic Properties of TiO<sub>2</sub> Nanoclusters, of Dye-Nanocluster and Dye-Electrolyte Systems for Modeling Hybrid Photovoltaic and Photocatalytic Applications**

12:00-12:30

Chris Chikere, School of Pharmacy and Life Sciences, Robert Gordon University, Aberdeen, UK

## **New Electrode Materials for Energy Storage Devices-Battery Applications**

12:30-13:15

O. Rasoga

## **Tryphenylamine and carbazol oligomers for photovoltaic applications**

S. Polosan

## **Organometallic compounds for photovoltaic applications**

M. Baibarac

## **Composites based on carbon nanotubes and polydiphenylamine: from the functionalization process to applications in the energy storage field**

13:15-14:45 Lunch

14:45-17:00 Session 6 (Teodorescu)

14:45-15:15

Ibrahim Burc Misirlioglu, Sabanci University Istanbul, Turkey

## **Functionality from ferroelectric superlattices: Designing a phase transition and its implications for applications**

15:15-15:45

Andrei Manolescu, University of Reykjavik, Iceland

## **Excitons in core-shell nanowires with polygonal cross section**

15:45-16:15

L. Abramiec

## **Photoelectron spectromicroscopy: revealing the stability of ferroelectric surfaces with respect to irradiation and contamination**

A. Crisan

## **Nanotechnology of Pinning Centres in Superconducting Films for Clean Energy-saving Power Applications**

16:15-16:30 Closing

### **8. Aprecieri asupra derulării programului și propunerii:**

Programul Nucleu în 2019 a inceput cu o întârziere de cîteva luni, ceea ce a generat numeroase probleme în activitatea curentă a institutului. Este totuși de apreciat că este primul program Nucleu pe o perioadă de 4 ani.

Un alt element care a generat unele probleme este legat de faptul că suma alocată pentru 2019 a fost inferioara sumei solicitate în propunerea depusă la competiție, ceea ce a necesitat redimensionarea activităților în sensul în care unele etape prevăzute în propunere nu au mai fost finanțate. Cu toate acestea, indicatorii asumati prin propunerea de program Nucleu sunt îndepliniți în proporție de cel puțin 30 %, ceea ce crează premise solide pentru atingerea cîtinelor asumate la finalul programului Nucleu.

Merita punctate cîteva rezultate deosebite:

- Cercetările și rezultatele obținute în cadrul programului Nucleu au fundamentat o aplicație ERC Consolidator Grant (aplicant dr. Mihaela Florea), care a trecut de prima etapă de evaluare, fiind

invitat pentru interviu in septembrie 2019. Chiar daca propunerea nu va fi finantata, faptul ca s-a ajuns la interviu constituie un rezultat deosebit, avand in vedere numarul extrem de redus de aplicatii ERC care pleaca din tara, cu institutie gazda din tara.

- Cercetarile si rezultatele preliminare obtinute in cadrul programului Nucleu au fundamentat si solutii tehnice pentru problemele ridicate de firme private, acestea fiind valorificate sub forma de contracte subsidiare in cadrul celor doua proiecte de tip POC-G in derulare in INCDFM. In momentul de fata sunt incheiate 13 contracte subsidiare, 5 dintre ele fiind negociate si semnate in 2019.
- Este remarcabil numarul mare de lucrari publicate in jurnale cu factor mare de impact (quartila Q1). A fost publicata o lucrare in Nature, plus inca 5 lucrari in jurnale cu factor de impact peste 7. Circa 50 % din lucrările publicate sunt cu colaboratori din tara sau strainatate, ceea ce subliniaza vizibilitatea INCDFM ca institutie de cercetare de elita din Romania, precum si calitatea cercetarii care se desfasoara in INCDFM.

## Web of Science

Search

Tools ▾ Searches and alerts ▾ Search History Marked List

**Results: ...**  
(from Web of Science Core Collection)

You searched for: ORGANIZATION-E  
NHANCED: (national institute of materi  
als physics romania) ...[More](#)

[Create an alert](#)

**Refine Results**

Search within results for...

Filter results by:

- Open Access (43) [Refine](#)

Publication Years

- 2019 (170) [Refine](#)

Web of Science Categories

- MATERIALS SCIENCE MULTIDISCIPLINARY (67)
- PHYSICS APPLIED (43)
- CHEMISTRY PHYSICAL (37)
- PHYSICS CONDENSED MATTER (34)
- MATERIALS SCIENCE COATINGS FILMS (20)

[more options / values...](#) [Refine](#)

Source Titles [Refine](#) [Exclude](#) [Cancel](#) Sort these by: [Record Count ▾](#)

The first 100 Source Titles (by record count) are shown. For advanced refine options, use [Analyze results](#).

<input type="checkbox"/> APPLIED SURFACE SCIENCE (11) <input type="checkbox"/> MATERIALS (8) <input type="checkbox"/> SCIENTIFIC REPORTS (7) <input type="checkbox"/> JOURNAL OF ALLOYS AND COMPOUNDS (6) <input type="checkbox"/> CERAMICS INTERNATIONAL (5) <input type="checkbox"/> NANOMATERIALS (5) <input type="checkbox"/> BEILSTEIN JOURNAL OF NANOTECHNOLOGY (4) <input type="checkbox"/> PHYSICAL REVIEW B (4) <input type="checkbox"/> FUSION ENGINEERING AND DESIGN (3) <input type="checkbox"/> PHYSICA STATUS SOLIDI B BASIC SOLID STATE PHYSICS (3)	<input type="checkbox"/> THIN SOLID FILMS (2) <input type="checkbox"/> ACS APPLIED MATERIALS INTERFACES (1) <input type="checkbox"/> ACS APPLIED NANO MATERIALS (1) <input type="checkbox"/> ACS OMEGA (1) <input type="checkbox"/> ACS SENSORS (1) <input type="checkbox"/> ANALYTICAL CHEMISTRY (1) <input type="checkbox"/> ANNALEN DER PHYSIK (1) <input type="checkbox"/> APL MATERIALS (1) <input type="checkbox"/> APPLIED ORGANOMETALLIC CHEMISTRY (1) <input type="checkbox"/> APPLIED PHYSICS LETTERS (1) <input type="checkbox"/> CATALYSIS SCIENCE TECHNOLOGY (1) <input type="checkbox"/> CHEMLUSCHEM (1) <input type="checkbox"/> CHEMSUSCHEM (1) <input type="checkbox"/> CRYSTAL GROWTH DESIGN (1) <input type="checkbox"/> ENERGY TECHNOLOGY (1) <input type="checkbox"/> ENTROPY (1) <input type="checkbox"/> EUROPEAN BIOPHYSICS JOURNAL WITH BIOPHYSICS LETTERS (1) <input type="checkbox"/> IEEE JOURNAL OF THE ELECTRON DEVICES SOCIETY (1) <input type="checkbox"/> INTERNATIONAL JOURNAL OF HYDROGEN ENERGY (1) <input type="checkbox"/> JOURNAL OF CATALYSIS (1) <input type="checkbox"/> JOURNAL OF CLEANER PRODUCTION (1) <input type="checkbox"/> JOURNAL OF COORDINATION CHEMISTRY (1) <input type="checkbox"/> JOURNAL OF ELECTROANALYTICAL CHEMISTRY (1) <input type="checkbox"/> JOURNAL OF ELECTRON SPECTROSCOPY AND RELATED PHENOMENA (1)
<input type="checkbox"/> JOURNAL OF PHYSICS AND CHEMISTRY OF SOLIDS (1) <input type="checkbox"/> JOURNAL OF PHYSICS CONDENSED MATTER (1) <input type="checkbox"/> LIQUID CRYSTALS (1) <input type="checkbox"/> MATERIALS CHARACTERIZATION (1) <input type="checkbox"/> MATERIALS RESEARCH BULLETIN (1) <input type="checkbox"/> MATERIALS SCIENCE AND ENGINEERING B ADVANCED FUNCTIONAL SOLID STATE MATERIALS (1) <input type="checkbox"/> METALLURGICAL AND MATERIALS TRANSACTIONS A PHYSICAL METALLURGY AND MATERIALS SCIENCE (1) <input type="checkbox"/> MICROPOROUS AND MESOPOROUS MATERIALS (1) <input type="checkbox"/> MODELLING AND SIMULATION IN MATERIALS SCIENCE AND ENGINEERING (1) <input type="checkbox"/> MOLECULES (1) <input type="checkbox"/> NATURE (1) <input type="checkbox"/> NEW JOURNAL OF PHYSICS (1) <input type="checkbox"/> NUCLEAR INSTRUMENTS METHODS IN PHYSICS RESEARCH SECTION B BEAM INTERACTIONS WITH MATERIALS AND ATOMS (1) <input type="checkbox"/> NUOVO CIMENTO C COLLOQUIA AND COMMUNICATIONS IN PHYSICS (1) <input type="checkbox"/> OPTICAL AND QUANTUM ELECTRONICS (1) <input type="checkbox"/> ORGANIC ELECTRONICS (1) <input type="checkbox"/> PHILOSOPHICAL MAGAZINE (1) <input type="checkbox"/> PHYSICA STATUS SOLIDI A APPLICATIONS AND MATERIALS SCIENCE (1) <input type="checkbox"/> PHYSICA STATUS SOLIDI RAPID RESEARCH LETTERS (1) <input type="checkbox"/> PHYSICAL REVIEW APPLIED (1) <input type="checkbox"/> PHYSICAL REVIEW MATERIALS (1) <input type="checkbox"/> PLOS ONE (1) <input type="checkbox"/> POWDER TECHNOLOGY (1) <input type="checkbox"/> PROCESSING AND APPLICATION OF CERAMICS (1)	

Propuneri pentru imbunatatirea derularii programului Nucleu:

- Transformarea programului Nucleu intr-un program real multianual, extins pe durata unui ciclu al Strategiei Nationale CDI si al Programului Cadru al UE.
- Finantarea sa fie deschisa imediat ce incepe noul an, pentru a se evita intrarea in incapacitate de plata a institutelor nationale. Merita subliniat faptul ca, in lipsa unor competitii periodice in cadrul Programului National CDI, programul Nucleu este singura sursa de finantare decenta a INCD-urilor. In lipsa acestuia cresc riscurile pierderii resursei umane si al deteriorarii infrastructurii.

**DIRECTOR GENERAL,**

*Nume și Prenume  
Dr. Ionut Enculescu*

**DIRECTOR DE PROGRAM,**

*Nume și Prenume  
Dr. Lucian Pintilie*

**DIRECTOR ECONOMIC,**

*Nume și Prenume  
Ec. Gabriela Ivanus*

*Semnătura*

*Semnătura*

*Semnătura*